

## Memòria d'excavació : Coves del Reclau, Serinyà

Soler i Masferrer, Narcís ; Maroto Genover, Júlia ; Ortega Cobos, David ; Soler i Subils, Joaquim



### Avís legal

Aquesta obra està subjecta a una llicència Reconeixement-NoComercial-SenseObresDerivades 2.5 de Creative Commons. Se'n permet la reproducció, distribució i comunicació pública sempre que se'n citi el titular dels drets i no se'n faci un ús comercial. No es pot alterar, modificar o generar una obra derivada a partir d'aquesta obra. La llicència completa es pot consultar a <http://creativecommons.org/licenses/by-nc-sa/2.5/es/legalcode.ca>.

## 1.- SITUACIÓ GEOGRÀFICA DE LES COVES DEL RECLAU

La cova de l'Arbreda està situada al poble de Serinyà (al Pla de l'Estany) en un indret conegut com el paratge del Reclau. El de l'Arbreda no és l'únic jaciment que existeix en aquest indret i això confereix al paratge del Reclau un gran interès ja que en conjunt suposen una seqüència cronològica d'època prehistòrica molt llarga, rica i representativa. Les cavitats principals són la cova de l'Arbreda, la cova de Mollet, la cova del Reclau Viver i la cova d'en Pau. De menor importància, però també bons jaciments arqueològics, són l'Arbreda II, Mollet III i el cau del Roure. A més hi ha diversos petits caus que han estat estèrils o molt pobres (Mollet II, Mollet IV, Mollet V, cova d'en Costa, cova Estreta, cau d'en Codony i abric Genover). En conjunt al terme municipal de Serinyà abunden els jaciments de cronologia prehistòrica, que han estat estudiats sistemàticament des de finals del segle XIX. Entre els més significatius que no es troben al paratge del Reclau cal citar la bora Gran d'en Carreras i el conjunt de jaciment postpaleolítics de la Margenera.

El paratge del Reclau es troba a 4 km al nord de Banyoles, al cantó est de la carretera C-150 que porta a Besalú (fig. 1). La cova de l'Arbreda s'obre en el marge dret del petit riu Serinyadell o riera de Serinyà. Queda a uns 100 m a l'est de la carretera. Actualment el paratge del Reclau està inclòs en el Parc de les Coves Prehistòriques de Serinyà. Antigament el seu accés es feia partir del camí que surt del bar Les Coves en direcció al nord. Actualment venint del sud per la carretera comarcal s'hi accedeix per un carril de desacceleració que apareix a mà dreta un quilòmetre abans d'arribar al poble de Serinyà, poc després de passar el bar Les Coves. Des de la carretera s'indica la presència del parc i dins mateix del parc s'indica la ubicació dels jaciments visitables.

La coordenades geogràfiques del paratge del Reclau són 42°9'38" de latitud nord i 2°44'49" de longitud est, agafades entre les coves de Mollet i l'Arbreda. Expressat en el sistema UTM les coordenades són 0479094.343 i 4667716.676 del fus 31T. La cova de l'Arbreda es troba entre els 200 i els 210 metres d'altitud.

## **2.- DESCRIPCIÓ DEL PARATGE DEL RECLAU**

El paratge del Reclau ocupa la part central d'una franja allargada constituïda per travertí de cascada o de font. Aquesta franja és el límit oest del pla d'Usall i la seva extensió és de poc més de 200 m de llarg per més de 50 m d'ample. El travertí del Reclau és la continuació de la calcària d'Usall i forma un talús petit, però relativament abrupte, delimitat a més a ponent per la terrassa del riu Serinyadell. Totes les coves s'obren en aquesta franja de travertí.

Aquestes coves estan formades per travertí de cascada carstificat. El travertí de cascada del paratge del Reclau es va formar per la precipitació del carbonat càlcic ( $\text{CaCO}_3$ ) que transportaven les aigües superficials que davallaven en forma de cascades des del pla d'Usall fins al Serinyadell. Aquest primer procés va generar espais coberts per voltes naturals de travertí. Posteriorment el travertí es va carstificar i hi van aparèixer orificis de diferents mides.

En la morfologia d'aquestes coves, però, domina més el primer procés per sobre del segon; així, des d'un punt de vista genètic, són més abrics que no pas coves. Malgrat això parlem sempre de coves ja que aquest és el terme que constantment s'ha utilitzat tant en el llenguatge popular com en la bibliografia especialitzada. Gràcies a les datacions absolutes que ha fet J. Bischoff sobre una capa de travertí en creixement continuat de la cova de l'Arbreda sabem que la gènesi d'aquestes cavitats s'ha de datar en el plistocè mitjà. Concretament les analítiques han donat resultats d'entre 204 i 219 mil anys.

Actualment la majoria de les coves del Reclau estan desdibuixades respecte a la seva forma original. Una gran part dels seus sostres, quan no directament tota la cavitat, estan enfonsats i les zones que encara no s'han excavat resten totalment reomplertes de sediments, essencialment argiles i fragments de travertí, que amaguen les formes i la localització de les parets. La del Reclau Viver, per estar totalment excavada i per tenir un tros de sostre intacte, és la que millor ens mostra la seva morfologia original.

## **3.- CONTEXT GEOLÒGIC**

Les coves del Reclau es troben al marge oest del pla d'Usall, que és una de les unitats morfològiques que formen la conca lacustre de Banyoles-Besalú.

La conca lacustre de Banyoles-Besalú està situada entre les comarques naturals de la Garrotxa, a l'oest, l'Empordà, a l'est i al sud, i l'Alta Garrotxa, al

nord. La primera està formada per relleus eocènics que formen part de la serralada Transversal, la segona és una depressió reomplerta de materials neògens i quaternaris, la tercera és un massís eocènic que forma part del Prepirineu. La conca lacustre està dividida en tres unitats morfològiques, que són, de nord a sud, el glacis de Maià de Montcal, el pla d'Usall i la cubeta lacustre de Banyoles (Julià 1980). El pla d'Usall és un pla estructural format per calcàries d'origen lacustre plio-quaternàries, cobertes per un sòl bru de terra rossa. Orientat de nord a sud, amida 5 km de llarg per 3 km d'ample. Al nord limita amb els rius Ser i Fluvia; al sud, amb la cubeta lacustre de Banyoles; a l'est, amb els materials pliocènics de l'Empordà, i a l'oest, amb el riu Serinyadell i els turons eocènics de la Garrotxa. Aquests últims turons estan constituïts essencialment per margues, i són elevacions poc importants, suaus i arrodonides. El riu Serinyadell els separa del paratge de les coves del Reclau, les quals com ja hem dit estan contruïdes pel travertí de cascada amb què acaba el pla d'Usall.

#### **4.- LA TITULARITAT DE LES COVES**

El paratge de les coves del Reclau van ser comprat per la Diputació de Girona qui va cedir un terç de la propietat als ajuntament de Serinyà i Banyoles. En el marc dels traspassos de competències als consells comarcals, la Diputació va cedir la seva part de la propietat al Consell Comarcal del Pla de l'Estany. Els propietaris actuals, doncs, són el dit Consell Comarcal del Pla de l'Estany i els ajuntaments de Banyoles i Serinyà. Conjuntament totes tres institucions han construït un parc arqueològic –el Parc de les Coves Prehistòriques de Serinyà– que explica en aquest lloc els jaciments i la vida que hi feien els caçadors del paleolític, amb la col·laboració del Servei d'Arqueologia de la Generalitat de Catalunya, la Diputació de Girona i el finançament de la Unió Europea (Maroto *et alii* 1997).

#### **5.- HISTÒRIA DE LES INVESTIGACIONS**

##### L'etapa de Josep M<sup>a</sup> Corominas

La primera referència que coneixem sobre les coves del Reclau és de Pere Alsius, que les cita com a les balmes del Ferrer, però sense pensar que puguin tenir interès arqueològic. Aquest nom probablement està relacionat amb

el de la casa pairal de la família Genover, propietària del lloc fins el 1974, que s'anomena Can Ferrer de les Torres.

Josep M<sup>a</sup> Corominas va adonar-se del seu arqueològic el 1943, quan trobà els primers vestigis prehistòrics a la cova del Reclau Viver. El 1943, mentre Lluís Pericot i Joan Maluquer treballaven a la Bora Gran, Josep M<sup>a</sup> Corominas va descobrir la cova del Reclau Viver i d'aquesta manera va començar les seves investigacions a les coves del Reclau, que excavà de 1943 a 1974, és a dir durant trenta anys llargs encara que de manera interrompuda. Concretament al Reclau Viver excavà entre 1943 i 1948, a la cova d'en Pau els anys 1943, 1958, 1973 i 1974, a la cova de Mollet el 1947, 1948, 1958 i 1972, a Mollet III el 1972. A la cova de l'Abreda el 1972 i 1973 i a l'Arbreda II el 1973.

#### L'etapa de 1975-1987

Una altra etapa va començar el 1975, quan després de protegir el paratge i de cobrir el jaciment de l'Arbreda, el Servei d'Investigacions Arqueològiques de la Diputació de Girona va iniciar les excavacions en aquest jaciment, dirigides per Narcís Soler amb la col·laboració inicial d'Henry de Lumley i Enric Ripoll. A partir d'aquest moment l'Arbreda es va excavar ininterrompidament entre 1975 i 1987 a raó d'un a dos mesos l'any.

El 1975 també es van dibuixar les seccions estratigràfiques dels testimonis de la cova de Pau (sondatge davant Pau) i de Mollet III, així com de l'Arbreda. També es van recollir mostres en aquestes coves i es van iniciar les topografies dels jaciments. En 1976 es van completar les topografies. De 1980 a 1984 Josep Tarrús va excavar en els nivells ceràmics de la cova de Pau.

#### L'etapa de 1988-1995

Durant aquests anys, a part d'investigar amb els materials de les noves excavacions, s'han posat en ordre i s'han estudiat, en bona part, els materials de les antigues excavacions. Aquest treballs han motivat una gran quantitat d'investigacions i de col·laboracions en publicacions científiques. Citem, a títol d'exemple, les tesis doctorals d'Estévez (1979), Just (1980), Soler (1986), Rueda (1993), Ajaja (1992), Kabiri (1993) i Maroto (1994).

## L'etapa actual

L'actual etapa d'excavacions, represes des del 1996, ha estat assumida per La Universitat de Girona i el Museu d'Arqueologia de Catalunya-Girona sota la direcció de Narcís Soler i Masferrer i Julià Maroto i Genover.

Durant la campanya de 1996 es va intervenir a les coves del Reclau Viver, Mollet i l'Arbreda amb l'objectiu d'assegurar que les intervencions d'acondicionament dels jaciments i les visites turístiques no malmetrien el registre arqueològic. A partir d'aquest any la cova de l'Arbreda ha estat excavada ininterrompidament, i des de l'any 2001, també ho ha estat la cova de Mollet.

## **6.- LA COVA DE L'ARBREDA**

### Descripció de la cavitat

La cova de l'Arbreda és actualment la més important del conjunt de cavitats que formen les coves del Reclau. Avui en dia està majoritàriament enfonsada, només un testimoni de travertí d'uns 3 m d'amplada orientat en sentit est-oest, és a dir paral·lel al pla d'Usall i al Serinyadell, fa palesa l'existència de l'antiga volta.

En mig d'aquest bloc de travertí hi ha un conducte càrstic d'uns 1,5 m de diàmetre, que era un dels pocs elements visibles del jaciment quan Josep M<sup>a</sup> Coroninas el va començar a sondejar. Abans de les excavacions, l'Arbreda es trobava totalment reomplerta de sediment i coberta per una abundant vegetació que creixia sobre el sòl argilós i amagava la presència de l'antiga cavitat. Aquest forat càrstic era el que inicialment rebia el nom de cova de l'Arbreda.

Durant uns anys vam creure suposar que la seva entrada estava ubicada pel cantó oest (en una part de la paret oest de l'excavació actual encara plena de sediment) i que s'obria al vessant que baixa al petit riu Serinyadell. Després de la campanya de 1996 vam poder observar com aquesta hipòtesi no era correcta perquè la vessant per on hauria d'aflorar l'entrada està totalment coberta pel travertí. Aquesta volta travertínica sota la qual crèiem que hi havia l'entrada apareix fracturada per les arrels de la vegetació, a la secció oest (fig. 2).

Pels cantons nord, sud i est de la cova de l'Arbreda les parets de traverti tanquen l'abric, que agafa una orientació allargada en la direcció nord-sud. En el lloc on hi ha la cova de l'Arbreda, la cornisa travertínicà s'interromp i recula cap a l'est, deixant espai a la superfície que constitueix el jaciment. Els successius esfondraments de la cavitat són, amb probabilitat, els causants d'aquesta interrupció.

La grandària de la cova és difícil de deduir perquè reompliment amaga les seves formes, sobretot en el sector meridional. Per la seva morfologia suposem que amida uns 18 m de nord a sud i uns 12 m d'est a oest. El seu terra és irregular, així al sector nord (sector gamma) sembla aflorar força abans. La seva potència estratigràfica total que coneixem en aquests moments és superior als 11 m i abasta dipòsits de l'holocè, del paleolític superior i del paleolític mitjà.

Quan hom observa el jaciment crida molt l'atenció una profunda cala que anomenem sector alfa (fig. 3). Fou oberta per Josep M<sup>a</sup> Corominas sota la resta de volta amb conducte ja citada. La cala, també coneguda com a pou, atravesà sediment i blocs caiguts. A partir de 4,75 m de profunditat trobà al cantó oest un gran bloc que reduí l'àrea del sondatge i que no és més que la paret oest de l'abric en aquest sector. Des d'aquesta profunditat fins a 6 m el bloc baixa verticalment i per això no va impedir la continuïtat dels treballs. A partir de 8 m, el bloc envaeix progressivament pel cantó nord el sondatge, i el va empetitint fins arribar als 8,80 m de profunditat, quan s'abandonà l'excavació. En el bloc, cap als 8 m, s'hi obre un forat càrstic, en part lliure de sediment.

El sector gamma, excavat també per Josep M<sup>a</sup> Corominas, està situat al nord de l'alfa i en ell aflora la cornisa travertínicà a l'est i al nord, mentre que a l'oest encara hi ha el sediment; és, per tant, l'extrem septentrional del jaciment. Amida aproximadament uns 5 m de nord a sud i 2 m d'est a oest. No té coberta, no sabem si perquè està enfonsada o si perquè ja no en tenia quan la cavitat va començar a ser habitada. S'excavaren dos metres de sediment per sobre el pla zero.

El sector beta, al sud del sector alfa, on els sediments començaven dos metres per sota del pla zero, va ser l'escollit per reanudar les excavacions. Es va preferir aquest sector al gamma perquè la secció sud del sector alfa estava lliure del gran bloc de l'oest i, per tant, en aquest nou sector també es podria arribar com a mínim fins a 8,80 m de profunditat.

L'any 1979 es va excavar una altra àrea compresa entre el sector beta i la part visible de la cornisa, i es van retirar els grans blocs caiguts que hi havia en ella. Va quedar, així, visible part de la paret est de la cova. Aquesta excavació

es va aturar als 2 m per sota del pla zero. Al sud del sector beta, tot està encara reomplert de sediment i només es veu la part superior de la cornisa travertíntica.

Com es pot apreciar, estem lluny encara de conèixer la morfologia en detall de la cova de l'Arbreda i només noves excavacions ens permetrien aprofundir en el seu coneixement.

### Metodologia d'excavació

Els treballs de l'excavació moderna de la cova de l'Arbreda han utilitzat essencialment el mètode tridimensional –o de coordenades cartesianes– i, en menor mesura, l'estratigràfic. En la campanya de 2001 hem continuat utilitzant-lo i no hi hem aplicat cap modificació. El mètode d'excavació va ser proposat inicialment per H. de Lumley l'any 1975, i es va anar perfilant gradualment amb les adaptacions que s'introduïen a mesura que l'excavació agafava experiència. De fet, la campanya de 1975 va marcar l'inici de la generalització del mètode tridimensional a Catalunya.

Així, els quaderns d'excavació utilitzats per a cada quadre a l'Arbreda són els mateixos que es fan servir a les excavacions dels grans jaciments que dirigeix, o que ha dirigit, aquest prehistoriador francès com la cauna de l'Arago, la cova de Lazaret, Terra Amata, l'Hortus, la Baume Bonne, la cova de Vallonnet i altres.

Lògicament la utilització d'aquests quaderns comporta l'avantatge de saber la seva utilitat en gran nombre de jaciments en una experiència de gairebé 30 anys –i aquí és bo dir que l'excavació de l'Arbreda ha aportat alguna millora en l'edició francesa dels mateixos–, i el desavantatge de tenir una eina eficaç i sistemàtica amb la que fàcilment es pot caure en la despreocupació i oblidar-se del planteig continu que l'excavació necessita.

La dificultat principal de l'excavació, però, resideix en seguir el mètode estratigràfic adequadament, que no ha estat del tot possible. Dues són les causes que han impedit aquesta aplicació correcta: l'existència d'una matriu argilosa homogènia durant tota la seqüència estratigràfica superior del jaciment, que no permet la individualització d'estrats o capes dins de la mateixa, i la presència abundant de grans blocs de travertí, que interrompen el seguiment lateral de les reparticions d'objectes.

Per això, a partir de la tercera campanya es va adoptar la utilització sistemàtica de les talles (trams artificials horitzontals) de 5 cm per poder situar els objectes no coordinats i com a elements assenyaladors de la marxa de l'excavació.

Aquesta metodologia ha estat utilitzada, almenys en alguns moments, a contracor, ja que diverses vegades els nivells presentaven algun pendent. Aquest fet ha impedit l'aprofitament dels objectes no coordenats i ha dificultat molt l'assignació arqueoestratigràfica dels coordenats. En tot cas, l'aplicació de les talles ha permès l'excavació més o menys satisfactòria de la seqüència superior, donada la dificultat extrema que hi ha per fer-la estratigràficament en detall. A la seqüència estratigràfica inferior, amb canvis litològics clars i sense la presència de grans blocs, es podrà replantejar de nou l'aplicació del sistema estratigràfic. De moment, però, només s'ha arribat a excavar aquesta seqüència inferior al sector alfa (el pou Corominas).

A l'excavació s'han ordenat els ossos determinables de la categoria considerada com a macrofauna (grans i mitjans mamífers i aus), les estelles de més de 3 cm, la indústria lítica de talla superior a 1 cm (o inferior si està retocada), la indústria òssia, les plaquetes de sorrenca, els ocres i el fragments de còdol cremats a partir d'1 cm, i els mol·luscs marins o altres elements d'ornament. La resta d'objectes han costituit el grup de no coordenats. També es van coordinar els travertins a partir de 10 cm d'amplada (és a dir, quan granulomètricament es consideren blocs) i, en els últims anys, els travertins cremats a partir de 3 cm.

Tot el sediment s'ha garbellat amb aigua a través d'un garbell d'1 mm de malla i s'ha triat en sec. En els quadres concrets destinats a recollir les restes de microfauna s'ha rentat amb un garbell de 0,5 mm.

L'excavació ha deixat quatre seccions visibles. Aquestes i totes les interseccions entre els metres quadrats, tant longitudinals com transversals, seccions que es van destruir a mida que l'excavació avança, s'han dibuixat en detall a escala 1/10.

Els nivells d'ocupació interessants s'han dibuixat a escala 1/10 o 1/5. Quan aquest interès ha estat molt gran, s'han fet motlles amb làtex.

#### Les projeccions dels objectes coordenats en 2 i 3 dimensions

Com acabem de dir la matriu argilosa homogènia de la seqüència superior del jaciment i la presència abundant de blocs de travertí impedeixen d'excavar seguint el pendent i l'extensió dels estrats. Aquest fet posteriorment dificulta la identificació dels nivells arqueològics i l'assignació dels objectes a algun d'ells.

Davant d'aquest problema ja durant l'etapa d'excavacions anterior al 1996 es va optar per identificar els nivells mitjançant les projeccions dels objectes

coordenats amb l'ajuda d'una computadora. Llavors s'inicià la tasca de digitalitzar tots els quaderns de l'excavació de l'Arbreda on es documentaven tots els objectes coordinats de l'excavació per tal de que fos possible treballar amb ells amb un ordinador. Aquesta tasca durà anys però gràcies a això en aquests moments ja disposem d'una base de dades que emmagatzema les referències als objectes que s'han coordinat entre l'any 1975 i el 2003 i d'un sistema d'informació geogràfica que, entre altres aplicacions, ens serveix per generar les projeccions. La digitalització dels quaderns d'excavació també ha resultat enormement útil per tal de qüestionar-nos dia rera dia les virtuts i inconvenients del mètode d'excavació que utilitzem als jaciments del paratge del Reclau i millorar-lo any rera any.

El resultat d'aquest esforç és que en aquest moment podem obtenir projeccions dels objectes coordinats de qualsevol part de la cova de l'Arbreda en alçat, planta i volum (vegeu, a tall d'exemple, les projeccions adjuntades al final d'aquest document). Això ens permet reubicar els objectes coordinats en la seva posició i context original dins del jaciment, obtenir talls de diverses mides on s'observin els nivells d'ocupació, disposar d'eines per analitzar els processos deposicionals i post-deposicionals del jaciment, representar selectivament els objectes coordinats segons la seva naturalesa...

El sistema d'informació geogràfica també permet connectar la base de dades amb una aplicació d'estadística multivariant per analitzar els objectes mitjançant aquestes tècniques o compartir les dades amb altres investigadors d'arreu del món en temps real, entre moltes altres possibilitats. En els anys a venir ens disposem a treballar amb tot el potencial analític d'aquestes aplicacions per augmentar el nostre coneixement sobre el jaciment.

Aquest sistema està estructurat de la següent manera. El nucli és una aplicació anomenada GRASS (Geographic Resources Analysis Support System). La seva tasca consisteix en efectuar ànàlisis i peticions sobre els objectes coordinats emmagatzemats a base de dades i representar els resultats en pantalla en dues o tres dimensions. Aquesta base de dades al seu torn consisteix en una aplicació anomenada PostgreSQL, que serveix les dades al sistema d'informació geogràfica o a qualsevol altra aplicació que les requereixi.

El sistema presenta, al nostre entendre, moltes virtuts i pocs inconvenients. Té a favor el fet que tant ell com les altres aplicacions complementàries es distribueixen amb el codi font obert, és a dir són lliures, i funcionen sobre qualsevol les plataformes dominants en el mercat (Motorola PPC, Intel, clònics d'Intel) i amb la majoria de sistemes operatius moderns (Mac

OS X, Linux, Windows NT/2000/XP). Es tracta, doncs, d'unes aplicacions per les quals no cal pagar per utilitzar i que es poden emprar en qualsevol ordinador. El principal inconvenient que presenta és que cal destinar bastant de temps a comprendre com s'han d'utilitzar. De tota manera aquest inconvenient és comú a tots els sistemes d'informació geogràfica.

El procediment de treball és el següent. En primer lloc cal entrar a la base de dades les informacions recollides durant l'excavació. Això es pot fer amb un editor de textos o una fulla de càlcul. Posteriorment en el cas de l'Arbreda codifiquem en xifres aquestes dades encara que avui dia ja no seria necessari i només ho continuem fent per qüestions de "compatibilitat" amb les dades que ja teniem codificades abans de 1996, que es convertien en xifres per tal de no ocupar tanta memòria d'emmagatzematge, entre d'altres motius. En tot cas quan ho desitgem podrem convertir les dades codificades altre cop a llenguatge alfabètic. Un cop s'han introduït i verificat les dades dels quaderns ja es poden exportar cap a la base de dades.

En aquesta primera etapa que acabem de descriure és d'immensa importància disposar d'un model que serveixi per transformar les dades recollides en els quaderns, que són molt diverses com a conseqüència de la diferent competència de cada excavador, en un conjunt limitat de categories que caldrà haver establert amb antelació. Si no es limitessin les categories la base de dades no tindria gairebé cap utilitat.

Un cop s'han digitalitzat els quaderns cal importar les dades des de la base de dades. En aquest pas cal tenir molt en compte el tipus que atorgarem a cada columna o camp de la taula perquè d'això en dependran les operacions que pugui efectuar l'aplicació de base de dades sobre elles..

Posteriorment es poden efectuar operacions sobre alguns camps per obtenir altres camps que seran necessaris per posteriorment obtenir les projeccions. El cas més evident és el de les coordenades dels objectes. En jaciments com el de l'Arbreda en els quals l'àrea d'excavació està quadriculada amb una malla de quadrats d'un metre de costat i els objectes es ordenen a partir del punt d'origen de coordenades de cada quadre cal transformar les coordenades perquè es refereixin a un únic punt d'origen de coordenades de tot el jaciment. Això és així perquè els sistemes d'informació geogràfia no admeten un "món" amb múltiples orígens de coordenades.

Efectuades aquestes operacions ja es pot procedir a demanar projeccions al sistema d'informació geogràfica i a estudiar els resultats.

En el nostre cas, quan desitgem identificar els nivells arqueològics procedim a obtenir projeccions que transportin a un pla uns pocs o bé la totalitat dels objectes coordenats d'una franja de sediment. A l'Arbreda actualment projectem llesques de 10 cm de gruix però això pot variar segons les nostres necessitats. Finalment, en el cas que haguèssim identificat un nivell arqueològic es pot procedir a obtenir el llistat dels objectes coordenats que el conformen. Això possibilitarà un millor estudi dels materials arqueològics perquè tindrem la seguretat que els objectes amb què treballem formen part de la mateixa unitat estratigràfica o bé d'una altra unitat estratigràfica amb la mateixa cronologia si així ens ho indiquessin per exemple els remontatges d'indústria lítica.

### L'estratigrafia de la cova de l'Arbreda

L'estratigrafia de base de la cova de l'Arbreda la vam publicar a Soler & Maroto (1987 a); partir de llavors aquesta descripció és la que s'ha anat utilitzant en els diversos treballs. En la interpretació estratigràfica i sedimentològica de la cova de l'Arbreda, i de la resta de coves del Reclau, cal tenir molt en compte el seu contex geològic. Efectivament, no tenim models paral·lelitzables d'evolució de coves obertes en travetí de cascada. El comportament d'aquest, fàcilment fracturable i erosionable degut a la seva alta porositat, la morfologia particular de les coves del paratge, encara no coneguda del tot, i la seva situació geomorfològica peculiar, tan propera a una formació superficial argilosa ben desenvolupada, fan que els reompliments resultants s'apartin molt dels habitualment existents dins de coves obertes en formacions calcàries més potents i menys poroses o dels abrics clàssics situats en espadats calcaris.

Com ja hem apuntat, una altra gran dificultat en l'estudi estratigràfic-sedimentològic de l'Arbreda rau en el fet que la cova ha estat absolutament reomplerta –àdhuc per sobre del seu volum de cavitat– i pràcticament del tot enfonsada. Les seves morfologies actual i passades només es van endevinant a mesura que es va excavant. Això fa que la descripció dels sediments no es pugui fer des d'una òptica de visió de conjunt del jaciment, amb la qual cosa la seva interpretació és limitada; a mesura que vagin avançant els treballs d'excavació s'aniran millorant les interpretacions. Si algun dia el jaciment està suficientment excavat –que no totalment ja que cal deixar sempre testimonis per a la correcta observació– llavors la interpretació podrà ser òptima.

En la descripció que segueix utilitzarem les dades procedents de tots els sectors on s'ha excavat encara que nostra excavació lògicament és la que ens aporta més informació. El sector alfa ens serveix per descriure els sediments que topogràficament es troben per sota dels de la nostra excavació i el sector gamma pels sediments més superiors. Així i tot les conclusions no tenen perquè ser representatives de la totalitat del jaciment. Podriem dir que segurament constitueixen una representació de la seva àrea central.

La descripció la fem de dalt a baix.

#### A– La terra rossa

Tot l'estrat superficial que recobreix el jaciment està format per argiles vermelles, terra rossa, que procedeixen del sòl fersialític del pla d'Usall, situat a una cota superior a la de les les coves.

Es tracta d'unes argiles molt pures, de color vermell fosc, ferruginoses, d'estructura poligonal. Contenen blocs de travertí, alguns de dimensions superiors al metre, i relativament pocs rocs i grànuls. Els cargols terrestres i les restes de microvertebrats hi són molt abundants. Els fragments d'estalagmita són absents i els travertins mai no apareixen recoberts de concreció.

Aquestes argiles s'acumulen en diversos moments postglacials sobre el reompliment de la cova erosionat. No constitueixen cap nivell arqueològic i generalment són estèrils. Malgrat això han proporcionat diversos materials arqueològics en sectors aïllats, sempre de manera dispersa i sense estar normalment *in situ*. D'altra banda recobreixen el talús que hi ha entre el pla d'Usall i el riu Serinyadell, i per tant presenten un fort pendent cap a l'oest. Així, al jaciment les trobem a 2 m per sobre el pla 0 en el sector gamma i en el cantó més oriental de l'ampliació de 1979, i a uns 2 m per sota el pla 0 en el costat més occidental del sector beta.

Cal suposar, per la seva posició, majoritàriament sense cap protecció travertírica, que bona part de la terra rossa ha estat sotmesa a la bioturbació del bosc i, abans que el vessant quedés del tot estable, sotmesa a l'evolució d'aquest. Només en els sectors gamma, sobretot, i part de l'alfa, s'ha mantingut protegit de l'evolució del vessant; per això en aquests llocs l'estratigrafia de la terra rossa té més validesa.

El contacte entre ella i el reompliment inferior sembla corresponder a una superfície d'erosió.

## B- El reompliment propi de la cavitat

Per sota de la terra rossa trobem el reompliment més característic de l'Arbreda, que és essencialment pleistònic, bé que la seva part superior podria ser holocena. Hi hem diferenciat dues seqüències principals separades per un clar contacte erosiu, visible al sector alfa, tant a les seves seccions nord i sud, deixades pel sondatge de 1973, com a l'est, reexcavada per nosaltres.

A la part basal de la seqüència superior, en el sector alfa, s'inicia una bossada d'alteració –que constitueix una paragènesi de fosfats–, que afectarà encara més als dos estrats de la seqüència inferior.

### B.1- La seqüència superior

Comprèn des del contacte amb el terra rossa fins als 6,30 m de profunditat, aproximadament, en el sector alfa.

Està formada per argiles clares més o menys arenoses que contenen quantitats variables, sempre importants, de blocs i rocs. Aquests blocs i rocs a vegades s'agrupen en horitzons bretxoides. Alguns dels blocs destaquen per les seves grans dimensions.

Aquesta seqüència, bé que és molt difícil de subdividir-la en estrats, no és homogènia en profunditat, ni tampoc lateralment. Arqueològicament, durant l'excavació hem pogut identificar 9 nivells culturals.

S'inicia amb un tram pobre (nivell A), en alguns punts estèril, que conté nombrosos blocs i rocs de travertí. Quan més cap a l'est, està menys erosionat i té més potència (al sector beta només es troba de manera clara a la banda dels quadres E). La seva base se situa entre els 2,45 m i 2,65 m de profunditat sota el nivell 0 a la secció est (secció E/F), i en el seu sostre hi tenen la base alguns grans blocs que responen a l'últim enfonsament de la coberta travertínica.

Per sota, i amb el mateix context sedimentològic, trobem un nivell arqueològic pobre (nivell B), però no tan dispers com l'anterior, que es caracteritza per la presència de puntes d'escotadura solutrianes. És un nivell prim, normalment d'uns 15 cm. A partir de la banda dels C ja no es troba, per estar erosionat, i a la dels D només hi és de manera escassa.

A continuació, en contacte amb l'anterior, trobem el primer nivell arqueològic ric (nivell C, abans solutrià nivell superior), amb fauna abundant i amb una indústria del solutrià superior. Sedimentològicament no es diferencia gaire del tram anterior, però ara comencem a trobar fragments de travertins i objectes arqueològics recoberts de concreció. En els llocs on era més dens, en

el nord-est, aquest nivell arqueològic tenia un color més fosc degut a les cendres que contenia. Aquest nivell ja s'estén fins la banda dels B i la seva potència varia entre els 20 cm i els 45 cm.

Per sota aquest nivell arqueològic clar, continuem trobant altres materials solutrians dins d'un context arqueològic més pobre i més dispers (nivell D, abans solutrià nivell inferior), dins del mateix context sedimentològic. Aquest nivell presenta un gruix entre els 20 cm i els 40 cm.

Més avall, aproximadament entre 3,40 i 4,60 m, i arreu dels sector alfa i beta, trobem enormes blocs de travertí, que han de respondre a un enfonsament important i general de la coberta. En els espais que deixen lliures els blocs hi trobem un nivell arqueològic ric (nivell E, abans gravetià nivell superior), almenys al nord-est, on les cendres, molt abundants, li donen puntualment un color negre; la seva indústria correspon a un gravetià superior i té una potència entre 15 cm i 55 cm.

Per sota aquest nivell, i seguint en el mateix context sedimentològic, continuem trobant elements gravetians, però ara dins d'un context força més pobre i més dispers (nivell F, abans gravetià nivell inferior). Aquest nivell amida entre 30 i 60 cm de gruix.

Per sota els grans blocs s'hi troba un nou nivell arqueològic, el més ric dels fins ara excavats a la cova de l'Arbreda (nivell G) i que té una potència de 40 cm a 60 cm. En ell hi ha pocs blocs i disminueixen les dimensions dels rocs. Culturalment correspon a l'aurinyacià evolucionat. En el sector alfa, en aquest nivell comencen a aparèixer traces de l'alteració, que gradualment s'anirà fent més intensa. Els travertins es presenten alterats, fàcilment erosionables i a voltes amb una acumulació de silici i manganès que els recobreix. Cap el sud, l'alteració desapareix.

A continuació, en contacte amb l'anterior i aproximadament entre els 5 m i els 5,25 m de profunditat, trobem el nivell H, la indústria del qual correspon a l'aurinyacià arcaic. En aquest nivell, l'alteració present al sector alfa el diferencia sedimentològicament del sector beta. En el primer, gran part dels blocs i rocs desapareixen i el sediment es fa cada vegada més argilós degut a la desaparició dels carbonats; en el beta, els rocs són molt abundants, el sediment és més granulós i també hi ha grans blocs de travertí. La part superior d'alguns d'ells ja apareixia al nivell supra-jacent. El nivell H té un gruix de 20 cm a 45 cm.

Per sota, i sense diferenciació sedimentològica, es troba el nivell I, ja mosterià, que és ric sobretot en elements lítics, bé que els objectes es troben de manera dispersa.

En el sector alfa, degut a l'alteració, els blocs desapareixen del tot i els rocs són cada vegada més escassos i sempre alterats (recoberts de silici i molt erosionables). La matriu és cada vegada més argilosa. La fauna és molt escassa (ha desaparegut en gran part). Aquest tram s'acaba amb un contacte erosiu situat aproximadament als 6,30 m de fondària al sector alfa.

Al sector beta la bossada d'alteració no l'afecta, i per tant és de més bon definir. Els rocs són abundants i la fauna està ben conservada; no s'ha profunditzat, però, tant com al sector alfa.

El nivell I mesura uns 50 cm de potència al sector alfa; al sud del sector beta agafa més espessor i té un mínim, de moment, de 60 cm. Si el contacte erosiu visible al sector alfa es mantingués horitzontal al llarg de la secció E/F, arribaria a una potència de 105 cm; és fàcil, però, que aquest contacte pugi i que el nivell no sigui tan espès. D'altra banda, és el primer nivell que es troba clarament repartit per tota la superfície del sector beta.

## B.2~ La seqüència inferior

La seqüència inferior, només coneguda al sector alfa, es divideix, fins els 8,80 m de profunditat excavada, en dos estrats diferents, igualment separats per un contacte erosiu. Tot ella encara es troba alterada.

B.2.1~ És un estrat format per 1,8 m d'argila vermellosa, de color més clar que l'argila suprajacent. Sembla correspondre al punt màxim d'alteració, que després va disminuint cap a baix. Es caracteritza per l'abundància de taques grogues, que corresponen aombres de grànuls de travertí; no hi ha cap bloc ni roc. Aquest estrat és molt homogeni i arriba fins uns 7,50 m de fondària. És pobre en elements lítics i faunístics, bé que el sector excavat no pot ser de cap de les maneres representatiu d'ell degut a la forta alteració que l'afecta.

Conté nivells mosterians, essencialment excavats al sondatge de 1973. A l'etapa moderna es va iniciar lleugerament la seva excavació (el nivell J, que es va profunditzar uns 10 cm al sector alfa).

B.2.2~ És un conjunt d'estrats constituïts per una sèrie de capes llitades, amb un cert component tractiu, formades per sorres de diàmetre de gra variable i lílims. Conté alguns blocs i rocs alterats, amb concrecions de manganès, en el seu tram superior. A partir de 8 m, disminueix el nombre de rocs i desapareixen els blocs.

Actualment no aflora (es troba cobert), fet que ens ha impedit poder-lo descriure més acuradament.

Les restes arqueològiques (indústria lítica i restes de fauna) són molt abundants i corresponen també a nivells mosterians excavats en 1973. Alguns dels ossos presenten un aspecte rodat.

#### C – El talús oest

La zona més occidental del sector beta correspon al talús existent cap al riu Serinyadell, i per tant el seu reompliment superior és atípic, perquè correspon a una zona d'erosió i ressедimentació. Comença molt més avall dels 2 m per sota el pla 0 i s'hi troben els enormes blocs de travertí sobre els quals s'havia proposat que haguessin constituit l'entrada, fracturada, de la cova. A hores d'ara i a la llum dels resultats de l'excavació de 1996 ja no considerem aquesta hipòtesi. En tot cas, entre aquests blocs i també sota seu s'ha acumulat terra rossa. Els pocs materials arqueològics que conté no es troben en posició primària. A partir dels 4,70 m de fondària, trobem el reompliment de la seqüència superior, ara ja *in situ*, i que presenta un fort pendent cap al nord. Es troben alguns objectes dels nivells antics del paleolític superior, però a causa del fort pendent és molt difícil individualitzar-los, i després, de seguida, els mosterians del nivell I.

La volta travertínica enllaça lateralment amb la volta de la cova pel cantó nord i amb els blocs estalagmítics del sector sud-oest.

#### D – El sector sud-oest

El sector sud-oest del sector beta presenta un reompliment diferent que de moment no tenim correlacionat amb el de la resta de l'excavació. Aflora puntualment a les seccions sud i oest. Sedimentològicament es caracteritza per la presència, directament sota el terra rossa, d'una matriu arenosa calcificada.

Aquesta sorra es troba en contacte amb abundants fragments de travertins fracturats *in situ* i que tenen la seva continuació lateral amb els de la secció oest. Uns i altres s'ajunten en una columna travertínica en formació situada a l'angle sud-oest. La nostra interpretació provisional és que aquest conjunt travertínic separa una àrea de sedimentació al sector sud-oest, i potser també sud, del sector beta, i que la nostra excavació ha tallat just per la part de la separació, prou just com per apreciar i excavar molt lleugerament aquest altre reompliment en els quadres A5, B5, C5 i D5. En ell, el mosterià hi fa la seva aparició molt abans que a la resta de l'excavació, ja que surt pràcticament en contacte amb la terra rossa. La troballa d'una lamineta Dufour entre aquesta i el

mosterià, ens fa suspitar l'existència de també paleolític superior, potser ara majoritàriament erosionat, en el sector sud-oest.

### L'evolució del reompliment de la cova de l'Arbreda

No coneixem en detall quin podia ser l'aspecte i la morfologia de l'Arbreda quan fou ocupada per primera vegada, ni tampoc quan va tenir lloc aquesta ocupació. Suposem que la cavitat presentava, dins l'orientació general nord-sud, una morfologia dividida en unes poques àrees diferents, no totes situades a les mateixes cotes topogràfiques.

A la banda sud-oest sembla que tenim les primeres ocupacions conegeudes per ara en un dipòsit de sorres. Són mosterianes i podrien correspondre a la segona meitat de l'estadi isotòpic 6 (entre 160.000 i 130.000 anys).

A l'àrea on s'escaigué el sondatge del sector alfa, que a l'oest queda limitada per la paret de travertí, les primeres ocupacions conegeudes, que es recolzen en part sobre aquesta paret també són mosterianes i es troben dins del primer paquet sedimentari que per ara coneixem en aquest sector, que podria corresponder als finals de l'estadi isotòpic 5 (74.000 anys). Aquests sediments eren, almenys en part, dipositats i rentats per corrents tractius.

A aquests primers moments es van succeir d'altres, també dins del paleolític mitjà, en els quals va predominar la sedimentació per decantació.

Ja dins l'estadi isotòpic 4, part del sediment fins aquell moment dipositat va ser erosionat i després cobert per noves aportacions també argiloses, acompanyades aquesta vegada d'abundants rocs de travertí de la cavitat. Almenys part d'aquestes primeres aportacions van tenir lloc fa aproximadament uns 39.000 anys, dins del paleolític mitjà, i poc després fa uns 38.000 anys, dins del paleolític superior.

Durant el primer interval de temps, encara en època mosteriana, va tenir lloc la primera caiguda important de blocs. Aquesta caiguda no afectà al sector alfa. Molt més tard les caigudes es repeteixen al voltant d'ara fa 23.000 anys, en el dipòsit de tota la resta del tram superior que correspon arqueològicament a diferents nivells del paleolític superior i que cal ubicar dins de l'estadi isotòpic 2 i part de l'1. En ell predominen els fenòmens de caigudes de blocs i rocs i de sedimentació per decantació. L'àrea font de les argiles d'aquest tram superior és probablement el pla d'Usall.

Potser just després del dipòsit del primer dels nivells del paleolític superior (l'H) va tenir lloc una interrupció sedimentària en la qual es va produir l'alteració

de bona part del reompliment ubicat al sector alfa. Aquesta alteració sembla que va ser deguda a una acumulació important de guano a l'interior de la cova. Després de l'ocupació de l'aurinyacià evolucionat (nivell G) va tenir lloc la més important, aparentment, de les caigudes de blocs, que afectà tant el sector alfa com el beta.

Les ocupacions gravetianes (nivells F i E, fa uns 20.000 anys) ocuparen els espais que deixaren lliures els grans blocs. Aquests blocs no varen ser totalment ultrapassats pel sediment fins a les ocupacions solutrianes (nivells D, C i B, al voltant dels 17.000-16.000 anys).

A partir de finals del paleolític superior hi va haver noves caigudes de blocs, les quals desprotegiren bona part del jaciment. Més tard el seu reompliment sofreix una forta erosió afavorida per la desprotecció de la cavitat. Aquesta erosió segurament és deguda a la variació de la línia de talús entre la cova i el riu Serinyadell a conseqüència d'un encaixament d'aquest.

En època plenament postglacial, el terra rossa procedent del pla d'Usall fossilitza tot aquest reompliment mentre es desprenen els últims blocs. Encara el jaciment s'utilitza puntualment per fer-hi enterraments o acampades molt esporàdiques. El lloc perd definitivament l'aspecte de cova i la vegetació que s'hi instal·la el camufla dins del bosc i inicia la formació d'un sòl bru.

## 7.- LA COVA DE MOLLET

La cova de Mollet és una petita cavitat que es va originar durant el plistocè mitjà. Forma part del conjunt de cavitats situades al paratge de les coves del Reclau (Serinyà), les quals representen el marge occidental de la conca de sedimentació lacustre del pla d'Usall. En aquest sector, notablement influenciat per l'encaix fluvial del Serinyadell, és molt possible que els fluids d'aigües riques en bicarbonats, procedents de les diferents surgències, trobessin el ressalt topogràfic suficient per construir dipòsits travertítics dominats per les fàcies de cascada (Brusi *et alii*, 1999).

Al jaciment s'hi identifiquen tres conjunts arqueològics (Maroto *et alii*, 1987; Cortada & Maroto, 1990). El superior contenia un enterrament amb ceràmica llisa i una dena de collaret, a més de diversos materials barrejats, recents i

prehistòrics; la seva cronologia se situaria entre el neolític final i el bronze ple. Correspondria a un estrat d'argiles fosques.

El segon va proporcionar una indústria lítica de l'aurinyacià arcaic i es trobava en un estrat d'argiles vermelles; per tant correspon a inicis del paleolític superior.

El tercer conjunt arqueològic, l'únic significatiu quant a riquesa, és del paleolític mitjà (conté una interessant indústria mosteriana). Té una potència de 2,30 m i agrupa un estrat d'argiles vermelles, una capa calcària i un estrat de sorres llimoses, o llims, de color groc. Ha proporcionat nombroses i interessants restes faunístiques. En anteriors treballs (Maroto *et alii*, 1987; Cortada & Maroto, 1990) s'havia optat per considerar tot el conjunt com uniforme i atribuir-lo a un moment avançat del plistocè mitjà.

Però, la interpretació de la fauna del conjunt inferior presenta dificultats. D'una banda, els materials procedeixen d'excavacions velles i presenten problemes de correlació estratigràfica. De l'altra, la classificació del material també és vella (Mir, 1973; Mir & Salas, 1976; Mir, 1979; Mir & Soler, 1979; Estévez, 1979; Estévez, 1980; Maroto *et alii*, 1987), de manera que caldria actualitzar-la taxonòmicament; de fet, l'únic estudi taxonòmic del material és el que va realitzar Anna Mir per a la seva tesi de llicenciatura (Mir, 1973; Mir & Salas, 1976).

### Antecedents

El jaciment va ser descobert el 1943 i es va excavar parcialment durant un petit període de 1947-48. L'any 1958 s'hi va dur a terme una nova campanya i l'agost de 1972 s'hi van realitzar els darrers treballs per part de J.M. Corominas. En aquests últims es va excavar un petit corredor denominat "racó" que conduïa a una petita sala. Mir & Salas (1976) citen la presència en aquesta sala de sediments que testimonien els nivells inferiors.

Totes les campanyes van ser dirigides per Josep M. Corominas, que va comptar amb la col·laboració d'Eduard Ripoll i Lluís Pericot, el 1958, i Miquel Oliva, Josep M. de Bedoya i Josep Canal, el 1972. En aquesta última s'arribà a uns 3,50 m de profunditat. Encara el 1980 s'hi portà a terme un sondatge

29

d'aproximadament 1m<sup>2</sup> per 1,50 m de profunditat, entre capes de travertí, que resultà estèril (Maroto *et alii*, 1987).

L'any 1996 es dugué a terme la neteja de les terres procedents de les excavacions anteriors que s'havien abocat sobre el talús travertínic orientat cap al Serinyadell. S'enretiraren amb l'objectiu de recuperar la morfologia original de la cova i adequar d'aquesta manera el paratge del Reclau als visitants del parc arqueològic. Van ser garbellades en part per tal de recuperar els objectes arqueològics que poguessin contenir. Majoritàriament aparegueren restes de fauna i alguns elements d'indústria lítica.

### La molar humana

De l'excavació de 1972, conservada amb les restes paleontològiques, va ser identificada una molar humana mentre es netejava i classificava la fauna. Al passar desapercebuda durant l'excavació, es va perdre la referència de profunditat que J.M. Corominas sempre col·locava en tots els materials. Tot i que es desconeix el lloc exacte on va ser trobada –sí l'aproximat–, sabem que les restes òssies d'aquesta excavació procedeixen quasi exclusivament de l'estrat inferior. A més a més, el seu estat de fossilització, la pàtina i les característiques morfològiques així semblen indicar-ho. Es tracta d'una primera molar superior dreta que correspondría a un individu jove preneandertal (Maroto *et alii*, 1987; Cortada & Maroto, 1990).

### La fauna del plistocè mitjà

L'estudi de les restes faunístiques recuperades a la cova de Mollet juntament amb les dades bibliogràfiques ens permet establir un llistat d'espècies de grans mamífers a l'estrat inferior de la cova. Cal destacar que les restes més dubtooses han estat suprimides en espera de noves dades que ens proporcioni l'excavació en curs. La presència d'aquesta fauna mesopliscènica a la cova de Mollet segurament és fruit de diversos agents: l'aportació natural i la duta a terme per part de carnívors serien les que donarien un major nombre de restes;

l'altra, encara per verificar, seria de caràcter antròpic i l'haurien dut a terme els caçadors de les comunitats preneandertalianes.

A continuació presentem els catorze tàxons més clarament representats entre les restes. A aquells cal sumar-hi altres grans mamífers que no tenen una atribució estratigràfica clara, o si la tenen no corresponen a l'estrat inferior, son el porc senglar (*Sus scrofa*), el cérvol gegant (*Megaceros*), la guilla (*Vulpes vulpes*), l'ós bru (*Ursus arctos*) i l'ós de les cavernes (*Ursus spelaeus*) (Mir, 1973, 1979; Estévez, 1979).

– L'elefant antic (*Elephas antiquus / Palaeoloxodon antiquus*): només es conserva una molar de llet i dos altres fragments de molar que es caracteritzen, segons Mir (1973, p. 88), per tenir les corones relativament baixes, allargades i estretes.

– El cavall de Mosbach (*Equus mosbachensis*): la majoria de restes identificades per Mir (1973, pp. 92-94) pertanyen a la dentició, tot i que també es classificaren unes 12 restes postcranials. Es va calcular un nombre mínim d'individus (NMI) igual a 6 (3 infantils i 3 adults).

– L'ase salvatge (*Equus hydruntinus*) només va s'identifica per restes dentàries, amb les quals Mir (1973) va comptabilitzar un NMI = 6 (3 infantils i 3 adults).

– El rinoceront de les praderies (*Dicerorhinus (Brandtiorhinus) hemitoechus*): MIR (1973) ha identificat *Dicerorhinus hemitoechus* (una dent i un metàpode) i *Dicerorhinus etruscus* (3 restes dentàries que atribueix a un NMI = 2). Estévez (1980) també cita les dues espècies, però Maroto *et alii* (1987, 106) esmenten les restes com a *Dicerorhinus hemitoechus* i *Dicerorhinus* sp. A Cortada & Maroto (1990, p. 138) i Galobart *et alii* (1996, p. 251) només apareix el *Dicerorhinus hemitoechus*.

– El cérvol (*Cervus elaphus*): tot i que Mir (1973) identifica restes de cérvol, ren, daina i cabriol a la cova de Mollet, no inclou les dades a la seva tesi de llicenciatura, i per tant desconeixem tant el NR com el NMI que pogués haver calculat. Estévez (1979), però, cita que en la col·lecció que es conserva al C.S.I.C. –avui al Museu de Geologia de Barcelona– va comptabilitzar 18 restes de *Cervus elaphus*.

– El ren (*Rangifer tarandus*): l'espècie està documentada amb seguretat per una molar superior. Estévez (1979) cita 10 restes amb interrogant, ja que

reconeix que no està segur de si es tracta del *Rangifer tarandus* o del cérvol de petita talla del Würm I.

– La daina (*Dama* sp.): Mir (1979, p. 169) cita la presència de restes de daina a la cova de Mollet, però no les comptabilitza; Estévez (1979) esmenta 6 restes.

– El cabriol (*Capreolus capreolus*): Mir (1979, p. 169) cita la presència de restes de cabriol a la cova però no les comptabilitza; Estévez (1979) n'esmenta 28.

– L'ur (*Bos primigenius*): Mir (1979, p. 169) cita la presència de restes d'ur a la cova, però no les comptabilitza; Estévez (1979) n'esmenta 28.

– El bisó de les estepes (*Bison priscus*): Mir (1979, p. 169) cita la presència de *Bison priscus* a Mollet, però no comptabilitza les restes; Estévez (1979) n'esmenta 6.

– El llop de Lunel-Viel (*Canis lupus lunellensis*): A. Mir (Mir, 1973; Mir & Salas, 1976) identifica com a *Canis lupus lunellensis* diverses restes cranials i postcranials i calcula un NMI = 3 (2 adults i 1 jove).

– L'ós praearctos (*Ursus* sp.): A. Mir (Mir, 1973; Mir & Salas, 1976) identifica com a *Ursus praearctos* a Mollet diverses restes cranials, essencialment dentàries, i calcula un NMI = 4 (1 jove, 2 adults i 1 vell).

– El linx de les cavernes (*Lynx spelaea* / *Lynx pardina spelaea*): s'han recuperat i identificat com a *Lynx spelaea* dues restes cranials que responen a un NMI=2 (Mir, 1973).

– La hiena (*Crocuta crocuta intermedia*): l'espècie amb més NR (quasi 300 restes), tant cranials com postcranials, principalment procedents de la part denominada "racó" del nivell inferior. A. Mir (Mir, 1973; Mir & Salas, 1976) hi va calcular un mínim de 12 individus. L'abundància de les seves restes òssies i copròlits, com també la presència d'altres restes que semblen haver estat carronyejades per aquests animals, fan pensar en l'existència d'un autèntic cúbil de hienes.

Els nous treballs de camp a la cova de Mollet han de permetre poder datar aquesta fauna i caracteritzar-la amb precisió. Com a dada provisional, i tenint en compte el context regional i cultural europeu i de Serinyà, la presència tot plegat del llop, la hiena, l'ós, el ren, l'elefant antic, i els travertins cremats trobats a l'excavació de 2001, situarien el conjunt en la part alta del plistocè mitjà, encara dins un marge cronològic molt ample.

## **8.- LES INTERVENCIONS ARQUEOLÒGIQUES DEL L'ANY 2002**

L'any 2002, en el marc d'un mateix permís d'excavació, es varen realitzar intervencions arqueològiques a la cova de Mollet i a la cova de l'Arbreda. La campanya en tots dos jaciments es va desenvolupar de manera simultànea, entre els dies 1 i 26 de juliol, coincidint també amb un dels períodes de màxima afluència de visitants al Parc de les Covetes Prehistòriques de Serinyà.

El Parc és l'equipament cultural que representa la voluntat dels arqueòlegs i les institucions de protegir els jaciments del paratge del Reclau i difondre els resultats de les investigacions que s'hi duen a terme. Així doncs, també aquest any les intervencions arqueològiques que hem realitzat a la cova de l'Arbreda i a Mollet es convertiren en un atractiu més del Parc, contribuïnt d'aquesta manera a la difusió de la feina que s'hi realitza entre els ciutadans.

### **La intervenció a la cova de l'Arbreda**

La intervenció a la cova de l'Arbreda (fig. 4.1) fou programada com la continuació natural dels treballs realitzats en el mateix jaciment durant la campanya anterior de juliol de 2001.

Com en aquella campanya, es va continuar excavant dins de l'àrea de l'excavació delimitada l'any 1975, prosseguint l'excavació dels estrats mosterians que són els que en aquest moment es troben visibles (fig. 4.2). Igual que en campanyes anteriors, en aquesta hem intentat regularitzar-ne el sòl per tal de tenir una millor impressió general del jaciment i no limitar l'obtenció de dades a uns pocs indrets.

A començaments de l'any 2001 els quadres de la superfície de l'excavació que es trobaven a una cota més baixa eren els del sector més orientals, els anomenants quadres de la banda dels E, mentre que la resta de quadres es trobaven a una cota força més alta perquè no s'hi havia treballat tant durant els anys anteriors (fig. 5).

Durant la campanya de l'any 2000 varem desplaçar progressivament l'activitat dels excavadors més cap a l'oest, sobretot cap a les bandes dels quadres D i C, i durant la campanya de 2001 varem repetir el mateix model i excavant encara més cap a l'oest, especialment a les bandes A, B i D (fig. 6).

La campany de 2002 l'objectiu era rebaixar tots els quadres fins a la cota de 600 cm per sota del punt 0 de l'excavació, cota a la qual només estaven uns pocs quadres de les bandes E, D i C, excavats en anys anteriors (fig. 5).

De la mateixa manera desitjàvem també poder aprofundir tant com fos possible els quadres de la filera 5, ja que en aquests les tasques d'excavació havien quedat una mica endarrerides i es trobaven a una cota força superior a la de la resta de l'excavació. Això era degut a la dificultat que suposava de treballar-hi i al fet que, just a sobre seu, hi havia l'escala per la qual accedíem al jaciment fins ara.

La nostra intenció era acomplir doncs aquests objectius, proposant-nos també parar especial atenció a la presència de possibles nivells o sols d'ocupació clars que poguessin ésser individualitzats.

El procés rutinari d'excavació del jaciment es va produir sense cap contratemps important, seguint la metodologia d'excavació que havia estat exposada anteriorment en el projecte d'investigació del jaciment.

L'aspecte del sediment d'aquests estrats mosterians no era massa diferent del sediment propi de cotes superiors i els quadres que havíem pogut excavar l'any 2001. Potser la diferència més evident era que en alguns quadres era molt dur, però això no ens va sorprendre ja que és un fet habitual tant dels nivells mosterians com de les parts més occidentals del jaciment.

En general podríem caracteritzar el sediment que vam excavar com a dur, argilós i amb presència abundant de blocs de travertí de totes dimensions. Cal esmentar d'una manera especial només la troballa d'un conjunt de restes lítiques i faunístiques molt concrecionades que varen aparèixer en el quadre D5 sota un bloc de travertí (fig. 7.1). La presència de concrecions, causades quan les restes arqueològiques queden afectades per l'acció de les aigües carbonatades, no és gens estranya en cavitats travertíiques com la de l'Arbreda, i tampoc no és la primera vegada que apareixen en aquest jaciment.

Com a resultat dels treballs d'excavació de la campany de 2002, quan aquests finalitzaren el sòl del jaciment es trobava a una apreciable major profunditat.

El fet que no haguessim identificat la presència de cap sòl d'hàbitat, fet que ens hauria obligat a modificar els nostres objectius de regularització del sòl d'excavació, va permetre també de mantenir unes cotes relativament homogènies i donar al sòl del jaciment un aspecte regular, amb l'excepció

només de la cantonada sud-est, la qual varem aprofundir més per tal de facilitar posteriors treballs.

Pel que fa a la fisonomia general del jaciment, a partir d'aquesta campanya es fa evident la seva transformació a causa de l'aparició de diversos blocs de travertí i d'estalagmita de grans dimensions a la part central i occidental del sector beta (fig. 14.1).

Aquests grans blocs, que semblaven estar en posició primària i formar part de l'estructura original de la cavitat, havien donat un nou aspecte al jaciment alhora que n'havien reduït força l'àrea d'excavació, facilitant d'aquesta manera la concentració dels esforços en els quadres on l'excavació encara podia prosseguir. Concretament aquest any va aparèixer una gran placa de travertí que va aturar els treballs d'excavació als quadres A5, A4 i part d'A3, i un parell de pilars d'estalagmita que varen limitar molt les àrees amb sediment en els quadres C2 i C3.

A aquests elements de l'estructura de la cova cal afegir encara la presència d'una gran placa estalagmítica en quadre D4, placa que ja havia estat detectada l'any anterior (2001, vegeu la memòria corresponent), i que enguany varem poder comprovar que no s'enfonsava dins el sediment sinó que era planera. Segurament va restar allà en posició secundària, no com els altres elements estructurals de la cavitat que acabem d'esmentar.

Durant les campanyes de 2003 i 2004 la continuació dels treballs a la mateixa zona varen permetre continuar descalçant i delimitant aquests elements, que actualment recobreixen gairebé tota la superfície practicable de l'excavació. La seva descoberta és de gran importància per a poder interpretar la morfologia original de la cavitat, llur evolució estructural major i la seva dinàmica sedimentaria, tots aquests aspectes molt importants per a poder interpretar de manera adequada el registre arqueològic del nostre particular interès científic.

## **Estudi dels materials de la cova de l'Arbreda**

L'excavació de l'any 2002 no han canviat gaire les dades que ja havíem ofert en anteriors informes sobre les característiques generals del nivell musterí que hem estat excavat durant aquestes darreres campanyes.

De fet, les dades que presentem en aquest document haurien de ser afegides a les ofertes a les memòries dels anys 2000 i 2001 per a poder fer-ne una valoració conjunta. Tot esperant que es pugui acabar l'excavació completa del nivell per a fer-ne l'estudi detallat, presentarem tant sols ara unes primeres valoracions generals sobre les restes trobades el 2002.

### La indústria lítica

La indústria lítica recuperada en aquest campanya, amb un nombre total de 997 restes d'una talla més gran de 1 cm de longitud, presenta una aparença molt homogènia i característica del període musterí al que corresponen (fig. 8-12).

De manera general, es tracta d'una indústria tallada amb una relativa diversitat de tipus de roques que provenen de l'entorn proper del jaciment, materials que foren explotats mitjançant uns sistemes de talla de poca complexitat per a produir un gran nombre d'ascles.

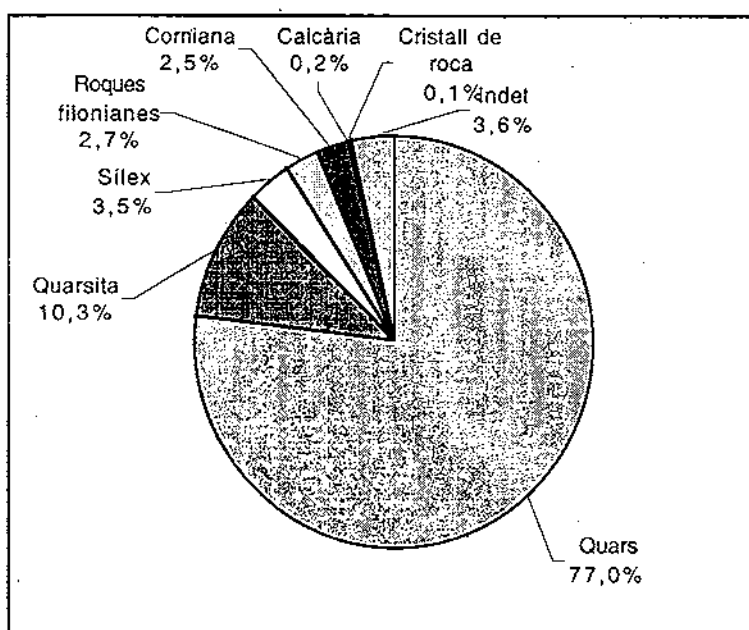
Com en campanyes anteriors, i de fet, com és habitual en els diferents nivells del Paleolític mitjà del jaciment, el quars, que assoleix un percentatge del 77,03% sobre el total de les restes, és el tipus de matèria primera millor representada en el nivell. Segueixen a aquest tipus de roca, amb un nombre molt menor de restes, la quarsita, el sílex (categoria que comprèn diversos tipus de roques silícies, tant de procedència local com forània), les roques filonianes de textura porfírica i la corniana. A nivell de presència (amb percentatges inferiors a l'1%) també s'hi troben representades la calcària, el cristall de roca i altres litologies indeterminades que no corresponen a cap de les anteriors categories (vegeu la taula i gràfics núm. 1).

Llevat tant sols d'alguns objectes elaborats amb un tipus de sílex forani de gran qualitat per a la talla, restes que probablement correspondrien als nivells aurinyacians que colgaven la seqüència del Paleolític mitjà del jaciment, la resta de materials provenen dels dipòsits de conglomerats i graves d'edat pliocena que es localitzen a l'est del Pla d'Usall i al nord del poble de Serinyà, així com de les valls dels rius Ser i Fluvià.

Aquest és un caràcter ben típic de la conducta de proveïment de matèries primes lítiques d'aquest període. En aquest sentit, malgrat que existeixin algunes lleus diferències en el percentatge d'un o altre tipus de roca respecte d'anys anteriors, hom documenta una mateixa conducta general.

	n	%
Quars	768	77,03
Quarsita	103	10,33
Sílex	35	3,51
Roques filonianes	27	2,71
Corniana	25	2,51
Calcària	2	0,20
Cristall de roca	1	0,10
Indet	36	3,61
<b>Total</b>	<b>997</b>	<b>100,00</b>

Taula 1 – Distribució de la indústria lítica, per matèries primeres.



Gràfic 1 – Representació gràfica de la taula 1.

Respecte de la composició tècnica de les restes, la indústria recuperada a la campanya de 2002, també com en els anys anteriors, destaca per l'elevada representació que hi assoleixen les ascles de tota mena (57,07% del total), seguit dels fragments de talla (41,52%) i finalment, els nuclis i petits còdols (0,80 i 0,50%, respectivament). Completa aquest recompte un percutor sobre còdol, únic útil d'aquesta mena recuperada a l'excavació d'aquells any (taula i gràfic núm. 2).

Les ascles que conformen la categoria més nombrosa comprenen algunes làmines de sílex que probablement són de nivells del Paleolític superior, fet que

ja hem esmentat abans, algunes ascles levallois ben típiques, majoritàriament de quarsita, i algunes poques ascles de tipus desbordant o amb dors natural. Majoritàriament totes aquestes són amples, curtes i planeres.

Preses conjuntament aquestes es poden atribuir a mètodes de talla levallois de la modalitat centrípeta recurrent, procediment de talla que apareix molt més reexit en aquest nivell que en l'immediatament superior (el nivell I) (fig. 9, 1,2; 10, 2, 3; 12, 1, 3).

Cal destacar que un nombre elevat de les ascles de major grandària estan retocades. Malgrat aquest fet però, el percentatge total d'útils retocats respecte del nombre total de restes de talla (exclosos els còdols, núclis i percutor) és molt feble (4,3%)

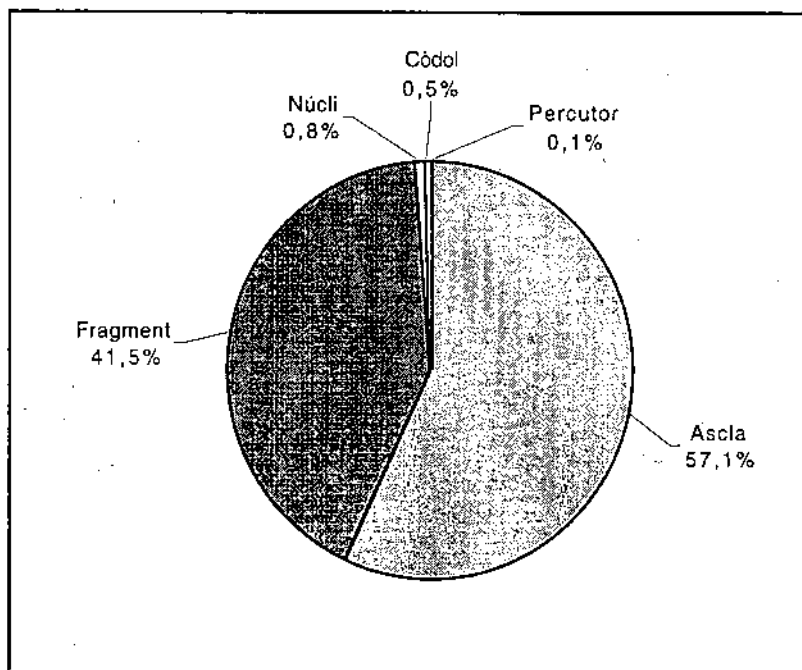
	n	%
Ascla	569	57,07
Fragment	414	41,52
Núcli	8	0,80
Còdol	5	0,50
Percutor	1	0,10
<b>Total</b>	<b>997</b>	<b>100,00</b>

Taula 2 – Distribució de la indústria lítica per categories.

La segona categoria millor representada són els fragments de talla. El seu elevat nombre és degut principalment al caràcter mediocre de les matèries primeres explotadess, roques que per llur gra o la presència de fissures internes generen nombroses petites restes i fragments de talla difícils de classificar. Aquest fet és especialment cert respecte del quars, moltes de les ascles de les quals es troben fragmentades.

Respecte dels núcls, durant la campanya de 2002 se'n varen trobar vuit. Es tracta de petits núcls sobre còdol de quars i quarsita que, en tots els casos, explotats amb una talla de direcció centrípeta des de la perifèria del bloc cap al centre. Els millor caracteritzats tècnicament, de superfícies tècnicament jerarquitzades, són fàcils de classificar dins dels mètodes de talla levallois (fig. 11.1). Algun altre podria correspondre potser a mètodes de tañña discoïdes encara per establir-ho fermament caldria aprofundir en l'estudi de la indústria.

Durant la campanya de 2002 es va recuperar també un percutor sobre còdol, un tipus de troballa que és poc habitual encara que el 2002 també se'n va trobar un altre exemplar. La presència d'aquests tipus d'instruments indica clarament que a l'interior de la cova es varen realitzar algunes tascas de talla.



Gràfic 2 – Representació gràfica de la taula 2.

Respecte dels útils retocats, en primer lloc cal destacar que aquests no són molt abundants ni tampoc especialment variats. Ja hem assenyalat abans que respecte del conjunt de productes de talla representen certament un percentatge molt discret però que en qualsevol cas és similar al documentat en campanyes anteriors (4% l'any 2000, 7% l'any 2001 i 4,3% l'any 2002) (taula i gràfic núm. 3).

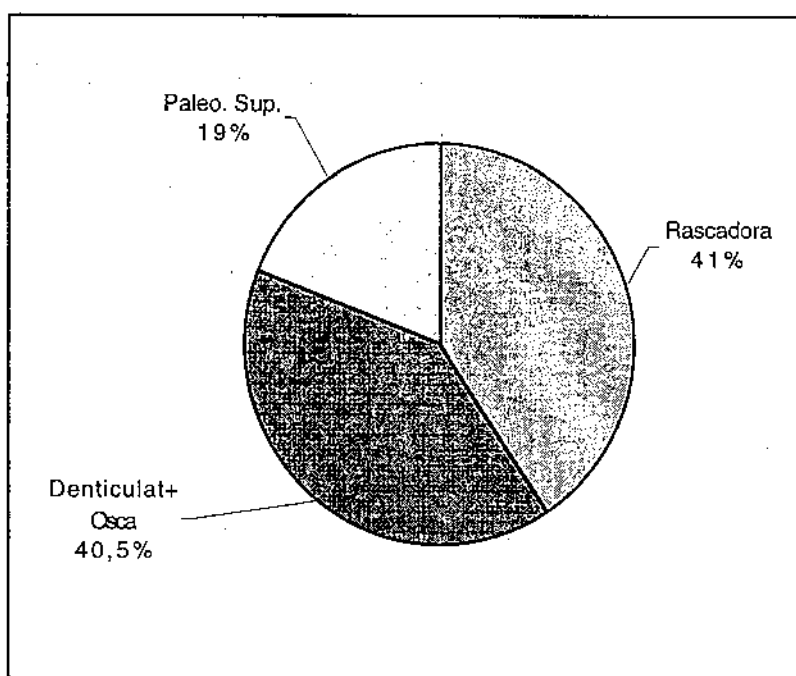
	n	%
Rascadora	17	40,48
Denticulat	13	30,95
Osca	4	9,52
Raspador	7	16,67
Burí	1	2,38
<b>Total</b>	<b>42</b>	<b>100,00</b>

Taula 3 – Proporció entre denticulats i rascadores.

Entre aquests, les rascadores són el tipus millor representat (40,48%), seguit dels denticulats (30,95%), les osques (9,52%), els raspadors i els burins (16,67% i 2,38%, respectivament).

La gran majoria d'útils, llevat només d'alguns dels raspadors, foren configurats amb una modalitat de retoc simple i profunda (fig. 9, 4, 5; 10, 1, 3, 4; 11, 3, 4). Es tracta així mateix d'instruments planers, entre els quals manquen alguns morfotipus típics de fàcies del Paleoític mitjà ben definides com per exemple les rascadores de tipus Quina o els ganivets de dors del Musterià de Tradició Aixeliana.

Respecte d'anys anteriors, destaca en els recomptes de la campanya de 2002 la presència d'un percentatge apreciablement més elevat d'útils de tipus paleolític superior (gràf. 3 i 4). Llevat d'aquest fet, la diversitat tipològica i l'aparença tècnica general dels instruments retocats és plenament equiparable: feble predomini de les rascadores per sobre dels denticulats i les osques, escassa diversitat tipològica d'ambdues categories i, finalment, escassíssima representació d'altres tipus d'útils com ara les puntes musterianes o de Tayac.



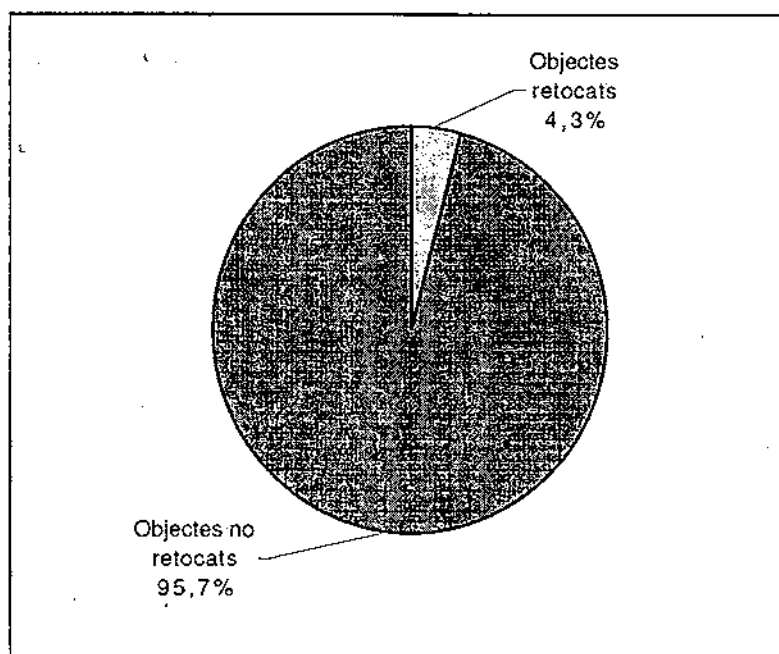
En resum, per acabar de fer una valoració global de la indústria recuperada durant la campanya de 2002, cal destacar que aquesta és gairebé en tot igual a la que va ser recuperada els anys 2000 i 2001, restes que probablement pertanyen al mateix nivell.

Es tracta d'una indústria ben típica del paleolític mitjà regional català, que només es distingeix del nivell I que se li sobreposa en la seqüència estratigràfica local per la manca en aquest de puntes de Chatelperron (útil que sí que es troava en aquell, encara que fos en un nombre escàs), i una talla levallois millor i més reexida tècnicament.

Observant el conjunt de productes de talla més grans, sovint de quasita, hom té l'impressió general que aquests es troben en bona part descontextualitzats respecte del procés de talla al qual caldria atribuir-los originalment. Aquest fet sembla indicar una àmplia repartició espacial de les cadenes operatives lítiques, tret que constituiria probablement una de les característiques principals del nivell.

Caldrà esperar prò al seu anàlisis complet per a poder establir-ho fermament.

Amb aquest document adjuntem unes làmines representatives de la indústria lítica recuperada durant la campanya don es pot apreciar el seu l'aspecte general.



Gràfic 4 – Relació entre els objectes retocats i els no retocats coordenats al 2001.

## La fauna de grans i mitjans mamífers

Les restes de fauna recuperades durant la campanya de 2002 són encara més abundants que les de indústria lítica. En total hom en va coordinar 886 elements, nombre al qual caldria afegir encara una quantitat de restes no coordenades gairebé equivalent.

Malgrat que no es tracti d'una col·lecció gaire gran, el seu nombre i diversitat són suficientment variades per a ésser representatives de les principals característiques del nivell. Ara bé, el seu estudi i anàlisis aprofunditat no es podrà completar fins que se'n acabi l'excavació.

Les restes de fauna que corresponen a les diverses espècies de mamífers de talla gran i mitjana són les que tenen un major interès arqueològic. Aquestes, com en campanyes anteriors, continuen dominades per dues espècies principals: el conill (*Oryctolagus cuniculus*) i l'ós de les cavernes (*Ursus spelaeus*). De fet, el conill és sempre l'espècie majoritària a tot el registre estratigràfic de les coves de Serinyà, i pel que fa a l'ós de les cavernes, aquest representa més del 50% de les restes dels grans mamífers classificades des de que s'ha iniciat l'excavació dels nivells mosterians.

En concret, en els recomptes que presentem aquesta campanya (tau. 4) les restes de lagomorfs representen el 15,7% de les restes, i les de carnívors, que gairebé corresponen totes a úrsids, el 14,7%. Excloses les restes indeterminades, el seu percentatge assoleix el 49% i el 46%, respectivament (gràf. 5).

Pel que fa a la seva diversitat taxonòmica, sense considerar-ne l'espècie, les restes més abundants són les estelles (n=473, 53,4%), seguit de les restes de l'esquelet cranial (n=257, 29%) i, finalment, les restes de l'esquelet postcranial (n=156, 17,6%) (tau. 5).

Comparades amb les campanyes anteriors aquestes dades no presenten diferències importants. Com hem recordat abans, el conill és sempre l'espècie millor representada, i exclosa aquesta, llavors pren el primer lloc l'ós.

Com és habitual també les restes d'ungulats són relativament escasses, igual que les d'aus i les que corresponen a altres espècies menys habituals (eriçó, llebre, etc.,) de les quals no n'hem identificat cap element aquest any.

Els ungulats estan representats per l'èquid, el cérvol i el gran bòvid (fig. 13, 1, 2). Les restes d'èquid corresponen majoritàriament al cavall (*Equus caballus*), sense descartar però que alguna, molt fragmentària, sigui d'ase (*Equus hydruntinus*). Les proporcions dels tres ungulats són així mateix força similars; en canvi al nivell I el més representat era el cérvol.

Com passava en anteriors campanyes, el conjunt faunístic sembla poc antròpic. Aquest s'hauria format per la suma dels següents aports:

- Hàbitat de l'ós de les cavernes, com a lloc d'hivernació i cria. La hivernació hauria produït alguna mort d'individus adults, infantils i neonats, mentre que la cria va deixar un gran nombre de dents deciduals que es perdren a l'any d'edat.
- Aportació natural del conill, sense poder especificar de moment en detall l'agent, o agents, de transport, a manca d'un estudi tafonòmic aprofundit.
- Aportació dels ungulats per part dels grans carnívors, en particular la hiena, però també altres. Palesada en particular per presentar la superfície de bona part de les restes dels ungulats el poliment característic produït per l'atac dels sucs gàstrics dels hiènids. També s'identifiquen diverses mossegades de carnissers.
- Aportació humana d'una part (encara que petita) dels ungulats i potser dels lagomorfs. Està palesada per la presència de senyals de cremació, fractures característiques i alguna marca de tall sobre estelles.

Podem dir també que aquest conjunt faunístic ha sofert en general una mala conservació (d'aquí el predomini de peces dentàries i el baix índex de determinació), amb l'excepció segurament de l'aport natural del conill, que sembla ben preservat. Igualment, i en particular, que l'acció humana es troba molt desdibuixada. És probable que el mateix hàbitat dels carnívors (ós de les cavernes, hiena, ...), sense descartar altres agents erosius, hauria malmès les restes faunístiques procedents dels diferents aports. Diversos ossos, com els dels mateixos úrsids, presenten mossegades realitzades pels carnívors.

En els següents paràgrafs descriurem breument les principals característiques relatives a l'ós i el conill.

#### - *Oryctolagus cuniculus*

El conill, com era esperat, és molt majoritari. El nombre total encara no el sabem amb precisió donat que dins les restes de fauna de petits verats (l'anomenada microfauna) hi ha sempre algunes restes de conill, i per tant hem d'esperar que tots els especialistes hagin acabat de triar els ossos de microvertebrats per saber amb exactitud el nombre de restes de conill.

Respecte a la seva representació anatòmica, totes les parts de l'esquelet hi són presents. També hi ha individus de totes les edats: neonats, infantils, juvenils i adults.

L'aport no antròpic de bona part de la mostra ens ve demostrat per la presència dels individus neonats i infantils, d'un percentatge alt d'osso enter, d'un percentatge baix de fractures freqüentment repetides en els casos d'intervencions antròpiques, per un índex de cremació feble i per la presència d'alguns ossos amb senyals produïts per l'atac d'àcids gàstrics de rapinyaires nocturnes o de cànids. També hi ha restes que presenten senyals fets per carnívors i rosejadors.

L'aport antròpic d'una part petita de la mostra estaria testimoniat per la presència d'alguns senyals de cremació i fractures típiques.

#### *-Ursus spelaeus*

Després del conill, l'ós de les cavernes és de molt l'espècie millor representada. Com és habitual en el registre fòssil, el seu aport no és antròpic; no hi ha cap senyal de cremació, cap marca de tall, cap fractura típica.

La majoria de les restes corresponen a dents de llet: incisives, canines i molars deciduals. Aquestes restes, alguna de molt petites dimensions, s'han pogut recuperar gràcies a la metodologia sistemàticament sempre aplicada a l'excavació de la cova de l'Arbreda de garbellar tot el sediment amb aigua i malla fina, i de triar-lo en sec.

Les dents de llet ens indiquen que la cova era habitada pels óssos cavernaris i que en ella hi cuidaven les cries, les quals, al seu segon estiu, hi canviaven les dents.

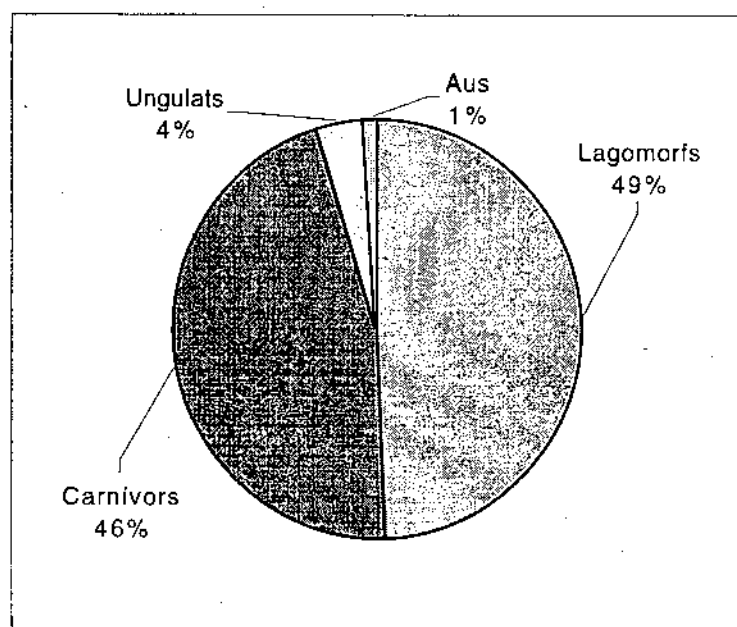
Les dents permanents i unes poques restes postcranials, moltes d'individus infantils i juvenils, correspondrien a individus, segurament febles, que van morir en el procés d'hivernació. No és estrany que aquestes restes postcranials presentin marques realitzades pels mateixos carnívors.

	n	%
Lagomorfs	139	15,7
Carnívors	130	14,7
Ungulats	11	1,2
Aus	3	0,3
Indeterminat	603	68,1
<b>Total</b>	<b>886</b>	<b>100,0</b>

Taula 4.- Classificació sistemàtica, en grans grups, de les restes de fauna del nivell.

Cranial	257	29,0
Postcraneal	156	17,6
Estelles	473	53,4
<b>Total</b>	<b>886</b>	<b>100,0</b>

Taula 5.- Classificació anatòmica en grans grups de les restes de fauna del nivell.



Gràfica 5.- Repartició proporcional dels grans grups d'espècies del nivell.

### L'avifauna

Durant la campanya de 2002 tant sols es varen recuperar cinc restes d'avifauna, la determinació taxonòmica i classificació definitiva de les quals resta encara per realitzar.

Des del punt de vista de la tafonomia, hom pot avançar que es tracta de restes no presenten cap senyal evident (marques de descarnació, termoalteracions, etc.) que puguessin indicar un eventual aport o aprofitament antròpic. Caldria interpretar doncs que la seva presència en el jaciment seria deguda a causes completament naturals, la més habitual entre les quals es relacionaria amb l'ocupació de la cova per aus que habiten freqüentment en ambients d'espadats i roquissars, com aran és costum entre els còrvids i algunes espècies de coloms.

### Altres restes

A banda de les restes osteològiques esmentades en els anteriors apartats, com succeí en campanyes anteriors, durant el 2002 també es varen localitzar diversos copròlits (fig. 7.2).

Probablement corresponen a òssos i/o hienes. Aquestes restes indiquen d'una manera concluent que la cova fou ocupada sovint per carnívors que hi feren el cau, estades que s'alternarien llavors amb les realitzades en el mateix espai pels humans.

### **Conclusions de la campanya de 2002 la cova de l'Abreda**

La intervenció de 2002 a la cova de l'Arbreda es va finalitzar sense cap contratemps i havent assolit els objectius que ens havíem marcat en la programació del treball. Durant el mes de campanya es van continuar excavant i documentant els nivells del paleolític mitjà a bon ritme.

Els materials recuperats foren similars als d'anys anteriors i el context sedimentari també. Per tant, no calgué replantejar-se els objectius ni els procediments de l'excavació. Tampoc ha variat l'atribució cronocultural dels nivells que hem excavat, que s'han de relacionar amb el musterà.

El que no vam poder resoldre amb els resultats d'aquesta campanya i que caldrà continuar investigant és la identificació dels nivells subjacents al nivell I,

el nivell musteria més recent de l'Arbreda. El diferencial de cotes entre el nivell I i els nivells que estem excavant en l'actualitat, l'aspecte de la indústria lítica i la proporció creixent de restes d'*Ursus spelaeus* ens ens fan creure que vam estar excavant restes d'altres nivells diferents del nivell I. Aquests nivells subjacents al nivell I no es van poder aïllar visualment i caldrà esperar a un estudi aprofundit dels materials i de les projeccions dels objectes coordinats per tenir una visió més clara sobre aquesta problemàtica. La continuació de les intervencions arqueològiques també haurà d'aportar més dades en aquest sentit.

### **Intervenció arqueològica a la cova de Mollet**

Durant la campanya de 2002 es varen reemprendre les excavacions a la cova de Mollet que havien estat començades l'any anterior.

L'any 2001 es va poder detectar un nivell de líms de color groguenc a la base de l'estratigrafia de la cova que contenia abundants restes de fauna, moltes d'elles intensament concrecionades. Per sobre, en alguns sectors del jaciment enganxat al sostre de la cavitat en l'àmbit més septentrional, indret que anomenem "el racó", es varen trobar alguns sediments vermellosos pertanyents a un nivell, avui dia completament excavat, que es sobreposava al nivell groguenc.

Aquest nivell de sediments entre vermellosos i marronosos d'aquest sector no va poder ser identificat pels antics excavadors (el Dr. Corominas i els investigadors que pogueren visitar el jaciment posteriorment als treballs pioners d'aquell), i per aquesta raó, segurament, varen atribuir al pleistocè mitjà la totalitat del sediment d'aquesta part de la cavitat, per bé que hi varen trobar restes d'*Ursus spelaeus*, una espècie pròpia del pleistocè superior que hauria d'haver alertat els investigadors sobre la seva correcta cronologia.

Avui dia, un cop ja coneixem la presència d'aquest nivell vermellós, podem confirmar que, efectivament, a la cova de Mollet I hi hauríem de diferenciar un nivell groguenc (inferior), les restes d'*Ursus praearctos* del qual el permetrien de datar-lo en el pleistocè mitjà, i un nivell vermellós (superior) que, com indicarien les restes d'*Ursus spelaeus* trobades en les excavacions antigues, potser s'hauria d'atribuir millor al pleistocè superior.

A la part sud de la cavitat va aparèixer durant la neteja de les seccions un tercer estrat, també de color vermellós-marronós, aquest però de textura granulada. Es podria tractar del nivell que contenia originalment la indústria aurinyacià que varen descriure els antics excavadors.

Enguany, un cop ja havia netejat de sediment remogut el sòl de la cavitat durant la intervenció de l'any 2001, es va continuar excavant el migrat el sediment original que hi restava *in situ*.

Durant aquests treballs aparegueren nombroses restes de fauna però, malauradament, cap d'indústria lítica. Al quadre B10 es va continuar descalçant una mandíbula de hiena que havia estat localitzada l'any 2001 i que al final de l'excavació va resultar ser un crani pràcticament sencer de *Crocuta intermedia*, una espècie pròpia del pleistocè mitjà. Aquesta resta faunística va ser extreta molt acuradament després de protegir-la amb poliuretà (fent una "mòmia"), emprant la tècnica que habitualment és emprada en les excavacions paleontològiques.

Tal com es realitzava de manra rutinaria a l'excavació de la cova de l'Arbreda, tot el sediment excavat es va garbellar amb dues malles diferents: 0,5 cms i 0,05 cm per tal de recollir tota la microfauna (fig. 14.2).

El dissabte dia 20 de juliol va visitar-nos el Dr. Ramon Julià, professor d'investigació del CSIC a l'institut Jaume Almera de Barcelona, per prendre mostres del sediment i de les parets de la cavitat. Amb aquestes mostres efectuarà diverses datacions que ens ajudaran a concretar l'edat dels estrats que estem excavant. De manera informal ja ens havia comunicat que els primers resultats indicaven una edat pròxima als 250.000 anys d'antiguitat.

Ara com ara, les nostres intencions són de continuar l'estudi aprofunditat dels materials exhumats durant la campanya de 2002, i continuar les excavacions per a conèixer millor la seqüència més antiga del registre arqueològic que es conserva al paratge del Reclau.

## **Estudi dels materials de la cova de Mollet I**

Durant la campanya de 2002 es varen coordinar tant sols 38 objectes, tots ells restes de fauna procedents del nivell de llims grocs. La majoria d'aquestes

restes varen ser trobada així mateix en un únic sector, a l'anomenat Racó, que és l'àrea més protegida del jaciment i on anteriorment també s'havia realitzat un major nombre de descobertes.

El seu nombre és tant migrat que és evident que hom no pot fer-ne cap valoració especial. Recomanem en aquest sentit al lector que consulti directament els inventaris i làmines adjuntes en els quals s'identifica cada resta per a obtenir una visió de conjunt de les troballes que s'hi varen fer.

Tal com s'escau amb els materials de la cova de l'Arbreda, aquests també s'han de sumar als que foren trobats durant la campanya de 2001.

### **Conclusions de la campanya de 2002 a la cova de Mollet**

Durant la intervenció del 2002 van aparèixer abundants restes de fauna però només alguna escassa resta d'indústria lítica entre els no coordenats. Sens dubte la troballa més important feta fins ara al jaciment és va descobrir en intentar descalçar una dent de hiena localitzada l'any anterior, al quadre B9 i tocant la paret de travertí. En aquest procés *in situ* es va veure que es tractava d'un crani molt sencer de hiena (*Crocuta crocuta intermedia*). Per assegurar la seva conservació és protegit amb embolcall de poliuretà expandit i es procedí a l'aixecament del crani dins l'interior del bloc (la "mòmia") de poliuretà. El crani es troba ara pendent de la seva restauració.

En el procés de tria s'han pogut distingir diverses restes de microvertebrats i malacològiques, i en menor quantitat restes antracològiques.

Els resultats d'aquesta campanya ens confirmen les consideracions que havíem començat a deduir en l'anterior. Els llims grocs, que són molt calcaris, corresponen al plistocè mitjà –amb una edat provisional que les primeres datacions sobre concrecions travertíiques verifiquen al voltant dels 200.000 anys–. Són molt pobres en indústria lítica, que correspondria a un paleolític mitjà antic, i més rics en fauna, que es distribuiria en densitats molt desiguals: des de gairebé estèrils en diversos punts a rics en algun racó (com a B10); els elements anatòmics recuperats ens confirmen algunes de les espècies determinades pel material de les antigues excavacions: el cavall de Mosbach (*Equus mosbachensis*), l'ase salvatge (*Equus hydruntinus*), el cérvol (*Cervus*

*elaphus*), la daina (*Dama sp.*), l'ur (*Bos primigenius*), l'ós "praeartos" (*Ursus sp.*), la hiena (*Crocuta crocuta intermedia*), etc. (fig. 17 i 18) (Solés/Maroto 2002) Bona part d'aquestes restes faunístiques serien d'aport natural. La presència de diversos travertins cremats ens testimoniaria l'existència d'activitats antròpiques mal conservades.

Aquests líms grocs, a la part més septentrional de la quadrícula externa i al racó, es troben recoberts d'un estrat travertínic, el qual està en connexió amb el travertí del sostre. Per tant, hem de suposar que durant la deposició dels líms carbonatats la morfologia del lloc era una altra, i que el sostre i les formes que es conserven es van originar amb posterioritat a aquesta deposició i abans que es depositessin les argiles brunes.

Les argiles brunes, per la seva part, corresponen al plistocè superior i contenen una indústria lítica amb una densitat molt més elevada. Aquesta correspondria a un paleolític mitjà recent o tradicional. La major part de la indústria mosteriana de les excavacions antigues procediria d'aquestes argiles, així com les espècies (o bona part d'elles) pròpies del plistocè superior.

## PARTICIPANTS EN LA CAMPANYA DE 2002

Varen participar en aquesta campanya d'excavacions un total de 22 persones de procedència geogràfica molt diversa encara que el gruix d'excavadors eren estudiants de la Universitat de Girona, institució que dóna suport a les intervencions arqueològiques a les coves del Reclau. Seguidament els enumereiem en ordre alfabètic per tal de fer constar la seva participació i agrair-los la seva col·laboració:

Clara Alonso i Albertí, estudiant de la Universitat de Barcelona,  
Josep Maria Arnau i Bosch, estudiant de la Universitat de Girona,  
Albert Barceló i Piniella, estudiant de Batxillerat, Barcelona,  
Anaïs Borràs, estudiant d'ESO a Girona,  
Laura Caruso i Fermé, estudiant de la Universitat de Girona,  
Eduard Clemente i Benaiges, estudiant de la Universitat de Girona,  
Núria Castellas i Moguer, estudiant de la Universitat de Girona,  
Josep Farguell i Pallarès, doctorant de la Universitat Autònoma de Barcelona,  
Joaquim Garcia de Rio, estudiant de la Universitat de Barcelona,  
Josefa González i Fuertes, estudiant de la Universitat de Barcelona,  
Sara de Haro i Carrillo, doctorant de la Universitat de Girona,  
Juan Carlos Lladó i Capó, estudiant de la Universitat de Barcelona,  
Julià Maroto i Genover, professor de la Universitat de Girona,  
Claudi Martínez i Ferré, estudiant de la Universitat de Girona,  
Pablo Martínez i Rodríguez, estudiant de la Universitat de Barcelona,  
David Ortega i Cobos, doctorant de la Universitat de Girona,  
Ramon Pérez i Bielsa, estudiant de la Universitat de Girona  
Raquel Pujadas i de Palol, doctorant de la Universitat de Girona,  
Sònia Ramió i Iglésias, doctorant de la Universitat de Girona,  
Anna Ramon i Xivillé, doctorant de la Universitat Autònoma de Barcelona,  
Alan Requesens, estudiant de la Universitat de Granada,  
Elena Sánchez Moral, estudiant de la Universitat Complutense de Madrid,  
Alejandro Santamaría, estudiant de la Universitat Autònoma de Madrid,

Narcís Soler i Masferrer, professor de la Universitat de Girona,  
Ariadna Soler i Subils, estudiant de la Universitat de Barcelona,  
Joan Soler i Subils, estudiant d'ESO a Girona,  
Joaquim Soler i Subils, doctorant de la Universitat de Girona,  
Alba Solés i Coll, doctorant de la Universitat de Girona,  
Olegas Usaciovas, de Girona

## BIBLIOGRAFIA

Ajaja, O. (1994); *Datation de quelques sites moustériens de Catalogne et du Languedoc par la méthode U-Th. Comparaisons avec la méthode ESR*, Thèse, Institut de Paléontologie Humaine, Paris.

Alcalde, G. (1987); Els rosegadors del Paleolític Superior de la cova de l'Arbreda (Serinyà, Catalunya). Significació paleoecològica i paleoclimàtica, *Cypsela*, VI, Girona, pp. 89-96.

Bischoff, J.L., Soler, N., Maroto, J. & Julià, R. (1989); Abrupt Mousterian/Aurignacian Boundary at c. 40 ka bp: Accelerator  $^{14}\text{C}$  dates from L'Arbreda Cave (Catalunya, Spain), *Journal of Archaeological Science*, 16, London, pp. 563-576.

Brusi, D. (1993); *Les formacions travertíiques de la depressió de Banyoles*, Tesi Doctoral, Universitat Autònoma de Barcelona.

Brusi, D., Soler, N., Maroto, J. & Tarrús, J. (1999); Cuenca lacustre de Banyoles, *Avances en el estudio del Cuaternario Español (secuencias, indicadores paleoambientales y evolución de procesos)*. Lluís Pallí Buxó , Carles Roqué Pau eds., Asociación española para el estudio del Cuaternario, Universitat de Girona, pp. 356-376.

Burjachs, F. (1993); paleopalinología del paleolítico superior de la Cova de l'Arbreda (Serinyà, Catalunya), *Estudios sobre el Cuaternario. Medios sedimentarios. Cambios ambientales. Hábitat humano*, Fumanal, M.P. & Bernabeu, J. (eds.), Valencia, pp. 149-157.

Burjachs, F. & Renault-Miskovsky, J. (1992); Paléoenvironnement et paléoclimatologie de la Catalogne durant près de 30,000 ans (du Würmien ancien au début de l'Holocène) d'après la Palynologie du site de l'Arbreda (Gérone, Catalogne), *Quaternaire*, 3, 2, pp. 75-85.

Casellas, S. & Maroto, J. (1986); La faune de l'Aurignacien évolué de la grotte de l'Arbreda (Girona, Espagne), *Résumés de communications*, V Conférence International ICAZ, Bordeaux, 1p.

Cortada, T. & Maroto, J. (1990); La dent humana paleolítica de la cova de Mollet I (Serinyà), *Quaderns del Centre d'Estudis Comarcals de Banyoles*, 1988-89, Banyoles, pp. 135-147.

Delibrias, G., Romain, O. & Le Hasif, G. (1987); Datation par la méthode du carbone 14 du remplissage de la grotte de l'Arbreda, *Cypsela*, VI, Girona, pp. 133-135.

Estévez, J. (1979); *La fauna del Pleistoceno de Catalunya*, Tesis doctoral, Universitat de Barcelona.

Estévez, J. (1980); El aprovechamiento de los recursos faunísticos: Aproximación a la economía en el Paleolítico catalán, *Cypsela*, III, Girona, pp. 9-30.

Estévez, J. (1987); La fauna de l'Arbreda (sector alfa) en el conjunt de faunes del Plistocè Superior, *Cypsela*, VI, Girona, pp. 73-87.

Fosse, Ph. (1994); *Taphonomie paleolithique: les grands mammifères de Soleilhac (Haute-Loire) et de Lunel-Viel 1 (Hérault)*, Thèse de Doctorat, Université de Provence.

Fullola, J.M. & Soler, N. eds. (1997); *El món mediterrani després del Pleniglacial (18.000-12.000 BP)*. Sèrie Monogràfica, 17, Centre d'Investigacions Arqueològiques, Museu d'Arqueologia de Catalunya, Girona, 450 pp.

Galobart, A., Maroto, J. & Ros, X. (1996); Las faunas cuaternarias de mamíferos de la cuenca de Banyoles – Besalú (Girona), Revista Española de Paleontología, nº extraordinario, junio 1996, pp. 248-255.

Galobart, A., Maroto, J. & Ros, X. (1996); Las faunas cuaternarias de mamíferos de la Cuenca de Banyoles-Besalú (Girona), *Revista Española de Paleontología*, nº extraordinario, pp. 251-254.

Garcia, Ll. (1995); Preliminary study of Upper Pleistocene bird bone remains from l'Arbreda Cave (Catalonia), *Courier Forschunsinstitut Senckenberg*, 181, Frankfurt am Main, pp. 215-227.

Juan-Muns, N. (1987); La ictiofauna de la cova de l'Arbreda (Serinyà, Girona), *Cypsela*, VI, Girona, pp. 97-100.

Julià, R. (1980) La conca lacustre de Banyoles-Besalú, Monografies del Centre d'Estudis Comarcals de Banyoles, Centre d'Estudis Comarcals de Banyoles, Banyoles, 188 pp.

Julià, R. & Bischoff, J.L. (1991); Radiometric dating of quaternary deposits and the hominid mandible of Lake Banyolas, Spain, *Journal of Archaeological Science*, 18, London, pp. 707-722.

Julià, R., Maroto, J. & Soler, N. (1987); La mandíbula de Banyoles. Antecedents i context de la seva troballa, *Cypsela*, VI, Girona, pp. 43-52.

Just, J. (1980); Les grottes de Serinyà (Province de Gérone, Espagne). Étude de l'industrie moustérienne de la grotte de l'Arbreda, 6, 320, Museum National d'Histoire Naturelle, Laboratoire de Paleontologie Humaine et de Préhistoire, mémoire, Paris, 316 pp.

Kabiri, L. (1993); Formations littorales et continentales du Pléistocene supérieur en Languedoc-Rousillon et Catalogne. Etude géologique des

remplissages des Ramandils (Port-la-Nouvelle) et de l'Arbreda (Serinyà), Thèse, Institut de Paléontologie Humaine, Paris.

Maroto, J. (1986); *La Cova dels Ermitons (Sales de Llierca, Girona). Estudi d'un hàbitat prehistòric a l'interior del massís de l'Alta Garrotxa*, Tesi de llicenciatura, Universitat Autònoma de Barcelona.

Maroto, J. (ed.) (1993); *La mandíbula de Banyoles en el context dels fòssils humans del pleistocè*, Sèrie monogràfica, 13, Centre d'Investigacions Arqueològiques, Girona, 198 pp.

Maroto, J. (1993); La cueva de los Ermitones (Sales de Llierca, Girona): un yacimiento del Paleolítico Medio final, *Espacio, Tiempo y Forma*, Serie I (Prehistoria y Arqueología), 6, U.N.E.D., Madrid, pp. 13-30.

Maroto J. (1994); *El pas del paleolític mitjà al paleolític superior a Catalunya i la seva interpretació dins del context geogràfic franco-ibèric*, Tesi doctoral, Universitat de Girona.

Maroto, J., Ortega, D., Sintes, X. i Soler, N. (1996) El proyecto del parque arqueológico de las cuevas de Serinyà, XVIII Reunió de Paleolitistes de l'Estat, Torroella de Montgrí, pp 88-94.

Maroto, J. & Soler, N. (1990); La rupture entre le Paléolithique moyen et le Paléolithique supérieur en Catalogne, *Paléolithique moyen récent et Paléolithique supérieur ancien en Europe. Ruptures et transitions: examen critique des documents archéologiques*, Farizy, C. (ed.), Mémoires du Musée de Préhistoire d'Ile de France, 3, Actes du Colloque international de Nemours, 9-10-11 Mai 1988, A.P.R.A.I.F., Nemours, pp. 263-265.

Maroto, J., Soler, N. & Fullola, J.M. (1996); Cultural Change between Middle and Upper Palaeolithic in Catalonia, *The Last Neandertals. The First Anatomically Modern Humans*, (Carbonell, E. & Vaquero, M., eds.), Universitat de Tarragona, pp. 219-250.

Maroto, J., Soler, N. & Mir, A. (1987); La cueva de Mollet I (Serinyà, Gerona), *Cypsela*, VI, Girona, pp. 101-110.

Mir, A. (1973); *Estudio paleontológico y paleoecológico de la cueva d'en Mollet I como iniciación al conocimiento arqueológico global del yacimiento*. Serinyà. Girona, Tesis de Licenciatura, Universidad de Barcelona.

Mir, A. (1979); La fauna de la Cova d'en Mollet I, Serinyà (Girona) procedente de las campañas de excavación 1947-1972, *Actas de la IV Reunión del Grupo de Trabajo del Cuaternario*, (Julià, R. et alii, eds.), Banyoles, pp. 166-170.

Mir, A. & Soler, N. (1979); Visita al complejo de Serinyà, Guía Excursión B2, *Actas de la IV Reunión del Grupo de Trabajo del Cuaternario*, (Julià, R. et alii, eds.), Banyoles, pp. 288-297.

Ros, M.T. (1987); Anàlisi antracològica de la cova de l'Arbreda, *Cypsela*, VI, Girona, pp. 67-71.

Rueda, J.M. (1993); *L'acció antròpica sobre les matèries dures animals durant el plistocè del nord-est de Catalunya*, Tesi Doctoral, Universitat de Girona.

Rueda, J.M. (1993); *L'acció antròpica sobre les matèries dures animals durant el plistocè del Nord-Est de Catalunya*, Tesi Doctoral, Universitat de Girona.

Sacchi, D., Soler, N., Maroto, J. & Domènech, E. (1996); La question de l'Aurignacien tardif dans le domaine méditerranéen nord-occidental, *The Upper Palaeolithic*, (A. Palma di Cesnola, A. Montet-White & K. Valoch, eds.), Forlì, pp. 23-40.

Soler, N. (1986); *El Paleolític Superior al nord de Catalunya*, Tesi Doctoral, Universitat de Barcelona.

Soler, N (1998) Le Paléolithique des grottes de Serinyà (Gérone, Catalogne, Espagne), Les faciès leptolithiques du nord-ouest méditerranéen: milieux naturels et culturels, XXIVe Congrès Préhistorique de France, pp. 195-228.

Soler, N. (1991); *La transición del Paleolítico Medio al Paleolítico Superior en Cataluña*, El origen del hombre moderno en el suroeste de Europa. Preactas, Universidad Nacional de Educación a Distancia, Madrid, pp. 28-30.

Soler, N. (1999); Le Paléolithique des grottes de Serinyà (Gérone, Catalogne, Espagne). *Les faciès leptolithiques du nord-ouest méditerranéen: milieux naturels et culturels*. XXIVe Congrès Préhistorique de France, Carcassonne, 26-30 septembre 1994, Actes du Colloque international, Dominique Sacchi ed., Société Préhistorique Française, Ministère de la Culture, Carcassonne, pp. 195-228.

Soler, N. & Maroto, J. (1987 a); L'estratigrafia de la cova de l'Arbreda (Serinyà, Girona), *Cypsela*, VI, Girona, pp. 53-66.

Soler, N. & Maroto, J. (1987 b); Els nivells d'ocupació del Paleolític Superior a la cova de l'Arbreda (Serinyà, Girona), *Cypsela*, VI, Girona, pp. 221-228.

Soler, N. & Maroto, J. (eds.) (1987); *Quadre cronològic del Plistocè Superior a Catalunya. Paleoambients i cultures prehistòriques*, *Cypsela*, VI, Centre d'Investigacions Arqueològiques, Girona, 243 pp.

Soler, N. & Maroto, J. (1990); El final del Paleolític Mitjà i l'inici del Paleolític Superior a la cova de l'Arbreda (Serinyà), *Cypsela*, VIII, Girona, pp. 7-13.

Soler, N. & Maroto, J. (1993); *Les nouvelles datations de l'Aurignacien dans la Péninsule Ibérique*, Actes du XI<sup>e</sup> Congrès International des Sciences Préhistoriques et Protohistoriques, 2, Institut Archéologique de l'Académie Slovaque des Sciences, Bratislava, pp. 162-173.

Soler, N.; Maroto, J.; Ortega D.; Sintes, X.; i Escolà, J. (1998) Intervencions arqueològiques a les coves del Relcau (Serinyà, Pla de l'Estany), IV Jornades d'arqueologia de les Comarques Gironines, Figueres, pp. 14-24.

Soler, N., Soler, J., Maroto, J., Ortetga, D., Solés, A., 2002, Les intervencions arqueològiques al paratge del Reclau (Serinyà, el Pla de l'Estany) corresponents als anys 2000 i 2001, VI Jornades d'Arqueologia de les comarques de Girona, St Joan de les Abadesses, 29-33.

Solés, A., Maroto, J., 2002, Els grans mamífers del plistocè mitjà, *Els vertebrats fòssils del Pla de l'Estany*, Quaderns, C.E.C.B, Banyoles, 125-140.

Tarrús, J. (1986) El paratge del Reclau Viver (Serinyà) del Neolític Antic al Bronze Final, Quaderns del Centre d'Estudis Comarcals de Banyoles, 1985, I, Banyoles, pp. 232-239.

Tissoux, H. (1999) Géochronologie de sites paléolithiques de Catalogne. Résultats préliminaires obtenus par les méthodes U-Th et ESR sur les sites de l'Arbreda, de Cau del Duc d'Ullà et de Cau del Duc de Torroella de Montgrí, 26 d'octobre de 1999.

Torres, T. de (1988); *Osos (Mammalia, Carnivora, Ursidae) del Pleistoceno de la Península Ibérica*, Publicaciones especiales del Boletín Geológico y Minero, Instituto Geológico y Minero de España, Madrid.

Vilette, P. (1983); *Avifaunes du Pléistocène final et de l'Holocène dans le Sud de la France et un Catalogne.*, Atacina, 11, Carcassonne, 190 pp.

Yokoyama, Y., Nguyen, H.-V., Quaegebeur, J.-P., Le Hasif, G. & Romain, O. (1987 a); Datation par la spectrométrie gamma non destructive et la résonance de spin électronique (ESR) du remplissage de la grotte de l'Arbreda, *Cypselia*, VI, Girona, pp. 137-143.

Yokoyama, Y., Shen, G., Nguyen, H.-V. & Falgueres, C. (1987 b); Datation du travertin de Banyoles à Gérone, Espagne, *Quadre cronològic del Plistocè Superior a Catalunya. Paleoambients i cultures prehistòriques*, *Cypselia*, VI, Girona, pp. 155-159.

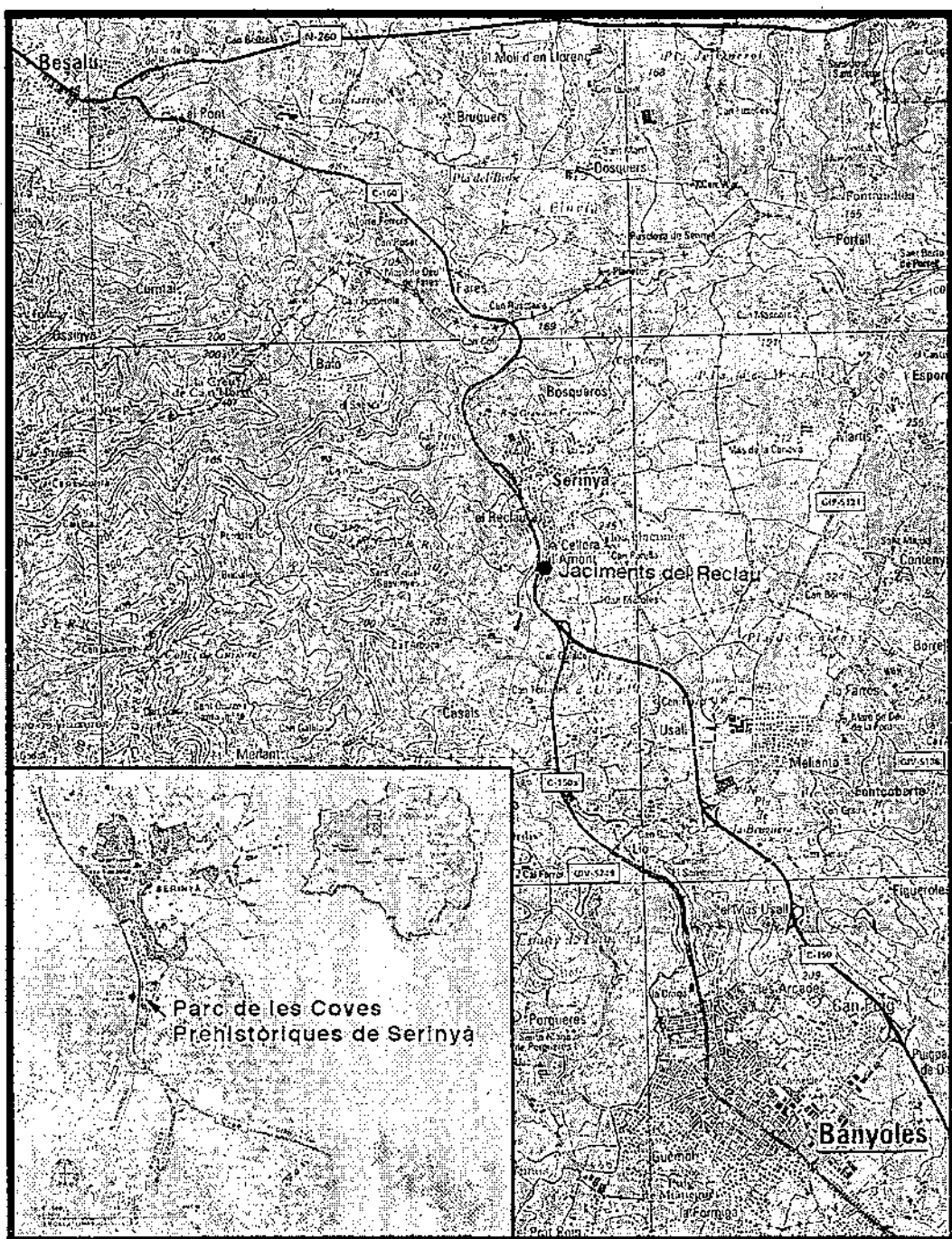


Fig. 1 – Mapa de situació dels jaciments del Reclau.

## COVA DE L'ARBREDA, Secció Z/A

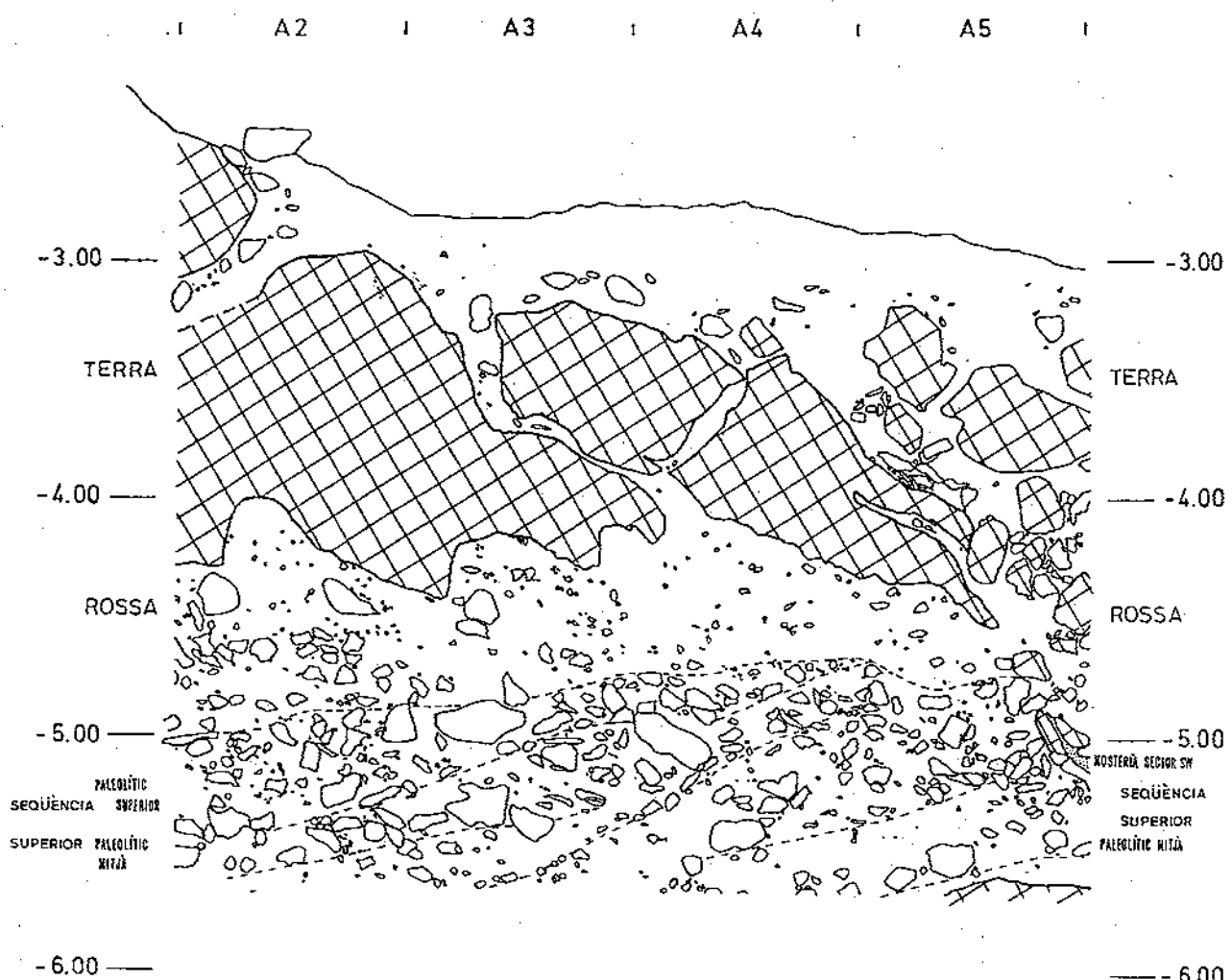


Fig. 2 – Secció Z/A de la cova de l'Arbreda, amb indicació dels nivells arqueològics i de la seva profunditat respecte el pia 0 de l'Excavació.

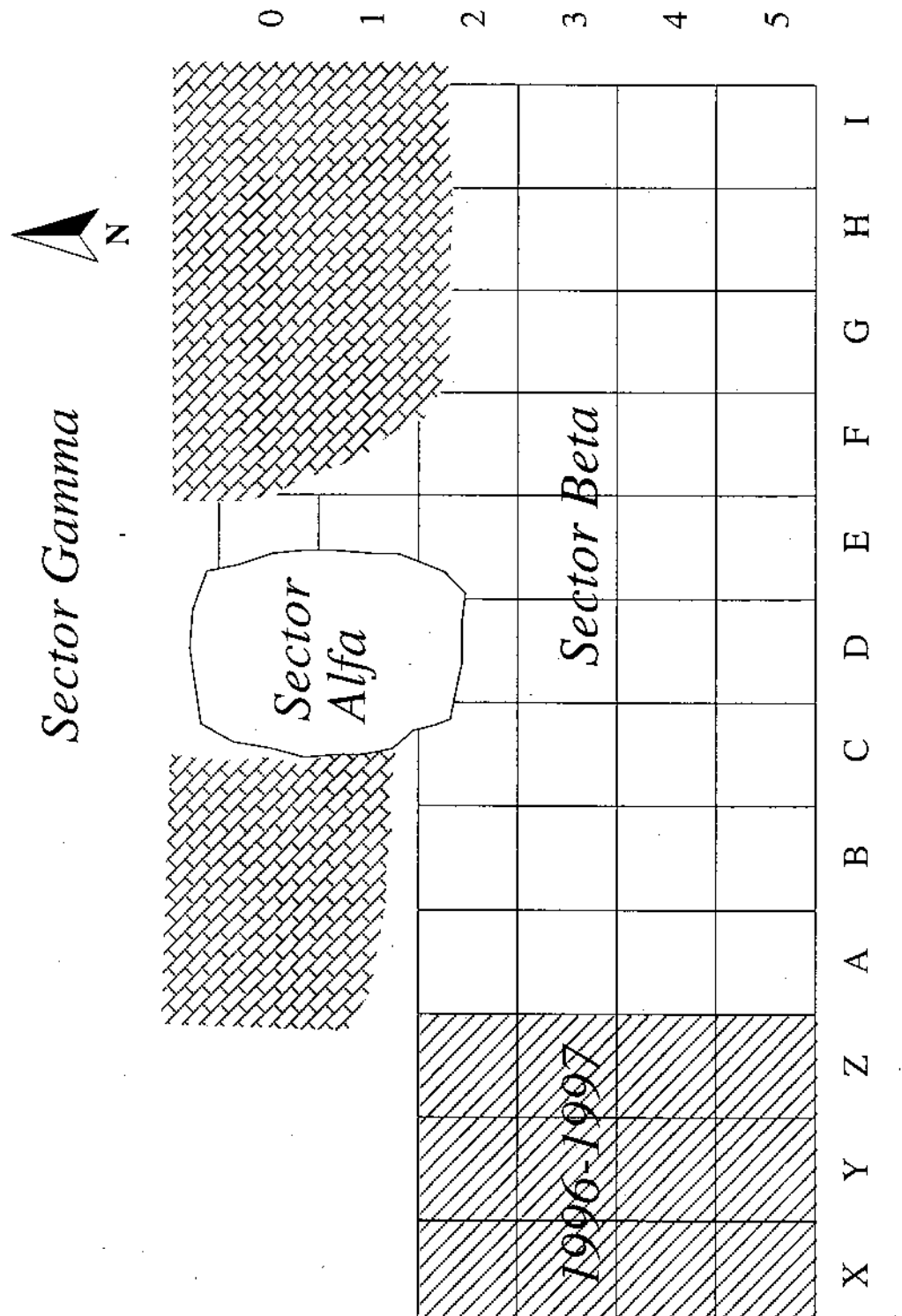
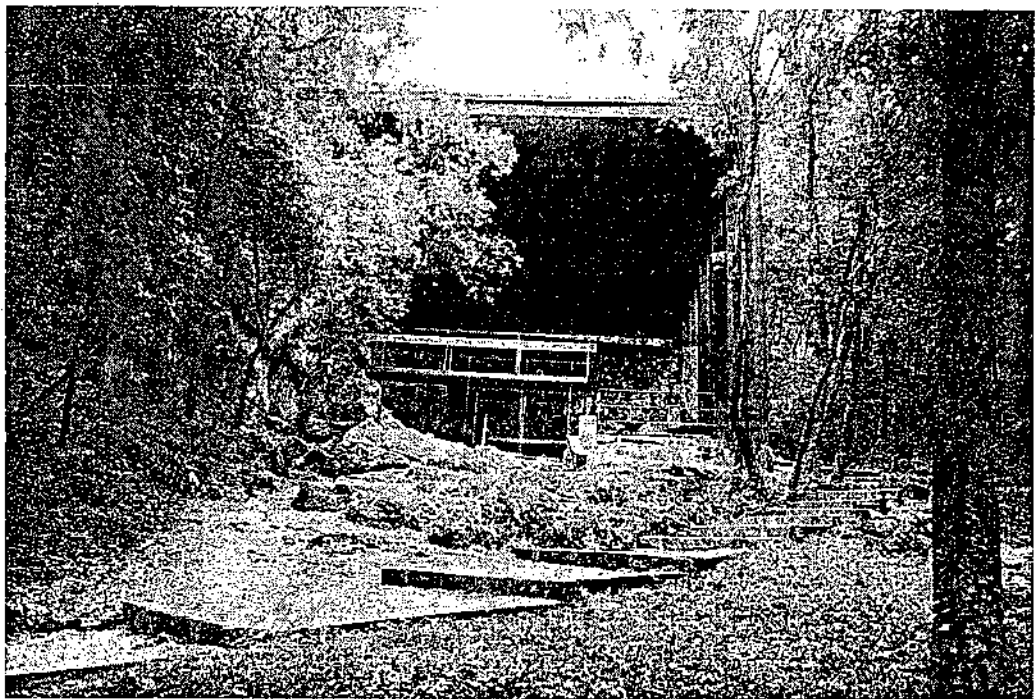


Fig. 3 – Cova de l'Arbreda. Croquis on s'indiquen els diferents sectors de l'excavació.



1: La cova de l'Arbreda.



2: Aspecte de l'excavació.

Fig. 4.- Treballs d'excavació a la cova de l'Arbreda, campanya de 2002.

Fig. 5: Cova de l'Arbreda. Cotes a l'inici de la campanya de 2002

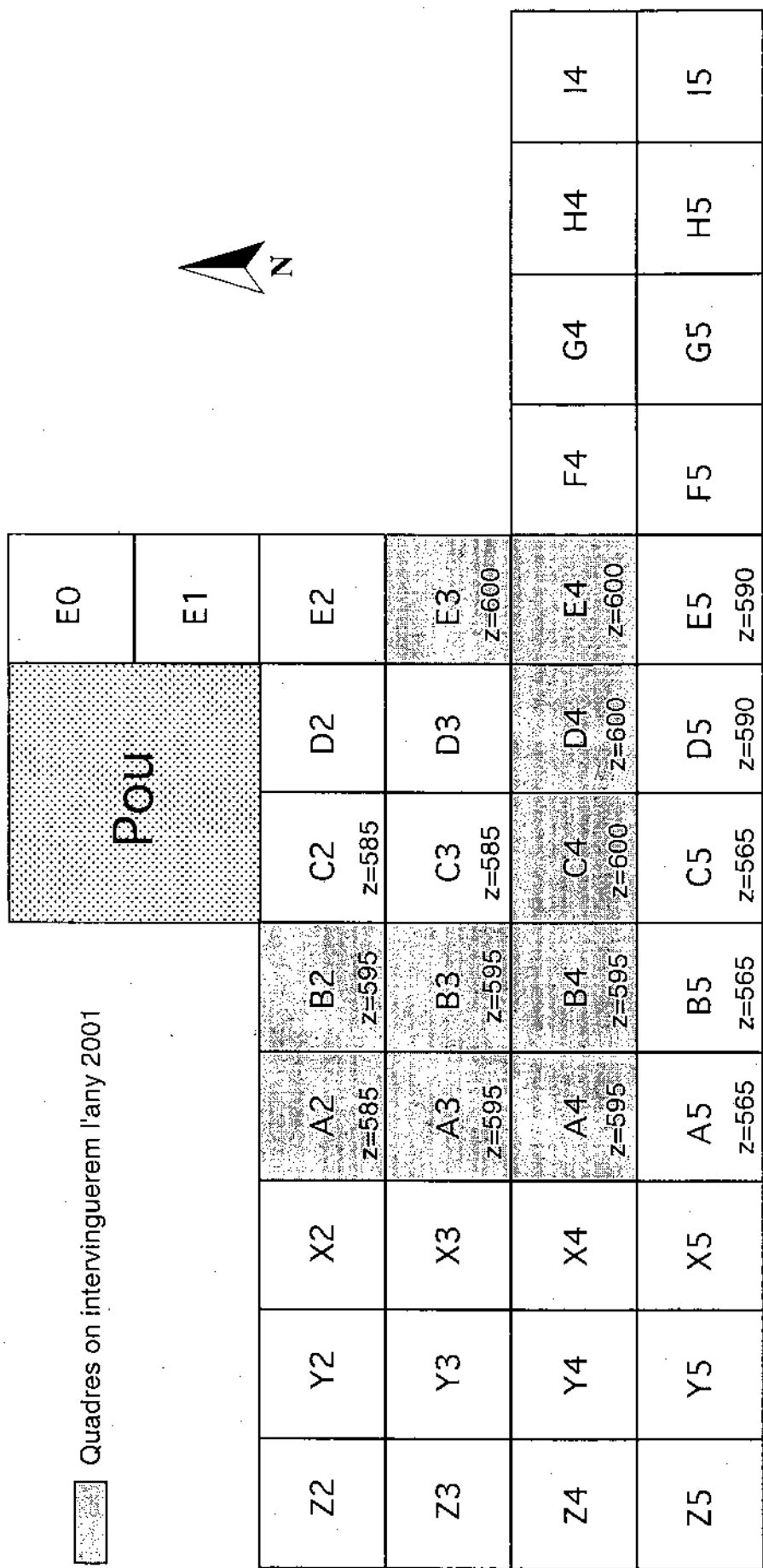


Fig. 6: Cova de l'Arbreda. Cotes al final de la campanya de 2002

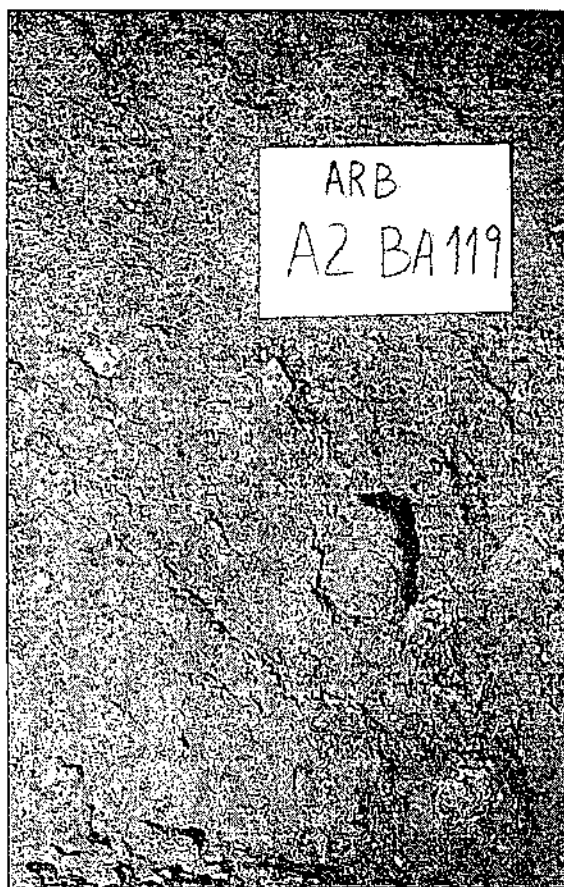


Quadres on hem intervengut

POU			E0	E1	
Z2	Y2	X2	A2 z=600	B2 z=600	C2 z=600
Z3	Y3	X3	A3 z=600	B3 z=600	C3 z=600
Z4	Y4	X4	A4 z=605	B4 z=600	C4 z=600
Z5	Y5	X5	A5 z=600	B5 z=585	C5 z=580
				D4 z=600	E4 z=600
				D5 z=605	E5 z=615
				F4 z=605	G4 z=615
				F5 z=605	G5 z=615
				H4 z=605	I4 z=615



1: Excavació d'una concreció estalagmítica amb indústria lítica.



2: Copròlit.

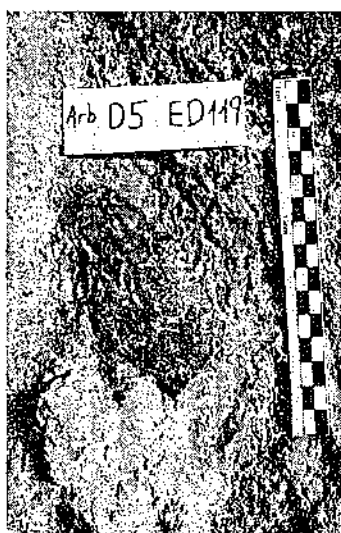
Fig. 7. – Treballs d'excavació a la cova de l'Arbreda, campanya de 2002.



Punta levallois de quarsita.



Raspador de sílex.

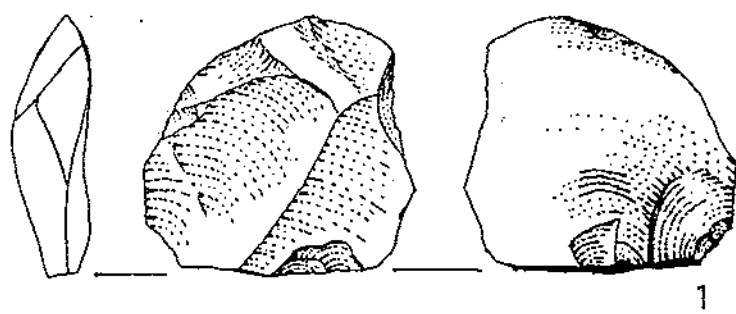


Denticulat de quarsita.

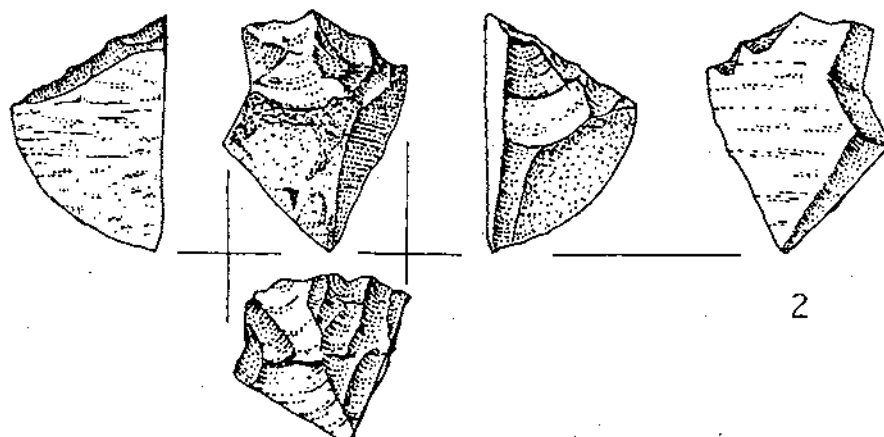


Còdol del calcària

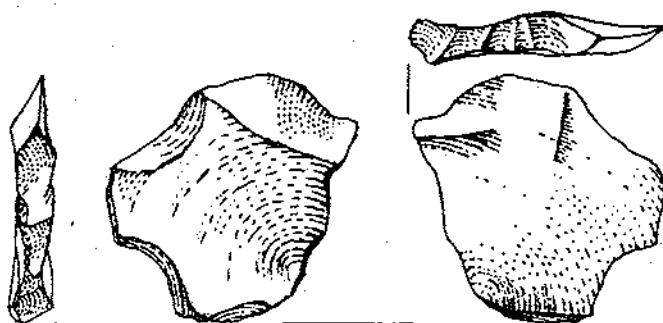
Fig. 8. – Objectes arqueològics *in situ* en el sòl de l'excavació, campanya de 2002.



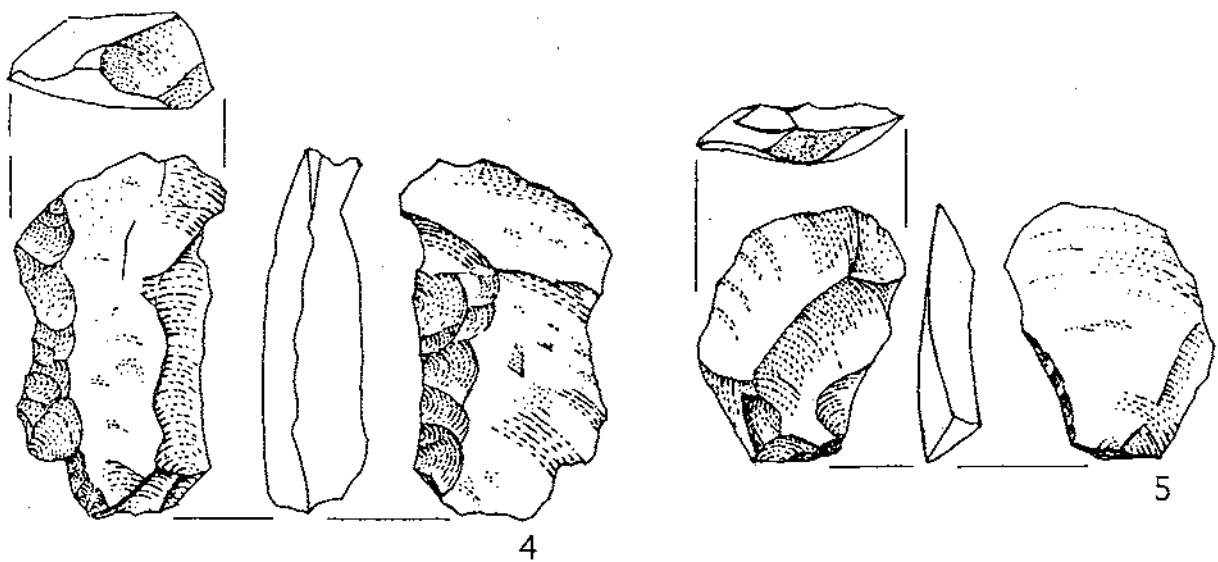
1



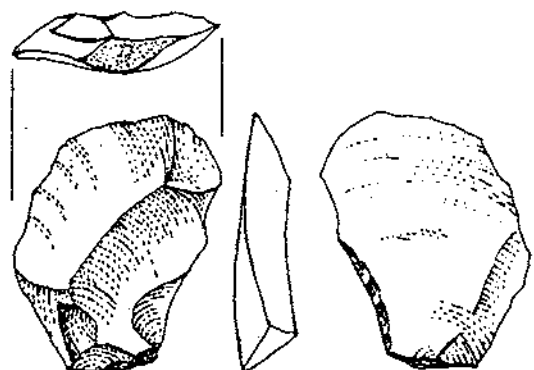
2



3

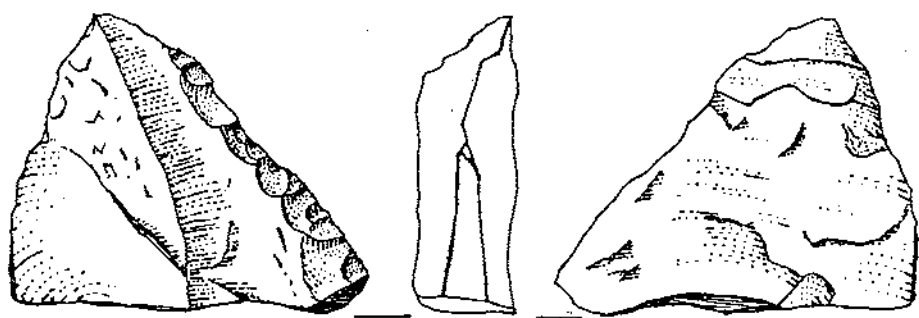


4

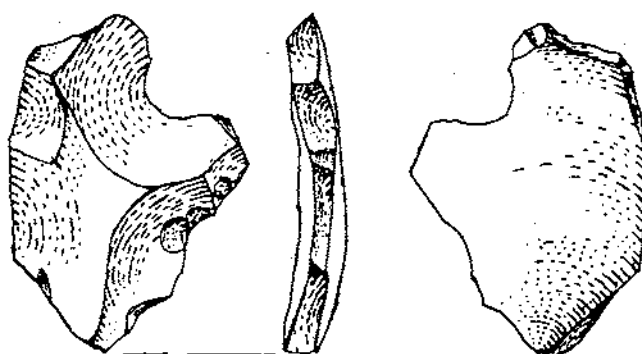


5

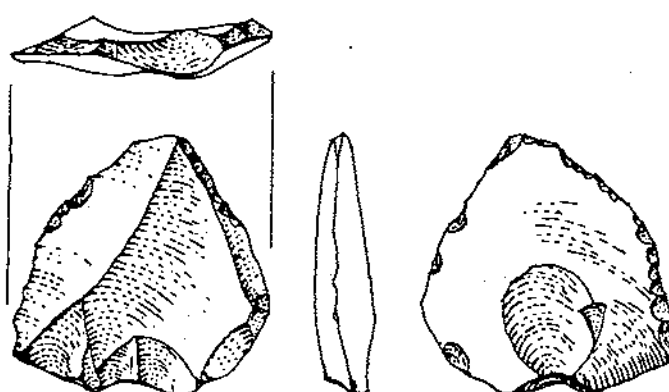
Fig. 9.- Selecció de diversos elements de la indústria lítica representativa del nivells excavats durant la campanya de 2002.



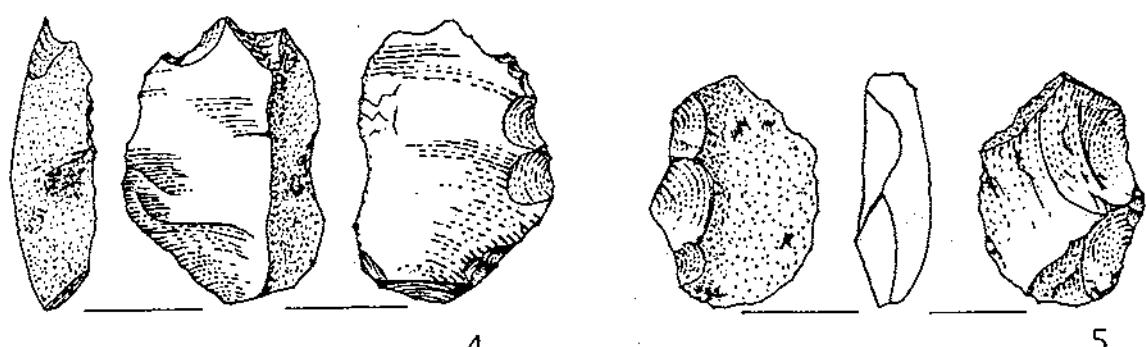
1



2



3



4

5

Fig. 10.- Selecció de diversos elements de la indústria lítica representativa del nivells excavats durant la campanya de 2002.

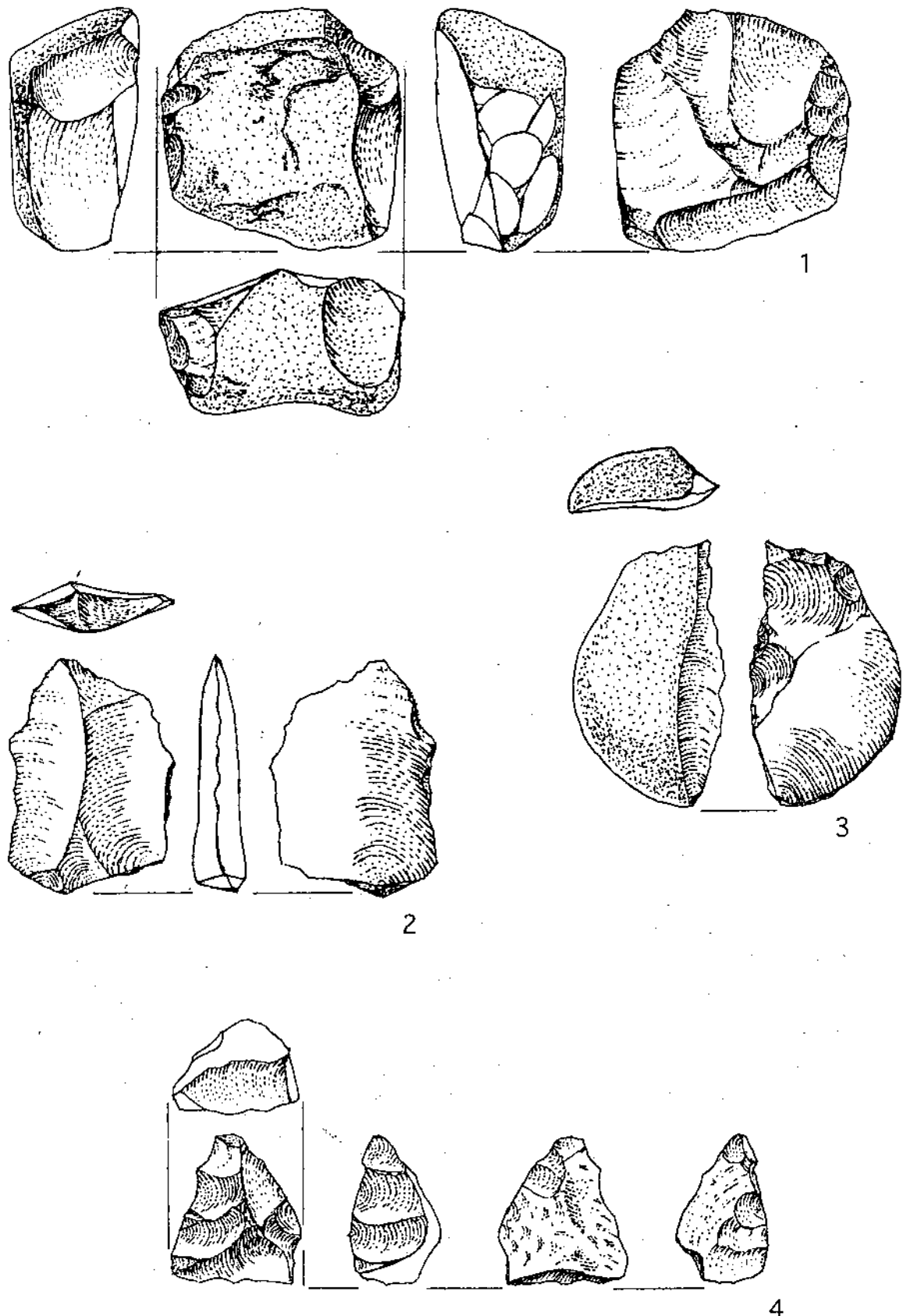


Fig. 11.- Selecció de diversos elements de la indústria lítica representativa del nivells excavats durant la campanya de 2002.

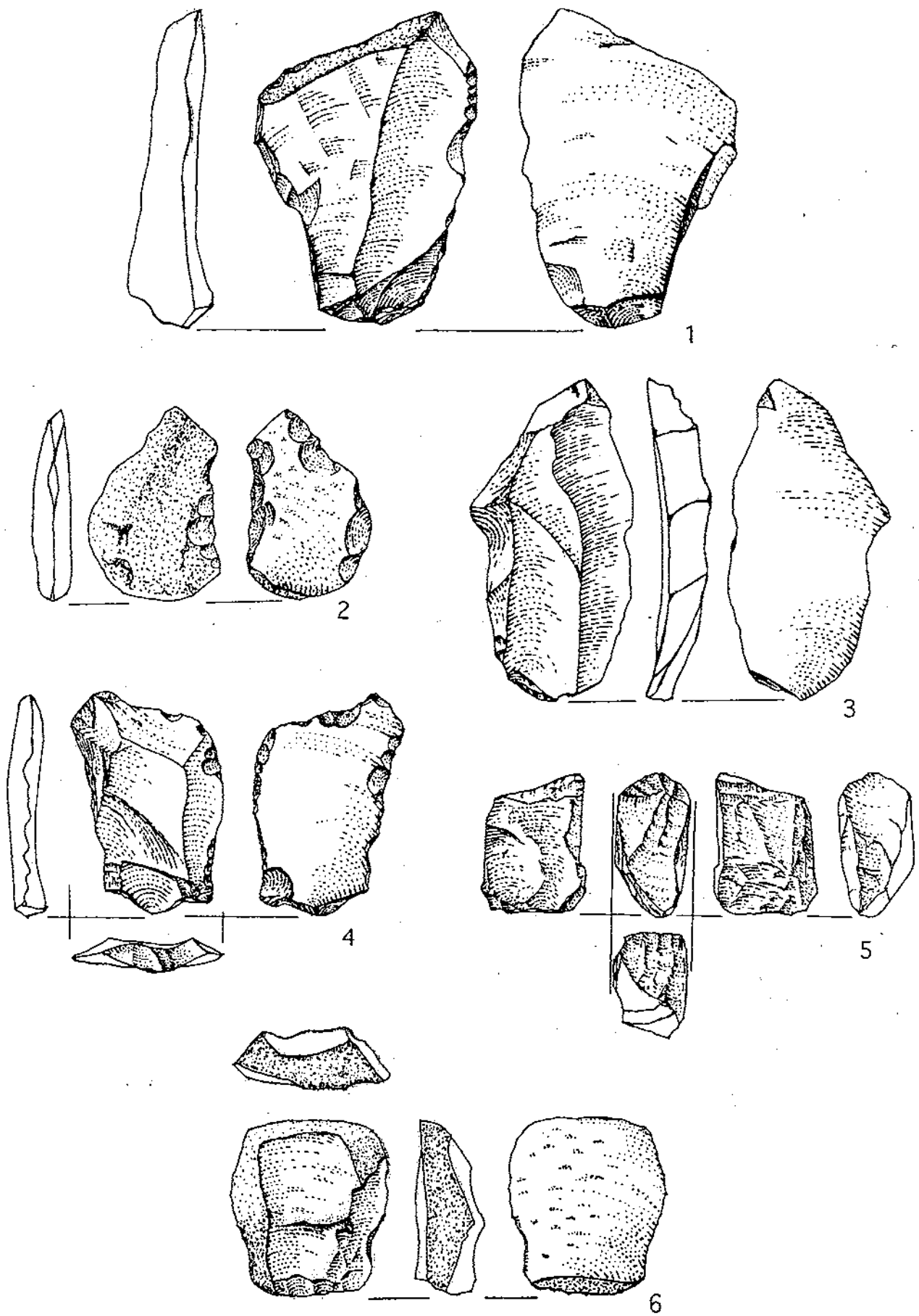


Fig. 12.- Selecció de diversos elements de la indústria lítica representativa del nivells excavats durant la campanya de 2002.



1: Molar d'*Equus caballus*



2: Molar de bòvid

Fig. 13.- Diversos elements de fauna localitzats *in situ* en el sòl de l'excavació, campanya de 2002.



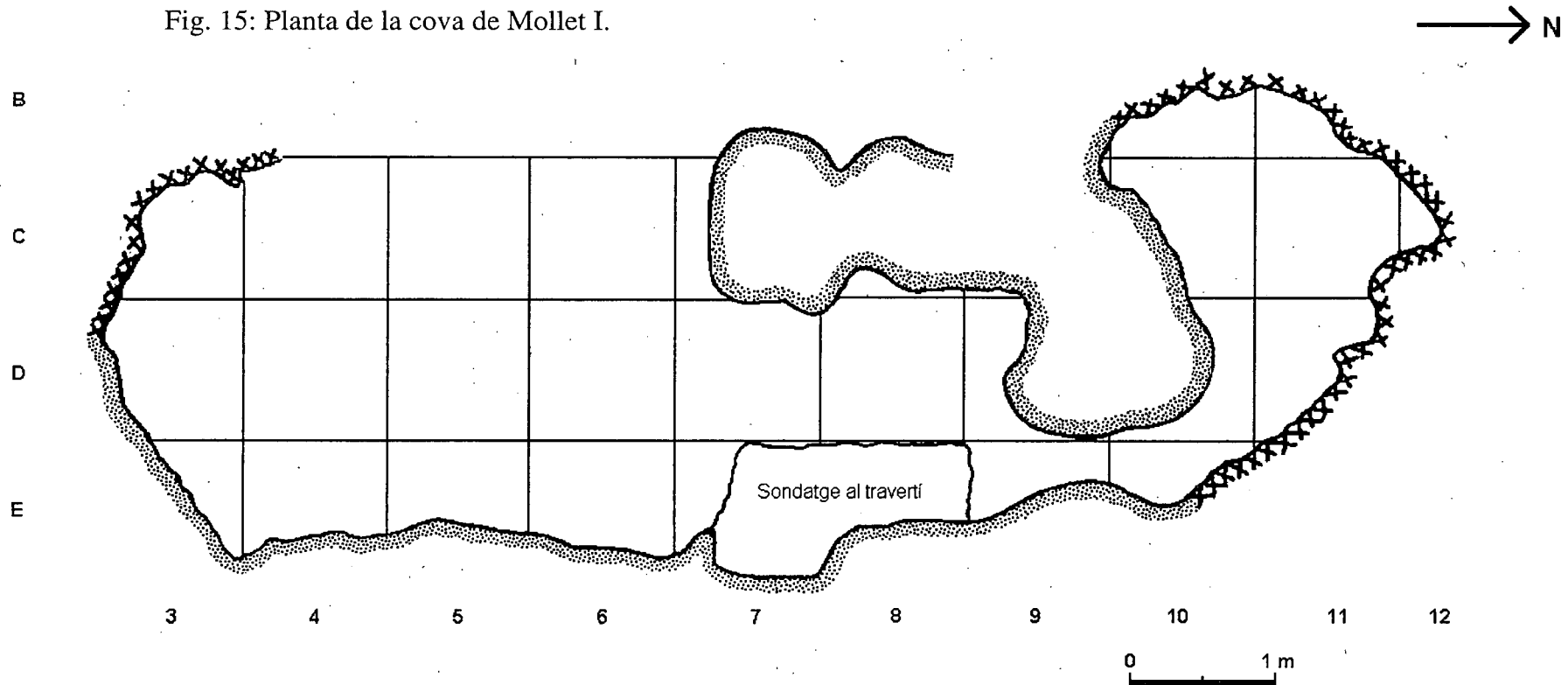
1: Aparició de la gran massa de travertí a l'extrem SW de l'excavació actual que impedeix de continuar excavant A5 i A4 (extrem superior-esquerre de la imatge).



2: Tria de sediments a prop de les instal·lacions del Parc de les Coves Prehistòriques de Serinyà.

Fig. 14.- Aspecte de la cova de l'Arbreda acabada la campanya d'excavació de 2002; i treballs de laboratori.

Fig. 15: Planta de la cova de Mollet I.



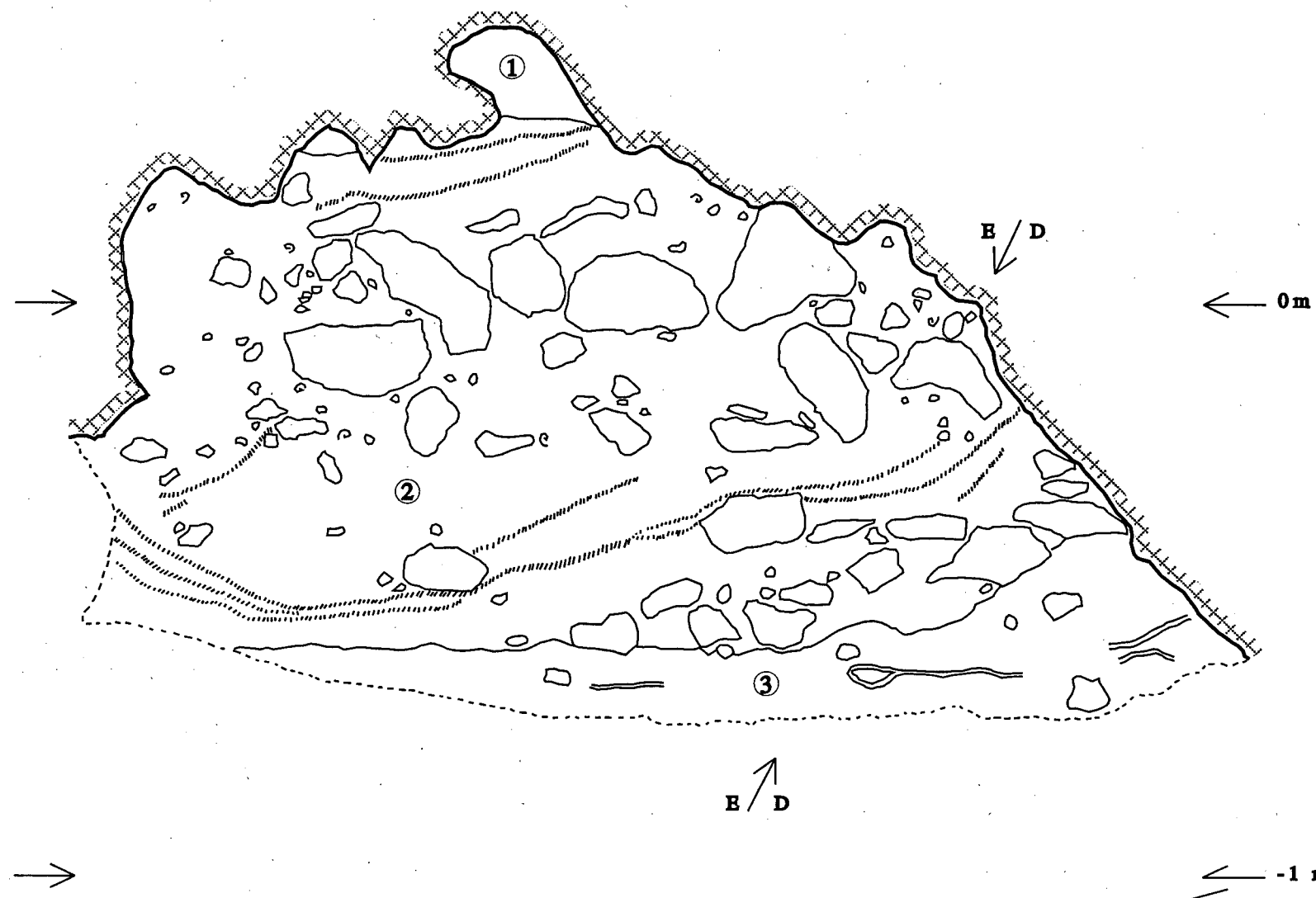
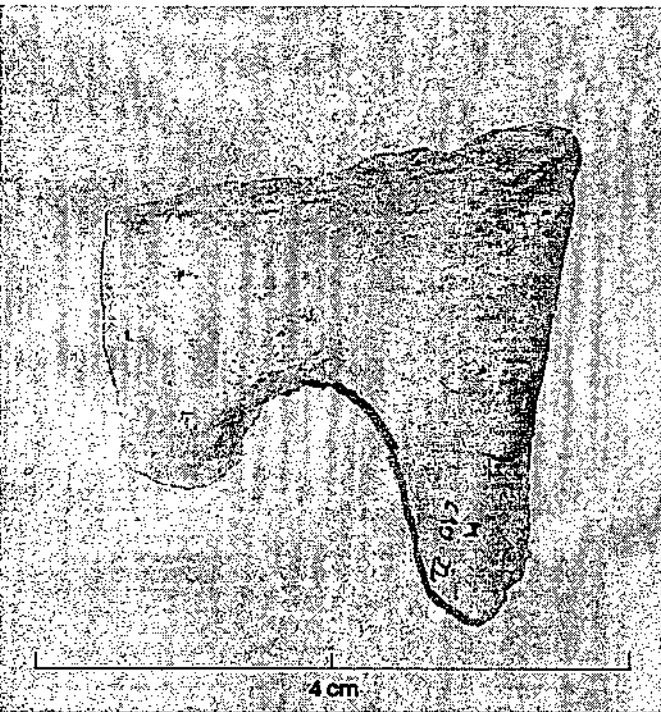
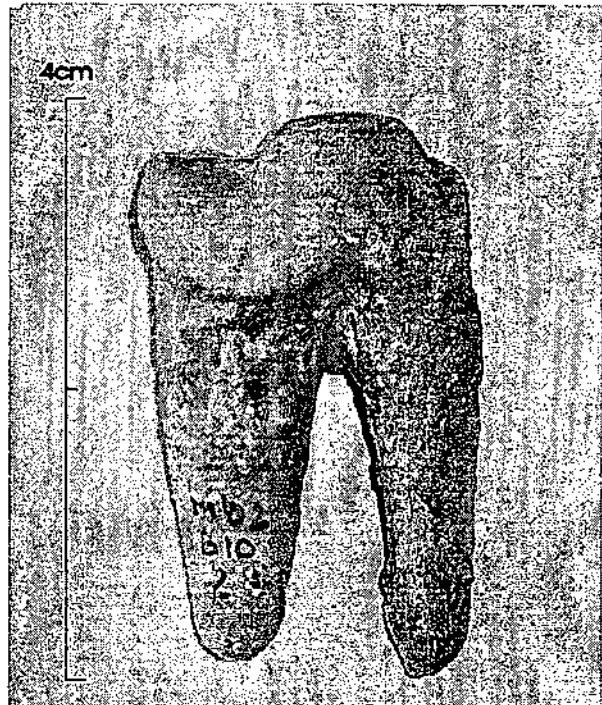


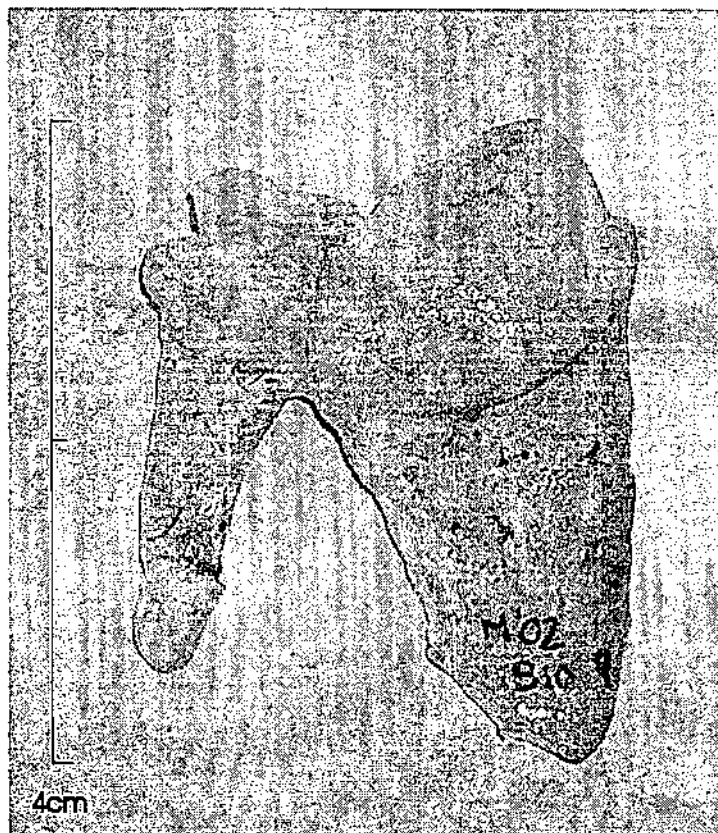
Fig. 16 Secció de la cova de Mollet I amb indicació dels tres nivells diferenciats.



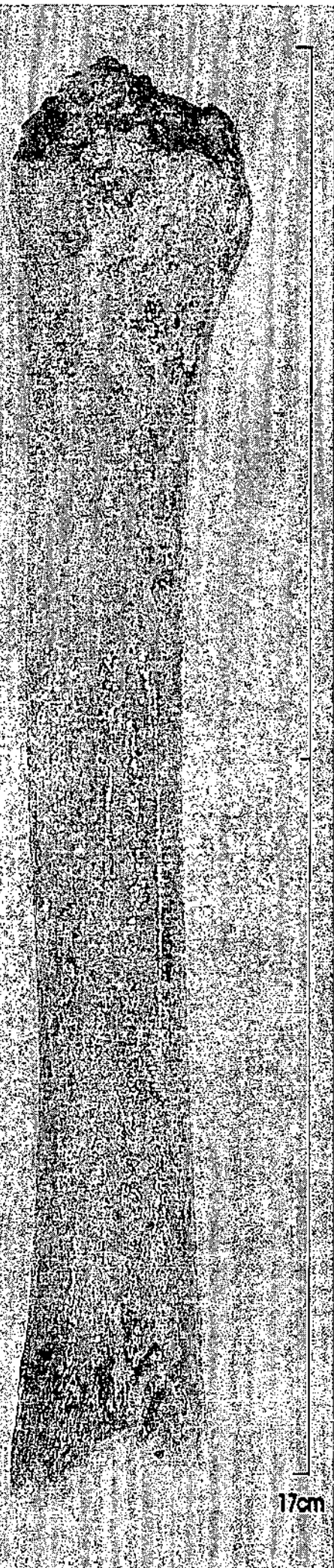
1. Molar d'équid (*Equus* sp.)



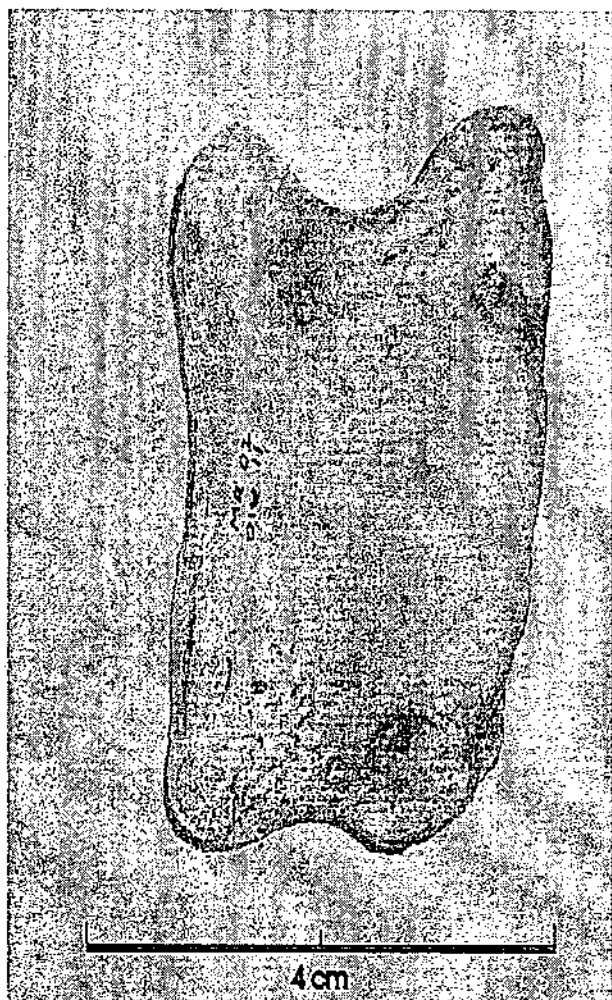
2. Premolar de hiena (*Crocuta crocuta intermedia*)



3. Molar inferior (M1) de hiena (*Crocuta crocuta intermedia*)



4. Radi de daina (*Dama* sp.)



5. Astràgal de cèrvol (*Cervus elaphus*)

## **ANNEX 1**

Inventari dels materials  
Cova de l'Arbreda, campanya 2002

Nº	Natura	Natura 2	Quadre	Talla	X	Y	Z	Orientació	Pendent	Longitud	Amplada	Gruix
1563	indeterminable	os indeterminable	A2	117	53	27	5850	NW-SE	pla	44	10	7
1564	esclat	quars	A2	118	57	42	5860	NW-SE	vertical sobre cantó	38	17	8
1565	os no determinat	dent	A2	117	42	94	5840	no determinada	no determinat	26	10	6
1566	fragment	quars	A2	117	46	84	5845	NE-SW	pla	18	10	5
1567	esclat	quarsita	A2	118	58	83	5860	no determinada	E	27	26	4
1568	carnívor	dent	A2	117	47	62	5845	no determinada	vertical	10	3	4
1569	carnívor	dent	A2	117	9	76	5830	no determinada	N	16	9	6
1570	conill	vèrtebra	A2	117	6	83	5835	no determinada	vertical	21	15	11
1571	conill	astràgal	A2	117	46	99	5815	E-W	pla	12	7	4
1572	au	os no determinat	A2	117	47	99	5810	NW-SE	SE	27	7	3
1573	denticulat	quars	A2	117	49	99	5820	no determinada	pla	25	22	10
1574	conill	falange	A2	117	61	98	5840	NE-SW	pla	15	5	3
1575	conill	falange	A2	117	60	98	5840	no determinada	no determinat	10	3	2
1576	esclat	quars	A2	117	87	49	5840	no determinada	pla	16	15	4
1577	os no determinat	dent	A2	117	86	49	5845	NW-SE	NW	21	18	5
1579	esclat	no determinat	A2	118	63	37	5855	NW-SE	pla	27	25	8
1581	indeterminable	os indeterminable	A2	118	70	80	5685	NW-SE	pla	45	8	5
1582	indeterminable	os indeterminable	A2	118	66	16	5850	E-W	pla	38	7	5
1583	carnívor	dent	A2	118	46	9	5860	no determinada	no determinat	11	5	3
1584	indeterminable	os indeterminable	A2	118	47	17	5860	N-S	pla	35	16	7
1585	fragment	quars	A2	118	48	42	5875	no determinada	no determinat	9	8	3
1586	fragment	quars	A2	118	30	28	5860	no determinada	pla	12	11	3
1587	os no determinat	os no determinat	A2	118	15	37	5885	N-S	pla	38	18	17
1588	fragment	quarsita	A2	118	12	5	5860	no determinada	pla	21	10	6
1589	esclat	quarsita	A2	118	58	50	5860	NW-SE	pla	35	19	18
1590	os no determinat	os no determinat	A2	118	84	70	5865	E-W	pla	20	4	2
1591	conill	dent	A2	118	82	64	5870	E-W	pla	11	2	2
1592	os no determinat	os no determinat	A2	118	88	80	5870	NW-SE	pla	19	5	4
1593	os no determinat	os no determinat	A2	118	35	5	5870	NW-SE	pla	37	15	14
1594	indeterminable	os indeterminable	A2	118	31	7	5870	N-S	pla	36	11	4
1595	os no determinat	os no determinat	A2	118	22	5	5870	N-S	pla	17	3	2
1596	fragment	quars	A2	118	66	30	5890	NW-SE	SE	26	18	13
1597	os no determinat	os no determinat	A2	118	37	32	5870	N-S	pla	30	6	3
1598	fragment	quars	A2	118	25	28	5850	NW-SE	SE	20	16	2
1599	fragment	quars	A2	118	6	26	5875	no determinada	S	15	16	5
1600	fragment	quars	A2	118	7	42	5865	N-S	S	16	14	3
1601	fragment	quars	A2	118	81	38	5885	NE-SW	pla	17	14	8
1602	conill	mandíbula	A2	118	58	52	5870	N-S	pla	40	20	22
1603	fragment	quars	A2	118	51	50	5780	NW-SE	pla	15	11	3

Nº	Natura	Natura 2	Quadre	Talla	X	Y	Z	Orientació	Pendent	Longitud	Amplada	Gruix
1604	fragment	quarsita	A2	118	49	66	5865	N-S	pla	14	9	4
1605	os no determinat	dent	A2	118	33	72	5875	NW-SE	pla	20	14	16
1606	indeterminable	os indeterminable	A2	118	5	75	5870	NW-SE	SE	32	17	7
1607	esclat	roca filoniana	A2	118	86	1	5870	N-S	pla	24	13	6
1608	os no determinat	os no determinat	A2	118	81	66	5880	NE-SW	pla	32	4	3
1609	os no determinat	os no determinat	A2	118	91	74	5880	E-W	pla	17	3	4
1610	conill	vèrtebra	A2	118	78	81	5880	no determinada	no determinat	19	12	11
1611	carnívor	mandíbula	A2	118	71	26	5880	N-S	N	86	40	17
1612	os no determinat	os no determinat	A2	118	89	65	5875	E-W	pla	21	6	5
1613	cònill	vèrtebra	A2	118	22	14	5885	no determinada	no determinat	28	11	10
1614	os no determinat	os no determinat	A2	118	19	27	5890	E-W	pla	37	3	3
1615	os no determinat	os no determinat	A2	118	35	26	5895	E-W	W	34	5	4
1616	fragment	quars	A2	118	47	27	5890	NW-SE	NW	11	9	6
1617	fragment	quars	A2	118	87	2	5885	N-S	pla	11	7	3
1618	fragment	quars	A2	118	48	49	5895	no determinada	pla	11	8	3
1619	esclat	quars	A2	118	39	66	5890	NW-SE	NE	15	14	3
1620	os no determinat	os no determinat	A2	118	88	86	5905	E-W	pla	21	3	2
1621	esclat	quars	A2	118	89	83	5910	NW-SE	pla	25	21	10
1622	conill	astràgal	A2	118	94	80	5905	E-W	pla	22	10	7
1623	indeterminable	os indeterminable	A2	118	74	38	5900	NW-SE	pla	35	35	10
1624	os no determinat	os no determinat	A2	118	80	53	5925	N-S	N	65	21	14
1626	esclat	quarsita	A2	118	59	20	5900	E-W	pla	43	26	7
1627	indeterminable	os indeterminable	A2	118	70	43	5905	E-W	pla	40	6	3
1628	indeterminable	os indeterminable	A2	118	37	23	5895	NE-SW	NE	32	8	4
1629	fragment	quars	A2	118	24	17	5890	E-W	W	17	16	6
1630	indeterminable	os indeterminable	A2	118	30	27	5900	NE-SW	pla	35	7	7
1631	os no determinat	os no determinat	A2	118	26	27	5905	NW-SE	pla	36	22	22
1632	fragment	quars	A2	118	28	40	5890	N-S	S	11	6	6
1633	conill	vèrtebra	A2	118	37	61	5900	NE-SW	pla	25	19	11
1634	os no determinat	os no determinat	A2	118	26	69	5895	N-S	pla	15	3	2
1635	conill	dent	A2	118	46	57	5905	no determinada	no determinat	21	2	3
1636	indeterminable	os indeterminable	A2	118	66	94	5905	E-W	pla	30	22	14
1637	os no determinat	dent	A2	118	20	60	5900	N-S	pla	11	5	5
1640	esclat	quars	A2	118	16	19	5900	N-S	S	34	17	11
1641	indeterminable	os indeterminable	A2	119	24	11	5905	N-S	pla	31	27	7
1642	conill	vèrtebra	A2	119	37	3	5905	no determinada	N	26	25	26
1643	indeterminable	os indeterminable	A2	119	50	36	5915	E-W	pla	38	19	6
1644	esclat	quars	A2	119	76	38	5920	E-W	E	24	17	11
1646	fragment	quars	A2	119	28	93	5920	NW-SE	pla	35	26	11

Nº	Natura	Natura 2	Quadre	Talla	X	Y	Z	Orientació	Pendent	Longitud	Amplada	Gruix
1647	os no determinat	os no determinat	A2	119	55	72	5910	E-W	pla	34	4	2
1648	esclat	quars	A2	119	94	15	5915	NW-SE	NW	27	16	6
1649	esclat	quars	A2	119	60	16	5920	E-W	W	17	18	6
1650	conill	mandíbula	A2	119	69	77	5930	no determinada	no determinat	12	7	2
1651	indeterminable	os indeterminable	A2	119	14	10	5920	E-W	pla	65	20	8
1652	indeterminable	os indeterminable	A2	119	27	22	5925	NE-SW	SW	71	8	8
1653	esclat	quars	A2	119	40	61	5940	no determinada	pla	22	22	6
1654	fragment	quars	A2	119	65	11	5930	NE-SW	no determinat	21	16	6
1655	fragment	quars	A2	119	86	14	5925	E-W	N	26	17	9
1656	indeterminable	os indeterminable	A2	119	95	27	5935	E-W	pla	31	5	4
1657	conill	os no determinat	A2	119	78	45	5935	E-W	E	36	4	4
1658	os no determinat	dent	A2	119	9	19	5925	E-W	pla	15	14	4
1659	fragment	quars	A2	119	90	69	5930	NE-SW	pla	13	7	2
1660	esclat	quars	A2	119	93	88	5925	no determinada	W	28	28	3
1661	fragment	quars	A2	119	86	84	5930	no determinada	pla	18	14	5
1662	carnívor	crani	A2	119	58	43	5925	no determinada	E	45	42	5
1663	os no determinat	os no determinat	A2	119	71	92	5935	no determinada	vertical	18	2	3
1664	esclat	quars	A2	119	79	85	5935	N-S	pla	25	15	5
1665	esclat	roca filoniana	A2	119	92	91	5940	E-W	W	58	30	10
1666	conill	altres	A2	119	14	16	5930	E-W	W	31	8	4
1667	conill	falange	A2	119	37	37	5940	N-S	pla	15	3	2
1668	indeterminable	os indeterminable	A2	119	63	33	5935	N-S	pla	34	13	6
1669	gran bòvid	dent	A2	119	72	48	5950	NE-SW	no determinat	39	32	21
1670	os no determinat	os no determinat	A2	119	58	63	5935	E-W	E	31	8	6
1671	indeterminable	os indeterminable	A2	119	27	69	5935	N-S	pla	32	22	3
1672	carnívor	dent	A2	119	33	80	5935	NE-SW	no determinat	19	7	5
1673	conill	altres	A2	119	70	92	5950	NW-SE	pla	54	9	7
1674	indeterminable	os indeterminable	A2	119	59	97	5945	E-W	vertical	27	24	4
1675	conill	falange	A2	119	90	83	5945	no determinada	no determinat	9	4	3
1676	conill	falange	A2	119	10	35	5935	no determinadá	no determinat	12	4	2
1677	esclat	quars	A2	119	34	34	5945	N-S	pla	25	15	4
1678	indeterminable	os indeterminable	A2	119	74	59	5940	NE-SW	pla	34	10	5
1679	fragment	quars	A2	119	80	5	5950	N-S	no determinat	15	15	8
1680	denticulat	quars	A2	119	71	39	5960	N-S	no determinat	60	43	17
1681	indeterminable	os indeterminable	A2	119	61	31	5950	N-S	pla	28	7	6
1682	indeterminable	os indeterminable	A2	119	67	48	5955	NW-SE	pla	30	15	5
1683	indeterminable	os indeterminable	A2	119	96	6	5920	E-W	pla	30	15	5
1684	fragment	quars	A2	119	90	12	5940	no determinada	pla	14	3	6
1685	altres	altres	A2	120	26	12	5960	N-S	pla	50	36	28

Nº	Natura	Natura 2	Quadre	Talla	X	Y	Z	Orientació	Pendent	Longitud	Amplada	Gruix
1686	esclat	sílex	A2	119	10	10	5930	N-S	pla	30	13	3
1687	esclat	quars	A2	119	52	75	5950	N-S	pla	25	20	8
1688	esclat	quars	A2	119	70	3	5940	no determinada	no determinat	15	12	7
1689	conill	metàpod	A2	119	34	15	5950	N-S	pla	15	3	2
1690	os no determinat	dent	A2	119	7	12	5950	no determinada	no determinat	24	15	7
1691	conill	vèrtebra	A2	119	7	22	5950	NW-SE	pla	22	15	6
1692	indeterminable	os indeterminable	A2	119	79	4	5940	NW-SE	NW	30	7	5
1693	au	os no determinat	A2	120	10	14	5950	NW-SE	pla	51	15	8
1694	carnívor	dent	A2	120	68	25	5960	no determinada	no determinat	12	5	5
1695	no determinat (ind. lítica)	roca filoniana	A2	120	79	51	5970	NW-SE	SE	36	25	11
1696	indeterminable	os indeterminable	A2	120	41	57	5965	NE-SW	NE	85	13	9
1697	os no determinat	vèrtebra	A2	120	4	56	5950	no determinada	no determinat	20	15	17
1698	no determinat (ind. lítica)	quars	A2	120	81	46	5955	no determinada	no determinat	15	8	4
1699	os no determinat	falange	A2	120	87	37	5965	no determinada	no determinat	8	2	2
1700	no determinat (ind. lítica)	quars	A2	120	85	46	5970	N-S	N	17	16	3
1701	conill	crani	A2	120	90	35	5970	N-S	pla	80	40	35
1702	conill	metàpod	A2	120	82	44	5960	NW-SE	NW	18	3	3
1703	conill	falange	A2	120	80	46	5960	NW-SE	NW	10	2	2
1704	conill	falange	A2	120	78	45	5960	NW-SE	NW	10	2	2
1705	conill	falange	A2	120	81	46	5960	NW-SE	NW	10	2	2
1706	conill	falange	A2	120	82	46	5960	NW-SE	NW	5	2	2
1707	os no determinat	os no determinat	A2	120	28	59	5975	NW-SE	pla	18	4	4
1708	carnívor	dent	A2	120	25	84	5980	NE-SW	pla	26	19	13
1709	indeterminable	os indeterminable	A2	120	67	66	5970	NW-SE	SE	34	17	4
1710	os no determinat	os no determinat	A2	120	72	70	5955	N-S	S	28	25	3
1711	os no determinat	crani	A2	120	75	73	5955	no determinada	S	28	25	3
1712	fragment	quars	A2	120	87	84	5970	no determinada	no determinat	11	10	6
1713	esclat	quars	A2	120	94	80	5975	N-S	S	22	13	8
1714	conill	calcany	A2	120	92	72	5965	NE-SW	pla	22	11	6
1715	indeterminable	os indeterminable	A2	120	81	27	5970	E-W	N	37	22	3
1716	carnívor	dent	A2	120	87	9	5955	no determinada	no determinat	11	7	6
1717	carnívor	dent	A2	120	86	16	5965	E-W	pla	15	5	6
1718	conill	metàpod	A2	120	82	40	5965	E-W	pla	20	3	2
1719	conill	metàpod	A2	120	82	41	5965	E-W	pla	16	4	2
1721	os no determinat	dent	A2	120	93	13	9565	E-W	W	24	15	6
1722	indeterminable	os indeterminable	A2	120	50	79	5985	N-S	pla	34	26	8
1723	esclat	quars	A2	120	5	91	5985	no determinada	E	24	16	7
1724	os no determinat	costella	A2	120	28	86	5995	NE-SW	pla	60	6	5
1725	indeterminable	os indeterminable	A2	120	39	38	5980	N-S	S	30	7	2

Nº	Natura	Natura 2	Quadre	Talla	X	Y	Z	Orientació	Pendent	Longitud	Amplada	Gruix
1726	indeterminable	os indeterminable	A2	120	70	34	5975	N-S	S	40	10	3
1727	indeterminable	os indeterminable	A2	120	87	22	5985	NW-SE	NW	64	17	13
1728	os no determinat	os no determinat	A2	120	91	12	5975	E-W	E	28	10	7
1729	os no determinat	os no determinat	A2	120	32	67	5995	N-S	pla	26	4	3
1730	os no determinat	metàpod	A2	120	0	75	5965	E-W	E	28	22	11
1731	esclat	quars	A2	121	91	80	6005	E-W	E	12	10	3
1732	fragment	quars	A2	120	88	10	5965	NW-SE	NE	12	10	3
1733	carnívor	dent	A2	120	38	42	5985	N-S	N	15	6	3
1734	os no determinat	os no determinat	A2	120	51	53	5990	N-S	N	30	8	5
1735	carnívor	dent	A2	121	52	88	6010	NE-SW	NE	40	15	17
1736	carnívor	dent	A2	120	72	10	5995	E-W	vertical sobre cantó	32	24	25
1737	fragment	quars	A2	120	85	25	5995	N-S	pla	17	15	3
1738	indeterminable	os indeterminable	A2	120	90	15	5995	N-S	pla	31	16	2
1739	indeterminable	os indeterminable	A2	120	98	51	5990	NW-SE	NW	31	4	3
1740	conill	falange	A2	120	72	72	5985	NE-SW	pla	11	3	3
1741	conill	falange	A2	120	74	63	5995	NE-SW	pla	9	3	3
1742	fragment	quars	A2	120	77	55	5980	NE-SW	SW	13	12	8
1743	conill	falange	A2	120	77	50	5975	N-S	N	8	3	2
1744	conill	falange	A2	120	77	45	5970	N-S	pla	10	4	3
1745	conill	falange	A2	120	78	43	5970	NE-SW	SW	7	3	3
1746	conill	falange	A2	120	79	41	5970	NE-SW	pla	7	3	3
1747	conill	falange	A2	120	79	41	5970	NW-SE	pla	5	3	3
1748	conill	falange	A2	120	78	42	5970	NW-SE	pla	7	3	3
1749	conill	altres	A2	120	91	69	5980	NW-SE	NW	26	23	8
1750	esclat	sílex	A2	120	95	63	5970	E-W	E	21	18	10
1751	conill	vèrtebra	A2	120	83	43	5970	N-S	S	13	13	13
1752	conill	falange	A2	120	80	41	5980	N-S	N	8	3	3
1753	conill	vèrtebra	A2	120	86	48	5980	N-S	pla	14	13	12
1754	conill	costella	A2	120	86	51	5970	NW-SE	NW	41	2	2
1755	conill	costella	A2	120	86	50	5975	NW-SE	NW	51	2	2
1756	conill	costella	A2	120	86	49	5975	NW-SE	NW	35	2	2
1757	conill	vèrtebra	A2	120	87	50	5985	N-S	pla	32	21	15
1758	conill	costella	A2	120	83	48	5990	NW-SE	NW	50	2	2
1759	conill	costella	A2	120	83	49	5990	NW-SE	NW	54	2	2
1760	conill	costella	A2	120	83	50	5990	NW-SE	NW	48	2	2
1761	fragment	quars	A2	120	98	72	5995	no determinada	no determinat	15	9	6
1762	fragment	quars	A2	120	75	27	5995	no determinada	W	18	10	4
1763	fragment	quars	A2	120	66	40	6000	E-W	pla	12	7	5
1764	plaqueta	sorrenca	A2	121	83	60	6030	N-S	W	93	52	35

Nº	Natura	Natura 2	Quadre	Talla	X	Y	Z	Orientació	Pendent	Longitud	Amplada	Gruix
1765	indeterminable	os indeterminable	A2	121	39	80	6010	N-S	S	74	22	15
1283	fragment esclat	corniana	A3	117	40	90	5850	NW-SE	pla	37	20	5
1284	indeterminable	os indeterminable	A3	118	68	4	5855	E-W	W	35	18	14
1285	raspador	sílex	A3	118	69	28	5875	N-S	vertical sobre cantó	49	32	8
1286	os no determinat	os no determinat	A3	118	68	32	5850	N-S	pla	15	5	4
1287	indeterminable	os indeterminable	A3	118	69	36	5865	no determinada	NW	35	8	8
1288	carnívor	dent	A3	118	79	37	5870	NW-SE	NW	16	7	5
1289	conill	vèrtebra	A3	118	84	35	5875	no determinada	no determinat	16	14	7
1290	denticulat	quarsita	A3	118	43	36	5865	NW-SE	pla	27	22	16
1291	os no determinat	dent	A3	118	63	71	5870	no determinada	no determinat	10	10	5
1292	esclat	quars	A3	118	58	89	5875	N-S	N	19	19	5
1293	fragment	quars	A3	118	52	82	5880	N-S	E	31	20	9
1294	conill	falange	A3	118	43	94	5870	NW-SE	pla	7	5	3
1295	conill	falange	A3	118	36	88	5870	E-W	pla	8	2	2
1296	conill	falange	A3	118	25	83	5865	N-S	pla	10	4	4
1297	os no determinat	vèrtebra	A3	118	87	94	5860	E-W	E	20	18	13
1298	no determinat (ind. Lítica)	quars	A3	118	48	98	5890	no determinada	no determinat	15	10	5
1299	no determinat (ind. Lítica)	quars	A3	118	39	98	5890	N-S	pla	21	17	6
1300	indeterminable	os indeterminable	A3	118	20	95	5870	E-W	pla	21	5	4
1301	indeterminable	os indeterminable	A3	118	5	82	5880	E-W	no determinat	48	15	7
1302	buri	quarsita	A3	118	38	70	5900	E-W	vertical	44	25	10
1303	esclat	quars	A3	118	56	15	5860	NW-SE	pla	27	18	8
1304	os no determinat	os no determinat	A3	118	57	32	5895	NW-SE	pla	28	5	4
1305	fragment esclat	sílex	A3	118	64	22	5890	NW-SE	pla	29	22	10
1306	carnívor	dent	A3	118	89	15	5895	NW-SE	SE	31	31	22
1307	esclat	quarsita	A3	118	93	26	5870	NW-SE	SW	40	27	7
1308	indeterminable	os indeterminable	A3	118	70	44	5880	N-S	S	37	36	27
1309	os no determinat	os no determinat	A3	118	51	62	5895	no determinada	no determinat	10	4	3
1310	indeterminable	os indeterminable	A3	118	38	80	5895	E-W	pla	48	12	5
1311	os no determinat	os no determinat	A3	118	33	71	5895	no determinada	no determinat	37	18	9
1312	os no determinat	os no determinat	A3	118	18	69	5895	no determinada	no determinat	24	8	5
1313	indeterminable	os indeterminable	A3	118	59	1	5875	NW-SE	SW	45	12	8
1314	fragment	quars	A3	118	50	72	5905	E-W	N	13	12	5
1315	os no determinat	os no determinat	A3	118	40	50	5885	N-S	N	25	10	7
1316	conill	falange	A3	118	49	47	5885	NE-SW	pla	16	4	3
1318	os no determinat	os no determinat	A3	118	67	41	5880	N-S	pla	35	22	7
1319	fragment esclat	quars	A3	118	45	5	5880	N-S	pla	16	14	6
1320	fragment esclat	quars	A3	118	49	9	5890	N-S	S	15	15	5

Nº	Natura	Natura 2	Quadre	Talla	X	Y	Z	Orientació	Pendent	Longitud	Amplada	Gruix
1321	conill	vèrtebra	A3	118	70	40	5900	N-S	pla	15	17	7
1322	nucli	quarsita	A3	118	80	37	5910	E-W	pla	45	40	20
1323	os no determinat	dent	A3	118	66	35	5900	N	vertical	12	9	3
1324	fragment esclat	quars	A3	118	28	8	5900	no determinada	pla	20	10	20
1325	esclat	quars	A3	118	88	90	5900	N	vertical	15	12	3
1326	conill	falange	A3	118	43	62	5890	N-S	pla	8	4	2
1327	conill	falange	A3	118	43	63	5890	NW-SE	pla	15	2	4
1328	carnívor	dent	A3	118	43	66	5890	N-S	pla	10	7	4
1329	esclat	quars	A3	118	24	100	5890	N-S	pla	16	12	5
1330	indeterminable	os indeterminable	A3	118	18	3	5900	E-W	pla	32	19	7
1331	fragment	quars	A3	118	24	9	5900	no determinada	no determinat	16	11	8
1332	conill	metàpode	A3	119	23	0	5920	N-S	pla	19	2	2
1333	conill	metàpode	A3	119	25	2	5920	no determinada	no determinat	5	3	2
1334	conill	dent	A3	119	30	2	5920	NE-SW	no determinat	16	4	2
1335	indeterminable	os indeterminable	A3	119	36	7	5925	N-S	W	37	16	15
1336	conill	mandíbula	A3	119	37	7	5945	N-S	pla	27	7	4
1337	indeterminable	os indeterminable	A3	119	38	7	5945	N-S	pla	33	17	4
1338	conill	vèrtebra	A3	119	70	31	5915	N-S	pla	40	20	15
1339	esclat	quars	A3	119	66	90	5920	NW-SE	no determinat	24	15	5
1340	os no determinat	vèrtebra	A3	119	70	31	5915	N-S	pla	16	18	17
1341	os no determinat	vèrtebra	A3	119	70	31	5915	N-S	pla	19	14	9
1342	conill	mandíbula	A3	119	38	7	5930	N-S	pla	42	15	7
1343	os no determinat	os no determinat	A3	119	50	65	5910	no determinada	no determinat	12	8	8
1344	conill	os no determinat	A3	119	49	61	5915	NE-SW	no determinat	35	3	3
1345	indeterminable	os indeterminable	A3	119	14	85	5905	N-S	vertical	30	16	6
1347	conill	crani	A3	119	40	10	5920	NW-SE	no determinat	25	20	3
1348	fragment	quars	A3	119	74	17	5915	no determinada	no determinat	15	11	3
1349	os no determinat	dent	A3	119	84	34	5925	no determinada	no determinat	9	4	3
1350	carnívor	falange	A3	119	44	56	5920	no determinada	no determinat	26	21	10
1351	esclat	quars	A3	119	33	85	5915	no determinada	pla	14	12	5
1352	conill	mandíbula	A3	119	22	93	5910	E-W	pla	23	10	4
1353	indeterminable	os indeterminable	A3	119	25	91	5910	E-W	pla	32	12	5
1354	esclat	roca filoniana	A3	119	17	6	5920	NE-SW	pla	35	20	4
1355	os no determinat	os no determinat	A3	119	81	21	5935	NW-SE	pla	25	12	3
1356	conill	altres	A3	119	12	10	5940	N-S	pla	15	9	12
1357	conill	dent	A3	119	12	10	5940	N-S	pla	15	3	1
1358	os no determinat	dent	A3	119	21	10	5950	E-W	pla	20	5	2
1359	indeterminable	os indeterminable	A3	118	92	89	5880	N-S	pla	50	16	6
1360	indeterminable	os indeterminable	A3	118	94	76	5890	NE-SW	pla	60	15	4

Nº	Natura	Natura 2	Quadre	Talla	X	Y	Z	Orientació	Pendent	Longitud	Amplada	Gruix
1361	os no determinat	dent	A3	119	56	97	5915	no determinada	no determinat	6	4	3
1362	indeterminable	os indeterminable	A3	119	41	33	5920	N-S	NW	30	15	5
1363	indeterminable	os indeterminable	A3	118	99	5	5865	NE-SW	pla	65	15	5
1364	indeterminable	os indeterminable	A3	119	48	27	5935	N-S	pla	43	9	2
1365	indeterminable	os indeterminable	A3	118	93	17	5905	NW-SE	pla	75	30	35
1366	indeterminable	os indeterminable	A3	119	69	24	5935	E-W	pla	30	15	4
1367	os no determinat	dent	A3	119	72	78	5930	no determinada	no determinat	11	5	10
1368	os no determinat	os no determinat	A3	119	65	80	5930	E-W	N	11	3	2
1369	indeterminable	os indeterminable	A3	119	39	72	5920	E-W	pla	45	15	2
1370	os no determinat	os no determinat	A3	119	39	72	5920	no determinada	no determinat	8	2	2
1371	indeterminable	os indeterminable	A3	119	92	58	5940	NW-SE	pla	40	20	10
1372	indeterminable	os indeterminable	A3	118	100	97	5890	N-S	N	75	17	3
1373	os no determinat	dent	A3	118	99	17	5910	NW-SE	N	15	10	19
1374	conill	vèrtebra	A3	119	24	91	5935	E-W	pla	19	9	7
1375	fragment esclat	quars	A3	119	20	83	5930	N-S	pla	12	11	4
1376	conill	costella	A3	119	63	32	5945	N-S	pla	36	4	3
1377	fragment	quars	A3	119	100	24	5945	E-W	pla	15	15	6
1378	os no determinat	falange	A3	119	53	49	5930	E-W	pla	11	9	5
1379	os no determinat	costella	A3	119	89	31	5950	E-W	pla	28	6	3
1380	os no determinat	dent	A3	119	42	70	5950	E-W	pla	15	17	3
1381	fragment	quars	A3	120	37	26	5970	E-W	pla	13	9	7
1382	indeterminable	os indeterminable	A3	119	98	4	5940	NE-SW	pla	33	32	24
1383	indeterminable	os indeterminable	A3	120	14	4	5970	N-S	pla	36	5	3
1384	esclat	quars	A3	120	38	28	5965	N-S	S	14	14	3
1385	carnívor	dent	A3	120	48	44	5985	N-S	N	17	6	4
1386	os no determinat	os no determinat	A3	120	79	39	5975	E-W	W	41	5	4
1387	os no determinat	costella	A3	120	84	36	5955	E-W	W	47	6	4
1388	carnívor	dent	A3	120	90	32	5975	no determinada	no determinat	14	7	5
1389	fragment	silex	A3	120	66	8	5965	N-S	pla	15	7	5
1390	os no determinat	os no determinat	A3	120	54	66	5995	NW-SE	pla	5	4	4
1391	os no determinat	vèrtebra	A3	120	60	64	5995	N-S	pla	8	7	
1392	conill	falange	A3	120	60	92	5960	N-S	pla	16	4	4
1393	conill	dent	A3	120	85	84	5965	N-S	pla	10	2	1
1394	fragment	altres	A3	120	83	84	5960	NW-SE	pla	46	25	20
1395	esclat	quars	A3	120	95	99	5975	no determinada	pla	18	15	6
1396	indeterminable	os indeterminable	A3	120	27	76	5960	E-W	pla	56	37	7
1397	esclat	quars	A3	120	99	65	5985	E-W	pla	20	16	4
1398	carnívor	dent	A3	120	47	66	5990	N-S	pla	16	9	4
1399	fragment	quars	A3	120	50	52	5990	no determinada	pla	13	10	16

Nº	Natura	Natura 2	Quadre	Talla	X	Y	Z	Orientació	Pendent	Longitud	Amplada	Gruix
1400	indeterminable	os indeterminable	A3	120	39	70	5995	E-W	W	3.4	17	6
940	fragment	quars	A4	118	47	89	5860	no determinada	pla	12	7	1
941	indeterminable	os indeterminable	A4	118	65	82	5875	E-W	vertical sobre cantó	32	6	2
942	esclat	quars	A4	118	65	34	5860	no determinada	pla	7	9	3
943	fragment	quars	A4	118	72	7	5850	no determinada	no determinat	12	7	6
944	indeterminable	os indeterminable	A4	118	47	88	5860	NE-SW	pla	33	13	10
945	esclat	quàrs	A4	118	41	100	5860	E-W	vertical	40	30	13
946	fragment	quars	A4	118	8	83	5880	NW-SE	pla	21	20	5
947	esclat	no determinat	A4	118	62	61	5900	NW-SE	pla	40	18	4
948	esclat	quars	A4	118	54	52	5900	E-W	SW	32	30	7
949	esclat	quars	A4	118	74	40	5890	E-W	pla	19	12	6
950	os no determinat	dent	A4	118	92	85	5865	E-W	N	25	7	5
951	os no determinat	dent	A4	118	90	88	5880	E-W	NW	11	8	3
952	indeterminable	os indeterminable	A4	118	93	79	5880	NW-SE	SE	45	70	7
953	indeterminable	os indeterminable	A4	118	0	14	5855	N-S	vertical sobre cantó	31	14	5
955	os no determinat	os no determinat	A4	118	91	86	5890	NE-SW	pla	23	6	9
956	no determinat	no determinat	A4	119	43	6	5770	N-S	pla	115	43	16
957	os no determinat	crani	A4	119	100	76	5920	NW-SE	SE	80	63	32
958	indeterminable	os indeterminable	A4	119	94	4	5920	N-S	pla	40	20	10
959	esclat	quars	A4	119	85	45	5910	NW-SE	pla	15	10	5
960	fragment	quars	A4	119	62	69	5905	no determinada	pla	20	13	5
961	fragment	quars	A4	119	61	54	5910	N-S	pla	15	5	4
962	fragment	quars	A4	119	48	10	5910	N-S	pla	15	10	7
963	esclat	quarsita	A4	119	50	18	5910	E-W	pla	45	35	5
964	esclat	quars	A4	119	92	71	5925	no determinada	pla	21	19	9
965	esclat	quars	A4	118	18	100	5895	no determinada	no determinat	10	15	7
966	esclat	quars	A4	118	100	39	5890	no determinada	no determinat	16	18	2
967	os no determinat	crani	A4	119	40	50	5910	no determinada	no determinat	55	45	3
968	esclat "levallois"	no determinat	A4	119	56	31	5950	N-S	pla	35	35	5
971	denticulat	quarsita	A4	119	49	46	5955	NW-SE	pla	20	25	7
972	carnívor	dent	A4	119	63	17	5950	no determinada	pla	11	7	7
973	carnívor	dent	A4	120	90	11	5955	NW-SE	pla	30	18	7
974	indeterminable	os indeterminable	A4	120	78	7	5955	no determinada	pla	35	30	3
975	conill	falange	A4	120	67	83	5955	no determinada	pla	8	3	2
976	conill	falange	A4	120	48	94	5955	no determinada	pla	10	4	2
977	indeterminable	os indeterminable	A4	119	90	5	5930	NE-SW	pla	35	20	3
978	fragment	quarsita	A4	120	80	65	5960	NE-SW	pla	20	20	6
979	indeterminable	os indeterminable	A4	120	45	75	5960	NW-SE	SE	30	30	9

Nº	Natura	Natura 2	Quadre	Talla	X	Y	Z	Orientació	Pendent	Longitud	Amplada	Gruix
980	indeterminable	os indeterminable	A4	120	37	60	5965	no determinada	pla	27	27	11
981	fragment	quars	A4	120	52	82	5970	E-W	pla	25	20	11
982	fragment esclat	no determinat	A4	120	53	61	5970	E-W	pla	30	25	8
983	fragment	quars	A4	120	79	83	5990	E-W	pla	32	15	13
984	esclat	quars	A4	120	62	85	5995	NW-SE	pla	32	25	11
985	indeterminable	os indeterminable	A4	121	42	59	5104	NE-SW	pla	41	17	4
986	fragment	no determinat	A4	121	81	92	6005	N-S	S	35	19	9
987	plaqueta o similars	sorrenca	A4	121	75	95	5103	E-W	pla	230	120	50
807	indeterminable	os indeterminable	A5	114	38	81	5670	NE-SW	NE	63	23	15
808	indeterminable	os indeterminable	A5	114	30	93	5670	NE-SW	pla	70	19	5
809	indeterminable	os indeterminable	A5	114	50	84	5665	NE-SW	pla	42	13	11
810	os no determinat	dent	A5	114	33	87	5665	NE-SW	no determinat	14	7	4
811	os no determinat	dent	A5	114	94	94	5660	N-S		35	8	6
812	fragment esclat	quars	A5	114	73	90	5665	NE-SW	pla	15	15	7
813	conill	os no determinat	A5	114	90	96	5666	N-S	pla	25	20	13
814	fragment	quars	A5	114	57	71	5660	N-S	pla	21	15	6
815	fragment esclat	quars	A5	114	12	82	5694	NE-SW	pla	32	48	15
816	fragment esclat	quars	A5	114	95	98	5660	NE-SW	pla	8	8	3
817	fragment esclat	quars	A5	114	76	85	5680	NE-SW	pla	27	11	21
818	os no determinat	os no determinat	A5	114	72	90	5665	no determinada	pla	15	4	4
819	fragment	quars	A5	114	91	93	5690	N-S	14	9	5	
820	esclat	corniana	A5	114	92	93	5695	N-S	vertical sobre cantó	21	11	5
821	carnívor	dent	A5	114	83	99	5685	NE-SW		8	7	4
822	fragment	quars	A5	114	46	96	5675	NW-SE	pla	11	11	7
823	esclat	quars	A5	114	43	88	5680	E-W	pla	17	8	8
824	fragment	quars	A5	114	37	80	5690	NE-SW	pla	10	8	4
825	os no determinat	crani	A5	114	5	83	5690	NE-SW	pla	28	25	6
826	os no determinat	os no determinat	A5	114	5	80	5685	E-W	pla	25	18	9
827	indeterminable	os indeterminable	A5	114	54	94	5690	N-S	pla	30	12	11
828	indeterminable	os indeterminable	A5	114	32	69	5690	N-S	pla	36	9	2
829	esclat	quars	A5	114	4	92	5690	NE-SW	pla	21	19	4
830	fragment	quars	A5	114	27	68	5695	N-S	E	13	6	3
831	os no determinat	dent	A5	115	93	91	5720	N-S	pla	22	13	10
832	osca	quars	A5	115	65	94	5715	E-W	N	46	30	15
833	os no determinat	falange	A5	114	59	93	5690	NW-SE	pla	45	20	15
834	indeterminable	os indeterminable	A5	114	56	86	5690	NE-SW	pla	31	12	5
835	fragment	quars	A5	115	19	92	5710	no determinada	no determinat	10	7	7
836	carnívor	dent	A5	115	56	68	5720			11	8	4

Nº	Natura	Natura 2	Quadre	Talla	X	Y	Z	Orientació	Pendent	Longitud	Amplada	Gruix
837	indeterminable	os indeterminable	A5	115	14	89	5715	N-S	S	32	7	4
838	esclat	quarsita	A5	115	14	80	5715	NW-SE	pla	30	15	9
839	esclat	quarsita	A5	115	17	95	5720	E-W	pla	36	24	12
840	esclat	quars	A5	115	55	84	5728	NE-SW	pla	25	16	6
842	fragment	quars	A5	115	93	87	5735	no determinada	no determinat	15	12	10
843	fragment	quarsita	A5	115	76	89	5755			30	23	22
844	fragment	quars	A5	115	66	83	5745	E-W	pla	15	10	3
845	carnívor	dent	A5	115	32	86	5740	no determinada	vertical	9	8	5
846	conill	pelvis	A5	115	9	95	5735		pla	23	9	7
847	cavall	dent	A5	116	32	90	5760	E-W	pla	80	28	23
848	indeterminable	os indeterminable	A5	115	26	91	5750	N-S	N	30	20	5
849	os no determinat	os no determinat	A5	115	11	90	5740	NE-SW	pla	25	7	6
850	os no determinat	os no determinat	A5	115	71	99	5745	NW-SE	pla	40	9	4
851	indeterminable	os indeterminable	A5	115	63	80	5750	N-S	N	20	17	8
852	conill	dent	A5	115	65	95	5740	E-W	pla	10	3	2
853	indeterminable	os indeterminable	A5	115	28	83	5750	E-W	pla	11	6	4
854	indeterminable	os indeterminable	A5	116	20	86	5755	NE-SW	NE	85	25	10
855	indeterminable	os indeterminable	A5	115	5	82	5750	N-S	N	35	17	2
856	esclat	quarsita	A5	116	55	100	5760	no determinada	pla	31	33	5
857	conill	mandíbula	A5	116	30	95	5755		pla	27	14	6
858	plaqueta o similars	sorrenca	A5	116	14	95	5760	N-S	pla	50	45	9
859	indeterminable	os indeterminable	A5	116	7	98	5755	no determinada	no determinat	28	9	6
861	indeterminable	os indeterminable	A5	116	88	91	5760			33	18	6
862	indeterminable	os indeterminable	A5	116	29	90	5785	NW-SE	pla	38	10	3
863	còdol	quars	A5	116	30	80	5775	no determinada	no determinat	17	14	15
864	carnívor	dent	A5	116	17	73	5765			16	7	5
865	os no determinat	dent	A5	116	40	94	5790	NE-SW	SW	22	18	19
866	os no determinat	dent	A5	116	47	99	5760	E-W	pla	11	10	6
867	fragment	quars	A5	116	100	95	5770	no determinada	vertical sobre cantó	19	15	6
868	fragment	quars	A5	116	95	80	5785		N	25	16	9
869	fragment	quars	A5	116	40	93	5800	E-W	pla	17	12	7
870	fragment	quars	A5	115	2	90	5750	NE-SW	NE	22	18	5
871	esclat	corniana	A5	117	24	94	5812	E-W	pla	40	34	9
872	os no determinat	os no determinat	A5	117	67	95	5815	NE-SW	pla	37	9	3
873	os no determinat	dent	A5	117	100	90	5820	N-S	pla	13	6	2
874	conill	os no determinat	A5	117	60	96	5835	NE-SW	pla	13	6	5
875	indeterminable	os indeterminable	A5	117	18	94	5840	E-W	pla	29	19	8
876	carnívor	dent	A5	118	91	95	5880	NE-SW	pla	32	17	8
877	os no determinat	dent	A5	119	92	95	5940	N-S	pla	21	12	6

Nº	Natura	Natura 2	Quadre	Talla	X	Y	Z	Orientació	Pendent	Longitud	Amplada	Gruix
878	no determinat (ind. Lítica)	quars	A5	119	91	75	5940	NW-SE	vertical sobre cantó	31	29	6
879	conill	falange	A5	120	8	20	5975	no determinada	no determinat	7	2	1
2041	conill	vèrtebra	B2	117	7	28	5830	N-S	N	33	23	12
2042	conill	fèmur	B2	117	1	27	5820	N-S	S	57	13	5
2043	conill	falange	B2	117	3	32	5800	NW-SE	SE	18	4	2
2044	conill	costella	B2	117	0	27	5800	N-S	pla	50	3	2
2045	conill	vèrtebra	B2	117	1	32	5840	no determinada	no determinat	13	14	11
2046	esclat	quars	B2	116	14	100	5790	N-S	pla	19	20	6
2048	conill	calcany	B2	118	36	36	5870	E-W	pla	22	10	6
2049	conill	costella	B2	118	82	6	5860	NE-SW	pla	26	4	2
2050	fragment esclat	quars	B2	118	46	9	5865	NE-SW	NW	21	25	14
2051	indeterminable	os indeterminable	B2	118	30	10	5870	NW-SE	pla	35	14	3
2052	esclat	quars	B2	118	13	36	5865	NW-SE	pla	19	9	2
2053	esclat	quars	B2	118	20	49	5870	NE-SW	NE	20	19	8
2054	indeterminable	os indeterminable	B2	118	44	53	5880	E-W	E	56	12	9
2055	os no determinat	os no determinat	B2	118	15	41	5870	N-S	S	25	7	5
2056	os no determinat	crani	B2	118	65	66	5875	N-S	N	20	16	2
2057	esclat	quars	B2	118	31	50	5885	E-W	S	32	19	10
2058	fragment	quars	B2	118	14	69	5880	N-S	pla	11	9	5
2059	indeterminable	os indeterminable	B2	118	14	14	5870	N-S	pla	35	13	10
2060	indeterminable	os indeterminable	B2	118	12	16	5885	NW-SE	pla	35	6	6
2061	fragment	quars	B2	118	54	6	5860	N-S	pla	12	6	4
2062	indeterminable	os indeterminable	B2	118	64	16	5880	E-W	W	33	17	9
2063	os no determinat	os no determinat	B2	118	91	63	5890	NE-SW	SW	33	28	1
2064	carnívor	dent	B2	118	29	29	5895	NW-SE	NW	12	6	6
2065	indeterminable	os indeterminable	B2	118	20	61	5890	NW-SE	pla	30	6	5
2066	fragment	quars	B2	118	24	63	5890	NW-SE	pla	36	25	20
2067	indeterminable	os indeterminable	B2	118	33	89	5900	NW-SE	pla	34	21	6
2068	indeterminable	os indeterminable	B2	118	53	42	5885	N-S	N	35	3	2
2069	fragment esclat	quars	B2	118	45	80	5880	NW-SE	pla	27	23	9
2070	indeterminable	os indeterminable	B2	118	32	85	5895	N-S	S	43	22	14
2071	esclat	quars	B2	118	38	29	5895	E-W	pla	34	30	12
2072	indeterminable	os indeterminable	B2	118	42	37	5885	no determinada	S	24	24	10
2073	carnívor	dent	B2	118	30	57	5895	no determinada	SW	44	22	15
2074	indeterminable	os indeterminable	B2	118	93	31	5880	E-W	W	37	15	6
2075	carnívor	dent	B2	118	98	19	5885	NW-SE	NW	22	17	4
2076	fragment	quars	B2	118	58	20	5890	NW-SE	NW	15	7	2
2077	fragment	quars	B2	118	36	62	5885	NE-SW	pla	15	12	2

Nº	Natura	Natura 2	Quadre	Talla	X	Y	Z	Orientació	Pendent	Longitud	Amplada	Gruix
2078	indeterminable	os indeterminable	B2	118	50	78	5885	E-W	E	40	7	6
2079	indeterminable	os indeterminable	B2	118	17	23	5900	NE-SW	NW	36	11	3
2080	fragment	quars	B2	118	19	20	5890	no determinada	pla	15	10	3
2081	fragment	quars	B2	118	3	32	5890	NE-SW	SW	16	10	6
2082	os no determinat	os no determinat	B2	118	40	74	5900	NE-SW	SW	41	8	6
2083	fragment esclat	quarsita	B2	118	89	31	5895	no determinada	SW	16	18	7
2084	fragment esclat	quarsita	B2	118	16	21	5980	N-S	S	20	12	9
2085	os no determinat	escàpula	B2	118	76	1	5895	no determinada	no determinat			
2086	denticulat	no determinat	B2	118	18	20	5910	E-W	pla	37	31	15
2087	os no determinat	escàpula	B2	118	30	32	5905	NE-SW	NE	5	11	7
2088	os no determinat	crani	B2	119	9	63	5900	NE-SW	SW	32	22	4
2089	indeterminable	os indeterminable	B2	119	62	19	5920	NE-SW	W	30	9	8
2090	conill	vèrtebra	B2	119	45	81	5910	NE-SW	pla	24	23	19
2091	fragment	quarsita	B2	119	78	40	5925	N-S	pla	22	12	3
2092	carnívor	altres	B2	119	65	43	5935	NE-SW	SW	110	19	7
2093	fragment esclat	quarsita	B2	119	83	6	5905	E-W	SW	21	17	10
2094	fragment	quarsita	B2	119	94	43	5940	NW-SE	E	36	21	14
2095	indeterminable	os indeterminable	B2	119	52	75	5930	E-W	W	55	9	4
2096	os no determinat	os no determinat	B2	119	36	7	5930	E-W	pla	17	3	3
2097	conill	dent	B2	119	54	7	5920	E-W	pla	12	5	2
2098	conill	dent	B2	119	75	32	5930	N-S	pla	13	2	2
2099	os no determinat	os no determinat	B2	119	81	37	5930	no determinada	no determinat	11	5	2
2100	os no determinat	os no determinat	B2	119	74	36	5940	E-W	pla	13	13	4
2101	carnívor	dent	B2	119	68	46	5930	N-S	pla	16	3	3
2102	os no determinat	os no determinat	B2	119	35	82	5910	N-S	S	27	2	2
2103	os no determinat	metàpode	B2	119	42	86	5910	no determinada	no determinat	26	6	6
2104	os no determinat	escàpula	B2	119	45	85	5910	no determinada	pla	18	15	5
2105	os no determinat	os no determinat	B2	119	48	80	5915	no determinada	SW	21	7	7
2106	esclat	no determinat	B2	119	52	78	5910	no determinada	N	39	29	12
2107	conill	metàpode	B2	119	62	65	5915	E-W	E	29	3	3
2108	fragment	quars	B2	119	12	40	5910	no determinada	no determinat	11	4	3
2109	fragment esclat	quars	B2	119	8	10	5930	no determinada	pla	15	17	5
2110	carnívor	dent	B2	119	30	28	5930	E-W	E	15	7	5
2111	conill	falange	B2	119	43	32	5940	no determinada	no determinat	9	4	3
2112	fragment esclat	quars	B2	119	56	19	5935	NW-SE	pla	23	6	5
2113	conill	metàpode	B2	119	49	50	5945	N-S	pla	15	3	3
2114	conill	metàpode	B2	119	42	60	5945	NW-SE	pla	22	5	3
2115	indeterminable	os indeterminable	B2	119	72	68	5955	E-W	E	34	6	7
2116	os no determinat	os no determinat	B2	119	44	80	5925	no determinada	pla	15	10	2

Nº	Natura	Natura 2	Quadre	Talla	X	Y	Z	Orientació	Pendent	Longitud	Amplada	Gruix	
2117	fragment	quars	B2	119	57	71	5945	N-S	pla	17	8	7	
2118	indeterminable	os indeterminable	B2	119	78	46	5940	NW-SE	vertical	sobre cantó	47	20	4
2119	fragment	quars	B2	119	59	9	5925	no determinada	pla	24	17	5	
2120	os no determinat	dent	B2	119	51	33	5945	no determinada	no determinat	13	8	6	
2121	fragment esclat	quarsita	B2	119	46	15	5935	NE-SW	pla	35	16	7	
2122	fragment	sílex	B2	119	27	45	5940	N-S	vertical	sobre cantó	27	16	3
2123	fragment	quars	B2	119	10	24	5940	no determinada	pla	28	27	17	
2124	indeterminable	os indeterminable	B2	119	30	76	5920	E-W	vertical	sobre cantó	114	38	17
2125	os no determinat	os no determinat	B2	119	24	62	5955	E-W	pla	34	3	3	
2126	os no determinat	escàpula	B2	119	39	82	5955	NE-SW	NE	27	12	10	
2127	os no determinat	crani	B2	119	33	30	5965	no determinada	W	74	60	23	
2128	indeterminable	os indeterminable	B2	120	21	10	5960	E-W	E	29	5	3	
2129	indeterminable	os indeterminable	B2	120	21	18	5965	no determinada	pla	35	23	5	
2130	os no determinat	os no determinat	B2	120	26	37	5965	E-W	E	30	15	4	
2131	fragment	quars	B2	120	60	9	5950	E-W	pla	17	10	5	
2132	fragment	quars	B2	119	79	55	5905	E-W	W	21	9	8	
2133	carnívor	dent	B2	120	57	51	5975	E-W	pla	13	7	5	
2134	indeterminable	os indeterminable	B2	120	61	49	5985	N-S	pla	12	4	3	
2135	fragment esclat	quarsita	B2	120	66	6	5955	no determinada	pla	21	18	6	
2136	conill	escàpula	B2	120	50	11	5960	E-W	pla	9	7	7	
2137	fragment esclat	quars	B2	120	38	23	5980	NW-SE	pla	29	13	5	
2138	fragment	quars	B2	120	20	33	5970	no determinada	no determinat	10	10	4	
2139	rascadora	lidita	B2	120	37	32	5985	E-W	pla	30	23	6	
2140	fragment	quars	B2	120	20	46	5980	NW-SE	NW	23	16	7	
2141	conill	vèrtebra	B2	120	36	53	5985	no determinada	pla	13	11	6	
2142	indeterminable	os indeterminable	B2	120	46	30	5985	NW-SE	NE	30	12	4	
2143	os no determinat	os no determinat	B2	120	58	31	5100	NW-SE	pla	21	17	17	
2144	os no determinat	os no determinat	B2	120	66	5	5970	no determinada	E	19	15	5	
2145	conill	costella	B2	120	20	13	5995	E-W	pla	23	3	2	
2146	os no determinat	os no determinat	B2	120	29	12	5990	no determinada	no determinat	15	15	8	
2147	fragment	quars	B2	120	6	42	6005	N-S	pla	19	10	6	
2148	esclat	corniana	B2	120	35	44	5105	no determinada	pla	23	16	6	
2149	fragment	quars	B2	120	87	40	5015	no determinada	pla	27	22	6	
2150	conill	os no determinat	B2	120	91	44	5990	E-W	W	25	5	4	
2151	os no determinat	crani	B2	120	50	13	5100	E-W	pla	23	15	3	
2152	indeterminable	os indeterminable	B2	120	19	28	no determinat	E-W	pla	43	20	17	
2153	os no determinat	os no determinat	B2	120	24	17	no determinat	NW-SE	pla	18	13	4	
1580	os no determinat	conill	B3	CB117	10	26	5825	NE-SW	pla	25	7	3	

Nº	Natura	Natura 2	Quadre	Talla	X	Y	Z	Orientació	Pendent	Longitud	Amplada	Gruix
1581	os no determinat	os no determinat	B3	CB117	3	28	5820	NW-SE	NW	50	13	6
1582	esclat	quars	B3	CB117	5	51	5835	no determinada	pla	24	19	10
1583	conill	metàpod	B3	CB117	1	86	5820	NW-SE	NW	40	6	3
1584	esclat	quars	B3	CB117	6	93	5820	E-W	vertical	25	16	7
1585	indeterminable	os indeterminable	B3	CB117	5	12	5850	NE-SW	SW	30	25	5
1586	esclat	quars	B3	CB117	1	23	5820	NE-SW	NW	27	16	6
1587	indeterminable	os indeterminable	B3	CB117	2	27	5835	E-W	pla	30	20	6
1588	esclat	quars	B3	CB117	1	55	5840	NW-SE	SE	33	25	10
1589	esclat	no determinat	B3	CB117	56	1	5850	no determinada	no determinat	25	17	6
1590	carnívor	dent	B3	CB117	51	6	5835	no determinada	no determinat	10	5	5
1591	esclat	quars	B3	CB117	38	7	5825	E-W	E	20	11	12
1592	os no determinat	cúbit	B3	CB117	23	3	5830	NE-SW	pla	105	33	1
1594	indeterminable	os indeterminable	B3	CB117	41	65	5860	N-S	pla	30	8	3
1595	os no determinat	os no determinat	B3	CB117	46	7	5855	NE-SW	pla	39	17	10
1596	fragment	quars	B3	CB117	51	10	5860	E-W	pla	19	15	12
1597	fragment	quars	B3	CB117	72	6	5850	E-W	pla	17	7	4
1598	esclat	quars	B3	CB117	51	8	5850	NW-SE	pla	23	14	4
1599	carnívor	dent	B3	CB118	20	17	5865	NE-SW	pla	29	21	13
1600	esclat	quars	B3	CB118	30	67	5860	no determinada	pla	18	21	8
1601	esclat	quars	B3	CB118	36	43	5855	NE-SW	pla	24	18	6
1602	carnívor	dent	B3	CB118	44	58	5855	no determinada	pla	18	15	4
1603	fragment	quars	B3	CB118	36	53	5855	no determinada	pla	19	18	5
1604	fragment	quars	B3	CB118	59	31	5870	N-S	vsc	25	11	7
1605	fragment	quars	B3	CB118	77	82	5870	NW-SE	pla	16	12	10
1606	indeterminable	os indeterminable	B3	CB118	81	63	5875	NE-SW	pla	33	13	5
1607	conill	falange	B3	CB118	84	43	5875	N-S	pla	16	4	2
1608	fragment	quars	B3	CB118	90	46	5855	NE-SW	pla	22	17	19
1609	esclat	quars	B3	CB118	87	78	5865	N-S	pla	24	12	2
1610	esclat	quars	B3	CB118	93	66	5870	NE-SW	pla	37	28	8
1611	fragment d'esclat	quarsita	B3	CB118	85	87	5875	NE-SW	SW	60	35	10
1612	carnívor	dent	B3	CB118	25	60	5860	NW-SE	pla	18	8	2
1613	esclat	quars	B3	CB118	43	57	5860	SW-NE	pla	14	9	4
1614	os no determinat	os no determinat	B3	CB118	74	27	5880	NW-SE	NW	50	17	13
1615	conill	falange	B3	CB118	82	20	5810	E-W	W	18	5	4
1616	esclat	quars	B3	CB118	12	60	5870	E-W	pla	32	21	5
1617	conill	calcany	B3	CB118	20	88	5875	E-W	pla	24	10	5
1618	esclat	quars	B3	CB118	20	44	5870	E-W	pla	19	15	4
1619	indeterminable	os indeterminable	B3	CB118	24	42	5865	E-W	pla	36	18	6
1620	indeterminable	os indeterminable	B3	CB118	45	25	5865	E-W	pla	38	35	9

Nº	Natura	Natura 2	Quadre	Talla	X	Y	Z	Orientació	Pendent	Longitud	Amplada	Gruix
1621	os no determinat	dent	B3	CB118	53	61	5865	N-S	pla	14	7	5
1622	fragment	quars	B3	CB118	75	65	5875	N-S	pla	10	8	3
1623	indeterminable	os indeterminable	B3	CB118	77	77	5865	N-S	pla	30	18	3
1624	fragment	quars	B3	CB118	79	93	5880	NE-SW	pla	14	8	3
1626	carnívor	dent	B3	CB118	86	50	5890	N-S	pla	6	4	2
1627	indeterminable	os indeterminable	B3	CB118	89	88	5870	N-S	pla	47	10	7
1628	fragment	quars	B3	CB118	100	85	5875	N-S	pla	15	13	8
1629	carnívor	dent	B3	CB118	8	31	5870	N-S	pla	16	8	4
1630	os no determinat	dent	B3	CB118	18	54	5900	NW-SE	pla	20	16	3
1631	fragment d'esclat	quars	B3	CB118	58	48	5885	n-s	pla	36	20	16
1632	os no determinat	dent	B3	CB118	65	45	5890	E-W	pla	14	5	4
1633	fragment d'esclat	quars	B3	CB118	70	77	5885	N-S	pla	16	14	7
1634	fragment d'esclat	quars	B3	CB118	62	84	5880	E-W	pla	28	19	13
1635	fragment d'esclat	quars	B3	CB118	72	10	5870	NW-SE	pla	17	16	5
1636	indeterminable	os indeterminable	B3	CB118	83	94	5890	E-W	W	47	13	3
1637	fragment d'esclat	quars	B3	CB118	12	57	5895	E-W	pla	25	20	7
1638	carnívor	falange	B3	CB118	16	71	5895	N-S	pla	10	8	7
1639	indeterminable	os indeterminable	B3	CB118	22	59	5900	E-W	pla	30	10	8
1640	indeterminable	os indeterminable	B3	CB118	53	73	5870	N-S	pla	44	8	3
1641	fragment	quars	B3	CB118	70	78	5885	N-S	N	10	9	9
1642	os no determinat	os no determinat	B3	CB118	38	91	5895	N-S	pla	12	4	2
1643	esclat	quarsita	B3	CB118	50	91	5880	NW-SE	vertical	30	22	10
1645	os no determinat	os no determinat	B3	CB118	31	3	5870	E-W	pla	25	10	6
1646	indeterminable	os indeterminable	B3	CB118	36	59	5895	N-S	pla	32	8	6
1647	indeterminable	os indeterminable	B3	CB118	61	69	5895	N-S	S	30	8	5
1648	os no determinat	os no determinat	B3	CB118	61	81	5905	NW-SE	pla	32	18	3
1649	fragment	quars	B3	CB118	69	84	5890	N-S	vertical	18	10	8
1650	fragment	quars	B3	CB118	90	85	5900	N-S	vertical	13	10	4
1651	indeterminable	os indeterminable	B3	CB118	35	18	5890	NE-SW	pla	44	12	3
1652	indeterminable	os indeterminable	B3	CB118	45	67	5885	SE-NW	nw	34	23	4
1654	indeterminable	os indeterminable	B3	CB118	68	27	5900	SE-NW	nw	51	10	3
1655	indeterminable	os indeterminable	B3	CB118	51	11	5890	E-W	W	55	17	4
1656	fragment d'esclat	quars	B3	CB119	75	77	5905	E-W	vertical	45	40	20
1657	fragment	quars	B3	CB118	66	66	5895	SW-NE	vertical	31	15	10
1658	fragment	quars	B3	CB118	49	69	5900	E-W	vertical	30	13	11
1659	fragment d'esclat	quars	B3	CB118	37	14	5900	N-S	pla	20	11	5
1660	indeterminable	os indeterminable	B3	CB118	28	33	5900	N-S	pla	30	5	3
1662	fragment	quars	B3	CB118	1	50	5875	W-E	pla	10	10	5
1663	os no determinat	os no determinat	B3	CB118	3	11	5865	E-W	pla	25	17	12

Nº	Natura	Natura 2	Quadre	Talla	X	Y	Z	Orientació	Pendent	Longitud	Amplada	Gruix
1664	ocre	ocre	B3	CB119	68	12	5900	no determinada	pla			
1665	indeterminable	os indeterminable	B3	CB119	82	40	5920	E-W	pla	31	16	4
1666	indeterminable	os indeterminable	B3	CB119	74	56	5910	NE-SW	pla	56	18	4
1668	os no determinat	dent	B3	CB119	91	38	5920	SW-NE	NE	16	10	7
1669	fragment	quars	B3	CB119	60	70	5905	N-S	pla	16	10	4
1671	indeterminable	os indeterminable	B3	CB119	86	34	5935	E-W	pla	47	14	11
1672	indeterminable	os indeterminable	B3	CB119	83	92	5925	NW-SE	NW	66	22	5
1673	indeterminable	os indeterminable	B3	CB119	58	73	5915	N-S	vertical	45	29	6
1674	fragment	quars	B3	CB119	55	88	5910	E-W	pla	10	7	4
1675	fragment	quars	B3	CB119	41	90	5900	N-S	vertical	17	10	8
1676	os no determinat	dent	B3	CB119	11	57	5910	E-W	pla	12	6	4
1677	fragment d'esclat	quars	B3	CB119	36	32	5905	E-W	pla	25	21	5
1678	fragment d'esclat	quars	B3	CB119	35	77	5900	N-S	pla	20	16	10
1679	indeterminable	os indeterminable	B3	CB119	66	19	5905	E-W	pla	33	15	3
1680	os no determinat	dent	B3	CB119	89	52	5940	E-W	pla	15	6	4
1682	indeterminable	os indeterminable	B3	CB119	11	82	5920	N-S	NW	31	9	5
1683	fragment d'esclat	quars	B3	CB119	3	74	5920	NE-SW	SW	26	16	5
1684	indeterminable	os indeterminable	B3	CB119	11	45	5920	N-S	pla	35	10	3
1685	indeterminable	os indeterminable	B3	CB119	10	33	5920	N-S	pla	37	12	3
1689	conill	mandíbula	B3	CB119	10	83	5930	N-S	S	37	25	4
1690	indeterminable	os indeterminable	B3	CB119	30	82	5915	N-S	pla	8	3	2
1691	os no determinat	dent	B3	CB119	10	44	5920	NE-SW	NE	9	11	4
1692	indeterminable	os indeterminable	B3	CB119	10	89	5920	N-S	pla	37	5	2
1693	os no determinat	os no determinat	B3	CB119	20	93	5900	N-S	pla	29	20	2
1694	indeterminable	os indeterminable	B3	CB119	20	35	5925	E-W	pla	35	11	8
1695	indeterminable	os indeterminable	B3	CB119	35	81	5910	SE-NW	pla	35	17	5
1696	os no determinat	os no determinat	B3	CB119	42	60	5925	SW-NE	NE	15	5	3
1697	os no determinat	os no determinat	B3	CB119	62	6	5920	E-W	E	12	3	2
1699	indeterminable	os indeterminable	B3	CB119	61	99	5925	N-S	pla	33	15	3
1700	fragment d'esclat	quars	B3	CB119	5	2	5940	N-S	pla	28	21	6
1701	fragment d'esclat	quars	B3	CB120	10	9	5950	E-W	pla	17	15	6
1703	nucli	quars	B3	CB119	12	31	5940	N-S	pla	31	26	16
1704	indeterminable	os indeterminable	B3	CB119	19	46	5920	N-S	N	74	15	3
1705	os no determinat	dent	B3	CB119	23	50	5925	N-S	pla	23	16	3
1706	os no determinat	dent	B3	CB119	25	55	5940	N-S	pla	22	5	5
1707	fragment	quars	B3	CB119	30	5	5920	N-S	pla	22	21	11
1708	indeterminable	os indeterminable	B3	CB119	32	52	5925	NE-SW	SW	47	26	
1709	fragment	quars	B3	CB119	67	32	5940	N-S	pla	13	9	7
1710	os no determinat	dent	B3	CB119	84	82	5935	N-S	S	10	4	4

Nº	Natura	Natura 2	Quadre	Talla	X	Y	Z	Orientació	Pendent	Longitud	Amplada	Gruix
1711	os no determinat	dent	B3	CB119	64	81	5925	N-S	pla	10	4	3
1712	os no determinat	costella	B3	CB119	64	77	5945	N-E	no determinat	95	12	10
1713	os no determinat	dent	B3	CB119	66	93	5945	N-S	pla	12	7	4
1714	indeterminable	os indeterminable	B3	CB119	38	79	5930	NE-SW	pla	35	11	3
1715	fragment	quars	B3	CB119	31	83	5935	no determinada	pla	16	12	5
1716	fragment	quars	B3	CB119	8	18	5940	no determinada	pla	22	19	8
1717	os no determinat	dent	B3	CB119	10	60	5930	E-W	EW	22	9	9
1718	indeterminable	os indeterminable	B3	CB119	37	68	5940	NE-SW	pla	46	8	5
1719	esclat	quars	B3	CB119	20	58	5950	NE-SW	pla	40	14	8
1720	os no determinat	dent	B3	CB119	34	66	5935	NE-SW	NE	13	6	8
1721	esclat	quarsita	B3	CB119	46	54	5935	NW-SE	NW	15	12	7
1722	indeterminable	os indeterminable	B3	CB119	43	78	5940	NE-SW	pla	16	15	3
1723	indeterminable	os indeterminable	B3	CB119	32	65	5945	N-S	pla	32	26	15
1724	esclat	quarsita	B3	CB119	37	65	5945	no determinada	vertical	17	16	6
1725	os no determinat	os no determinat	B3	CB120	23	73	5960	E-W	pla	75	18	14
1726	indeterminable	os indeterminable	B3	CB120	46	65	5955	NE-SW	pla	34	7	5
1727	os no determinat	os no determinat	B3	CB120	14	89	5950	N-S	pla	19	4	2
1728	carnívor	dent	B3	CB120	20	9	5950	N-S	pla	11	8	5
1729	os no determinat	os no determinat	B3	CB120	57	99	5950	NW-SE	pla	37	5	3
1730	fragment	quars	B3	CB120	80	71	5970	E-W	pla	12	10	5
1731	indeterminable	os indeterminable	B3	CB120	81	72	5970	E-W	E	36	6	1
1732	os no determinat	dent	B3	CB120	89	82	5975	NE-SW	pla	28	13	5
1733	esclat	quars	B3	CB120	13	32	5955	N-S	pla	34	22	6
1734	denticulat	altres	B3	CB120	31	86	5960	N-S	pla	52	45	16
1735	os no determinat	os no determinat	B3	CB120	7	74	5970	N-S	pla	25	4	3
1736	os no determinat	falange	B3	CB120	57	97	5960	E-W	pla	11	11	7
1737	esclat	quars	B3	CB120	15	86	5955	NE-SW	pla	13	11	2
1738	indeterminable	os indeterminable	B3	CB120	36	77	5970	NW-SE	pla	39	15	11
1739	rascadora	no determinat	B3	CB120	5	92	5965	E-W	pla	32	33	11
1740	conill	metàpod	B3	CB120	39	6	5965	NE-SW	EW	21	4	3
1741	carnívor	dent	B3	CB120	81	71	5980	no determinada	no determinat	8	4	3
1742	os no determinat	os no determinat	B3	CB120	7	88	5980	E-W	pla	28	10	10
1743	plaqueta	sorrenca	B3	CB120	17	55	5980	no determinada	pla	55	35	22
1744	indeterminable	os indeterminable	B3	CB120	35	55	5980	NE-SW	pla	42	10	7
1745	indeterminable	os indeterminable	B3	CB120	32	83	5970	NE-SW	SW	62	7	5
1746	indeterminable	os indeterminable	B3	CB120	34	86	5970	NE-SW	pla	25	25	9
1747	os no determinat	os no determinat	B3	CB120	13	78	5980	NE-SW	pla	15	4	3
1748	fragment	quars	B3	CB120	30	56	5990	N-S	pla	13	10	7
1749	fragment	quars	B3	CB120	32	56	5980	NE-SW	pla	15	10	7

Nº	Natura	Natura 2	Quadre	Talla	X	Y	Z	Orientació	Pendent	Longitud	Amplada	Gruix
1750	os no determinat	os no determinat	B3	CB120	1	64	5965	N-S	pla	17	4	3
1751	conill	vèrtebra	B3	CB120	54	98	5975	N-S	pla	18	16	10
1752	conill	vèrtebra	B3	CB120	54	97	5975	N-S	pla	19	17	8
1753	conill	vèrtebra	B3	CB120	54	95	5975	N-S	pla	20	18	15
1754	gran bòvid	dent	B3	CB120	82	94	5995	E-W	pla	30	33	22
1755	gran bòvid	dent	B3	CB120	93	73	5100	E-W	pla	30	45	15
1756	fragment d'esclat	quars	B3	CB120	97	76	5990	NW-SE	pla	20	19	4
1757	carnívor	dent	B3	CB120	87	63	5100	E-W	pla	27	11	9
1758	denticulat	quars	B3	CB120	74	44	5990	N-S	pla	26	17	10
1759	carnívor	dent	B3	CB120	8	35	5980	N-S	pla	11	6	4
1760	indeterminable	os indeterminable	B3	CB120	3	28	5980	NW-SE	SE	31	5	2
1761	os no determinat	falange	B3	CB120	27	22	5995	N-S	S	21	12	.8
1762	os no determinat	os no determinat	B3	CB120	48	10	5985	SE-NW	SE	17	2	2
1763	os no determinat	dent	B3	CB120	71	41	5980	NW-SE	NW	17	10	6
1764	fragment	quars	B3	CB120	3	88	5100	N-S	vertical	20	16	5
1765	os no determinat	costella	B3	CB120	26	85	5100	E-W	pla	29	6	5
1766	carnívor	dent	B3	CB120	89	95	5990	N-S	pla	30	15	15
1767	conill	vèrtebra	B3	CB120	84	69	5995	E-W	pla	17	15	6
1768	rascadora	quars	B3	CB120	5	28	5995	NW-SE	vertical	35	30	6
1769	nucli	quarsita	B3	CB120	96	98	5995	no determinada	pla	30	25	15
1770	os no determinat	falange	B3	CB120	94	74	5100		NW-SE	pla	25	15
1771	conill	mandíbula	B3	CB120	2	74	5100	E-W	vertical	46	15	5
1772	fragment	quars	B3	CB120	75	100	5100	E-W	pla	15	17	11
1773	conill	mandíbula	B3	CB121	3	72		E-W	pla	42	23	8

1403	indeterminable	os indeterminable	B4	DB119	61	29	5950	NE-SW	SW	43	15	9
1404	os no determinat	crani	B4	DB119	27	60	5930	N-S	pla	39	24	3
1405	fragment	quars	B4	DB119	35	70	5930	E-W	pla	30	20	12
1406	fragment	quars	B4	DB119	26	72	5930	SE-NW	pla	26	18	11
1407	fragment	quars	B4	DB119	22	56	5940	no determinada	no determinat	15	5	2
1408	indeterminable	os indeterminable	B4	DB119	13	64	5940		vsc	36	18	4
1409	fragment	quars	B4	DB119	9	56	5935	SW-NE	NE	17	16	7
1410	fragment d'esclat	quars	B4	DB119	4	90	5920	no determinada	pla	22	18	4
1411	carnívor	dent	B4	DB119	62	42	5940		no determinada	16	6	5
1412	indeterminable	os indeterminable	B4	DB119	93	26	5920	NE-SW	pla	28	6	4
1413	os no determinat	os no determinat	B4	DB119	90	39	5920	E-W	pla	22	9	6
1414	esclat	quars	B4	DB119	3	43	5935	no determinada	no determinat	82	10	3
1415	fragment	quars	B4	DB119	15	46	5950		no determinat	14	5	3
1416	esclat	altres	B4	DB119	27	47	5950	N-S	pla	33	15	8

Nº	Natura	Natura 2	Quadre	Talla	X	Y	Z	Orientació	Pendent	Longitud	Amplada	Gruix
1417	fragment	quars	B4	DB119	69	55	5950	no determinada	no determinat	15	10	4
1418	esclat	quars	B4	DB119	68	7	5945	NE-SW	vertical	19	15	3
1419	indeterminable	os indeterminable	B4	DB119	51	58	5950	N-S	pla	76	22	3
1420	os no determinat	crani	B4	DB119	42	90	5930	N-S	pla	25	18	3
1421	fragment	quars	B4	DB119	67	72	5950	N-S	S	22	21	11
1422	carnívor	dent	B4	DB119	75	76	5950	N-S	pla	40	21	17
1423	indeterminable	os indeterminable	B4	DB119	86	56	5945	no determinada	no determinat	30	25	3
1424	fragment d'esclat	quars	B4	DB119	16	6	5940	E-W	vsc	38	15	9
1425	os no determinat	dent	B4	DB120	24	33	5960	NW-SE	pla	15	8	4
1426	indeterminable	os indeterminable	B4	DB120	14	36	5960	NE-SW	pla	70	15	4
1427	os no determinat	os no determinat	B4	DB120	23	46	5980	N-S	N	30	18	5
1428	carnívor	dent	B4	DB120	52	48	5965	N-S	pla	18	7	4
1429	os no determinat	os no determinat	B4	DB120	47	75	5985	E-W	vertical	16	15	3
1430	indeterminable	os indeterminable	B4	DB120	61	76	5975	N-S	S	36	22	6
1431	fragment	quars	B4	DB120	57	56	5980	E-W	pla	20	15	6
1432	fragment	quars	B4	DB120	66	67	5970	E-W	pla	15	9	5
1433	os no determinat	dent	B4	DB120	54	70	5975	E-W	pla	13	8	7
1434	fragment	quars	B4	DB120	70	70	5970	N-S	N	19	16	10
1435	indeterminable	os indeterminable	B4	DB120	33	35	5970	E-W	vertical	33	24	15
1436	carnívor	dent	B4	DB120	37	32	5970	E-W	pla	13	5	5
1437	fragment	quars	B4	DB120	54	66	5990	N-S	pla	13	6	3
1438	fragment	quars	B4	DB120	70	60	5985	N-S	vertical	24	20	10
1439	fragment d'esclat	quars	B4	DB120	70	78	5960	E-W	pla	13	10	3
1440	plaqueta	gres	B4	DB120	57	55	5995	NE-SW	pla	85	62	31
1441	esclat	quars	B4	DB120	10	44	5970	NE-SW	pla	20	13	4
1442	fragment	quars	B4	DB120	47	65	5995	N-S	pla	13	6	4
1443	carnívor	dent	B4	DB120	51	54	5995	E-W	pla	12	3	3
1444	fragment	quars	B4	DB120	60	64	5990	N-S	pla	10	6	2
1445	còdol	quars	B4	DB120	16	98	5990	N-S	pla	19	15	10
1446	fragment	quars	B4	DB120	31	60	5100	NW-SE	pla	16	18	5
1447	esclat	quars	B4	DB120	63	4	5955	NW-SE	NW	20	12	5
1448	os no determinat	dent	B4	DB120	59	54	5995	E-W	pla	18	5	4
1449	esclat	quars	B4	DB120	5	13	5980	N-S	pla	16	15	8
1450	esclat	quars	B4	DB120	70	43	5990	N-S	pla	29	22	8
913	conill	os no determinat	B5	EB114	14	77	5675	no determinada	pla	30	20	6
914	os no determinat	dent	B5	EB114	54	84	5670	N-S	pla	35	7	4
915	os no determinat	dent	B5	EB114	85	80	5670	no determinada	pla	15	5	3
916	fragment	sorrenca	B5	EB114	81	81	5660	E-W	N	40	25	6

Nº	Natura	Natura 2	Quadre	Talla	X	Y	Z	Orientació	Pendent	Longitud	Amplada	Gruix
918	fragment	quars	B5	EB114	59	74	5670	no determinada	pla	40	30	15
919	conill	os no determinat	B5	EB114	16	74	5670	N	N	17	10	3
920	carnívor	dent	B5	EB114	32	19	5660	no determinada	vertical	45	10	10
921	os no determinat	pelvis	B5	EB114	72	90	5670	no determinada	pla	40	35	20
922	os no determinat	os no determinat	B5	EB114	43	27	5670	E-W	pla	45	22	10
923	carnívor	dent	B5	EB114	74	13	5680	N-S	pla	20	20	11
924	esclat	quarsita	B5	EB114	90	28	5670	N-S	pla	40	30	5
925	os no determinat	os no determinat	B5	EB114	80	43	5660	NE-SW	pla	30	5	4
926	os no determinat	os no determinat	B5	EB114	85	80	5670	N-S	pla	14	3	3
927	fragment d'esclat	quarsita	B5	EB114	91	54	5690	NE-SE	pla	17	19	6
928	fragment d'esclat	quars	B5	EB114	31	100	5680	E-W	pla	29	16	7
929	os no determinat	crani	B5	EB114	18	74	5700	E-W	pla	22	15	1
930	os no determinat	crani	B5	EB114	41	64	5660	N-S	vertical	15	15	4
932	os no determinat	os no determinat	B5	EB114	16	39	5690	E-W	W	25	3	4
933	os no determinat	os no determinat	B5	EB114	17	60	5680	NW-SE	pla	45	7	2
934	indeterminable	os indeterminable	B5	EB114	78	25	5690	E-W	pla	43	17	6
935	carnívor	falange	B5	EB114	72	22	5690	E-W	pla	34	12	6
936	fragment d'esclat	quars	B5	EB114	72	43	5695	no determinada	pla	22	19	10
937	au	os no determinat	B5	EB114	69	43	5690	N-S	pla	26	6	3
941	carnívor	dent	B5	EB114	80	32	5685	N-S	pla	15	5	5
942	fragment d'esclat	quars	B5	EB114	97	33	5700	NW-SE	vertical	28	24	13
943	carnívor	dent	B5	EB114	57	16	5695	no determinada	vertical	26	19	12
944	carnívor	os indeterminable	B5	EB114	57	5	5660	NW-SE	NE	50	16	14
945	fragment d'esclat	quars	B5	EB114	77	54	5702	NW-SE	pla	26	24	7
946	os no determinat	falange	B5	EB114	63	31	5695	NW-SE	pla	20	12	10
947	carnívor	dent	B5	EB114	60	32	5690	no determinada	no determinat	9	6	3
948	os no determinat	dent	B5	EB114	67	45	5700	NW-SE	pla	39	12	5
949	carnívor	dent	B5	EB114	68	56	5700	no determinada	pla	17	6	6
950	rascadora	quars	B5	EB115	86	64	5710	N-S	pla	39	29	12
951	indeterminable	os indeterminable	B5	EB114	72	72	5700	N-S	pla	48	27	8
952	indeterminable	os indeterminable	B5	EB114	84	28	5700	NW-SE	pla	46	20	13
953	os no determinat	mandíbula	B5	EB114	78	26	5700	NW-SE	pla	45	16	4
954	indeterminable	os indeterminable	B5	EB114	56	53	5690	NW-SE	pla	39	16	6
955	esclat	quars	B5	EB114	36	72	5690	NW-SE	pla	25	20	4
956	conill	vèrtebra	B5	EB114	10	68	5690	E-W	pla	25	10	5
957	conill	vèrtebra	B5	EB114	9	68	5690	no determinada	pla	25	17	10
958	indeterminable	os indeterminable	B5	EB114	34	90	5685	E-W	pla	33	11	3
959	fragment	quars	B5	EB114	42	92	5685	NW-SE	pla	12	8	3
960	rascadora	sílex	B5	EB114	32	21	5690	E-W	pla	39	34	7

Nº	Natura	Natura 2	Quadre	Talla	X	Y	Z	Orientació	Pendent	Longitud	Amplada	Gruix
961	carnívor	dent	B5	EB114	10	10	54	no determinada	no determinat	19	7	12
962	carnívor	dent	B5	EB115	79	89	5710	N-S	pla	9	5	4
963	carnívor	dent	B5	EB115	72	96	5720	NW-SE	pla	14	11	7
964	fragment	altres	B5	EB115	88	73	5730	E-W	E	40	15	10
965	os no determinat	os no determinat	B5	EB115	80	65	5730	no determinada	pla	15	15	5
966	fragment	quars	B5	EB115	60	64	5720	no determinada	pla	15	12	3
967	os no determinat	os no determinat	B5	EB115	63	50	5710	NE-SW	pla	35	35	20
968	os no determinat	os no determinat	B5	EB115	90	57	5720	no determinada	pla	20	7	4
969	os no determinat	os no determinat	B5	EB115	23	10	5720	no determinada	no determinat	20	7	4
970	rascadora	quarsita	B5	EB115	40	18	5710	E-W	pla	50	30	15
971	fragment	quars	B5	EB115	60	50	5720	no determinada	no determinat	20	5	4
972	indeterminable	os indeterminable	B5	EB115	66	52	5720	N-S	pla	40	25	6
973	no determinat (ind. lítica)	sorrenca	B5	EB115	22	3	5700	N-S	pla	90	70	25
974	esclat	quars	B5	EB115	4	20	5710	no determinada	no determinat	16	11	3
975	carnívor	dent	B5	EB115	12	9	5700	E-W	pla	17	6	6
976	esclat	quars	B5	EB115	37	8	5700	NW-SE	NW	25	17	10
979	esclat	quarsita	B5	EB115	19	30	5700	no determinada	pla	35	22	3
980	os no determinat	dent	B5	EB115	54	67	5700	no determinada	pla	5	10	7
981	os no determinat	os no determinat	B5	EB115	36	5	5720	E-W	pla	70	4	5
982	carnívor	dent	B5	EB115	90	7	5720	E-W	pla	12	6	5
983	carnívor	dent	B5	EB115	83	10	5720	E-W	pla	14	10	6
984	esclat	quars	B5	EB115	58	33	5740	no determinada	pla	35	25	5
985	os no determinat	dent	B5	EB115	38	23	5750	no determinada	vertical	24	7	5
986	rascadora	quars	B5	EB115	38	30	5740	N-S	pla	62	36	20
987	fragment	quars	B5	EB115	69	39	5730	no determinada	pla	28	24	10
988	fragment d'esclat	quars	B5	EB115	53	49	5730	no determinada	pla	35	18	10
989	nucli	lidita	B5	EB115	67	55	5740	no determinada	pla	27	25	15
990	carnívor	dent	B5	EB115	57	57	5740	NW-SE	pla	15	7	5
991	carnívor	os indeterminable	B5	EB115	80	13	5740	NW-SE	pla	190	40	40
992	os no determinat	os no determinat	B5	EB115	81	17	5740	no determinada	pla	27	20	4
993	os no determinat	os no determinat	B5	EB115	78	20	5750	no determinada	pla	30	20	10
994	os no determinat	os no determinat	B5	EB115	71	19	5750	E-W	pla	20	10	4
995	carnívor	dent	B5	EB115	18	90	5750	N-S	pla	15	4	3
996	conill	os no determinat	B5	EB115	0	78	5710	no determinada	pla	15	10	10
997	os no determinat	dent	B5	EB115	66	95	75	N-S	pla	11	10	6
998	os no determinat	dent	B5	EB115	62	50	74	no determinada	pla	20	6	5
999	fragment	quars	B5	EB115	58	69	71	no determinada	no determinat	15	10	10
1000	indeterminable	os indeterminable	B5	EB116	85	95	5760	E-W	pla	35	20	10
1001	esclat	quars	B5	EB116	92	56	5780	NE-SW	SW	35	25	10

Nº	Natura	Natura 2	Quadre	Talla	X	Y	Z	Orientació	Pendent	Longitud	Amplada	Gruix
1002	os no determinat	os no determinat	B5	EB116	65	34	5770	no determinable	E	30	15	15
1003	indeterminable	os indeterminable	B5	EB116	60	30	5760	NE-SW	pla	36	11	10
1004	indeterminable	os indeterminable	B5	EB116	40	25	5750	N-S	N	52	15	3
1005	os no determinat	dent	B5	EB116	65	45	5770	no determinable	no determinat	20	9	6
1006	esclat	no determinat	B5	EB116	69	51	5775	N-S	pla	23	15	7
1007	indeterminable	os indeterminable	B5	EB116	86	74	5770	N-S	pla	34	15	10
1008	os no determinat	os no determinat	B5	EB116	77	85	5780	E-W	pla	15	2	2
1009	os no determinat	os no determinat	B5	EB116	82	73	5780	E-W	pla	39	18	10
1010	os no determinat	os no determinat	B5	EB116	95	70	5790	NW-SE	pla	35	15	7
1011	esclat	no determinat	B5	EB116	77	42	5780	no determinable	pla	25	20	7
1012	esclat	quars	B5	EB116	89	81	5770	no determinable	pla	25	15	7
1013	os no determinat	dent	B5	EB116	33	90	5770	NE-SW	pla	15	8	5
1014	os no determinat	dent	B5	EB116	5	90	5750	N-S	pla	12	4	3
1015	esclat	quarsita	B5	EB116	70	73	5770	NW-SE	pla	39	25	7
1016	os no determinat	os no determinat	B5	EB116	72	67	5770	N-S	N	34	10	5
1017	os no determinat	os no determinat	B5	EB116	31	49	5785	S-N	S	30	25	3
1018	esclat	quarsita	B5	EB116	33	46	5770	no determinable	pla	23	21	5
1019	indeterminable	os indeterminable	B5	EB116	41	60	5750	SE-NW	SW	42	11	3
1020	esclat	quars	B5	EB116	34	69	5750	N-S	vertical	27	18	10
1021	esclat	quars	B5	EB116	50	93	5775	E-W	vertical	27	20	10
1022	indeterminable	os indeterminable	B5	EB116	55	79	5765	NW-SE	NW	47	16	8
1023	fragment	sorrenca	B5	EB116	25	20	5790	no determinable	vertical	70	80	20
1025	os no determinat	os no determinat	B5	EB116	35	10	5770	S-N	vertical	40	20	25
1026	esclat	quars	B5	EB116	51	98	5770	no determinable	pla	13	7	1
1027	esclat	sorrenca	B5	EB116	51	89	5775	no determinable	no determinat	25	37	13
1028	esclat	quars	B5	EB116	48	75	5780	no determinable	pla	19	17	7
1029	os no determinat	os no determinat	B5	EB116	54	73	5790	E-W	pla	52	12	4
1030	esclat	no determinat	B5	EB116	59	90	5780	E-W	pla	15	6	2
1031	os no determinat	os no determinat	B5	EB116	67	72	5760	no determinable	no determinat	16	2	2
1032	esclat	quars	B5	EB116	78	60	5790	no determinable	pla	20	15	8
1033	esclat	quars	B5	EB116	65	70	5790	no determinable	N	21	17	10
1034	carnívori	os no determinat	B5	EB116	42	80	5790	no determinable	pla	15	5	4
1035	esclat	quars	B5	EB116	54	15	5785	E-W	vertical	16	11	2
1036	os no determinat	dent	B5	EB116	60	48	5800	no determinable	no determinat	8	4	4
1037	os no determinat	dent	B5	EB116	66	54	5790	E-W	pla	11	5	3
1038	esclat	quars	B5	EB116	74	60	5800	N-S	pla	50	36	8
1039	os no determinat	dent	B5	EB116	78	63	5800	NW-SE	vertical	11	9	5
1040	carnívori	dent	B5	EB116	58	21	5800	NW-SE	pla	8	5	5
1041	esclat	corniana	B5	EB116	63	48	5800	no determinable	NW	36	31	7

Nº	Natura	Natura 2	Quadre	Talla	X	Y	Z	Orientació	Pendent	Longitud	Amplada	Gruix
1042	indeterminable	os indeterminable	B5	EB116	77	28	5800	N-S	N	35	15	2
1043	esclat	no determinat	B5	EB116	85	8	5800	N-S	N	16	16	4
1044	indeterminable	os indeterminable	B5	EB116	84	15	5790	NE-SW	pla	42	24	9
1045	esclat	quars	B5	EB116	44	71	5800	N-S	pla	4	9	5
1046	indeterminable	os indeterminable	B5	EB116	36	70	5780	E-W	pla	36	29	6
1047	esclat	quars	B5	EB116	10	91	5790	no determinable	pla	19	15	6
1048	esclat	quars	B5	EB116	7	79	5790	no determinable	pla	11	9	3
1049	esclat	corniana	B5	EB116	64	93	5800	no determinable	pla	37	30	15
1050	os no determinat	dent	B5	EB116	33	66	5800	no determinable	pla	20	13	7
1051	indeterminable	os indeterminable	B5	EB116	30	60	5800	N-S	pla	32	6	4
1053	os no determinat	os no determinat	B5	EB116	99	61	5800	N-S	pla	18	5	3
1054	esclat	quars	B5	EB116	100	70	5740	no determinable	pla	20	11	5
1055	indeterminable	os indeterminable	B5	EB117	94	15	5810	N-S	pla	35	12	3
1056	os no determinat	os no determinat	B5	EB117	80	6	5805	E-W	pla	25	5	4
1057	esclat	quars	B5	EB117	61	15	5820	N-S	pla	28	20	10
1058	os no determinat	os no determinat	B5	EB117	59	5	5820	no determinable	vertical	30	30	9
1059	indeterminable	os indeterminable	B5	EB117	23	85	5815	no determinable	pla	31	15	2
1060	esclat	quars	B5	EB117	63	45	5800	no determinable	pla	12	8	2
1061	esclat	quars	B5	EB117	67	70	5810	no determinable	pla	15	9	2
1062	indeterminable	os indeterminable	B5	EB117	85	72	5815	no determinable	no determinat	25	14	6
1063	indeterminable	os indeterminable	B5	EB117	76	27	5810	NE-SW	NE	18	15	10
1067	indeterminable	os indeterminable	B5	EB117	30	90	5850	NE-SW	pla	35	23	7
1068	nucli	altres	B5	EB117	3	96	5880	N-S	pla	140	100	55
1069	os no determinat	dent	B5	EB117	37	97	5845	N-S	pla	13	3	5
1070	os no determinat	dent	B5	EB117	65	32	5830	N-S	pla	14	4	3
1071	esclat	altres	B5	EB117	56	15	5840	NW-SE	S	48	40	15
1072	indeterminable	os indeterminable	B5	EB117	57	8	5850	E-W	E	53	35	15
1073	esclat	quars	B5	EB117	35	24	5825	no determinable	pla	15	14	3
1074	indeterminable	os indeterminable	B5	EB117	32	49	5830	E-W	E	30	20	2
1075	os no determinat	os no determinat	B5	EB117	32	53	5820	no determinable	pla	18	15	11
1076	os no determinat	dent	B5	EB117	26	32	5825	N-S	pla	11	8	6
1077	os no determinat	os no determinat	B5	EB117	47	100	5830	N-S	pla	38	30	14
1078	esclat	quars	B5	EB117	67	100	5810	N-S	pla	20	17	5
1079	esclat	quars	B5	EB117	71	100	5810	N-S	pla	14	9	5
1080	os no determinat	dent	B5	EB117	83	93	5820	NW-SE	vertical	13	5	5
1081	esclat	quars	B5	EB117	77	72	5830	N-S	N	30	18	21
1082	os no determinat	os no determinat	B5	EB117	73	92	5830	no determinable	pla	20	16	5
1083	esclat	quars	B5	EB117	88	44	5825	N-S	pla	13	7	5
1084	esclat	quars	B5	EB117	78	44	5830	N-S	vertical	21	16	7

Nº	Natura	Natura 2	Quadre	Talla	X	Y	Z	Orientació	Pendent	Longitud	Amplada	Gruix
1085	esclat	corniana	B5	EB117	80	32	5840	N-S	N	48	47	9
1086	indeterminable	os indeterminable	B5	EB117	88	85	5840	N-S	pla	30	16	17
1087	esclat	quars	B5	EB117	77	87	5845	N-S	pla	19	16	18
1088	os no determinat	dent	B5	EB117	37	76	5850	NW-SE	NW	30	27	12
1089	esclat	roca filoniana	B5	EB117	39	70	5850	no determinable	pla	34	31	10
1091	indeterminable	os indeterminable	B5	EB117	70	38	5840	E-W	pla	33	5	4
1092	os no determinat	dent	B5	EB117	28	23	5840	no determinable	vertical	12	5	5
1093	indeterminable	os indeterminable	B5	EB117	18	35	5840	E-W	E	32	13	13
1094	os no determinat	dent	B5	EB117	25	34	5710	no determinable	no determinat	11	9	5
1095	os no determinat	dent	B5	EB117	12	38	5760	NW	pla	34	19	21
1096	esclat	quars	B5	EB117	73	79	5850	N-S	pla	25	17	7
1097	os no determinat	dent	B5	EB117	91	85	5840	NW-SE	pla	9	4	2
1098	os no determinat	os no determinat	B5	EB117	37	4	5820	E-W	pla	25	13	7
1099	indeterminable	os indeterminable	B5	EB117	20	60	5850	NE-SW	pla	35	6	2
1100	os no determinat	dent	B5	EB117	25	55	5850	N	vertical	25	20	10
1101	esclat	quars	B5	EB117	30	66	5830	N	vertical	27	6	3
1102	os no determinat	falange	B5	EB117	79	56	5830	W-E	W	30	15	18
1103	rascadora	quars	B5	EB117	40	5	5830	NW-SE	pla	30	15	12
1104	esclat	quars	B5	EB117	54	4	5835	NW-SE	pla	52	30	15
1105	indeterminable	os indeterminable	B5	EB117	56	6	5835	E-W	pla	51	9	2
1182	indeterminable	os indeterminable	C2	BC118	0	23	5870	E-W	pla	35	14	5
1183	indeterminable	os indeterminable	C2	BC118	7	21	5870	SW-NE	pla	30	27	2
1184	os no determinat	dent	C2	BC118	30	10	5870	no determinada	pla	10	8	4
1185	indeterminable	os indeterminable	C2	BC118	71	20	5870	E-W	pla			
1186	no determinat (ind.lítica)	quars	C2	BC118	77	12	5870	NW-SE	pla	20	12	8
1187		fragment	C2	BC118	72	27	5865	E-W	pla	30	15	7
1188	os no determinat	os no determinat	C2	BC118	87	49	5880	E-W	E	40	10	7
1189	os no determinat	dent	C2	BC118	88	53	5880	N-S	S	26	9	7
1190	os no determinat	os no determinat	C2	BC118	11	37	5890	N-S	S	33	6	6
1191	os no determinat	os no determinat	C2	BC118	20	9	5890	E-W	E	93	10	8
1192	fragment d'esclat	no determinat	C2	BC118	33	28	5890	no determinada	no determinat	30	22	3
1193	indeterminable	os indeterminable	C2	BC118	48	38	5890	E-W	E	35	17	6
1194	indeterminable	os indeterminable	C2	BC118	54	24	5890	E-W	pla	19	8	5
1195	indeterminable	os indeterminable	C2	BC118	60	7	5880	E-W	pla	42	15	2
1196	carnívor	dent	C2	BC118	75	9	5885	SW-NE	SW	16	8	4
1197	carnívor	dent	C2	BC118	34	17	5885	N-S	pla	15	5	5
1198	indeterminable	os indeterminable	C2	BC118	97	49	5895	E-W	W	18	6	2
1199	os no determinat	os no determinat	C2	BC118	25	78	5845	N-S	W	50	27	14

Nº	Natura	Natura 2	Quadre	Talla	X	Y	Z	Orientació	Pendent	Longitud	Amplada	Gruix
1200	os no determinat	os no determinat	C2	BC118	42	107	5750	N-S	S	22	9	6
1201	os no determinat	os no determinat	C2	BC118	49	103	5800	NE-SW	SW	70	32	11
1202	os no determinat	os no determinat	C2	BC118	45	104	5780	NE-SW	SW	52	20	8
1203	os no determinat	os no determinat	C2	BC118	23	8	5890	no determinada	SE	18	6	3
1204	os no determinat	os no determinat	C2	BC118	24	5	5890		E-W	17	4	4
1205	conill	conill	C2	BC119	10	53	5900	NE-SW	pla	32	4	2
1206	esclat	quars	C2	BC119	78	8	5930	N-S	S	35	23	7
1207	carnívor	dent	C2	BC119	79	18	5920	SW-NE	pla	9	6	5
1208	os no determinat	os no determinat	C2	BC119	78	31	5935	NW-SE	SE	101	17	6
1209	conill	conill	C2	BC119	96	55	5920	E-W	pla	15	5	2
1210	os no determinat	dent	C2	BC119	15	17	5915	NE-SW	pla	9	4	3
1211	os no determinat	conill	C2	BC119	41	28	5910	NE-SW	pla	20	9	4
1212	os no determinat	conill	C2	BC119	62	32	5925	no determinada	no determinat	15	4	2
1213	indeterminable	os indeterminable	C2	BC119	68	27	5950			pla	33	11
1214	cavall	dent	C2	BC119	72	9	5955	no determinada	vertical	72	30	20
1215	os no determinat	os no determinat	C2	BC119	77	25	5950		pla	11	3	2
1216	esclat	sílex	C2	BC119	98	33	5930	NE-SW	NE	35	25	7
1217	os no determinat	conill	C2	BC119	98	30	5940	no determinada	no determinat	26	3	2
1218	esclat	altres	C2	BC119	39	25	5910			pla	45	38
1219	indeterminable	os indeterminable	C2	BC119	10	52	5910	E-W	pla	31	9	4
1220	indeterminable	os indeterminable	C2	BC119	13	19	5920	E-W	W	30	7	5
1221	os no determinat	os no determinat	C2	BC120	22	43	5955	NE-SW	SW	47	30	12
1222	indeterminable	os indeterminable	C2	BC120	62	20	5955	W-E	pla	30	11	6
1223	indeterminable	os indeterminable	C2	BC120	87	54	5955	N-S	S	30	11	3
1224	os no determinat	os no determinat	C2	BC120	93	97	5960	N-S	pla	30	16	15
1225	os no determinat	os no determinat	C2	BC120	44	3	5965	NE-SW	SW	23	5	3
1226	esclat	quars	C2	BC120	69	35	5975	E-W	pla	28	19	8
1227	indeterminable	os indeterminable	C2	BC120	7	56	5925	no determinada	vertical	50	11	5
1228	indeterminable	os indeterminable	C2	BC120	7	42	5940		pla	55	10	8
1229	os no determinat	dent	C2	BC120	17	3	5945	SW-NE	pla	14	7	5
1230	os no determinat	dent	C2	BC120	47	37	5965	N-S	pla	20	6	5
1231	os no determinat	dent	C2	BC120	80	32	5980	no determinada	pla	12	6	5
1232	esclat	quars	C2	BC120	92	24	5980		pla	32	21	4
1234	os no determinat	os no determinat	C2	BC120	6	19	5985	E-W	pla	30	10	10
1235	fragment	quars	C2	BC120	2	53	6010	NE-SW	pla	35	31	14
1236	indeterminable	os indeterminable	C2	BC120	43	36	5985	N-S	N	25	20	6
1237	fragment	quarsita	C2	BC120	52	34	5100	E-W	pla	30	15	5
1238	fragment d'esclat	quars	C2	BC120	71	18	5985	N-S	vertical	26	26	3
1239	carnívor	dent	C2	BC120	94	33	5100	N-S		pla	31	30

Nº	Natura	Natura 2	Quadre	Talla	X	Y	Z	Orientació	Pendent	Longitud	Amplada	Gruix
1240	os no determinat	os no determinat	C2	BC120	86	50	5100	W-E	pla	28	10	6
1242	carnívor	dent	C2	BC120	22	13	5960	N-S	pla	22	8	6
1243	os no determinat	crani	C2	BC120	25	35	5100	NW-SE	pla	31	25	3
1244	os no determinat	os no determinat	C2	BC121	13	43		no determinada	no determinat	49	18	10
2316	fragment d'esclat	quars	C3	118	46	80	5855	no determinada	no determinat	10	12	3
2317	indeterminable	os indeterminable	C3	118	72	74	5865	no determinada	vertical	15	8	2
2318	os no determinat	os no determinat	C3	118	7	44	5855	NW-SE	SE	18	15	2
2319	esclat	quars	C3	118	16	78	5860	NW-SE	pla	16	14	4
2320	os no determinat	os no determinat	C3	118	13	80	5870	NW-SE	NW	30	15	13
2321	os no determinat	dent	C3	118	33	91	5855	N-S	pla	12	5	3
2322	os no determinat	os no determinat	C3	118	47	84	5870	E-W	NW	22	20	6
2323	os no determinat	dent	C3	118	86	89	5865	NE-SW	NE	16	7	1
2325	os no determinat	os no determinat	C3	118	4	85	5880	NE-SW	pla	40	15	
2326	os no determinat	os no determinat	C3	118	73	90	5885	no determinada	no determinat	15	6	4
2327	os no determinat	os no determinat	C3	118	82	88	5885	N-S	N	15	3	3
2328	no determinat	sorrenca	C3	118	3	91	5885	N-S	pla	60	42	16
2329	os no determinat	os no determinat	C3	118	57	87	5895	no determinada	no determinat	28	21	10
2330	fragment	quars	C3	118	8	75	5860	NE-SW	pla	22	16	11
2331	fragment	quars	C3	118	5	54	5820	no determinada	vertical	12	10	10
2332	indeterminable	os indeterminable	C3	118	18	55	5885	N-S	pla	36	8	4
2333	carnívor	dent	C3	118	14	73	5875	NE-SW	pla	13	7	5
2334	os no determinat	os no determinat	C3	118	8	77	5900	NW-SE	NW	80	15	7
2335	os no determinat	os indeterminable	C3	118	3	82	5895	NE-SW	SW	33	15	7
2336	os no determinat	os no determinat	C3	118	3	99	5890	N-S	no determinat	25	12	5
2337	os no determinat	os no determinat	C3	118	50	56	5890	no determinada	no determinat	13	10	7
2338	os no determinat	os no determinat	C3	118	52	85	5895	N-S	no determinat	30	15	7
2339	esclat	no determinat	C3	118	75	63	5900	N-S	NE	30	11	5
2340	os no determinat	dent	C3	118	84	42	5875	NW-SE	pla	10	5	4
2341	os no determinat	os no determinat	C3	118	89	19	5855	NW-SE	SE	71	26	12
2342	os no determinat	os no determinat	C3	118	90	2	5890	E-W	pla	25	30	22
2345	home	dent	C3	118	87	2	5890	N-S	pla			
2346	carnívor	dent	C3	119	18	54	5920	N-S	N	20	8	5
2347	carnívor	dent	C3	119	37	90	5905	no determinada	no determinat	15	10	5
2348	rascadora	no determinat	C3	119	65	90	5915	NW-SE	NW	55	35	11
2349	denticulat	no determinat	C3	119	63	77	5910	E-W	E	50	31	9
2350	os no determinat	dent	C3	119	90	75	5920	N-S	S	21	6	5
2351	fragment d'esclat	no determinat	C3	119	19	85	5930	N-S	N	32	27	10
2352	os no determinat	dent	C3	119	40	58	5910	no determinada	no determinat	10	4	4

Nº	Natura	Natura 2	Quadre	Talla	X	Y	Z	Orientació	Pendent	Longitud	Amplada	Gruix
2353	carnívor	dent	C3	119	69	81	5940	no determinada	no determinat	13	9	6
2354	os no determinat	dent	C3	119	93	67	5925	NW-SE	pla	11	11	8
2355	carnívor	dent	C3	119	49	91	5910	N-S	vertical			
2356	os no determinat	os no determinat	C3	119	0	74	5905	E-W	W	21	6	6
2357	carnívor	dent	C3	119	15	92	5950	N-S	no determinat	18	7	6
2358	carnívor	dent	C3	119	48	84	5940	NE-SW	SW	18	7	6
2359	carnívor	dent	C3	119	58	69	5950	NE-SW	pla	16	8	5
2360	fragment d'esclat	quars	C3	119	84	92	5950	N-S	vertical	38	32	15
2361	carnívor	dent	C3	119	95	72	5945	NW-SE	SE	15	8	6
2362	fragment d'esclat	no determinat	C3	119	88	65	5940	N-S	pla	29	21	6
2363	os no determinat	os no determinat	C3	119	97	24	5910	E-W	pla			
2364	indeterminable	os indeterminable	C3	119	89	19	5940	E-W	E	36	6	6
2365	indeterminable	os indeterminable	C3	119	64	0	5930	E-W	S	44	20	5
2366	carnívor	dent	C3	119	63	4	5910	E-W	pla	19	6	5
2367	os no determinat	os no determinat	C3	119	90	55	5950	N-S	pla	9	4	2
2368	indeterminable	os indeterminable	C3	119	66	0	5930	E-W	S	40	20	2
2370	os no determinat	os no determinat	C3	119	16	58	5820	E-W	pla	18	6	4
2371	os no determinat	os no determinat	C3	119	11	75	5950	NW-SE	SE	15	7	3
2372	fragment d'esclat	no determinat	C3	119	14	44	5950	no determinada	no determinat	33	20	6
2374	os no determinat	dent	C3	120	2	73	5965	N-S	pla	18	3	2
2375	os no determinat	os no determinat	C3	120	54	70	5960	E-W	pla	36	8	4
2376	os no determinat	dent	C3	120	95	88	5955	no	vertical	10	7	4
2377	carnívor	dent	C3	120	93	49	5960	no determinada	pla	11	7	4
2378	os no determinat	os no determinat	C3	120	62	9	5975	no determinada	no determinat	13	10	4
2379	os no determinat	dent	C3	120	70	2	5955	no determinada	no determinat	15	8	4
2380	carnívor	dent	C3	120	66	2	5955	N-S	pla	15	15	8
2382	os no determinat	os no determinat	C3	120	32	75	5950	NW-SE	NW	40	80	4
2383	os no determinat	dent	C3	120	23	60	5925	E-W	pla	40	13	8
2384	os no determinat	dent	C3	120	86	73	6000	no determinada	vertical	15	6	4
2385	os no determinat	dent	C3	120	12	63	5980	no determinada	no determinat	15	5	4
2386	os no determinat	dent	C3	120	33	75	5960	E-W	pla	15	6	4
2387	os no determinat	dent	C3	120	44	80	5985	N-S	pla	20	13	5
2388	os no determinat	dent	C3	120	89	71	5980	NE-SW	vertical	20	8	4
2389	indeterminable	os indeterminable	C3	120	18	62	5960	E-W	pla	30	18	5
2390	os no determinat	os no determinat	C3	120	8	66	5970	N-S	N	38	6	4
2391	indeterminable	os indeterminable	C3	120	16	79	5990	Ee	pla	31	15	8
2392	os no determinat	os no determinat	C3	120	39	79	5995	E	W	25	16	8
2393	os no determinat	dent	C3	120	75	71	5995	NE-SW	pla	10	6	4
2394	os no determinat	dent	C3	120	6	63	6000	NW-SE	pla	21	10	4

Nº	Natura	Natura 2	Quadre	Talla	X	Y	Z	Orientació	Pendent	Longitud	Amplada	Gruix
2395	carnívor	dent	C3	120	11	84	5980	N-S	pla	18	16	12
2396	plaqueta	sorrenca	C3	120	4	72	5970	N-S	pla	80	40	20
2397	plaqueta	sorrenca	C3	120	4	75	5970	E-W	W	60	30	5
2398	fragment d'esclat	quars	C3	120	88	77	6000	E-W	pla	15	14	7
1114	esclat	quars	C5	113	0	60	5605	N-S	no determinat	34	22	6
1115	indeterminable	os indeterminable	C5	113	12	63	5650	E-W	pla	40	9	2
1116	conill	tíbia	C5	82	44	0	4080	N-S	N	46	10	7
1117	lamineta	sílex	C5	82	44	0	4080	N-S	N	30	7	3
1118	esclat	quars	C5	113	20	0	5640	no determinada	pla	26	22	7
1119	fragment	quars	C5	115	93	97	5745	no determinada	no determinat	11	10	7
1120	esclat	quars	C5	117	30	100	5825	no determinada	no determinat	30	36	15
1121	indeterminable	os indeterminable	C5	114	9	25	5685	NE-SW	pla	35	10	2
1122	esclat	quars	C5	114	9	30	5690	NE-SW	vertical	25	25	5
1123	esclat	quars	C5	114	36	75	5670	NE-SW	pla	24	20	5
1124	indeterminable	os indeterminable	C5	114	36	67	5670	E-W	pla	37	6	6
1125	indeterminable	os indeterminable	C5	114	4	30	5695	no determinada	vertical	37	10	7
1126	os no determinat	altres	C5	114	28	10	5695	N-S	pla	17	3	2
1127	os no determinat	os no determinat	C5	114	12	83	5690	no determinada	pla	14	4	3
1128	os no determinat	os no determinat	C5	114	4	77	5700	NE-SW	pla	20	4	4
1129	os no determinat	os no determinat	C5	114	35	62	5675	E-W	pla	15	6	5
1130	os no determinat	os no determinat	C5	114	9	53	5690	no determinada	pla	11	8	5
1131	esclat	quarsita	C5	114	19	13	5700	N-S	W	20	13	12
1132	esclat	quars	C5	114	42	40	5610	no determinada	no determinat	22	16	7
1133	indeterminable	os indeterminable	C5	115	34	21	5710	N-S	pla	82	31	6
1134	indeterminable	os indeterminable	C5	115	7	9	5725	no determinada	vertical	31	9	3
1135	conill	os no determinat	C5	115	5	80	5720	N-S	pla	17	5	3
1136	carnívori	dent	C5	115	2	88	5705	NE-SW	pla	11	6	9
1137	carnívori	dent	C5	115	35	82	5705	N-S	pla	30	20	16
1138	fragment	quars	C5	115	31	94	5725	no determinada	no determinat	10	5	4
1139	os no determinat	dent	C5	115	58	94	5760	E-W	pla	20	7	4
1140	fragment	quars	C5	115	48	80	5725	NW-SE	NW	25	25	10
1141	fragment	quars	C5	115	35	85	5750	E-W	pla	43	27	25
1142	indeterminable	os indeterminable	C5	115	35	98	5750	NW-SE	pla	32	12	6
1143	fragment	quars	C5	115	33	96	5750	E-W	N	21	12	4
1144	esclat	corniana	C5	115	8	93	5750	E-W	E	30	20	6
1145	os no determinat	os no determinat	C5	115	3	76	5740	NE-SW	SW	21	5	3
1146	indeterminable	os indeterminable	C5	115	48	8	5730	N-S	pla	32	11	5
1147	carnívori	dent	C5	115	7	19	5730	N-S	pla	18	9	7

Nº	Natura	Natura 2	Quadre	Talla	X	Y	Z	Orientació	Pendent	Longitud	Amplada	Gruix
1148	fragment	sílex	C5	115	5	27	5740	N-S	vertical sobre cantó	22	18	10
1149	esclat	quars	C5	115	24	28	5730	N-S	pla	22	14	7
1150	esclat	quars	C5	115	94	92	5725	no determinada	pla	20	18	9
1152	osca	quars	C5	116	25	81	5770	no determinada	vertical sobre cantó	53	45	11
1153	esclat	quars	C5	116	23	90	5760	E-W	pla	15	10	7
1154	indeterminable	os indeterminable	C5	116	5	85	5765	N-S	pla	100	22	8
1155	carnívor	dent	C5	116	3	37	5770	NE-SW	NE	15	6	6
1156	indeterminable	os indeterminable	C5	116	2	33	5780	N-S	N	50	17	10
1157	fragment	quars	C5	116	15	19	5770	no determinada	pla	30	24	11
1158	rascadora	quars	C5	116	7	14	5755	no determinada	vertical	25	20	5
1160	fragment	quars	C5	116	2	18	5770	no determinada	pla	26	24	15
1161	esclat	quars	C5	116	54	90	5790	no determinada	no determinat	18	13	6
1162	fragment	quars	C5	116	34	79	5775	no determinada	no determinat	16	6	5
1163	fragment	quars	C5	116	8	86	5765	NE-SW	pla	14	12	25
1164	fragment	quars	C5	116	28	72	5760	no determinada	pla	19	16	7
1165	indeterminable	os indeterminable	C5	116	22	61	5760	N-S	pla	32	48	34
1166	conill	altres	C5	116	7	60	5765	E-W	pla	19	10	15
1167	conill	falange	C5	116	6	16	5755	E-W	pla	2	3	3
1168	fragment d'esclat	quarsita	C5	116	44	66	5770	E-W	N	17	16	4
1169	fragment	quars	C5	116	12	71	5780	N-S	pla	18	12	10
1170	esclat	quars	C5	116	19	74	5785	N-S	pla	15	13	2
1171	indeterminable	os indeterminable	C5	116	23	70	5790	NE-SW	pla	32	10	5
1172	fragment	quars	C5	116	30	62	5765	no determinada	no determinat	9	10	15
1173	osca	quars	C5	116	41	59	5770	NW-SE	NW	40	34	10
1174	nucli	quarsita	C5	117	55	85	5810	NW-SE	pla	41	35	16
1175	carnívor	dent	C5	116	15	59	5790	E-W	pla	19	7	5
1176	esclat	quars	C5	116	77	7	5770	no determinada	no determinat	18	20	3
1177	fragment d'esclat	quars	C5	116	68	12	5765	no determinada	no determinat	13	12	5
1178	esclat	quars	C5	116	74	15	5765	no determinada	no determinat	25	19	10
1180	fragment	roca filoniana	C5	116	51	33	5770	no determinada	no determinat	25	20	7
1181	fragment	quars	C5	116	21	38	5790	NW-SE	SE	25	20	10
1182	indeterminable	os indeterminable	C5	116	87	7	5775	E-W	pla	52	18	3
1183	fragment	quars	C5	116	106	2	5775	no determinada	no determinat	16	16	15
1233	fragment d'esclat	corniana	D5	119	54	19	5905	N-S	NE	30	25	9
1234	fragment	sílex	D5	119	57	52	5910	N-S	E	20	10	4
1235	carnívor	dent	D5	119	37	72	5910	NE-SW	pla	15	6	5
1236	fragment	quars	D5	119	47	83	5905	no determinada	pla	8	10	6
1237	fragment	quars	D5	119	42	84	5905	E-W	pla	15	15	4

Nº	Natura	Natura 2	Quadre	Talla	X	Y	Z	Orientació	Pendent	Longitud	Amplada	Gruix
1238	petxina	petxina no perforada	D5	119	34	94	5905	no determinada	pla	6	5	2
1239	fragment	quars	D5	119	43	2	5905	E-W	vertical	36	25	14
1240	fragment	quars	D5	119	34	3	5905	E-W	N	16	9	4
1241	os no determinat	os no determinat	D5	119	19	8	5910	NE-SW	NE	33	13	4
1242	fragment	quars	D5	119	38	13	5920	E-W	pla	20	14	9
1243	fragment	quars	D5	119	43	33	5925	no determinada	pla	15	15	5
1244	os no determinat	dent	D5	119	32	71	5925	NW-SE	pla	14	8	2
1245	carnívor	dent	D5	119	31	72	5915	E-W	E	13	7	6
1246	indeterminable	os indeterminable	D5	119	44	72	5925	NW-SE	NW	32	13	6
1247	os no determinat	os no determinat	D5	119	60	75	5915	NW-SE	pla	24	9	6
1248	fragment	quars	D5	119	58	84	5910	NW-SE	pla	18	14	8
1249	fragment	corniana	D5	119	89	65	5910	E-W	W	26	9	8
1250	fragment	corniana	D5	119	89	49	5915	N-S	S	25	8	6
1251	plaqueta	sorrenca	D5	118	15	20	5860	NW-SE	NE	105	62	25
1252	fragment	quars	D5	118	16	25	5890	E-W	SE	25	20	4
1253	denticulat	quars	D5	118	16	18	5895	E-W	pla	63	35	16
1254	esclat	quars	D5	119	28	14	5930	E-W	S	24	19	7
1255	os no determinat	dent	D5	119	75	54	5920	N-S	S	7	4	2
1256	conill	tibia	D5	119	68	68	5940	NW-SE	SE	55	10	5
1257	denticulat	quars	D5	119	95	71	5950	NW-SE	SE	95	50	14
1258	fragment	quars	D5	119	79	91	5930	NW-SE	E	15	10	5
1259	os no determinat	os no determinat	D5	119	62	83	5940	E-W	pla	20	5	5
1260	fragment	quars	D5	119	59	72	5915	NW-SE	SE	20	15	8
1261	os no determinat	dent	D5	119	35	65	5945	NW-SE	SE	8	3	2
1262	fragment	quars	D5	119	23	67	5920	N-S	pla	15	13	7
1263	os no determinat	os no determinat	D5	119	2	87	5920	N-S	E	20	6	3
1264	fragment	quars	D5	119	75	93	5945	N-S	S	14	12	4
1265	fragment	quarsita	D5	119	63	82	5945	NE-SW	pla	25	20	4
1266	fragment	quars	D5	119	60	78	5945	NE-SW	pla	26	12	9
1267	carnívor	dent	D5	119	49	48	5945	E-W	E	11	5	6
1268	cavall	dent	D5	119	46	41	5940	NW-SE	vertical	33	30	22
1269	indeterminable	os indeterminable	D5	119	6	75	5925	N-S	N	36	6	4
1270	fragment	quars	D5	119	83	15	5925	N-S	pla	14	12	3
1271	fragment	quars	D5	119	88	48	5940	N-S	W	40	36	12
1272	fragment	quars	D5	118	1	70	5860	no determinada	vertical	16	14	6
1273	fragment d'esclat	quarsita	D5	117	2	80	5820	N-S	vertical	30	24	4
1274	carnívor	dent	D5	119	98	35	5940	N-S	N	45	23	13
1275	fragment	quars	D5	119	73	2	5930	NE-SW	SW	24	11	10
1276	carnívor	dent	D5	119	66	20	no determinada	NE-SW	pla	16	8	4

Nº	Natura	Natura 2	Quadre	Talla	X	Y	Z	Orientació	Pendent	Longitud	Amplada	Gruix
1277	fragment	quars	D5	119	82	9	5935	N-S	E	22	16	10
1278	carnívor	dent	D5	119	62	13	5935	NE-SW	S	15	10	9
1279	indeterminable	os indeterminable	D5	119	32	53	5950	E-W	pla	50	30	7
1280	fragment	quars	D5	119	24	63	5950	NE-SW	pla	10	12	7
1281	fragment	quars	D5	119	7	53	5920	E-W	vertical	30	10	5
1282	fragment	corniana	D5	119	1	53	5930	NW-SE	vertical	25	22	8
1283	fragment	quars	D5	119	1	66	5930	E-W	vertical	25	23	2
1284	raspador	quars	D5	119	62	11	5950	NW-SE	pla	30	26	6
1285	os no determinat	fèmur	D5	119	40	16	5940	E-W	E	70	30	5
1286	fragment d'esclat	quars	D5	119	36	8	5950	E-W	pla	25	20	9
1287	esclat	quars	D5	119	5	45	5930	N-S	vertical	16	9	9
1288	esclat	quars	D5	120	40	75	5960	no determinada	no determinat	10	8	3
1289	indeterminable	os indeterminable	D5	120	85	80	5965	NE-SW	pla	35	9	3
1290	os no determinat	os no determinat	D5	120	72	77	5965	NE-SW	NW	33	11	3
1291	esclat	roca filoniaña	D5	120	45	29	5955	no determinada	no determinat	15	8	3
1292	carnívor	falange	D5	120	40	14	5955	E-W	pla	28	9	7
1293	esclat	quarsita	D5	120	35	7	5960	N-S	N	32	20	6
1294	rascadora	no determinat	D5	120	25	12	5995	N-S	E	40	23	11
1295	fragment	quars	D5	120	38	13	5970	N-S	N	24	16	10
1296	indeterminable	os indeterminable	D5	120	69	31	5960	NW-SE	SE	66	15	5
1297	fragment	quars	D5	120	53	35	5960	N-S	W	17	14	4
1298	fragment	quars	D5	120	54	41	5950	N-S	W	14	12	4
1299	indeterminable	os indeterminable	D5	120	51	56	5965	NW-SE	SE	18	12	8
1300	fragment	quars	D5	120	70	53	5970	E-W	W	19	9	4
1301	fragment	quars	D5	120	91	42	5970	N-S	N	15	10	3
1302	indeterminable	os indeterminable	D5	120	97	62	5970	N-S	SW	43	17	6
1303	carnívor	dent	D5	120	88	82	5970	N-S	pla	17	8	4
1304	os no determinat	altres	D5	120	89	88	5980	NE-SW	pla	150	18	9
1305	os no determinat	os no determinat	D5	120	90	93	5980	NE-SW	pla	36	4	2
1306	os no determinat	os no determinat	D5	120	22	52	5960	N-S	N	37	10	10
1307	indeterminable	os indeterminable	D5	120	20	54	5960	E-W	pla	27	20	9
1308	fragment d'esclat	quarsita	D5	120	7	86	5990	NW-SE	NE	45	30	8
1309	os no determinat	falange	D5	120	10	57	5970	no determinada	vertical	22	16	11
1310	fragment	quars	D5	120	30	66	5960	NW-SE	vertical	34	22	7
1311	fragment	quars	D5	120	28	73	5960	NE-SW	NE	30	20	6
1312	esclat	quarsita	D5	120	52	44	5970	E-W	vertical	31	37	8
1313	indeterminable	os indeterminable	D5	120	74	52	5970	E-W	vertical sobre cantó	31	10	3
1314	carnívor	dent	D5	120	78	53	5970	N-S	pla	14	6	4
1315	conill	mandíbula	D5	120	95	39	5980	N-S	S	32	14	4

Nº	Natura	Natura 2	Quadre	Talla	X	Y	Z	Orientació	Pendent	Longitud	Amplada	Gruix
1316	fragment	quars	D5	120	62	10	5980	E-W	N	18	15	10
1317	os no determinat	altres	D5	120	83	2	5985	no determinada	N	28	29	15
1318	plaqueta	sorrenca	D5	120	42	4	5990	N-S	E	90	62	11
1319	fragment d'esclat	quarsita	D5	120	15	84	5995	NW-SE	NW	28	19	12
1320	fragment d'esclat	quarsita	D5	120	18	68	5990	NW-SE	SW	45	27	8
1321	carnívor	dent	D5	120	54	55	5990	E-W	pla	12	10	9
1322	os no determinat	dent	D5	120	55	46	5990	NE-SW	SW	32	11	5
1323	fragment	quars	D5	120	81	50	5980	E-W	pla	13	10	7
1324	indeterminable	os indeterminable	D5	120	85	65	5985	E-W	NE	34	12	3
1325	indeterminable	os indeterminable	D5	120	77	27	5990	no determinada	NW	36	20	6
1326	fragment	quars	D5	120	46	5	5995	NW-SE	pla	24	14	11
1327	fragment d'esclat	quars	D5	120	85	61	5995	NW-SE	S	32	22	7
1328	fragment	quars	D5	120	93	75	5995	NW-SE	SE	48	52	27
1329	fragment d'esclat	quarsita	D5	120	94	89	5990	NW-SE	pla	28	21	10
1330	carnívor	dent	D5	120	59	20	6000	NE-SW	pla	15	5	6
1331	fragment	quarsita	D5	120	76	41	6000	no determinada	pla	25	25	10
1332	fragment	quars	D5	120	82	62	6000	E-W	pla	30	17	12
1333	rascadora	quarsita	D5	120	89	11	5995	NW-SE	NE	64	40	8
1335	indeterminable	os indeterminable	D5	120	40	48	5975	N-S	pla	40	14	5
1336	os no determinat	dent	D5	120	84	62	6000	E-W	pla	16	7	5
1338	fragment	quars	D5	120	12	47	5950	no determinada	no determinat	17	12	5
1339	raspador	roca filoniana	D5	120	17	51	5980	no determinada	no determinat	38	27	11
1340	esclat	quars	D5	120	16	45	5975	no determinada	no determinat	38	34	5
1341	nucli	calcària	D5	120	15	37	5950	no determinada	no determinat	43	37	21
1342	indeterminable	os indeterminable	D5	120	18	40	5960	no determinada	no determinat	31	12	5
1343	esclat	quars	D5	120	20	49	5980	no determinada	no determinat	35	29	13
1344	raspador	quars	D5	120	21	49	5990	no determinada	no determinat	30	18	12
1345	nucli	roca filoniana	D5	120	22	43	5970	no determinada	no determinat	43	38	25
1346	fragment	quars	D5	120	24	45	5990	no determinada	no determinat	50	43	20
1347	raspador	quarsita	D5	120	30	48	5970	no determinada	no determinat	41	28	10
1348	esclat	quars	D5	120	30	51	5980	no determinada	no determinat	24	10	8
1349	esclat	quars	D5	120	53	65	6000	no determinada	no determinat	32	20	7
1350	fragment	quars	D5	121	21	46	6005	NW-SE	pla	21	17	15
1351	fragment d'esclat	quars	D5	121	20	43	6010	E-W	no determinat	21	11	5
1352	esclat	quarsita	D5	121	13	35	6005	no determinada	SW	40	38	11
1353	no determinat (ind. Lítica)	no determinat	D5	120	9	40	5975	no determinada	no determinat	61	52	40
1354	os no determinat	os no determinat	D5	121	97	3	6010	NE-SW	pla	23	23	10
1355	gran bòvid	dent	D5	121	92	15	6020	N-S	pla	45	12	10
1356	fragment	quars	D5	121	84	14	6010	NE-SW	pla	21	17	5

Nº	Natura	Natura 2	Quadre	Talla	X	Y	Z	Orientació	Pendent	Longitud	Amplada	Gruix
1357	indeterminable	os indeterminable	D5	121	72	6	6000	NW-SE	E	24	14	13
1358	os no determinat	os no determinat	D5	121	66	19	6020	no determinada	no determinat			
1359	conill	pelvis	D5	121	96	27	6020	N-S	E	40	14	12
1360	gran bòvid	dent	D5	121	90	29	6010	N-S	vertical sobre cantó	29	15	4
1361	os no determinat	altres	D5	121	94	35	6020	N-S	pla	22	10	13
1362	indeterminable	os indeterminable	D5	121	98	34	6020	E-W	pla	40	11	3
1363	carnívor	dent	D5	121	95	41	6020	NE-SW	NE	43	22	13
1364	no determinat (ind. Lítica)	sorrenca	D5	121	72	35	6010	E-W	NE	58	25	15
1365	fragment	quars	D5	121	66	40	6020	NW-SE	S	13	12	3
1366	fragment	quars	D5	121	65	44	6020	NE-SW	SE	22	18	12
1367	cavall	dent	D5	121	71	44	6010	N-S	S	65	15	12
1368	indeterminable	os indeterminable	D5	121	72	53	6000	E-W	E	47	20	7
1369	indeterminable	os indeterminable	D5	121	78	60	6030	NE-SW	SE	30	22	4
1370	indeterminable	os indeterminable	D5	121	87	62	6020	NW-SE	SE	64	10	4
1371	fragment	quars	D5	121	99	69	6020	NW-SE	NE	22	15	3
1372	conill	mandíbula	D5	121	88	74	6030	E-W	S	23	12	4
1373	conill	calcany	D5	121	71	78	6010	N-S	pla	23	10	6
1374	fragment	quars	D5	121	52	77	6010	NE-SW	NE	30	20	7
1375	indeterminable	os indeterminable	D5	121	53	58	6010	E-W	S	29	14	13
1376	no determinat (ind. Lítica)	sorrenca	D5	121	22	63	6010	NE-SW	SE	40	25	7
1378	carnívor	dent	D5	121	51	56	6030	E-W	pla	12	5	7
1379	esclat	corniana	D5	121	50	53	6040	no determinada	vertical	39	31	14
1380	fragment	lidita	D5	121	46	44	6030	E-W	E	30	19	9
1381	indeterminable	os indeterminable	D5	121	64	42	6030	NW-SE	pla	32	15	12
1382	esclat	quars	D5	121	65	30	6050	NW-SE	pla	32	22	7
1383	esclat	roca filoniana	D5	121	78	20	6032	N-S	pla	30	21	10
1384	carnívor	falange	D5	121	56	11	6040	E-W	vertical sobre cantó	39	25	15
1385	conill	escàpula	D5	121	43	13	6020	N-S	pla	14	10	5
1386	conill	dent	D5	121	43	14	6020	no determinada	no determinat	7	2	2
1388	fragment	quars	D5	121	54	54	6030	NE-SW	SW	32	17	6
1389	carnívor	dent	D5	121	43	40	6040	NE-SW	pla	35	7	4
1390	indeterminable	os indeterminable	D5	121	9	25	6040	no determinada	vertical	31	10	7
1391	fragment	quars	D5	121	12	15	6045	NE-SW	NE	31	22	11
1392	fragment	quars	D5	121	50	10	6045	E-W	pla	30	34	18
1393	fragment	quars	D5	121	63	21	6050	NE-SW	pla	25	18	11
1394	no determinat (ind. Lítica)	sorrenca	D5	121	67	40	6025	E-W	N	22	15	4
1395	còdol	no determinat	D5	121	67	50		NW-SE	NW	145	100	65
1396	indeterminable	os indeterminable	D5	121	74	42	6050	NW-SE	NE	44	7	3
1397	indeterminable	os indeterminable	D5	121	68	52	6040	NE-SW	pla	64	15	11

Nº	Natura	Natura 2	Quadre	Talla	X	Y	Z	Orientació	Pendent	Longitud	Amplada	Gruix
1398	denticulat	no determinat	D5	121	72	56	6050	NW-SE	E	41	34	9
1399	fragment	quars	D5	121	71	10	6040	NE-SW	pla	24	12	6
1400	raspador	quarsita	D5	121	80	53	6040	E-W	pla	35	30	9
1401	carnívor	dent	D5	121	82	31	6050	E-W	pla	19	7	5
1403	no determinat (ind. Lítica)	sorrenca	D5	121	88	9	6035	NE-SW	NW	35	25	7
1404	fragment	pelvis	D5	121	92	54	6045	E-W	pla	65	40	15
1405	indeterminable	os indeterminable	D5	121	96	57	6050	E-W	E	42	23	5
1406	no determinat (ind. Lítica)	roca filoniana	D5	121	93	60	6050	NW-SE	pla	27	21	7
1407	fragment	quars	D5	121	78	6	6045	E-W	pla	31	15	10
1408	fragment d'esclat	no determinat	D5	121	99	32	6070	no determinada	N	31	19	12
1409	no determinat (ind. Lítica)	roca filoniana	D5	121	60	60	6050		E-W	N	55	45
1368 bis	fragment d'esclat	quars	D5	121	81	48	6010	NE-SW	vertical sobre cantó	30	23	9
1372 bis	fragment	quars	D5	121	73	74	6010	NE-SW		SW	17	11
2112	conill	altres	E5	119	64	96	5940	NW-SE	SE	27	6	4
2113	fragment	quars	E5	119	11	91	5930	E-W	pla	17	19	7
2115	conill	escàpula	E5	119	75	50	5905	NE-SW	pla	34	13	7
2116	esclat	roca filoniana	E5	119	63	54	5930	N-S	W	35	23	11
2117	conill	fèmur	E5	119	77	31	5945	E-W	pla	18	14	11
2118	conill	altres	E5	119	78	62	5945	NW-SE	SE	17	17	17
2119	os no determinat	dent	E5	119	50	67	5940	no determinada	vertical			
2120	fragment	quars	E5	119	48	94	5940		S	28	15	10
2121	carnívor	dent	E5	119	11	75	5950	NW-SE	pla	26	11	11
2122	indeterminable	os indeterminable	E5	119	5	73	5950	N-S	S	57	12	3
2123	conill	tibia	E5	119	2	60	5920	E-W	pla	21	12	4
2124	os no determinat	os no determinat	E5	119	59	27	5940	E-W	pla			
2125	fragment	quars	E5	119	45	29	5940	NW-SE	W	29	24	8
2126	fragment	quars	E5	119	25	32	5920	N-S	vertical sobre cantó	30	16	13
2127	esclat	quarsita	E5	119	9	29	5930	E-W		33	21	12
2128	fragment	quars	E5	119	1	79	5950	N-S	vertical sobre cantó	19	20	17
2129	conill	pelvis	E5	119	21	89	5945	E-W		W	42	14
2130	indeterminable	os indeterminable	E5	119	13	68	5945	E-W	pla	51	17	5
2131	carnívor	dent	E5	119	33	71	5940	NE-SW	SW	12	5	4
2132	fragment	quarsita	E5	119	35	67	5940	E-W	vertical sobre cantó	43	27	10
2133	fragment	quars	E5	119	34	52	5940	NW	11	11	4	
2134	carnívor	falange	E5	119	46	49	5940	no determinada	vertical	27	22	13
2135	fragment	quars	E5	119	58	24	5945		E-W	pla	24	22
2136	fragment	quarsita	E5	119	23	23	5940	no determinada	pla	42	32	26
2137	fragment	quars	E5	119	15	2	5940		E-W	S	26	25

Nº	Natura	Natura 2	Quadre	Talla	X	Y	Z	Orientació	Pendent	Longitud	Amplada	Gruix	
2138	rascadora	roca filoniana	E5	120	33	8	5960	NE-SW	SW	31	19	6	
2139	conill	falange	E5	120	30	30	5965	NW-SE	pla	8	3	3	
2140	carnívor	dent	E5	120	90	20	5980	NE-SW	pla	20	12	8	
2141	cavall	dent	E5	120	19	81	5955	N-S	pla	54	11	7	
2142	os no determinat	mandíbula	E5	120	23	74	5960	N-S	pla	64	31	12	
2143	esclat	quars	E5	120	17	74	5960	N-S	pla	63	43	18	
2144	os no determinat	dent	E5	120	7	72	5955	N-S	pla	24	14	13	
2145	fragment	quars	E5	120	14	66	5965	NW-SE	vertical	sobre cantó	32	29	14
2146	carnívor	os no determinat	E5	120	10	62	5960	N-S	pla	27	8	4	
2147	os no determinat	os no determinat	E5	120	7	51	5970	no determinada	pla	46	37	14	
2148	indeterminable	os indeterminable	E5	120	41	30	5970		NW-SE	pla	34	11	9
2149	fragment	quars	E5	120	44	16	5970	E-W	pla	27	16	11	
2150	altres	crani	E5	120	85	40	5980	N-S	pla	25	12	10	
2151	conill	falange	E5	120	88	42	5985	NE-SW	pla	17	4	3	
2152	indeterminable	os indeterminable	E5	120	85	60	5980	NE-SW	SW	67	12	8	
2154	fragment	quars	E5	120	2	26	5965	no determinada	vertical	18	11	6	
2155	conill	escàpula	E5	120	23	33	5990		N-S	pla	20	10	7
2156	os no determinat	os no determinat	E5	120	28	36	5990	NW-SE	pla	22	8	8	
2157	indeterminable	os indeterminable	E5	120	45	37	5990	no determinada	pla	21	20	5	
2158	fragment	quars	E5	120	36	25	5980		E-W	pla	10	8	6
2159	carnívor	dent	E5	120	33	10	5985	E-W	pla	25	8	4	
2161	indeterminable	os indeterminable	E5	120	9	50	5980	NE-SW	pla	70	16	5	
2162	os no determinat	dent	E5	120	6	48	5970	NE-SW	pla	17	14	14	
2163	osca	quars	E5	120	4	23	5975	E-W	N	32	22	13	
2164	esclat llevallois	no determinat	E5	120	18	29	5995	N-S	N	44	34	13	
2165	os no determinat	dent	E5	120	18	47	5990	NE-SW	pla	31	10	7	
2166	os no determinat	os no determinat	E5	120	35	49	6010	NE-SW	pla	12	8	6	
2167	os no determinat	os no determinat	E5	120	34	44	6005	NW-SE	NW	33	23	11	
2168	esclat	quars	E5	120	27	41	5995	E-W	E	25	20	11	
2169	carnívor	dent	E5	120	50	15	6005	NE-SW	pla	25	8	7	
2170	carnívor	dent	E5	120	53	3	5995	NE-SW	pla	15	7	5	
2172	indeterminable	os indeterminable	E5	120	13	23	5995	N-S	pla	70	15	5	
2173	carnívor	dent	E5	120	10	33	6000	N-S	pla	17	10	6	
2174	indeterminable	os indeterminable	E5	120	9	69	5980	NW-SE	SE	35	7	2	
2175	os no determinat	crani	E5	120	12	69	5990	NW-SE	SE	38	33	10	
2176	os no determinat	altres	E5	120	21	86	5975	NW-SE	SE	40	11	4	
2177	indeterminable	os indeterminable	E5	120	21	95	5975	E-W	E	30	24	12	
2178	denticulat	sorrenca	E5	120	12	98	6000	NW-SE	NW	64	39	9	
2179	fragment	quars	E5	120	9	61	6000	E-W	pla	27	14	10	

Nº	Natura	Natura 2	Quadre	Talla	X	Y	Z	Orientació	Pendent	Longitud	Amplada	Gruix	
2180	fragment	quars	E5	120	7	66	6005	E-W	SW	39	24	12	
2181	indeterminable	os indeterminable	E5	120	14	93	6000	E-W	pla	44	25	7	
2182	fragment	quars	E5	121	49	41	6025	N-S	S	41	20	10	
2183	percutor	no determinat	E5	121	52	35		no determinada	N	75	70	35	
2184	carnívor	dent	E5	121	42	46	6020		N-S	S	17	8	5
2185	fragment	quars	E5	121	40	46	6025	NW-SE	pla	25	15	10	
2187	altres	metàpod	E5	121	42	40	6025	NE-SW	SW	55	6	9	
2188	carnívor	dent	E5	121	41	37	6030	NE-SW	pla	37	11	11	
2189	fragment	quars	E5	121	46	8	6020	E-W	W	32	14	6	
2190	fragment	quars	E5	121	5	25	6020	NW-SE	pla	22	15	8	
2191	conill	mandíbula	E5	121	47	31	6025	NE-SW	pla	24	8	4	
2192	indeterminable	os indeterminable	E5	121	4	18	6025	NE-SW	pla	40	8	5	
2193	fragment	quars	E5	121	89	30	6030	E-W	pla	16	8	5	
2194	carnívor	dent	E5	121	33	54	6040	E-W	pla	9	6	5	
2195	os no determinat	altres	E5	121	23	19	6030	E-W	W	21	3	2	
2196	carnívor	carp	E5	121	25	38	6030	NE-SW	pla	35	27	16	
2197	esclat	quars	E5	121	70	39	6045	NW-SE	SE	40	37	22	
2199	os no determinat	os no determinat	E5	121	48	44	6035	NW-SE	SE	150	20	10	
2200	esclat	quarsita	E5	121	87	62	6040	NW-SE	SE	53	40	12	
2201	fragment	quars	E5	121	49	28	6030	N-S	E	30	26	10	
2202	fragment	quars	E5	121	31	48	6045	N-S	N	31	20	11	
2203	fragment	quars	E5	121	26	46	6045	E-W	pla	19	14	8	
2204	indeterminable	os indeterminable	E5	121	30	25	6040	N-S	N	48	6	3	
2205	os no determinat	os no determinat	E5	121	34	22	6040	E-W	pla	28	20	21	
2206	os no determinat	os no determinat	E5	121	41	19	6040	E-W	pla	45	30	9	
2207	fragment	quars	E5	121	26	6	6020	E-W	pla	16	11	4	
2208	os no determinat	os no determinat	E5	121	26	37	6050	NW-SE	NW	36	15	11	
2209	carnívor	dent	E5	122	40	61	6060	E-W	S	18	7	7	
2210	carnívor	crani	E5	122	30	54	6075	N-S	E	82	49	33	
2211	indeterminable	os indeterminable	E5	122	46	37	6065	NE-SW	SW	30	31	9	
2212	raspador	roca filoniana	E5	122	99	34	6055	NE-SW	NW	45	41	16	
2213	fragment	quars	E5	122	37	36	6085	no determinada	vertical	sobre cantó	24	19	17
2214	plaqueta	no determinat	E5	122	63	29	6060		N	19	13	6	
2215	fragment	quars	E5	122	31	30	6050	E-W	W	11	9	5	
2216	fragment	quars	E5	122	34	26	6050	NE-SW	NE	15	11	5	
2217	fragment d'esclat	quars	E5	122	98	45	6080	N-S	S	35	17	15	
2218	esclat	quars	E5	122	99	50	6080	N-S	S	29	20	14	
2220	indeterminable	os indeterminable	E5	122	68	31	6070	NW-SE	W	27	16	11	
2221	indeterminable	os indeterminable	E5	122	51	26	6085	NW-SE	NW	37	13	7	

Nº	Natura	Natura 2	Quadre	Talla	X	Y	Z	Orientació	Pendent	Longitud	Amplada	Gruix
2222	esclat	quars	E5	122	45	25	6080	N-S	N	27	26	10
2223	fragment	quars	E5	122	43	42	6110	E-W	E	17	18	7
2224	carnívor	dent	E5	122	6	60	6095	NW-SE	pla	37	11	10
2225	indeterminable	os indeterminable	E5	122	3	49	6050	E-W	W	33	13	10
2226	carnívor	dent	E5	122	7	26	6095	N-S	vertical sobre cantó	18	20	16
2227	indeterminable	os indeterminable	E5	122	85	28	6110	NW-SE	SE	35	5	6
2229	rascadora	quars	E5	123	8	62	6120	NE-SW	SE	45	38	10
2230	esclat	quars	E5	123	4	63	6120	N-S	vertical sobre cantó	35	20	6
2231	carnívor	dent	E5	123	13	59	6115	E-W	pla	26	10	6
2232	carnívor	dent	E5	123	56	33	6110	E-W	pla	32	13	11
2233	indeterminable	os indeterminable	E5	123	55	24	6120	NE-SW	NE	87	25	7
2234	carnívor	dent	E5	123	43	27	6140	NW-SE	pla	29	6	5
2235	os no determinat	os no determinat	E5	123	48	30	6140	E-W	S	66	41	40
2236	indeterminable	os indeterminable	E5	123	72	41	6110	NW-SE	SE	43	22	3
2237	esclat	quars	E5	123	40	36	6150	NW-SE	pla	28	16	10
2238	esclat	quars	E5	123	27	42	6140	NE-SW	SE	33	21	17
2239	esclat	quarsita	E5	123	46	34	6145	NW-SE	pla	35	20	7
2240	gran bòvid	dent	E5	123	72	35	6120	E-W	pla	12	10	6
2241	conill	calcany	E5	123	96	37	6120	NE-SW	pla	21	8	6
2242	indeterminable	os indeterminable	E5	123	43	17	6105	N-S	pla	51	16	6
2243	fragment	quars	E5	123	67	31	6150	NE-SW	pla	22	18	7
2244	esclat	quars	E5	123	0	20	6115	N-S	vertical sobre cantó	19	20	9
2246	fragment	quars	E5	123	20	12	6150	E-W	pla	25	20	14
2247	fragment	quars	E5	123	21	26	6150	N-S	E	20	22	4
2248	fragment	quars	E5	123	13	20	6150	NE-SW	NE	30	21	10
2249	os no determinat	crani	E5	123	14	12	6135	NW-SE	E	35	29	3
2250	os no determinat	dent	E5	123	9	15	6130	NW-SE	SE	17	10	8
2251	fragment	quars	E5	123	10	2	6120	NW-SE	NE	20	16	8

## **ANNEX 2**

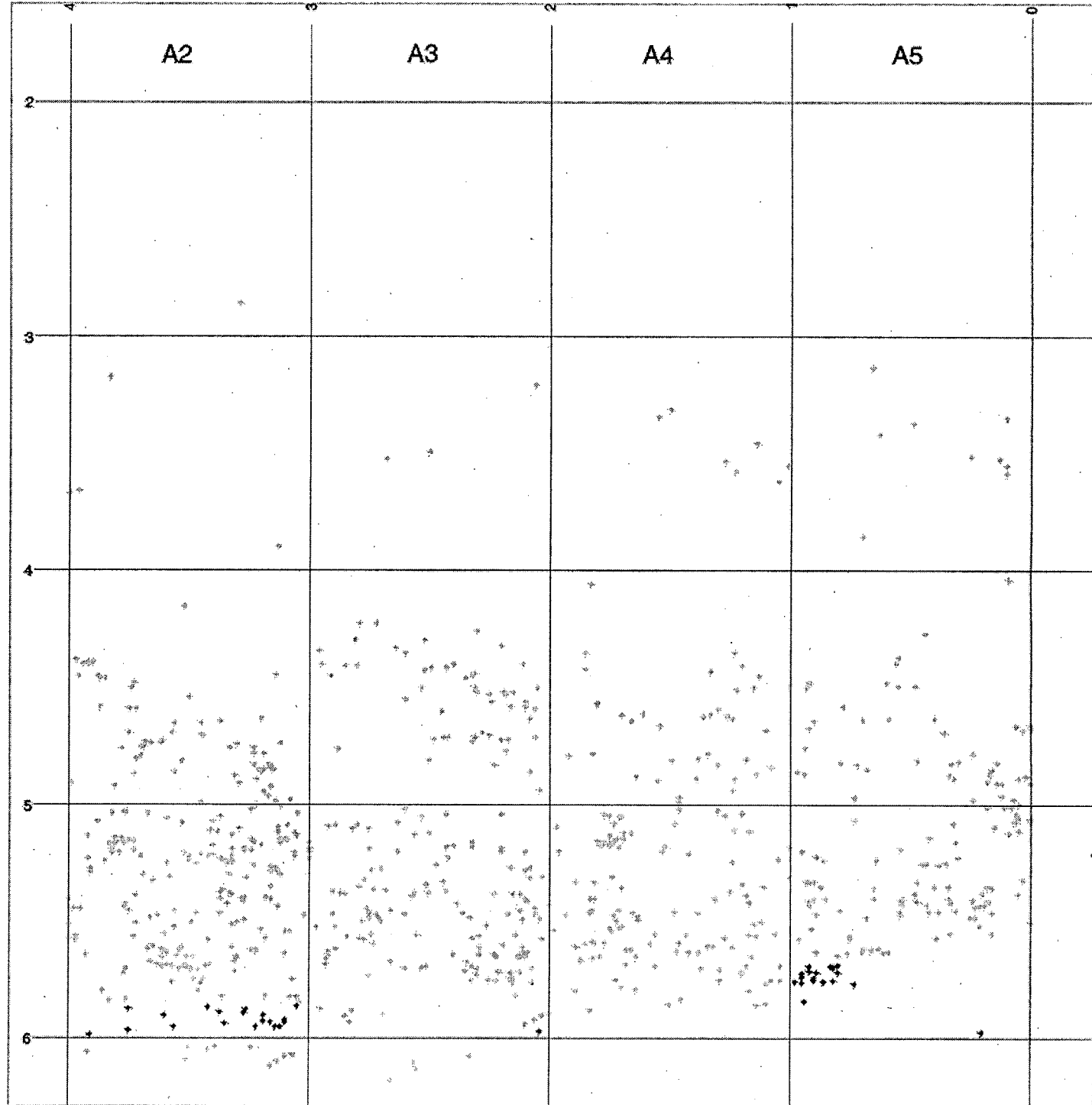
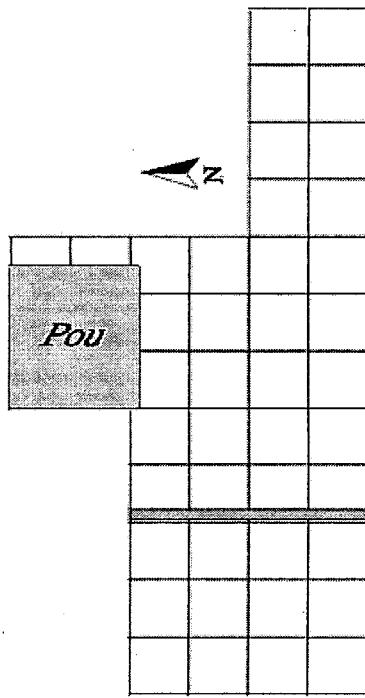
Inventari dels materials Cova de Mollet 1, campanya 2002
---

Quadre	Nº	Natura	Nivell	X	Y	Z	Orientació	Pendent	Mesures	Observacions
D10	10	os determinable	ll. gr.	56	96	223	-	-	24x6x6	dos fragments
D10	11	astràgal de cérvol	ll. gr.	15	87	226	SE-NW	pla	45x25x20	
D10	12	cúbit de lagomorf	ll. gr.	20	70	226,5	SW-NE	pla	40x5x4	
D10	13	costella	ll. gr.	53	35	222	N-S	N	110x20x11	fragment
D10	14	os determinable	ll. gr.	26	97	230	-	-	37x30x20	
D10	15	diàfisi	ll. gr.	66	80	228	E-W	E	100x26x12	fragment
D8	1	gasteròpode	ll. gr.	19,5	62	188	-	-	-	
C10	15	ascla de lidita	ll. gr.	14	47	220	NE-SW	pla	25x24x11	està al remenat superficial
C10	16	estella	ll. gr.	22	32	212	SE-NW	pla	30x24x2	
C10	17	os	ll. gr.	4	6	207,5	-	pla	30x28x20	fragment
C10	18	calcany de lagomorf	ll. gr.	5	21	217	NW-SE	NW	25x9x6	
C10	19	travertí cremat	ll. gr.	6	34	223	EW	V	56x47x32 / 40x21x20 / 31x30x11	tres fragments
C10	20	travertí cremat	ll. gr.	17	6	119	NE-SW	pla	48x37x42	fragment
C10	21	travertí cremat	ll. gr.	20	10	201,5	E-W	pla	55x33x23	fragment
C10	22	molar de cavall	ll. gr.	22	23	214,5	NW-SE	SE	32x36x17	
C10	23	falange de cérvol	ll. gr.	6	82	234	N-S	N	40x16x15	
C10	24	pelvis de lagomorf	ll. gr.	12	2	210	E-W	V.S.C - N	42x12x8	
C10	25	costella	ll. gr.	30	2	206	E-W	45º W	38x14x10	fragment
C10	26	dent de lagomorf	ll. gr.	20	2	216	E-W	pla	19x3x2	
C10	27	tíbia de lagomorf	ll. gr.	30	6	216	E-W	pla	21x17x7	
C10	28	astràgal de lagomorf	ll. gr.	30	23	200	N-S	pla	12x6x5	
C10	29	mandíbula de lagomorf	ll. gr.	30	25	200	E-W	pla	23x16x8	
C10	30	os determinable	ll. gr.	27	39	216	-	-	15x12x9	
D11	1	radi	ll. gr.	15	4	236	NE-SW	NE	168x37x20	
D7	1	bibalbe fòssil	ll. gr.	32	21	54	-	-	10x6x3	
B10	1	estella	ll. gr.	60	4,5	167,5	NE-SW	pla	38x20x5	
B10	2	premolar de hiena	ll. gr.	76	24	215	NW-SE	pla	39x23x13	
B10	3	os determinable	ll. gr.	42	6	166	-	-		fragmentat
B10	4	frag. de tibia de lagomorf	ll. gr.	53	18	198	S-N	pla	60x11x8	dos fragments
B10	5	canina de hiena	ll. gr.	50	17	192	NW-SE	pla	65x20x15	fragmentada
B10	6	falange 1 <sup>a</sup>	ll. gr.	40	5	166	-	-	35x10x10	
B10	7	húmer de hiena	ll. gr.	40	2	200	SSW-NNE	NNE	170x70x60	espècie no-segura
B10	8	crani de hiena	ll. gr.	55	3	s. 175 / i. 210	WNW-ESE	V.S.C. - ESE	290x170x	
B10	9	M1 inf. de hiena	ll. gr.	60	26	208	N-S	N	42x32x12	
B10	10	frag. de mandí. de hiena	ll. gr.	52	16	202,5	NE-SW	NE	125x60x15	
B10	11	estella	ll. gr.	76	24	215,5	NW-SE	SE	65x20x10	
B9	1	fragment de dent	ll. gr.	64	88	174	-	-	19x16x5	
B9	2	metàpode de petit cèrid	ll. gr.	73	88	173	E-W	pla	95x20x15	

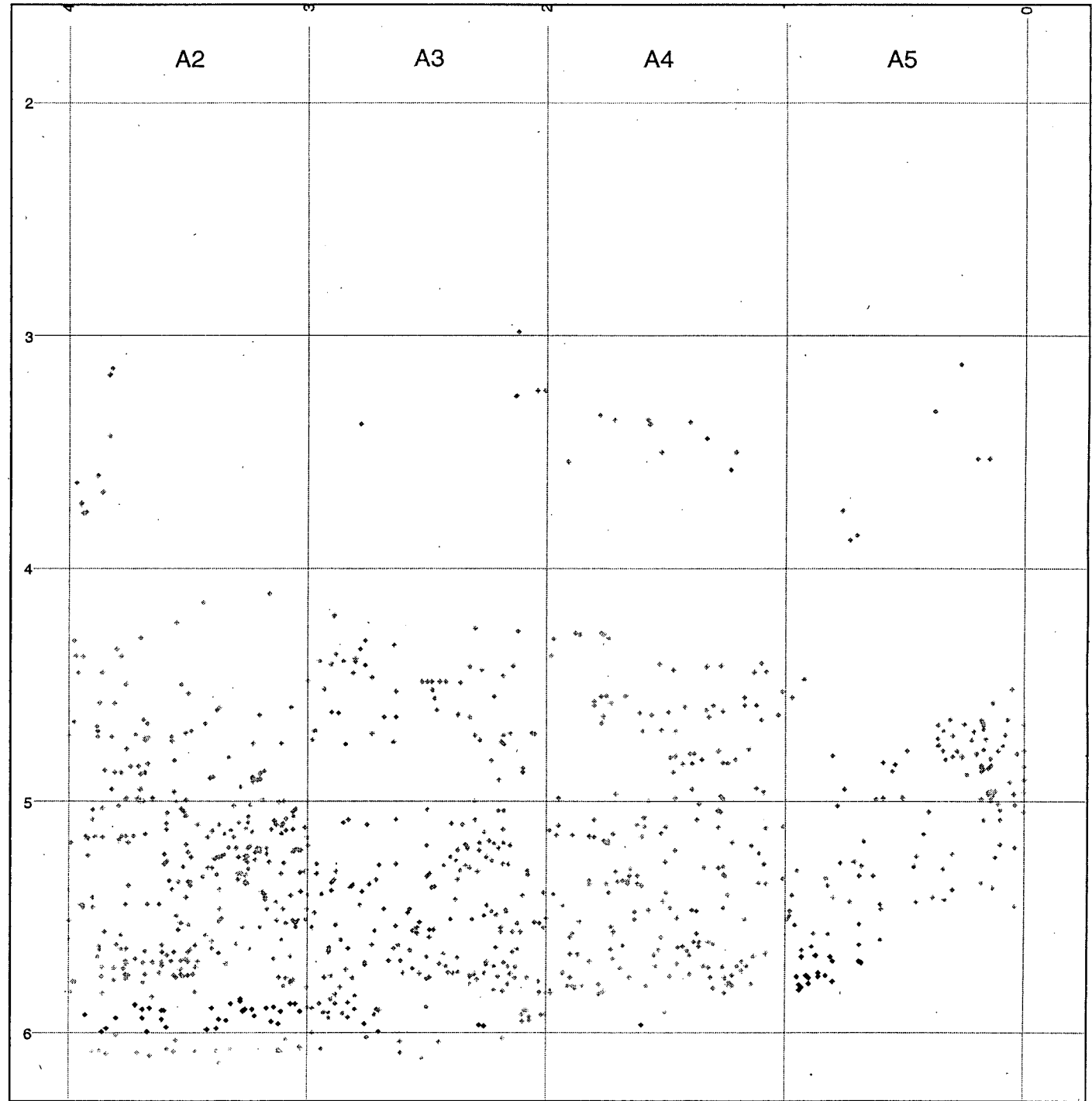
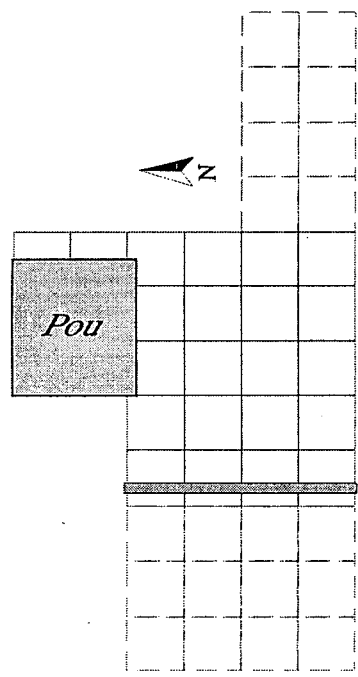
## **ANNEX 3**

Projeccions dels objectes coordenats  
Cova de l'Arbreda, campanya 2002

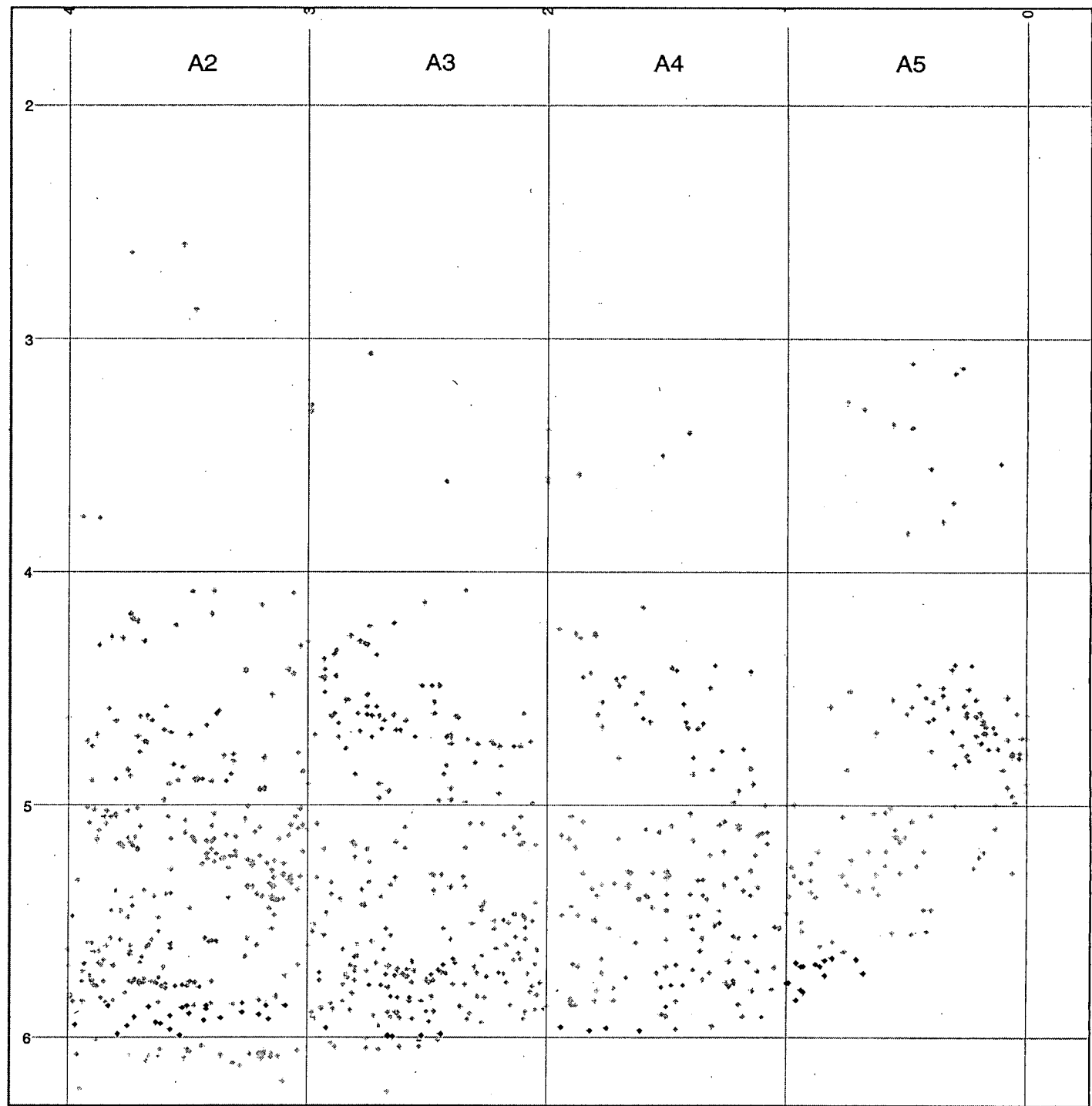
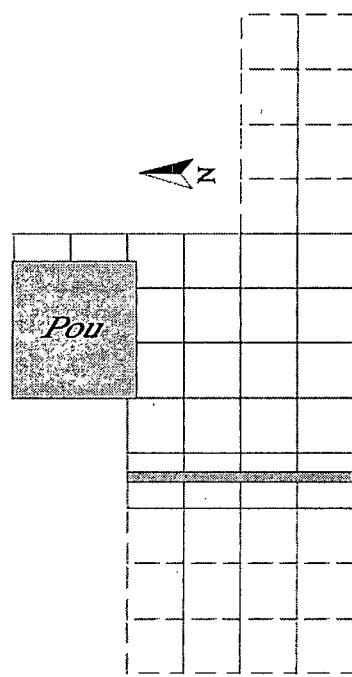
Projecció en sentit nord-sud dels objectes  
coordenats dels quadres A2, A3, A4 i A5 de la  
cova de l'Arbreda quan  $0 < x > 20$ .  
En negre es representen els objectes  
coordenats durant la campanya de 2002.



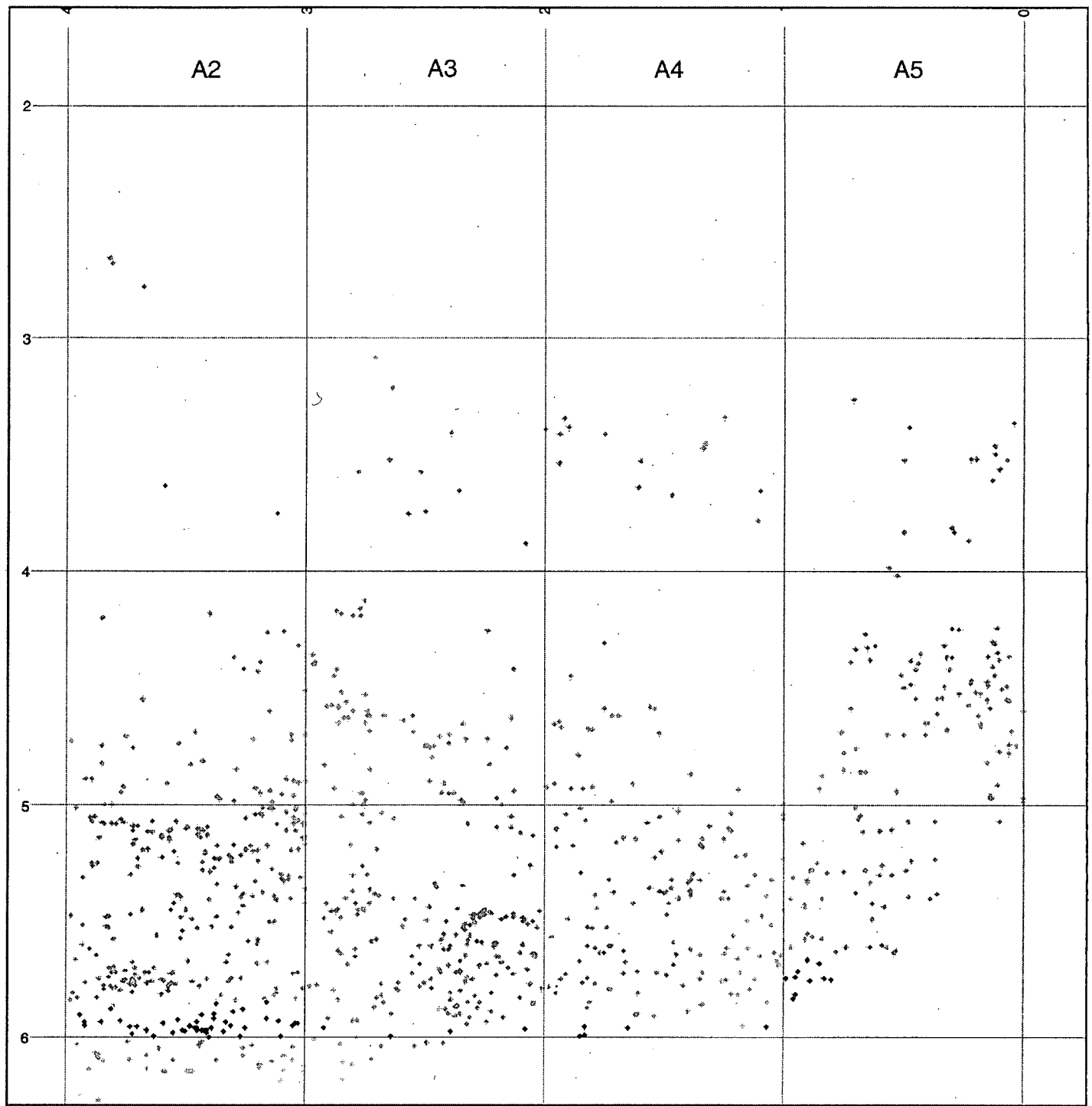
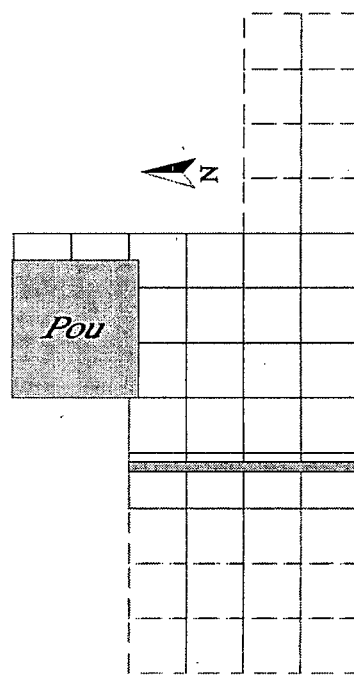
Projecció en sentit nord-sud dels objectes  
coordenats dels quadres A2, A3, A4 i A5 de la  
cova de l'Arbreda quan  $20 < x > 40$ .  
En negre es representen els objectes  
coordenats durant la campanya de 2002.



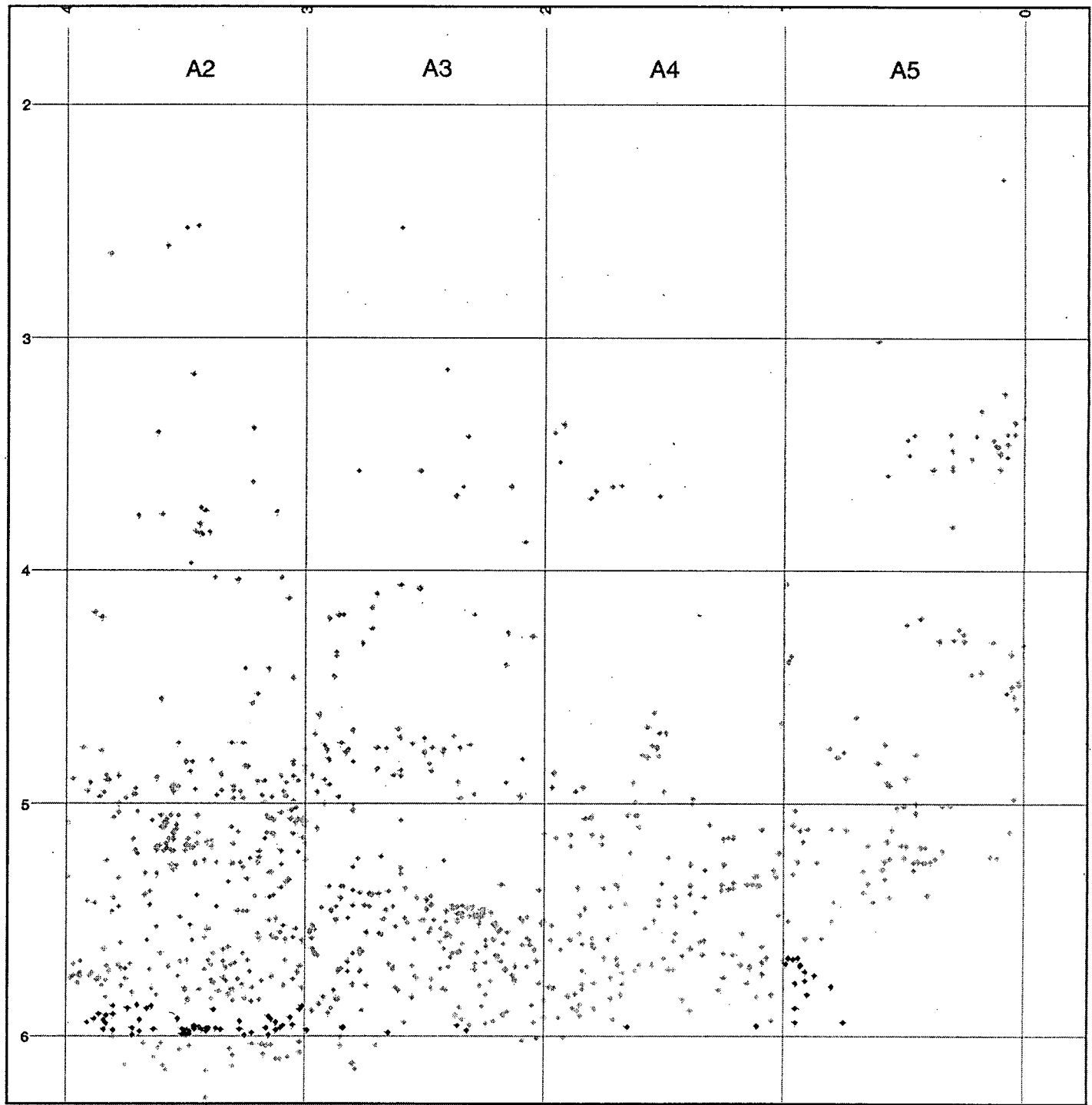
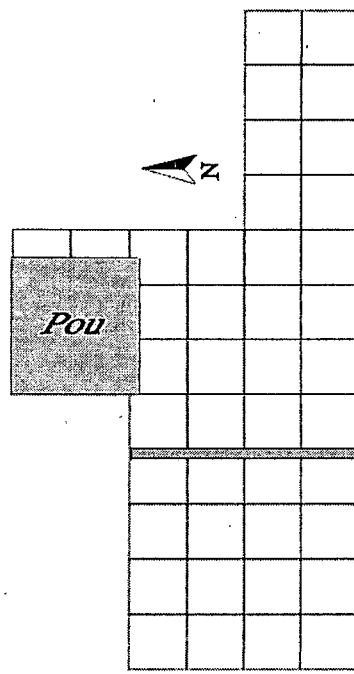
Projecció en sentit nord-sud dels objectes  
coordenats dels quadres A2, A3, A4 i A5 de la  
cova de l'Arbreda quan  $40 < x > 60$ .  
En negre es representen els objectes  
coordenats durant la campanya de 2002.



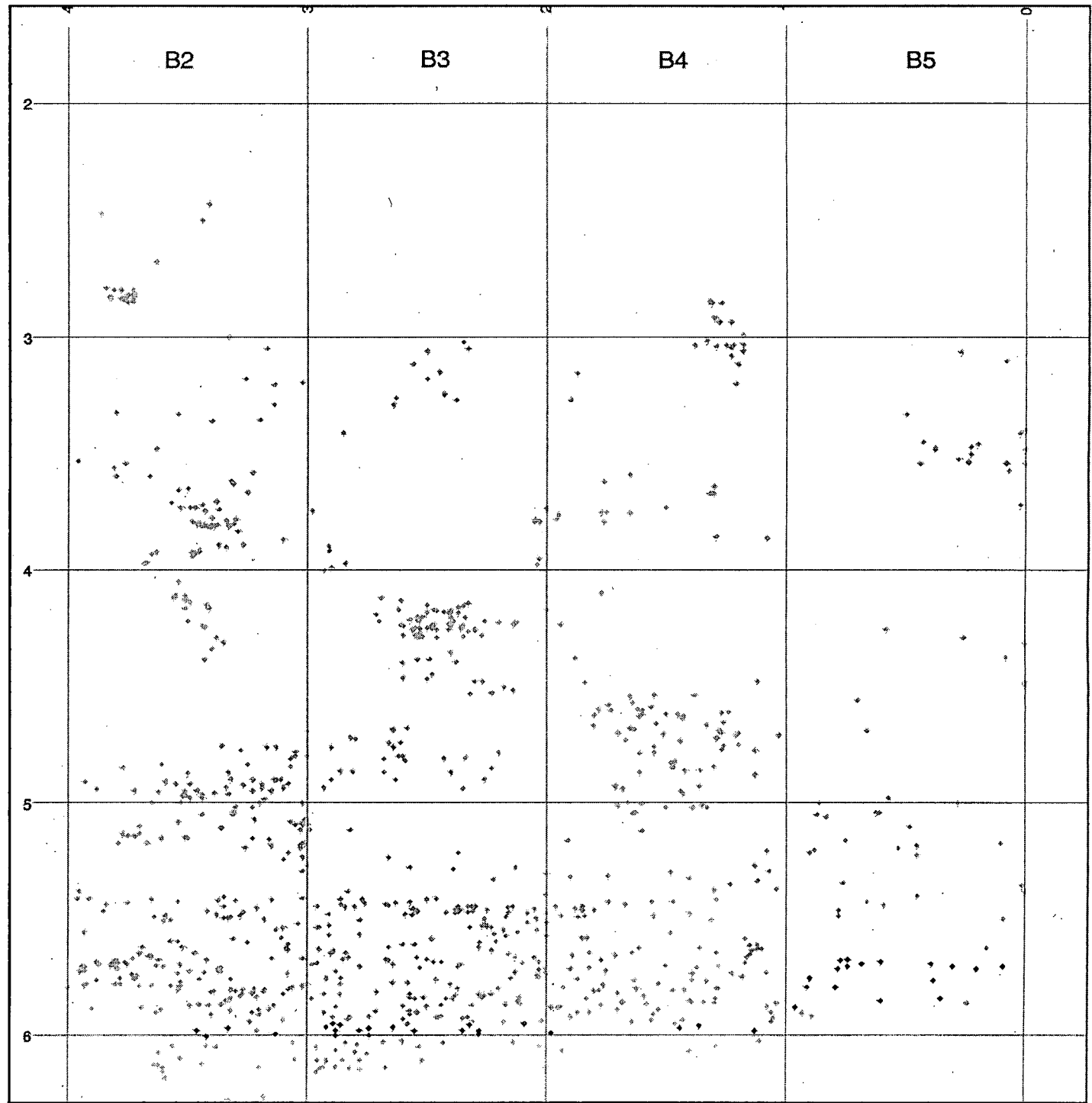
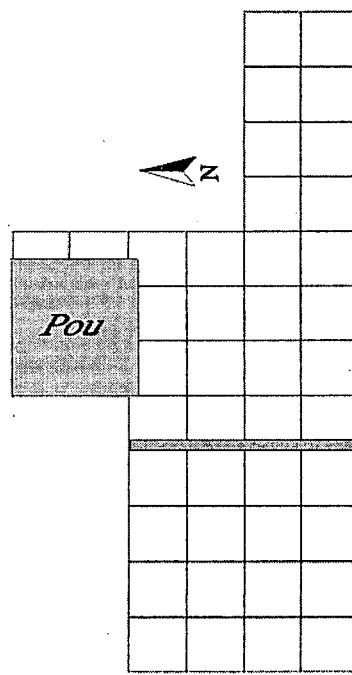
Projecció en sentit nord-sud dels objectes  
coordenats dels quadres A2, A3, A4 i A5 de la  
cova de l'Arbreda quan  $60 < x > 80$ .  
En negre es representen els objectes  
coordenats durant la campanya de 2002.



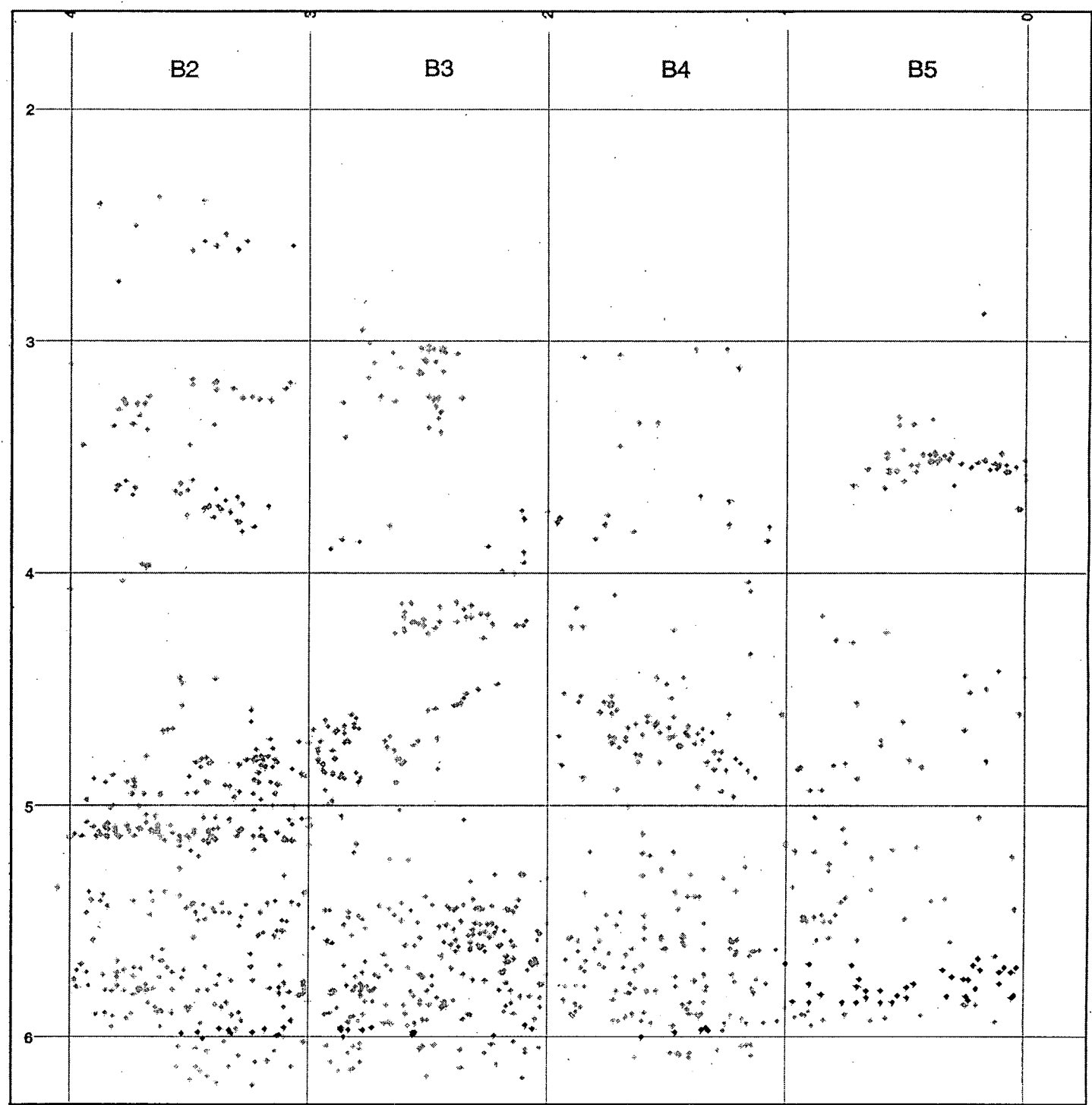
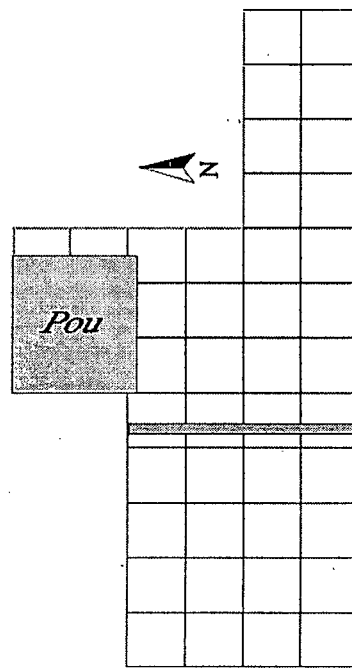
Projecció en sentit nord-sud dels objectes  
coordenats dels quadres A2, A3, A4 i A5 de la  
cova de l'Arbreda quan  $80 < x > 100$ .  
En negre es representen els objectes  
coordenats durant la campanya de 2002.



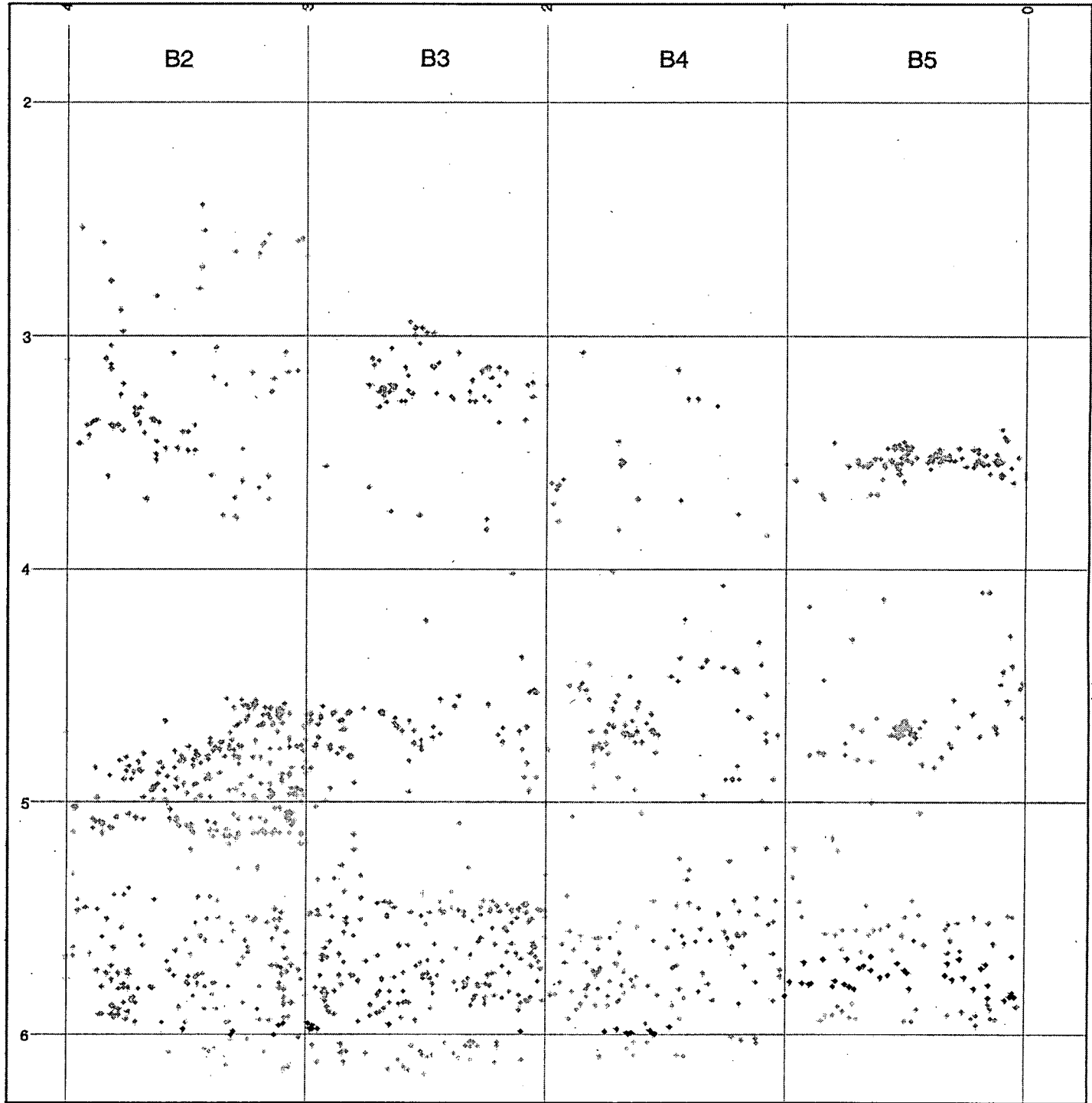
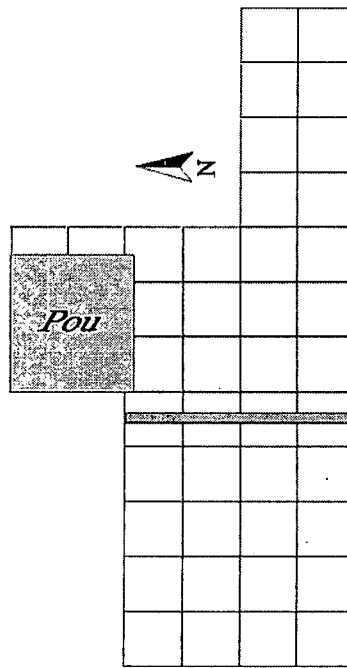
Projecció en sentit nord-sud dels objectes  
coordenats dels quadres B2, B3, B4 i B5 de la  
cova de l'Arbreda quan  $0 < x > 20$ .  
En negre es representen els objectes  
coordenats durant la campanya de 2002.



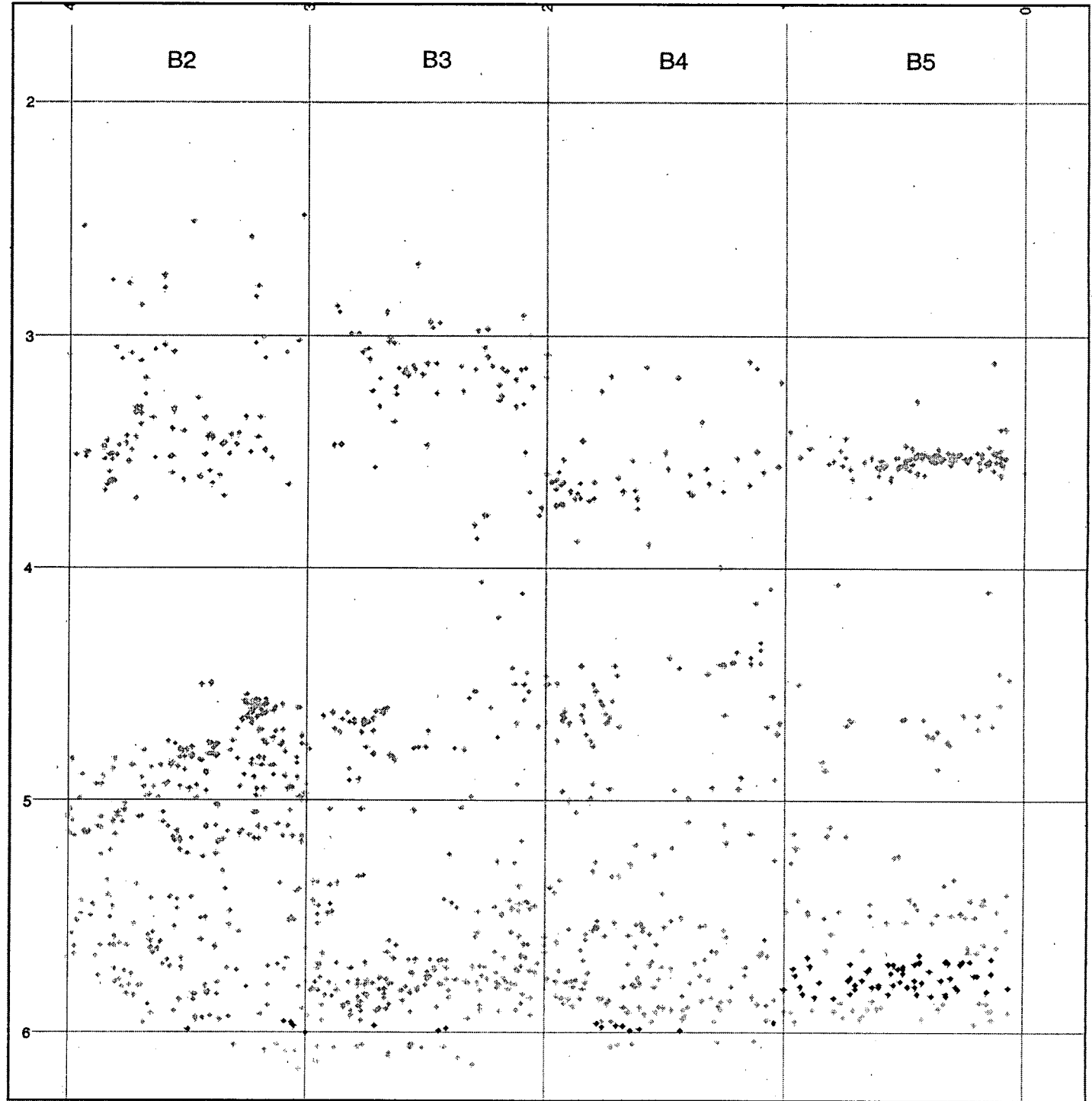
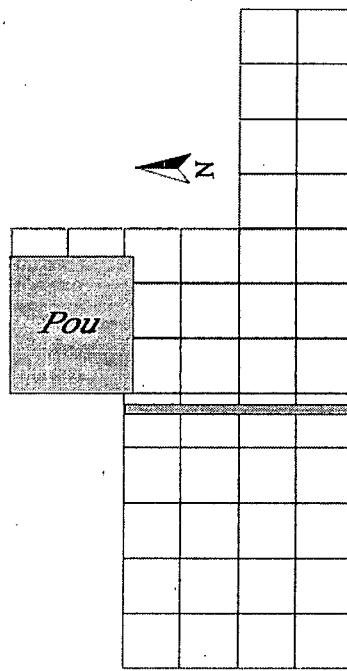
Projecció en sentit nord-sud dels objectes  
coordenats dels quadres B2, B3, B4 i B5 de la  
cova de l'Arbreda quan  $20 < x > 40$ .  
En negre es representen els objectes  
coordenats durant la campanya de 2002.



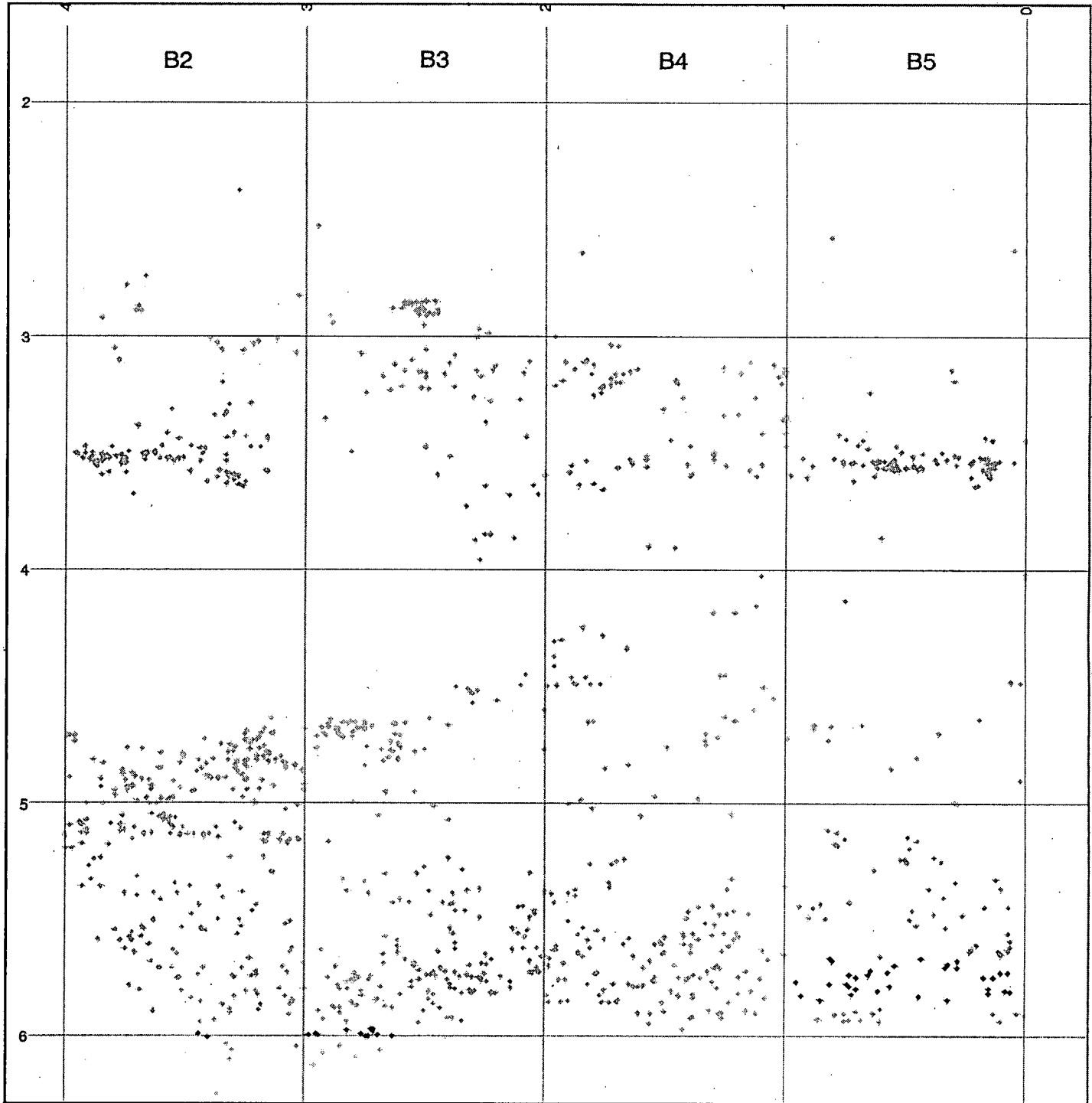
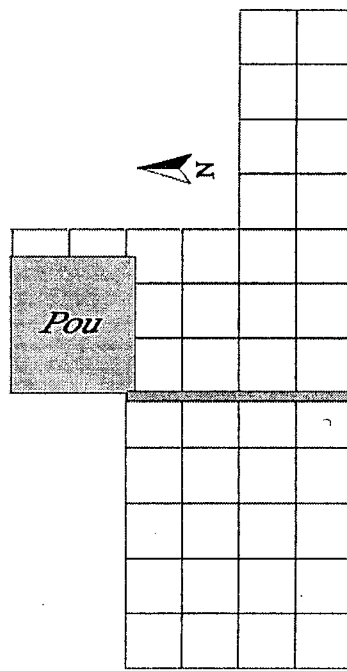
Projecció en sentit nord-sud dels objectes  
coordenats dels quadres B2, B3, B4 i B5 de la  
cova de l'Arbreda quan  $40 < x > 60$ .  
En negre es representen els objectes  
coordenats durant la campanya de 2002.



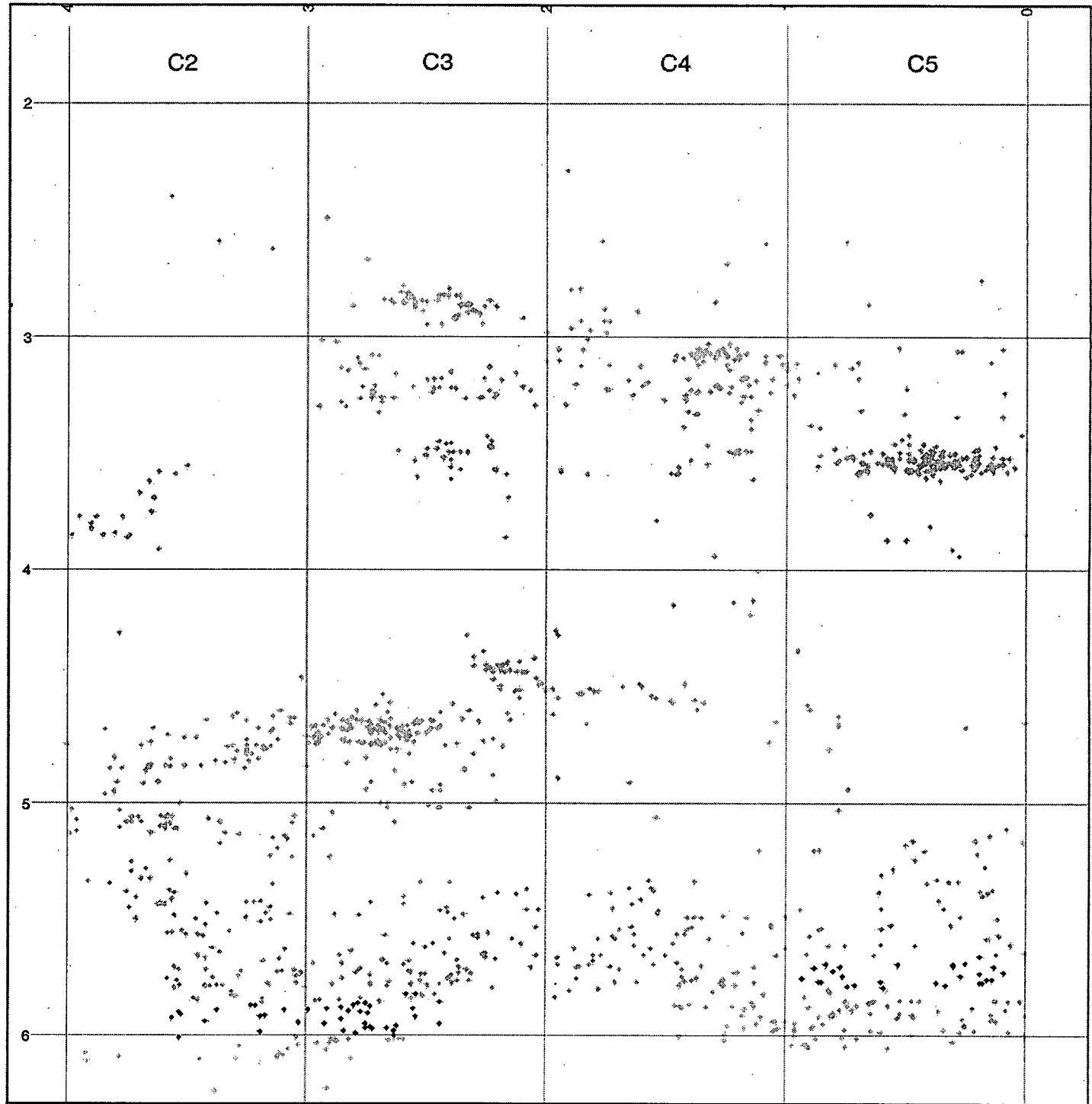
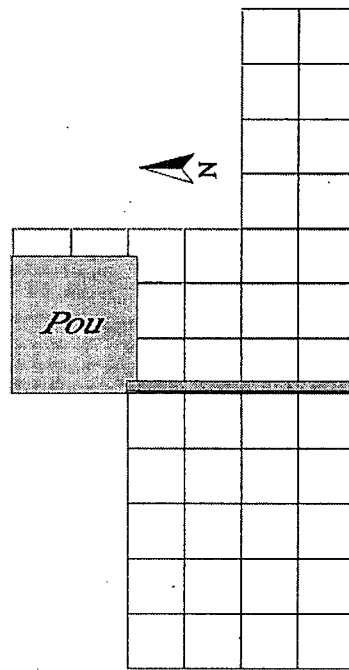
Projecció en sentit nord-sud dels objectes  
coordenats dels quadres B2, B3, B4 i B5 de la  
cova de l'Arbreda quan  $60 < x > 80$ .  
En negre es representen els objectes  
coordenats durant la campanya de 2002.



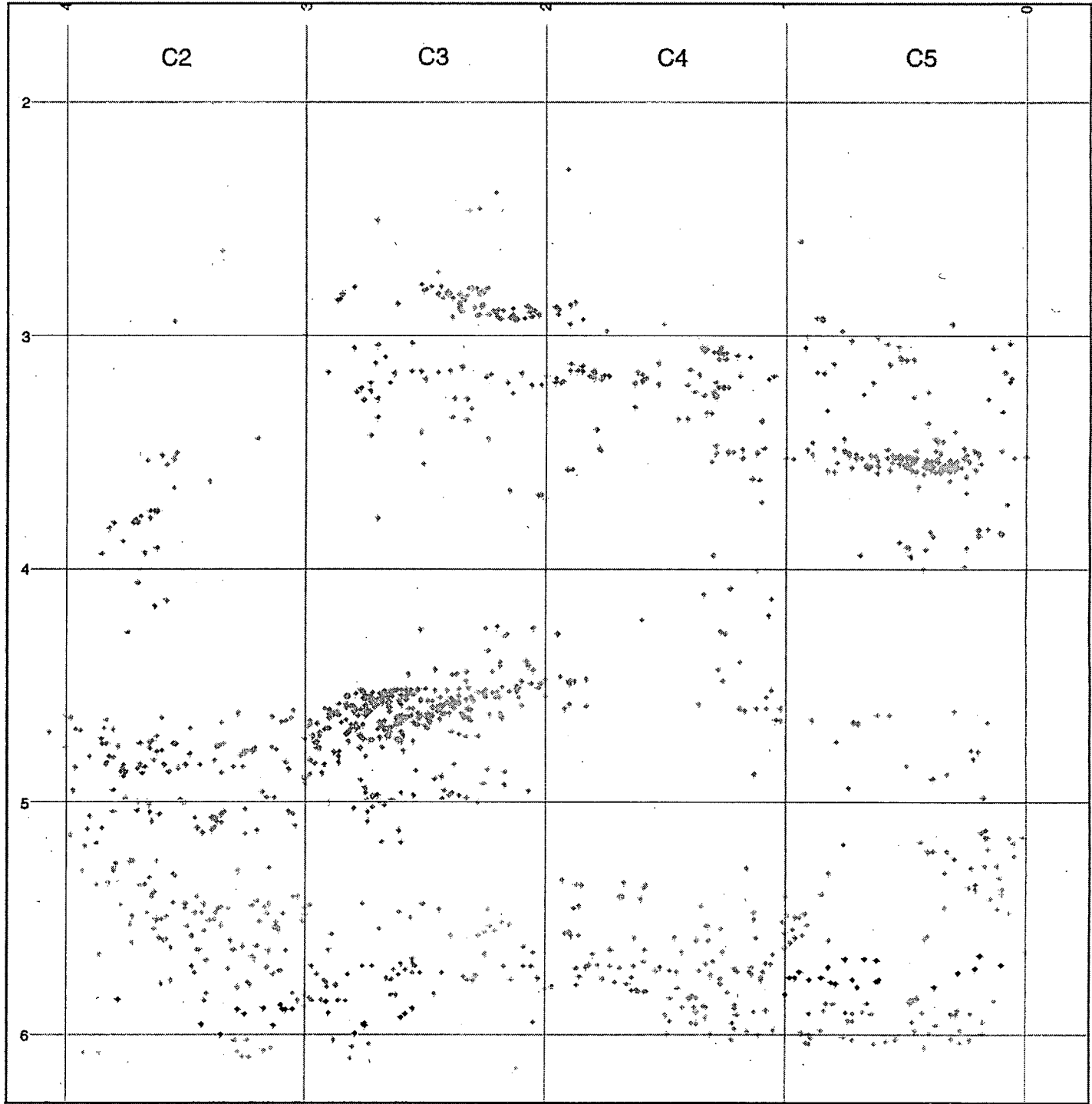
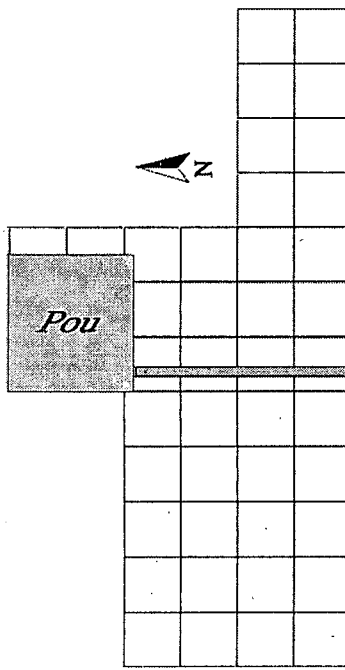
Projecció en sentit nord-sud dels objectes  
coordenats dels quadres B2, B3, B4 i B5 de la  
cova de l'Arbreda quan  $80 < x > 100$ .  
En negre es representen els objectes  
coordenats durant la campanya de 2002.



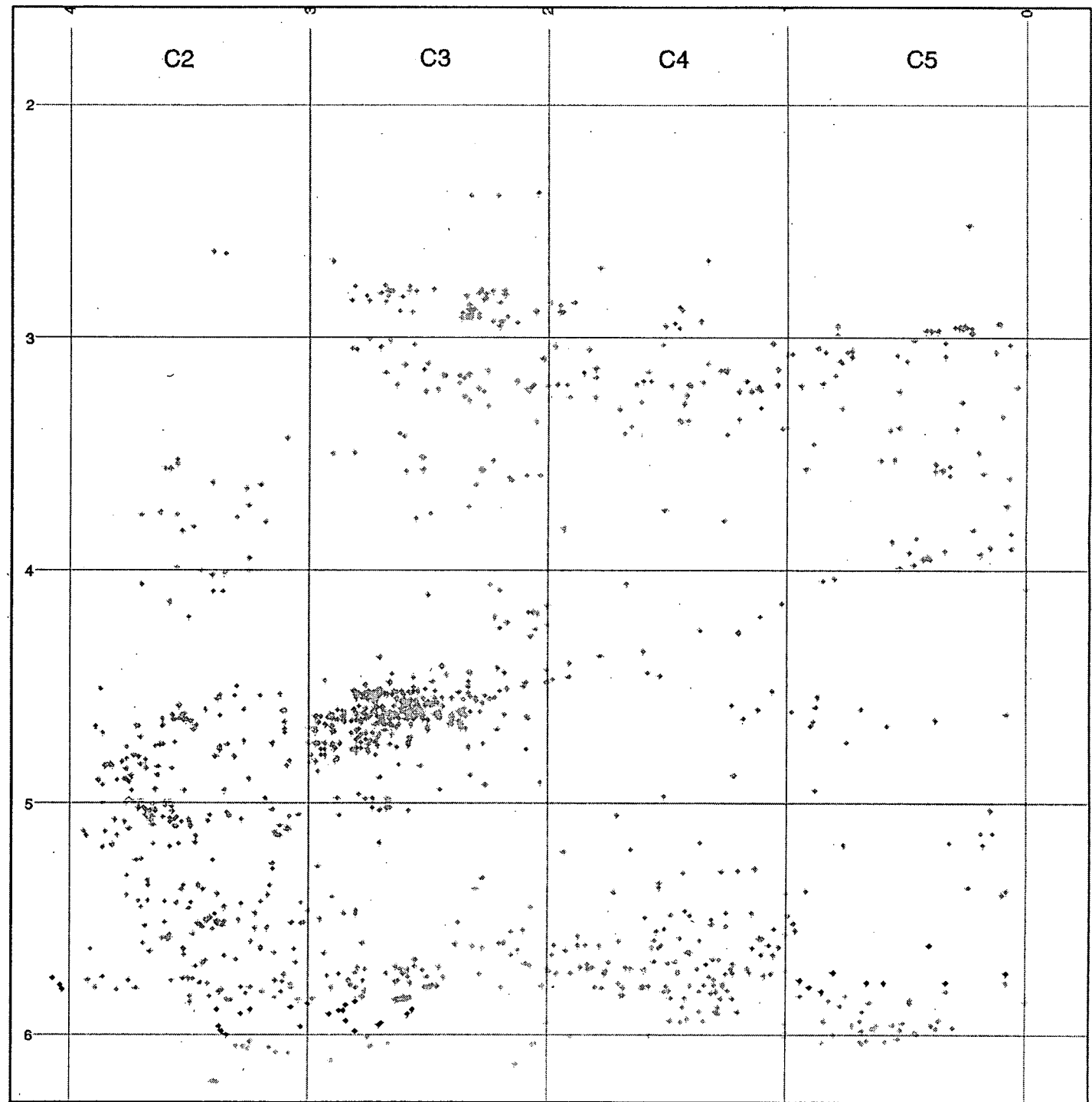
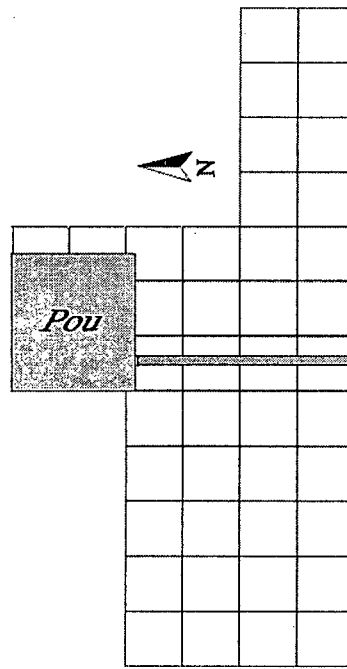
Projecció en sentit nord-sud dels objectes  
coordenats dels quadres C2, C3, C4 i C5 de la  
cova de l'Arbreda quan  $0 < x > 20$ .  
En negre es representen els objectes  
coordenats durant la campanya de 2002.



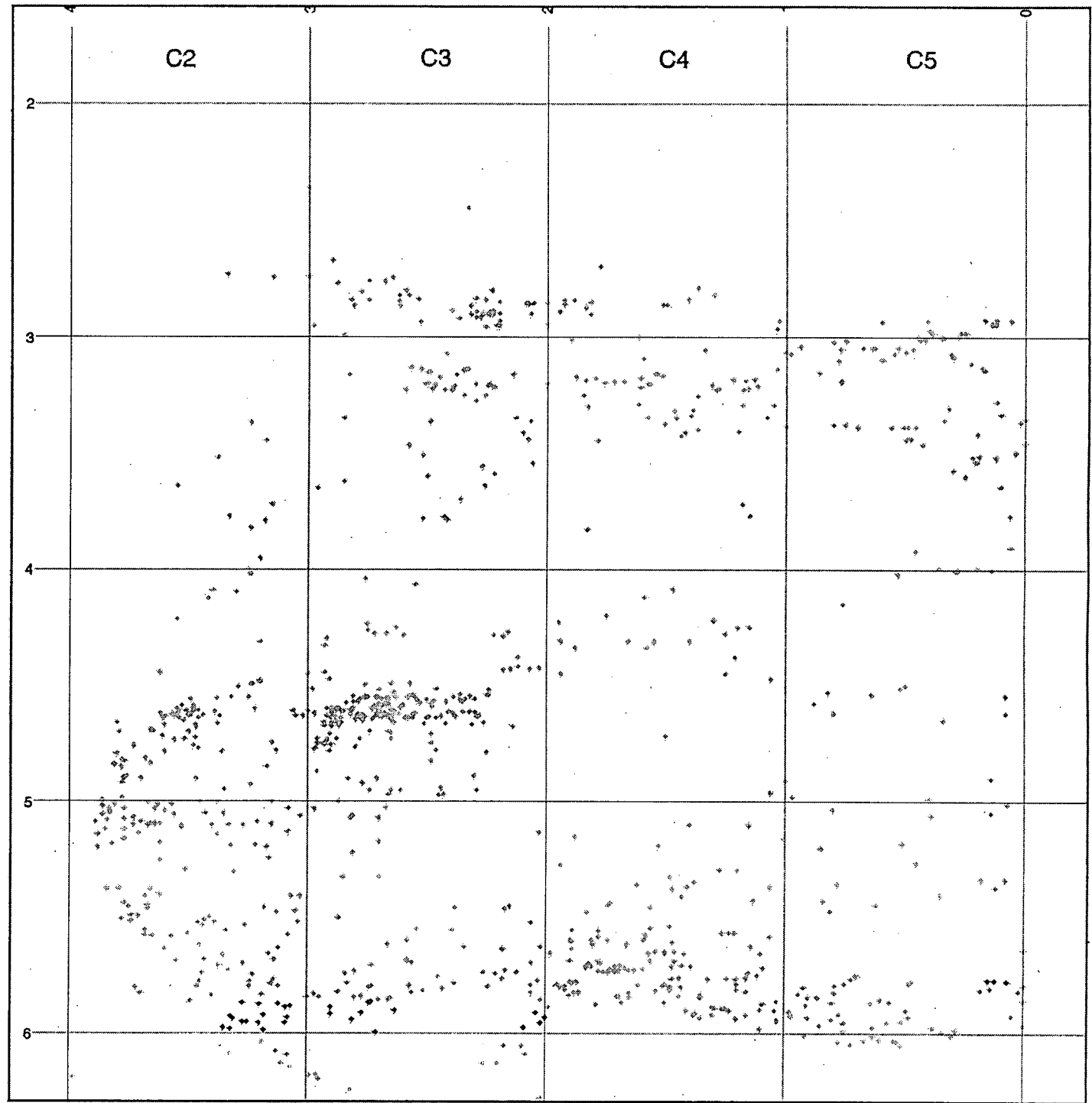
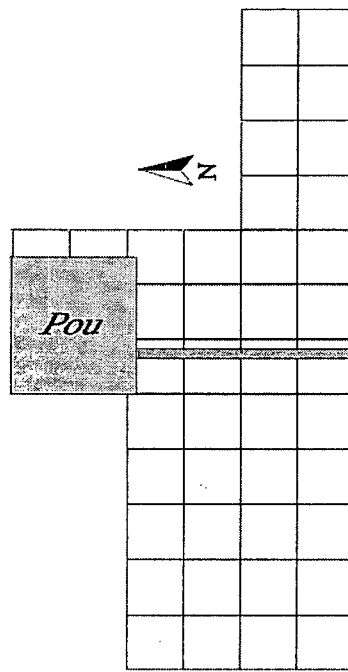
Projecció en sentit nord-sud dels objectes  
coordenats dels quadres C2, C3, C4 i C5 de la  
cova de l'Arbreda quan  $20 < x > 40$ .  
En negre es representen els objectes  
coordenats durant la campanya de 2002.



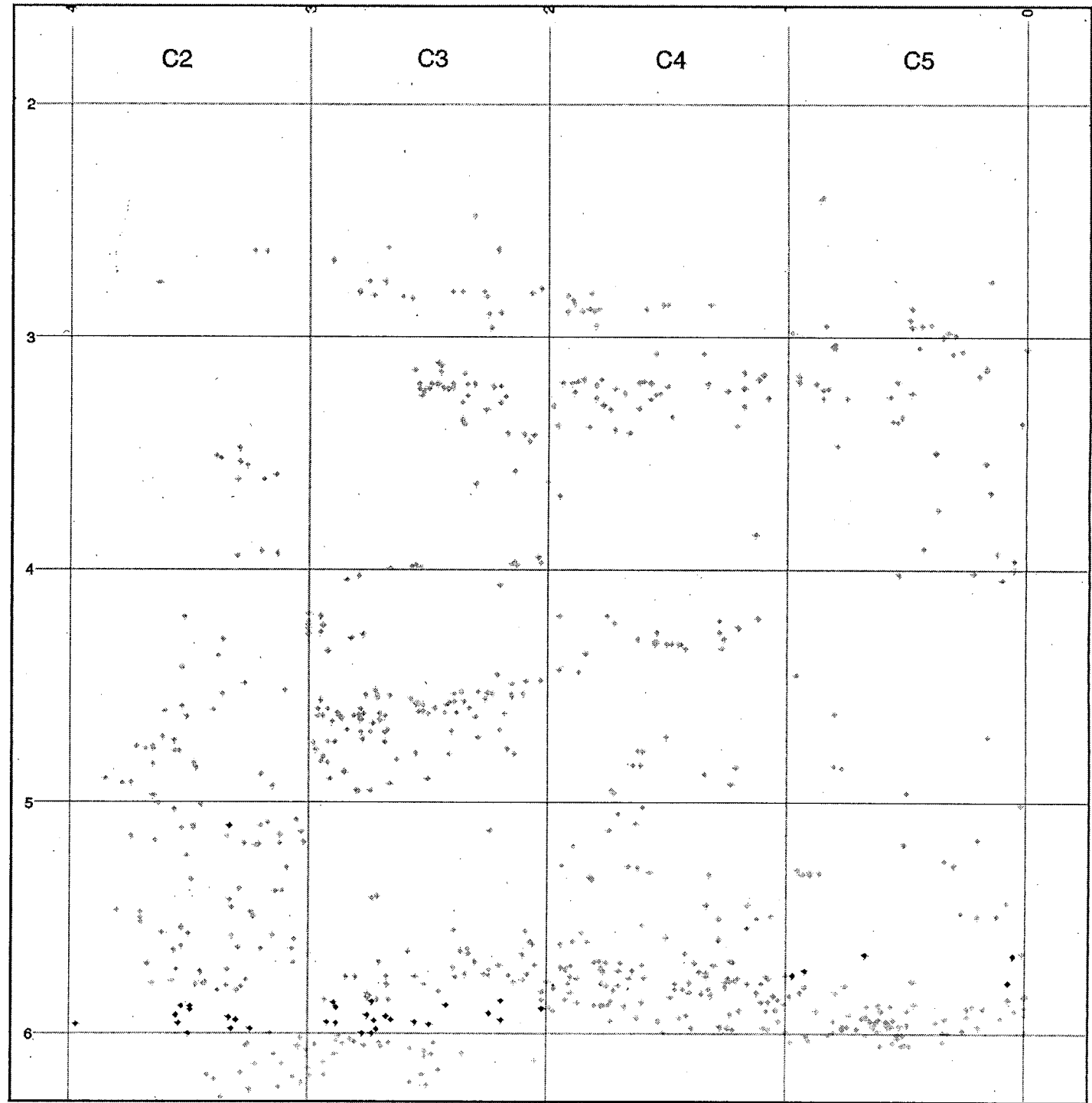
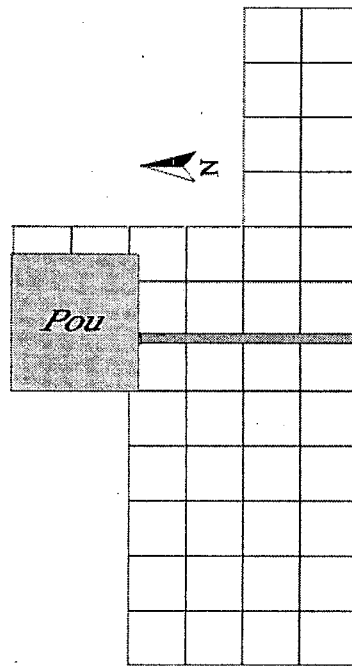
Projecció en sentit nord-sud dels objectes  
coordenats dels quadres C2, C3, C4 i C5 de la  
cova de l'Arbreda quan  $40 < x > 60$ .  
En negre es representen els objectes  
coordenats durant la campanya de 2002.



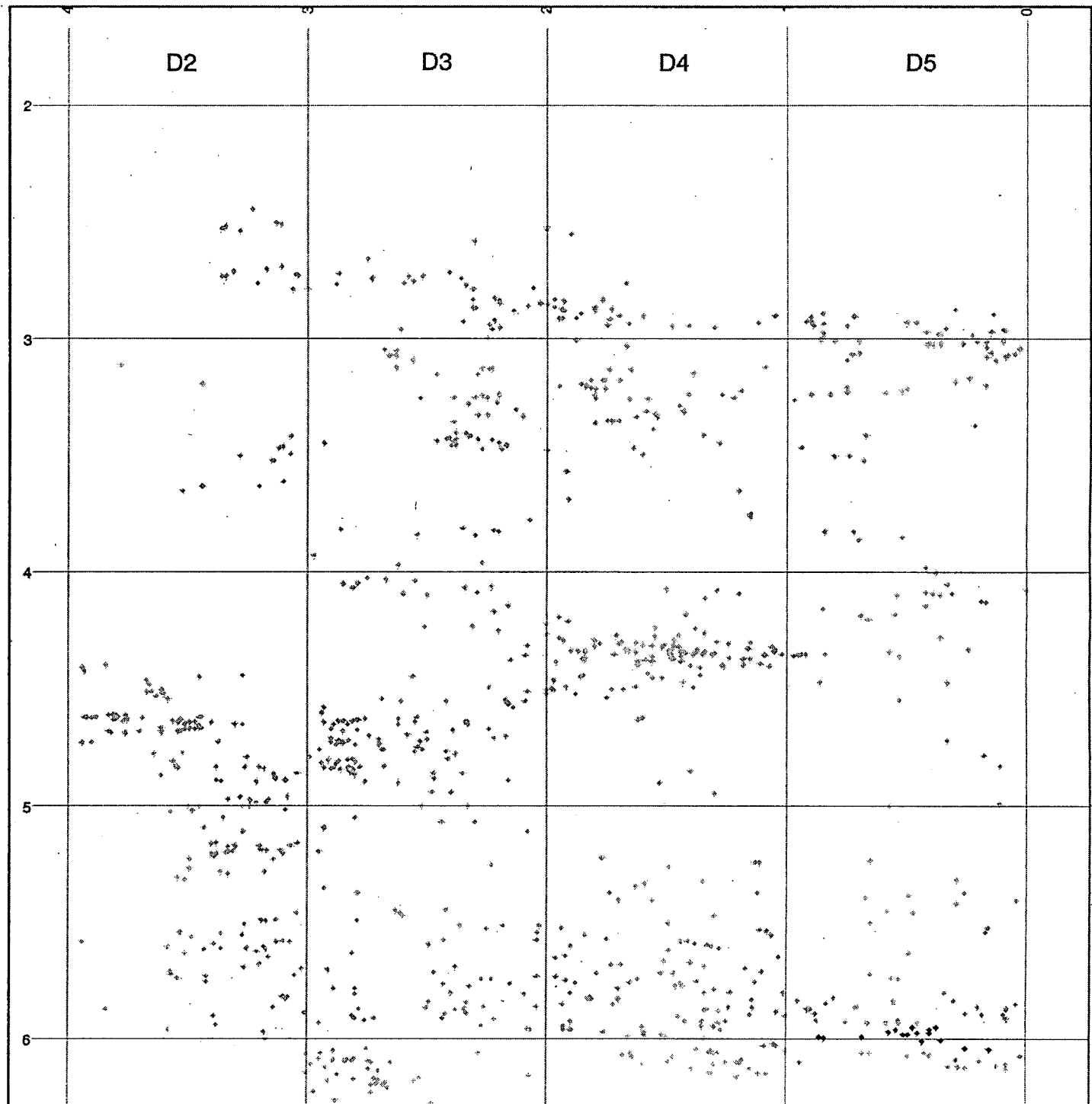
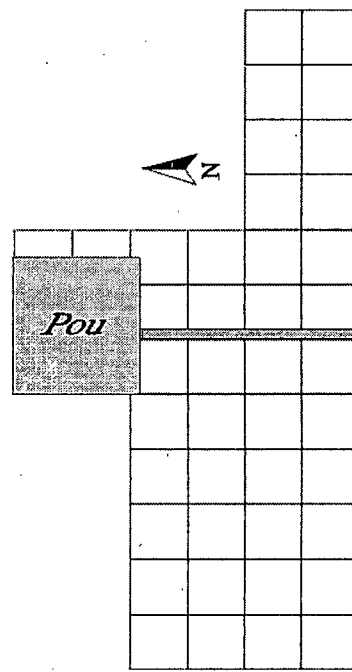
Projecció en sentit nord-sud dels objectes  
coordenats dels quadres C2, C3, C4 i C5 de la  
cova de l'Arbreda quan  $60 < x > 80$ .  
En negre es representen els objectes  
coordenats durant la campanya de 2002.



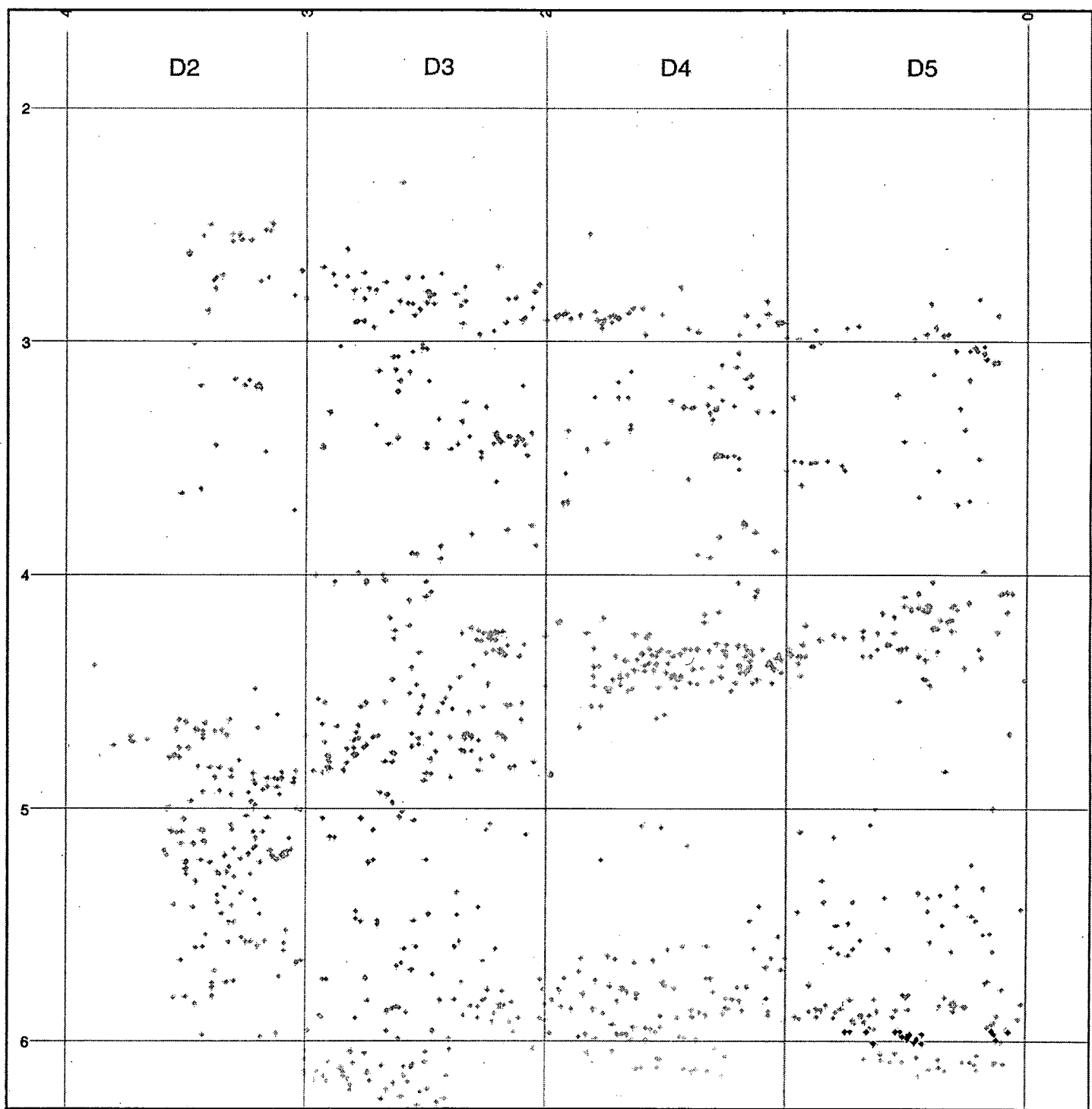
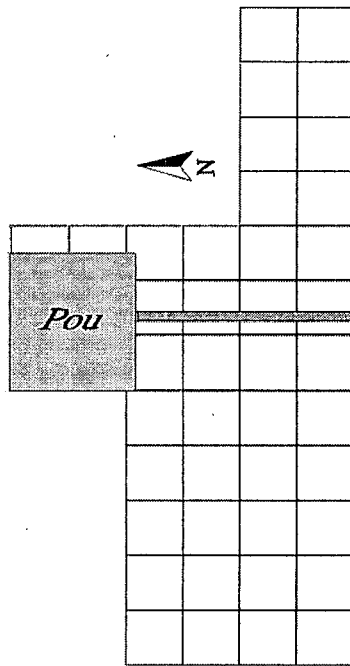
Projecció en sentit nord-sud dels objectes  
coordenats dels quadres C2, C3, C4 i C5 de la  
cova de l'Arbreda quan  $80 < x > 100$ .  
En negre es representen els objectes  
coordenats durant la campanya de 2002.



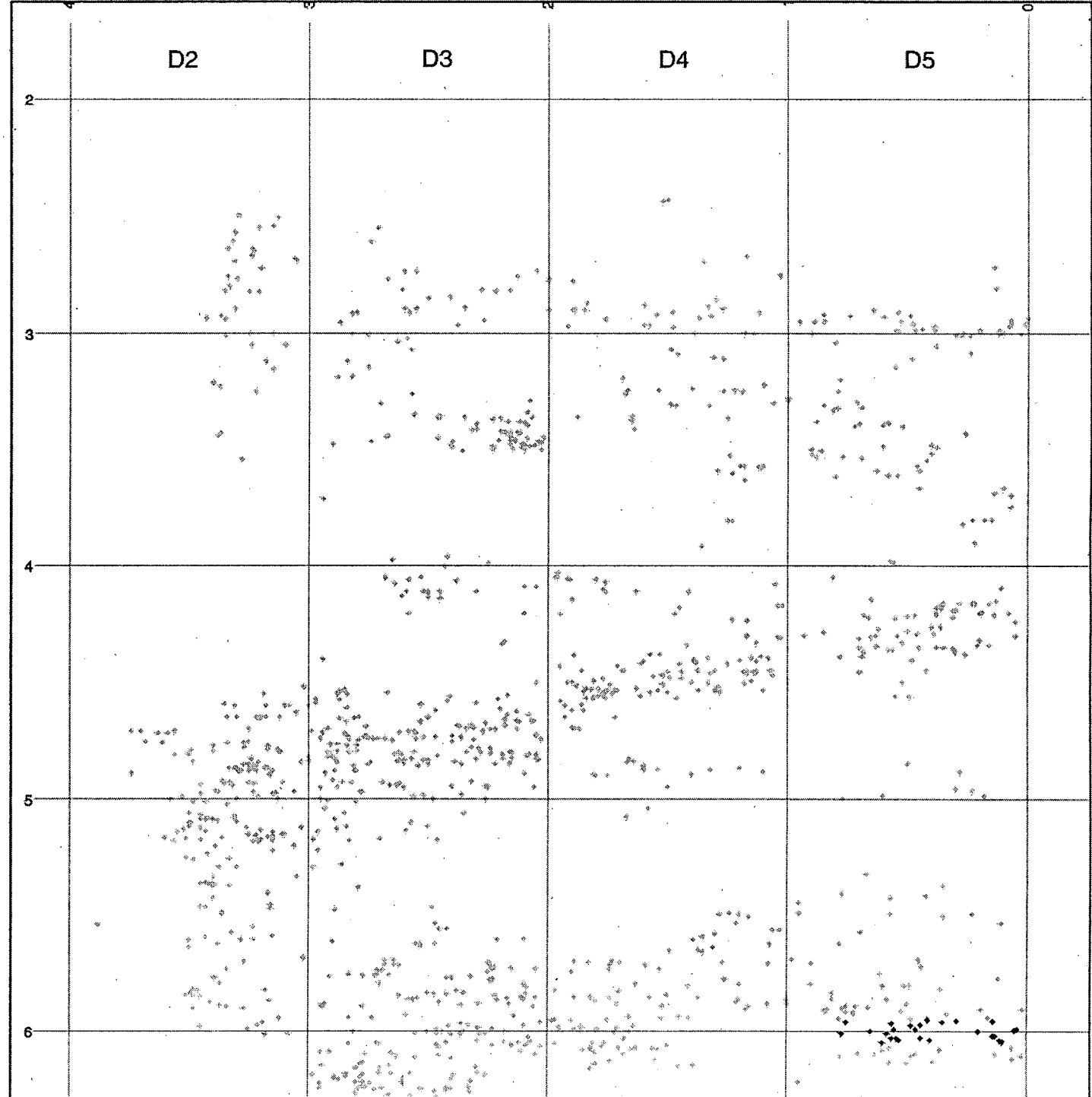
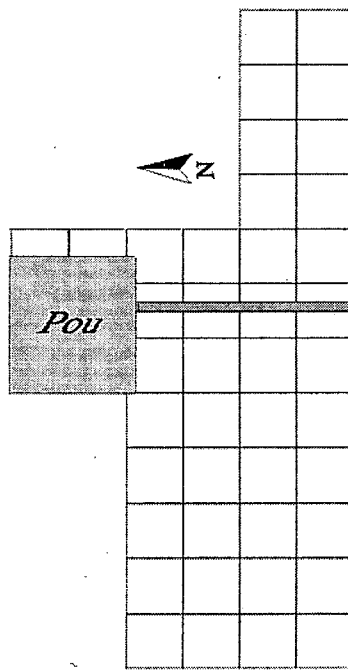
Projecció en sentit nord-sud dels objectes  
coordenats dels quadres D2, D3, D4 i D5 de la  
cova de l'Arbreda quan  $0 < x > 20$ .  
En negre es representen els objectes  
coordenats durant la campanya de 2002.



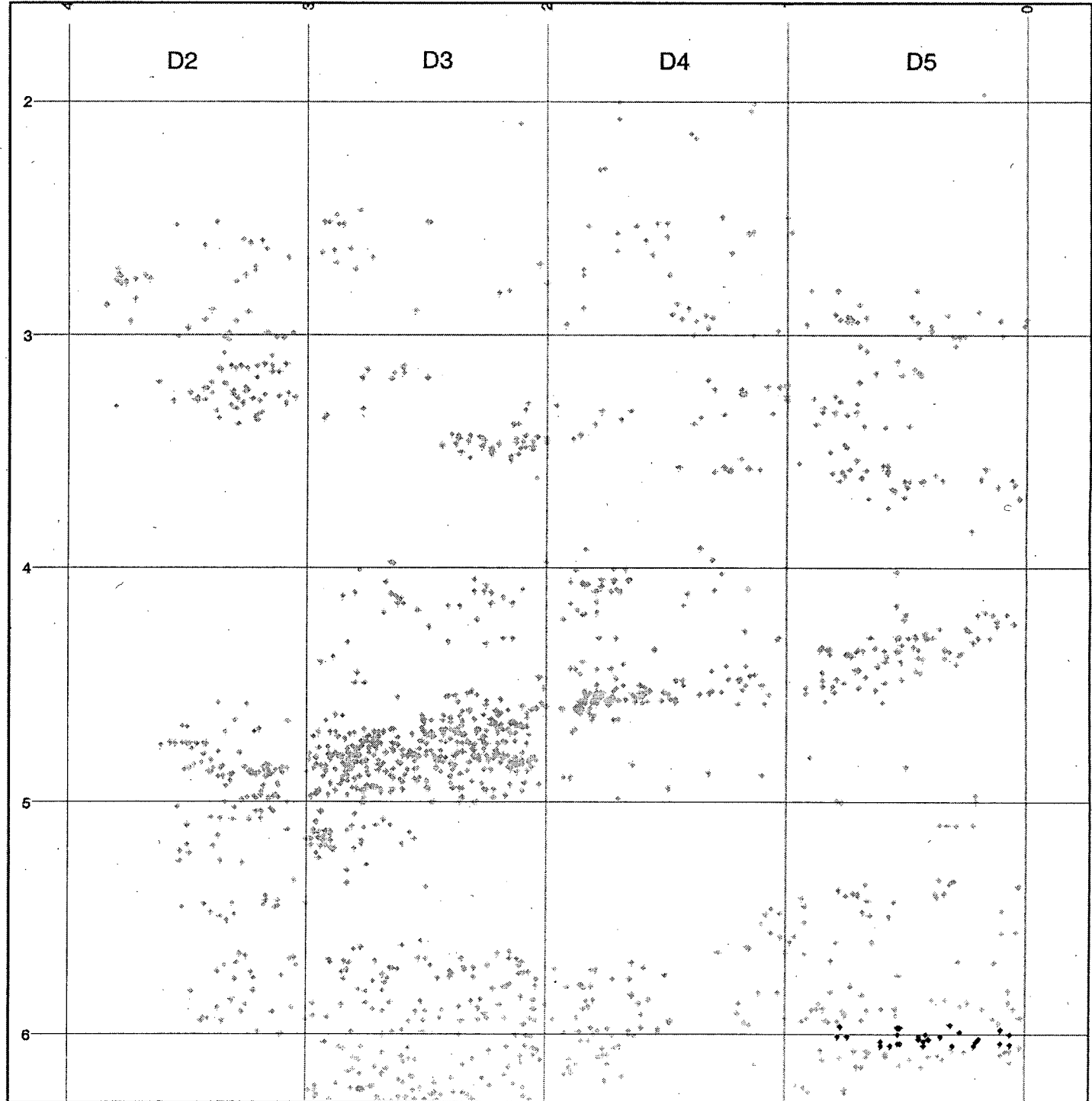
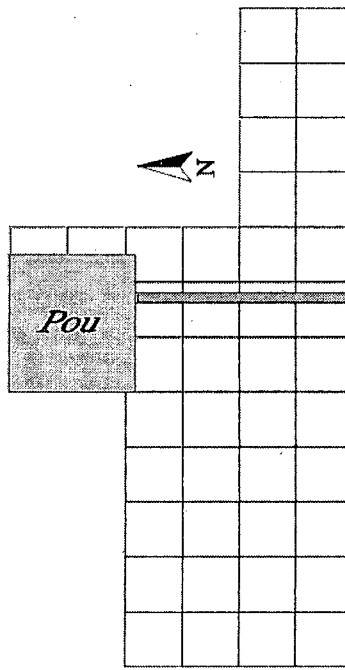
Projecció en sentit nord-sud dels objectes  
coordenats dels quadres D2, D3, D4 i D5 de la  
cova de l'Arbreda quan  $20 < x > 40$ .  
En negre es representen els objectes  
coordenats durant la campanya de 2002.



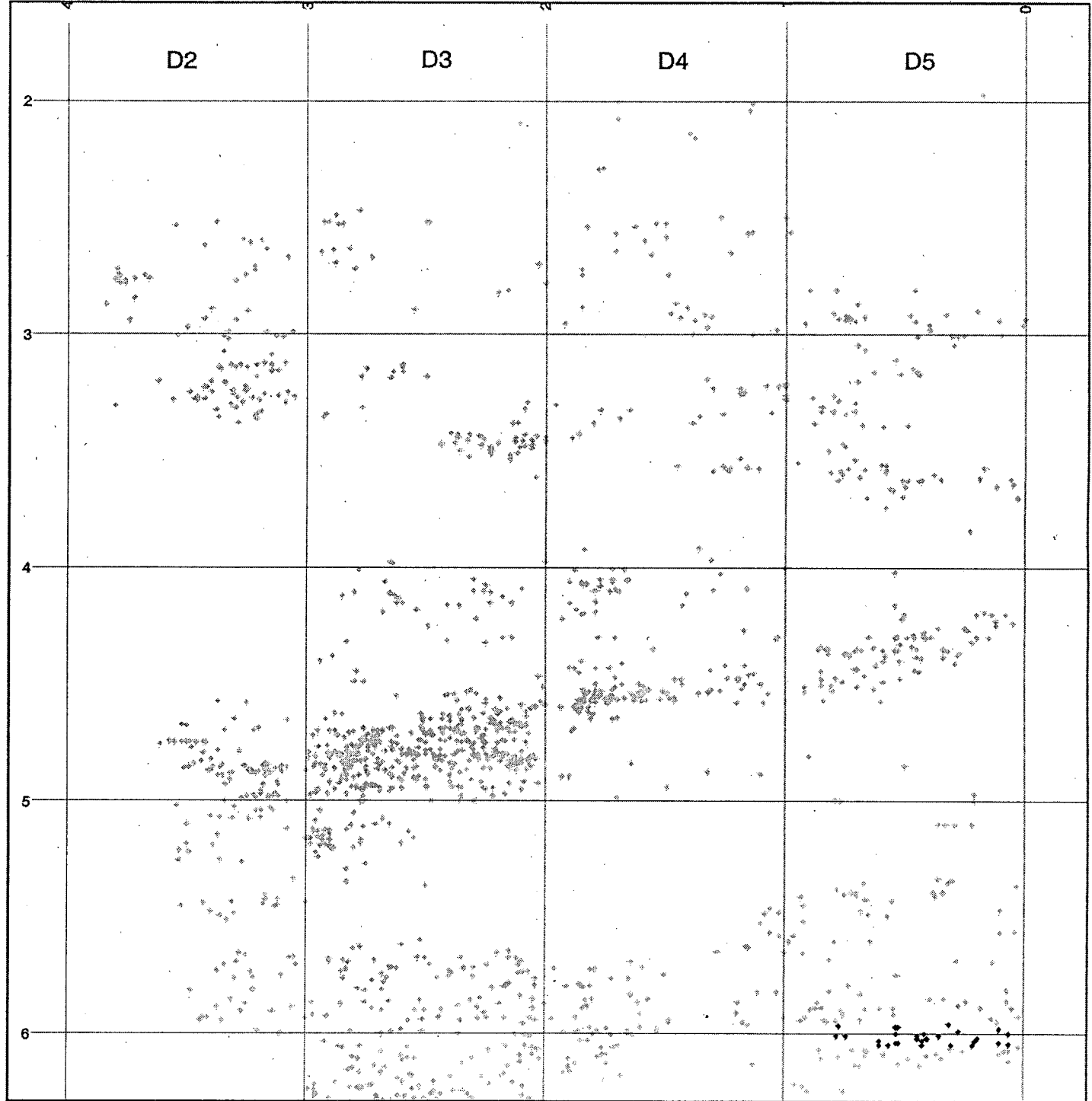
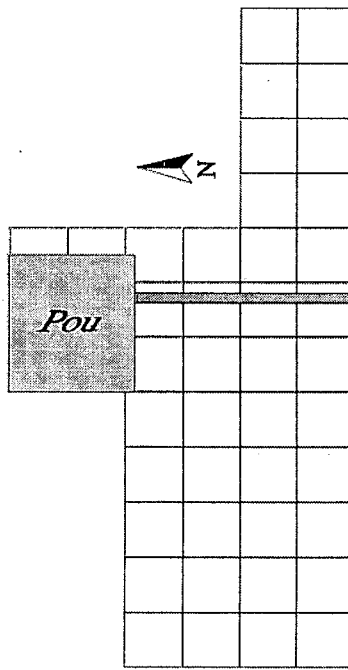
Projecció en sentit nord-sud dels objectes  
coordenats dels quadres D2, D3, D4 i D5 de la  
cova de l'Arbreda quan  $40 < x > 60$ .  
En negre es representen els objectes  
coordenats durant la campanya de 2002.



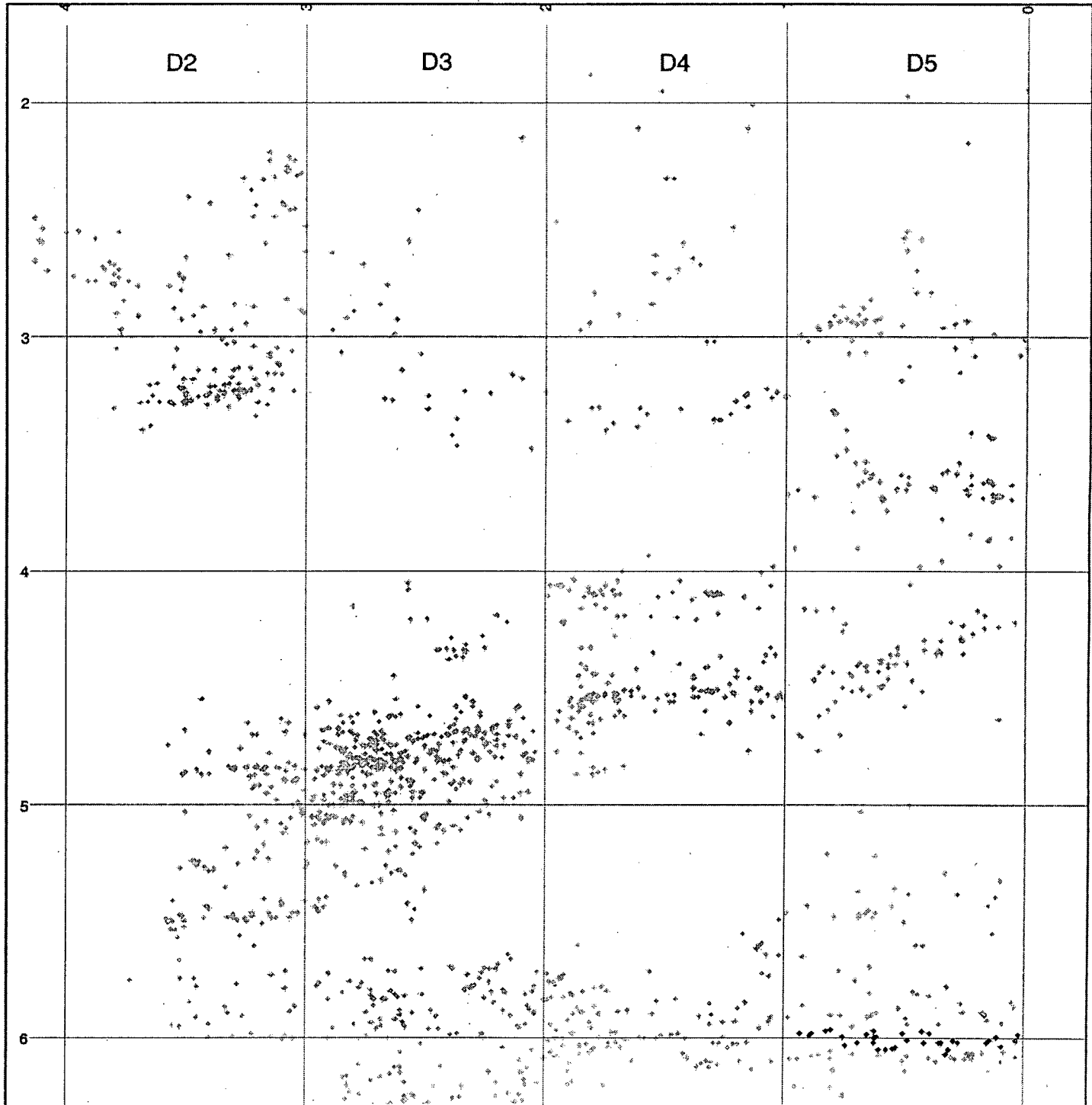
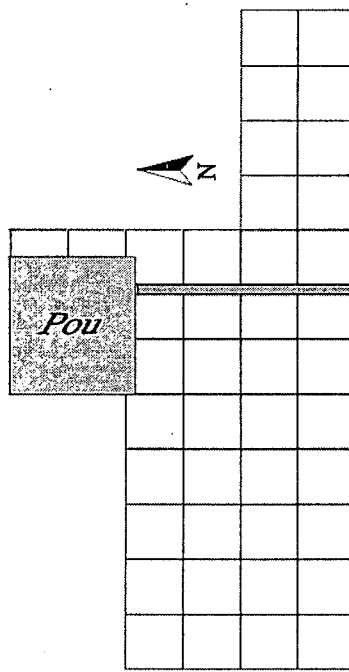
Projecció en sentit nord-sud dels objectes  
coordenats dels quadres D2, D3, D4 i D5 de la  
cova de l'Arbreda quan  $60 < x > 80$ .  
En negre es representen els objectes  
coordenats durant la campanya de 2002.



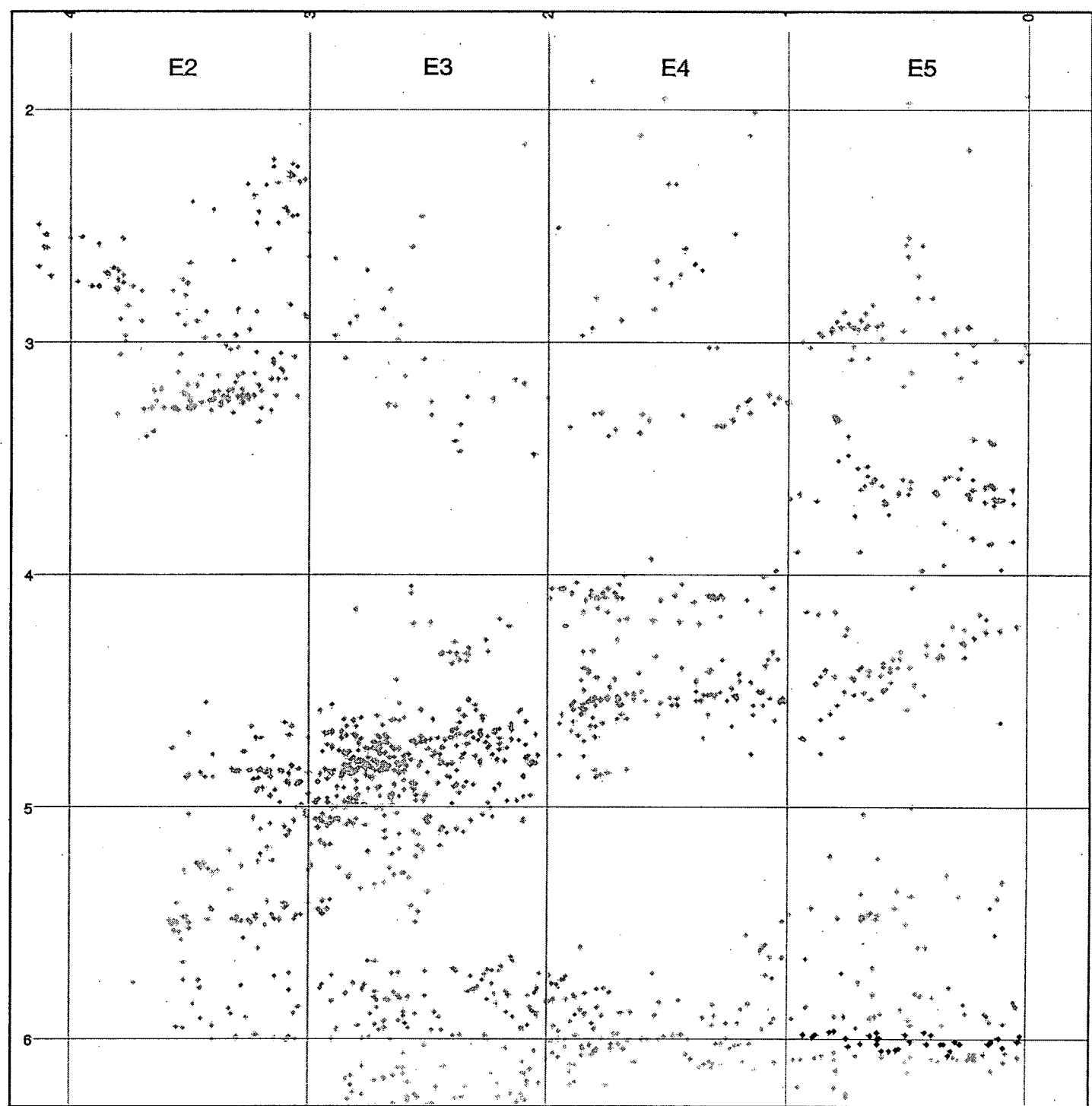
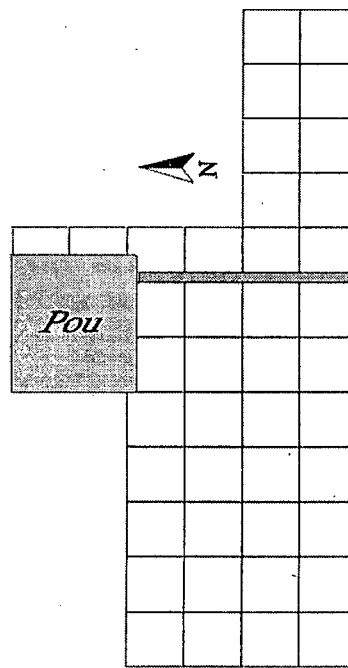
Projecció en sentit nord-sud dels objectes  
coordenats dels quadres D2, D3, D4 i D5 de la  
cova de l'Arbreda quan  $60 < x > 80$ .  
En negre es representen els objectes  
coordenats durant la campanya de 2002.



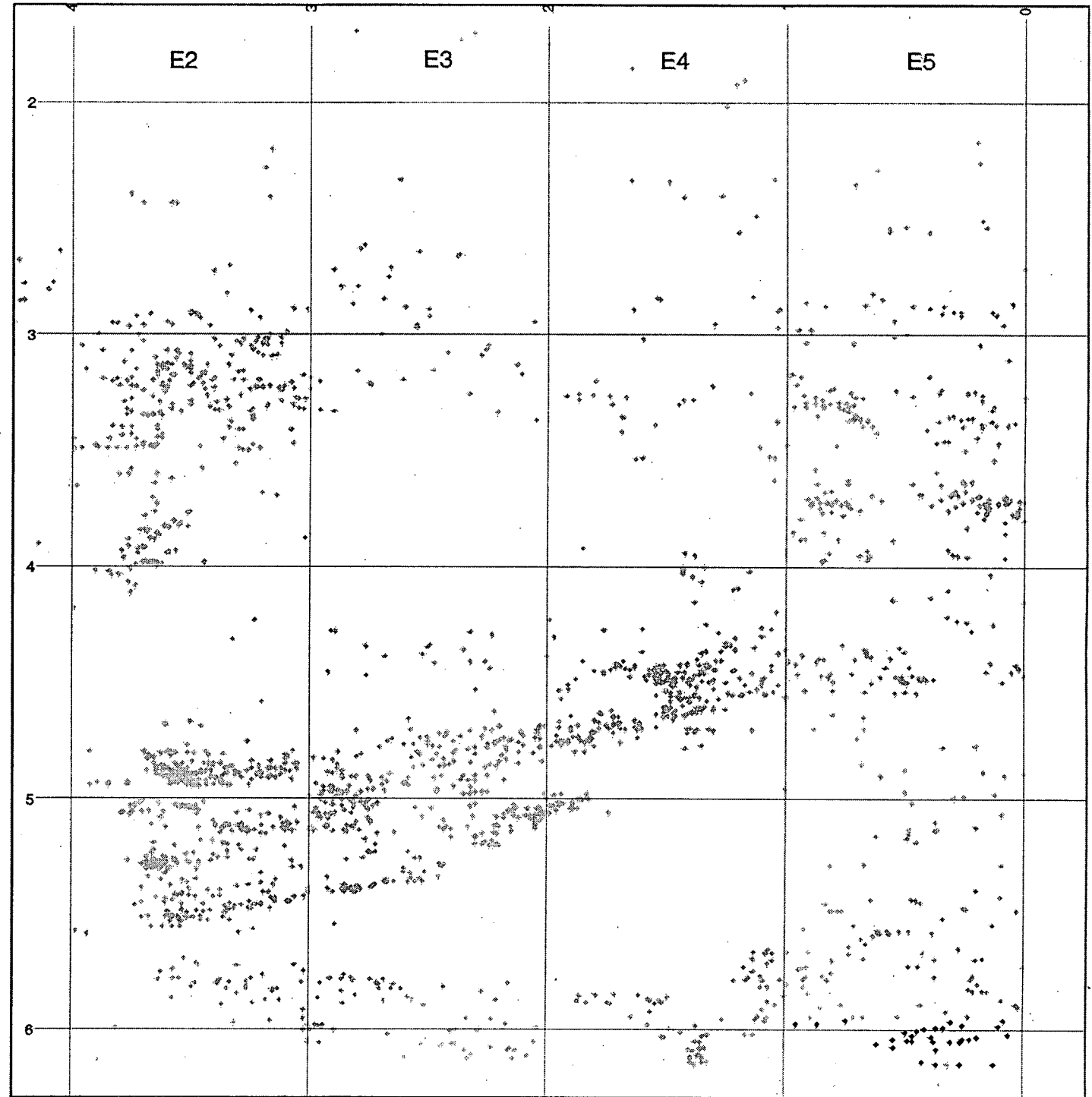
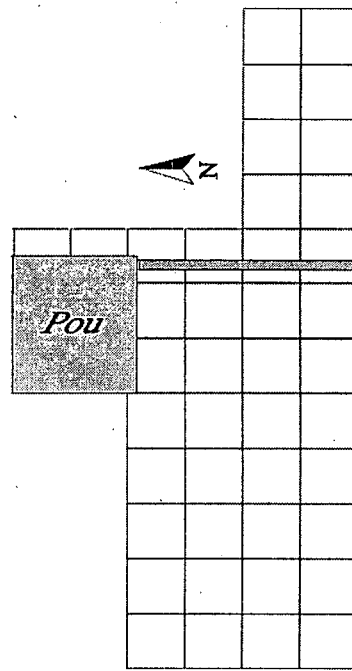
Projecció en sentit nord-sud dels objectes  
coordenats dels quadres D2, D3, D4 i D5 de la  
cova de l'Arbreda quan  $80 < x > 100$ .  
En negre es representen els objectes  
coordenats durant la campanya de 2002.



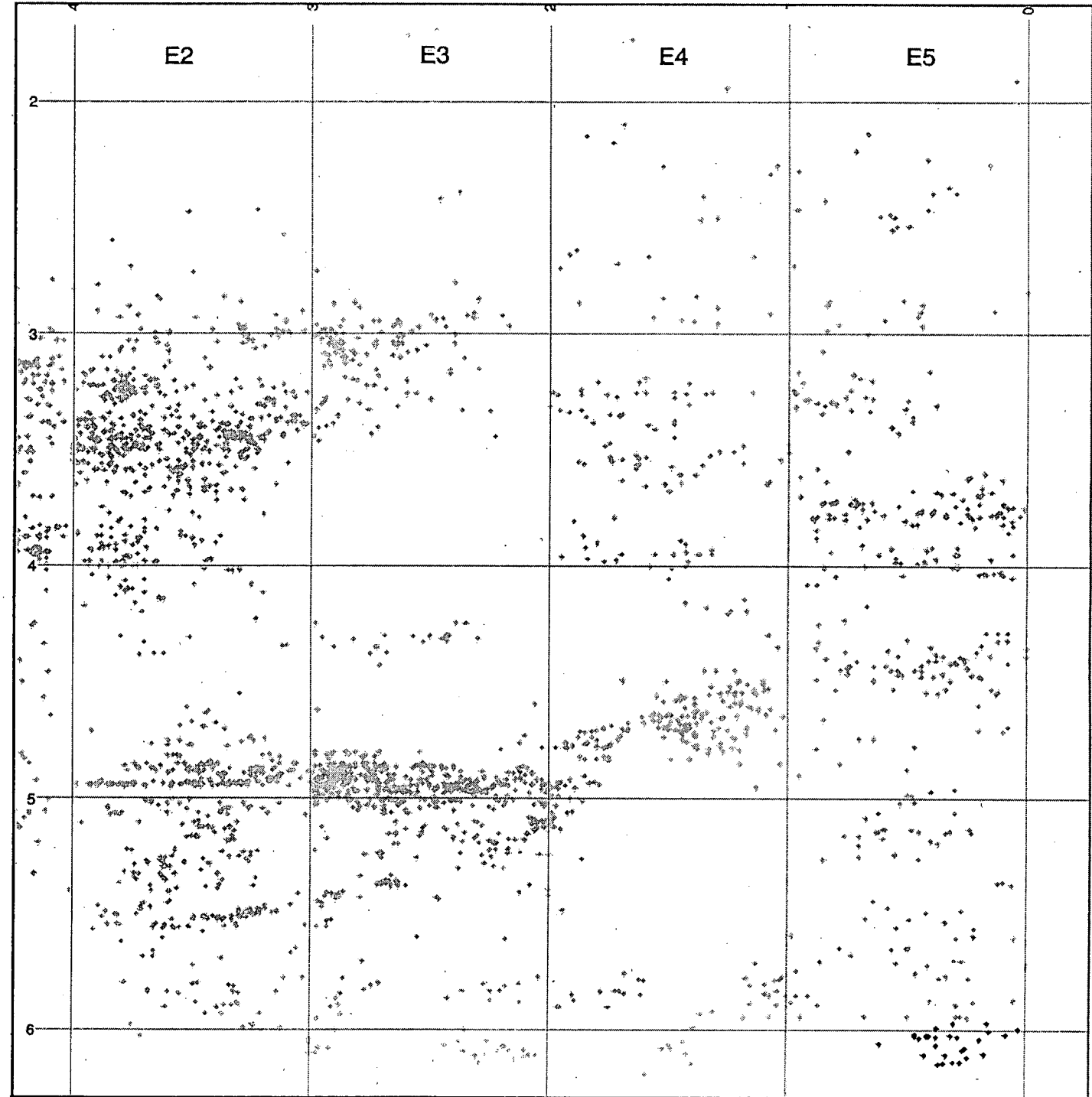
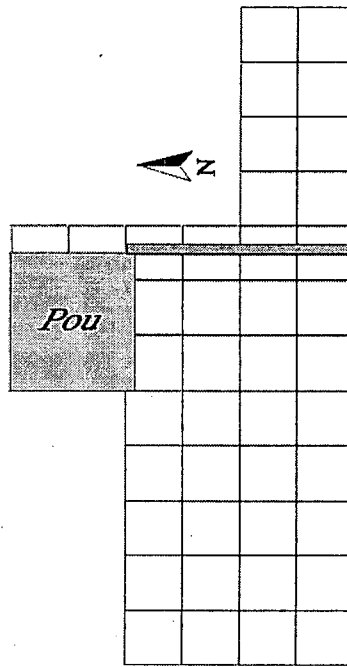
Projecció en sentit nord-sud dels objectes  
coordenats dels quadres E2, E3, E4 i E5 de la  
cova de l'Arbreda quan  $0 < x > 20$ .  
En negre es representen els objectes  
coordenats durant la campanya de 2002.



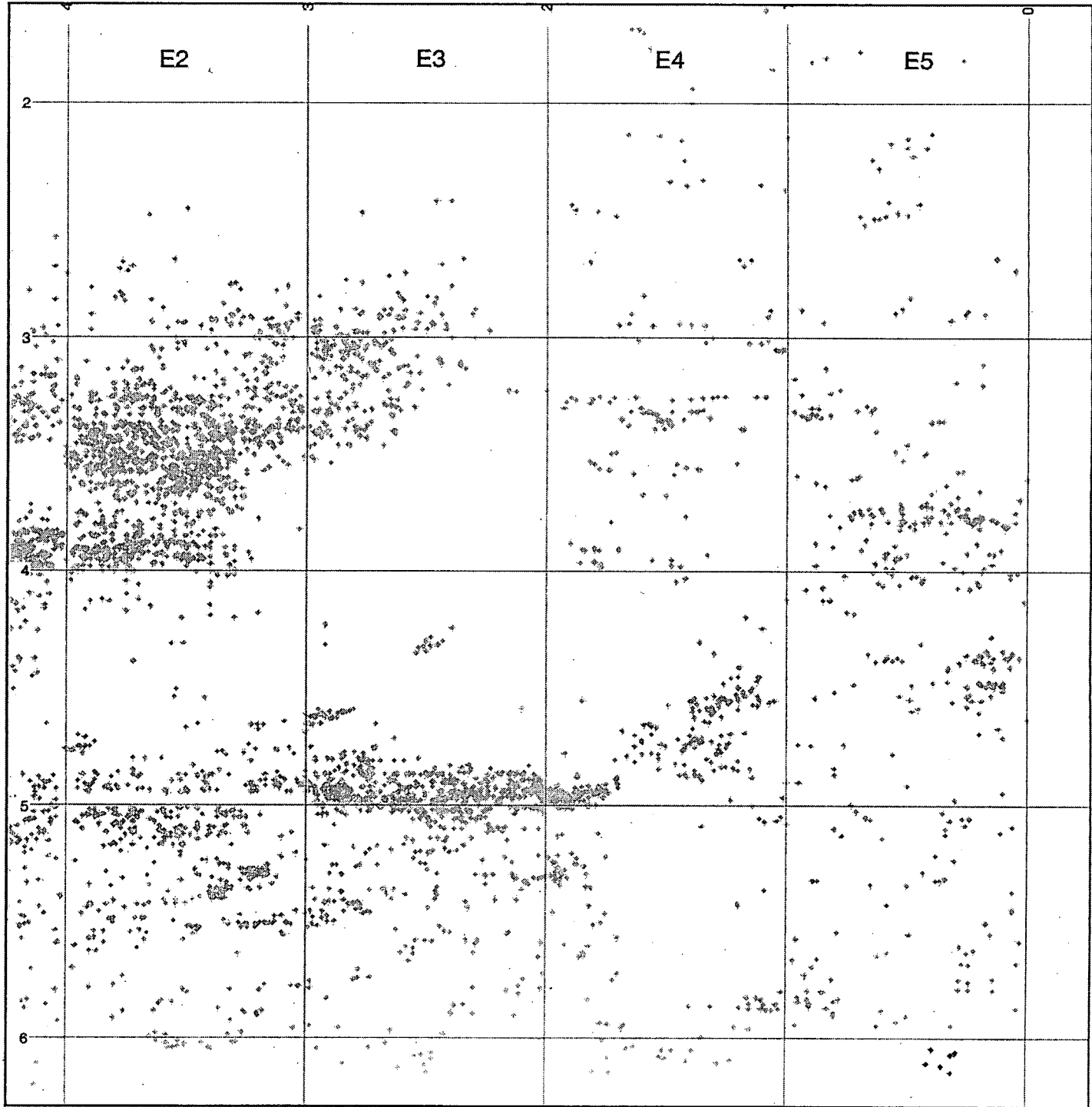
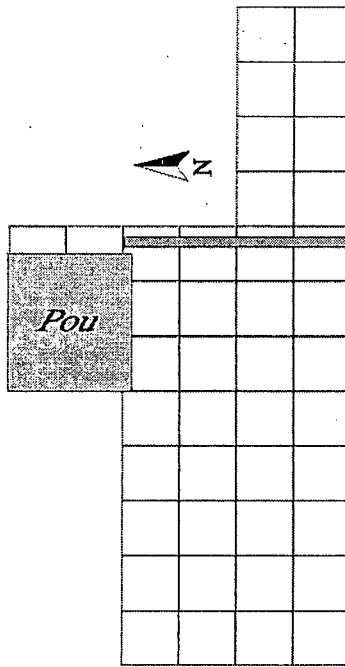
Projecció en sentit nord-sud dels objectes  
coordenats dels quadres E2, E3, E4 i E5 de la  
cova de l'Arbreda quan  $20 < x > 40$ .  
En negre es representen els objectes  
coordenats durant la campanya de 2002.



Projecció en sentit nord-sud dels objectes  
coordenats dels quadres E2, E3, E4 i E5 de la  
cova de l'Arbreda quan  $40 < x > 60$ .  
En negre es representen els objectes  
coordenats durant la campanya de 2002.



Projecció en sentit nord-sud dels objectes  
coordenats dels quadres E2, E3, E4 i E5 de la  
cova de l'Arbreda quan  $60 < x > 80$ .  
En negre es representen els objectes  
coordenats durant la campanya de 2002.



Projecció en sentit nord-sud dels objectes  
coordenats dels quadres E2, E3, E4 i E5 de la  
cova de l'Arbreda quan  $80 < x > 100$ .  
En negre es representen els objectes  
coordenats durant la campanya de 2002.

